

ВІННИЦЬКИЙ НАЦІОНАЛЬНИЙ МЕДИЧНИЙ  
УНІВЕРСИТЕТ ІМ. М.І. ПИРОГОВА

На правах рукопису

**Гненна Валентина Олегівна**

УДК 611.44-055.11.2:572.5

**МОРФОМЕТРИЧНІ ПАРАМЕТРИ ЩИТОПОДІБНОЇ ЗАЛОЗИ  
ПРАКТИЧНО ЗДОРОВИХ ЧОЛОВІКІВ І ЖІНОК**

14.03.01 – нормальна анатомія

Дисертація на здобуття наукового ступеня  
кандидата медичних наук

Науковий керівник:

Маєвський Олександр Євгенійович

доктор медичних наук, доцент

Вінниця – 2017

## ЗМІСТ

	стор.
<b>ПЕРЕЛІК УМОВНИХ ПОЗНАЧЕНЬ, СИМВОЛІВ, ОДИНИЦЬ, СКОРОЧЕНЬ І ТЕРМІНІВ</b>	4
<b>ВСТУП</b>	5
<b>РОЗДІЛ 1 ОГЛЯД ЛІТЕРАТУРИ</b>	13
1.1. Клінічне значення та проблеми визначення сонографічних параметрів щитоподібної залози в нормі і при патології	13
1.2. Вікові, статеві, етнічні, індивідуально-типологічні і конституціональні особливості ультразвукових параметрів щитоподібної залози	19
<b>РОЗДІЛ 2 ЗАГАЛЬНА МЕТОДИКА Й ОСНОВНІ МЕТОДИ ДОСЛІДЖЕННЯ</b>	29
2.1. Загальна методика та суб'єкти дослідження	29
2.2. Методи дослідження	30
2.2.1. Антропометричні та соматотипологічні.	30
2.2.2. Сонографічний.	35
2.2.3. Математичного аналізу.	38
<b>РОЗДІЛ 3 СОНОГРАФІЧНІ ПАРАМЕТРИ ЩИТОПОДІБНОЇ ЗАЛОЗИ У ЗДОРОВИХ ЧОЛОВІКІВ І ЖІНОК ЗАГАЛОМ ТА РІЗНИХ ВІКОВИХ ГРУП</b>	40
<b>РОЗДІЛ 4 СОНОГРАФІЧНІ ПАРАМЕТРИ ЩИТОПОДІБНОЇ ЗАЛОЗИ У ЗДОРОВИХ ЧОЛОВІКІВ І ЖІНОК РІЗНИХ СОМАТОТИПІВ</b>	54
<b>РОЗДІЛ 5 КОРЕЛЯЦІЇ СОНОГРАФІЧНИХ ПАРАМЕТРІВ ЩИТОПОДІБНОЇ ЗАЛОЗИ З АНТРОПОМЕТРИЧНИМИ І</b>	

<b>СОМАТОТИПОЛОГІЧНИМИ ПОКАЗНИКАМИ ЗДОРОВИХ ЧОЛОВІКІВ ТА ЖІНОК ЗАГАЛОМ І РІЗНИХ ВІКОВИХ ГРУП</b>	72
5.1. Кореляції сонографічних параметрів щитоподібної залози з антропо-соматотипологічними показниками чоловіків	72
5.2. Кореляції сонографічних параметрів щитоподібної залози з антропо-соматотипологічними показниками жінок	81
<b>РОЗДІЛ 6 МОДЕЛЮВАННЯ ІНДИВІДУАЛЬНИХ УЛЬТРАЗВУКОВИХ ПАРАМЕТРІВ ЩИТОПОДІБНОЇ ЗАЛОЗИ У ЧОЛОВІКІВ І ЖІНОК ЗАГАЛОМ ТА РІЗНИХ ВІКОВИХ ГРУП В ЗАЛЕЖНОСТІ ВІД ОСОБЛИВОСТЕЙ БУДОВИ ТІЛА</b>	92
<b>РОЗДІЛ 7 АНАЛІЗ ТА УЗАГАЛЬНЕННЯ РЕЗУЛЬТАТІВ ДОСЛІДЖЕНЬ</b>	107
<b>ВИСНОВКИ</b>	139
<b>ПРАКТИЧНІ РЕКОМЕНДАЦІЇ</b>	143
<b>СПИСОК ВИКОРИСТАНИХ ДЖЕРЕЛ</b>	144
Додаток А Сонографічні параметри щитоподібної залози у здорових міських чоловіків та жінок Поділля загальних та різних вікових груп.	170
Додаток Б Сонографічні параметри щитоподібної залози у здорових міських чоловіків та жінок Поділля різних соматотипів.	175
Додаток В Кореляції сонографічних параметрів щитоподібної залози з антропометричними та соматотипологічними показниками тіла у здорових міських чоловіків та жінок.	195
Додаток Г Результати прямого покрокового регресійного та дисперсійного аналізів моделювання сонографічних параметрів щитоподібної залози в здорових чоловіків та жінок в залежності від особливостей будови й розмірів тіла.	215

**ПЕРЕЛІК УМОВНИХ ПОЗНАЧЕНЬ, СИМВОЛІВ, ОДИНИЦЬ,  
СКОРОЧЕНЬ І ТЕРМІНІВ**

AIX – Американський інститут харчування

Ек – ектоморфний соматотип

ЕкМе – екто-мезоморфний соматотип

ЕнМе – ендо-мезоморфний соматотип

Ж – жінки

Ме – мезоморфний соматотип

Пр – середній проміжний соматотип

ТШЖС – товщина шкірно-жирових складок

Ч – чоловіки

$R^2$  – коефіцієнт детермінації

## ВСТУП

Актуальність проблеми. Наразі хірургія, ендокринологія та інші клінічні спеціальності все більше потребують точних відомостей про індивідуальну анатомічну мінливість живої людини, що ставить перед анатомією непросту задачу – переглянути більшість морфометричних параметрів органів, оскільки вони були отримані при вивченні трупного або патологічно зміненого матеріалу. Новий напрямок у сучасній морфології – анатомія живої людини – може заповнити цю прогалину і протягом певного проміжку часу переглянути морфометричні показники, оскільки вони становлять інтерес для практичної медицини [83, 85, 92].

Застосування ультразвукового методу дозволяє здійснювати детальну прижиттєву оцінку структурних змін щитовидної залози і вимірювати її розміри без використання інвазивних процедур та введення специфічних контрастних препаратів [70, 103, 149].

Дослідження, в яких описуються як норма, так і патологія щитоподібної залози, найчастіше ґрунтуються на середніх значеннях її макроскопічних параметрів, без урахування віку, місця проживання, що спотворює картину отриманих результатів. Зазначений підхід впливає на достовірність порівнянь між нормою та патологією, а також на співставлення результатів досліджень щитоподібної залози із різних регіонів [5, 82]. Рядом авторів встановлено, що макроскопічна будова щитоподібної залози залежить від декількох найбільш значимих факторів [21, 82]: місце проживання – «регіональна норма»; вік – «вікова норма»; стать – статевий диморфізм. Крім вище перерахованих факторів не менш важливим є визначення індивідуальної мінливості параметрів залози здорових жителів, одного віку й статі [10, 49, 118].

Встановлення параметрів щитоподібної залози в аспекті їх конституціонального різноманіття дозволяє поставити більш точний діагноз на відміну

від усталеного напрямку визначення нормативних параметрів залози в залежності від віку [10, 49, 82, 144], що є причиною гіпердіагностики гіпертрофії зазначеного органу у ектоморфів або осіб із конституційно більш довгою шиєю, ніж у однолітків. Не менш важливим є урахування етнічних і середовищних умов проживання досліджуваної вибірки [43, 118, 133, 150] та залучення в експеримент осіб без клінічних ознак патології, що є необхідним для виділення груп ризику розвитку того чи іншого захворювання щитоподібної залози.

Зв'язок роботи з науковими програмами, планами, темами. Визначення нормативів морфо-функціональних показників здоров'я населення України входить до переліку середньострокових пріоритетних напрямків інноваційної діяльності галузевого рівня на 2012-2016 роки.

Тема дисертації затверджена вченою радою медичних факультетів №1 та №2 Вінницького національного медичного університету ім. М. І. Пирогова МОЗ України (протокол № 5 від 13 червня 2013 року) та проблемною комісією МОЗ і АМН України “Морфологія людини” (протокол № 24 від 4 січня 2013 року). Робота зареєстрована як ініціативна наукова тематика, що виконується у Вінницькому національному медичному університеті ім. М. І. Пирогова “Морфометричні параметри щитоподібної залози практично здорових чоловіків і жінок” (№ державної реєстрації: 0116U005863).

Мета дослідження. Встановити конституціональні, вікові та статеві особливості сонографічних параметрів щитоподібної залози практично здорових чоловіків і жінок Поділля першого зрілого віку та їх зв'язки з антропометричними й соматотипологічними показниками.

Для реалізації поставленої мети необхідно вирішити наступні основні завдання:

1. Дослідити вікові особливості сонографічних параметрів щитоподібної залози в здорових міських чоловіків і жінок Поділля першого зрілого віку.

2. Вивчити особливості сонографічних параметрів щитоподібної залози в чоловіків і жінок різних соматотипів.

3. Встановити прояви статевого диморфізму сонографічних параметрів щитоподібної залози між загальними, відповідними віковими та соматотипологічними групами чоловіків і жінок.

4. Встановити зв'язки антропометричних і соматотипологічних показників з ехопараметрами щитоподібної залози у практично здорових міських чоловіків і жінок Поділля першого зрілого віку.

5. Визначити особливості зв'язків конституціональних показників з сонографічними параметрами щитоподібної залози у практично здорових чоловіків і жінок різних вікових груп.

6. Побудувати та провести аналіз регресійних моделей індивідуальних ультразвукових параметрів щитоподібної залози у практично здорових міських чоловіків і жінок Поділля першого зрілого віку загалом і різних вікових груп в залежності від особливостей будови й розмірів тіла.

*Об'єкт дослідження* – конституціональні, вікові та статеві особливості сонографічних параметрів щитоподібної залози.

*Предмет дослідження* – сонографічні параметри щитоподібної залози практично здорових чоловіків і жінок Поділля загальної, різних вікових груп і різних соматотипів та їх зв'язки з антропометричними й соматотипологічними показниками.

*Методи дослідження:* сонографічні – для візуалізації та визначення параметрів щитоподібної залози; антропометричні та соматотипологічні – для встановлення особливостей будови і розмірів тіла; математичні – для статистичної обробки отриманих результатів та побудови моделей індивідуальних сонографічних параметрів щитоподібної залози.

Наукова новизна одержаних результатів. Вперше встановлені вікові та статеві особливості сонографічних параметрів щитоподібної залози у практично здорових чоловіків і жінок першого зрілого віку, міських мешка-

нців Подільського регіону України. У чоловіків при розподілі на вікові групи до 25 і старше 25 років встановлено значно більшу кількість вікових відмінностей сонографічних параметрів залози, ніж у жінок. Доведено, що більшість сонографічних параметрів щитоподібної залози у чоловіків загальної та відповідних вікових груп достовірно більші, або мають тенденцію до більших значень, ніж у відповідних групах жінок.

Вперше виявлені відмінності величини сонографічних параметрів щитоподібної залози у практично здорових чоловіків і жінок Поділля різних соматотипів. Доведено, що при розподілі на різні соматотипи переважна більшість відмінностей встановлена у жінок. Причому, на відміну від чоловіків (у яких переважна більшість розбіжностей параметрів залози встановлена або з загальною групою без урахування соматотипу, або між представниками різних вікових груп у межах одного соматотипу), більшість розбіжностей у жінок встановлена між представницями саме різних соматотипів (найменші значення лінійних розмірів та об'єму залози найчастіше спостерігаються у представниць ендо-мезоморфного соматотипу, а най-більші – у жінок мезоморфного та середнього проміжного соматотипів). Найбільш виражені прояви статевого диморфізму сонографічних параметрів щитоподібної залози (також більші значення у чоловіків) встановлені між представниками ендо-мезоморфного соматотипу.

Вперше встановлені особливості зв'язків сонографічних параметрів щитоподібної залози у практично здорових чоловіків і жінок Поділля загальної та відповідних вікових груп. Виявлені виражені статеві відмінності зв'язків між чоловіками та жінками загальної групи, а також між представниками відповідних вікових груп. Доведено, що найбільша кількість достовірних кореляцій з антропометричними та соматотипологічними показниками встановлена: у чоловіків загальної групи – з шириною часток (переважна більшість з яких встановлена з обхватними розмірами тіла) та об'ємом часток і загальним об'ємом залози (переважна більшість з яких встановлена



з обхватними розмірами тіла та товщиною шкірно-жирових складок (ТШЖС)); у жінок загальної групи – з об’ємом часток і загальним об’ємом залози (переважна більшість з яких встановлена з обхватними розмірами тіла, ТШЖС і показниками компонентного складу маси тіла), площею поздовжнього перерізу часток і загальною площею перерізу залози (переважна більшість з яких встановлена з діаметрами та обхватними розмірами тіла) та з товщиною часток (переважна більшість з яких встановлена з обхватними розмірами тіла); у чоловіків 22-25 років – з акустичною щільністю часток (переважна більшість з яких встановлена з ТШЖС) та з товщиною перешийка (переважна більшість з яких встановлена з обхватними розмірами тіла та кефалометричними розмірами); у жінок 21-25 років – з товщиною та об’ємом лівої частки (переважна більшість з яких встановлена з обхватними розмірами тіла); у чоловіків 26-35 років – з шириною часток (переважна більшість з яких встановлена з обхватними розмірами тіла і ТШЖС) та з об’ємом часток і загальним об’ємом залози (переважна більшість з яких встановлена з обхватними розмірами тіла); у жінок 26-35 років – з площею поздовжнього перерізу часток і загальною площею перерізу залози (переважна більшість з яких встановлена з обхватними розмірами, діаметрами тіла, шириною дистальних епіфізів довгих трубчастих кісток кінцівок і ТШЖС) та з товщиною часток, об’ємом часток і загальним об’ємом залози (переважна більшість з яких встановлена з обхватними розмірами тіла).

Вперше у здорових чоловіків і жінок Поділля різних вікових груп встановлено особливості відсоткового розподілу антропометричних і соматотипологічних показників, що найбільш часто входять до моделей сонографічних параметрів щитоподібної залози. Доведено, що у чоловіків 22-25 років найбільш часто до складу моделей входять обхватні й поздовжні розміри тіла, кефалометричні показники та ТШЖС; у чоловіків 26-35 років – поперечні й обхватні розміри тіла, ТШЖС і кефалометричні показники; у жінок 21-25 років – обхватні й поперечні розміри тіла та кефалометричні

показники; у жінок 26-35 років – обхватні, поперечні й поздовжні розміри тіла, ТШЖС і ширина дистальних епіфізів довгих трубчастих кісток кінцівок.

Практичне значення отриманих результатів. Встановлені межі довірчих інтервалів та процентильного розмаху сонографічних параметрів щитоподібної залози у практично здорових міських чоловіків і жінок Поділля першого зрілого віку загалом та окремо до й старше 25 років, а також представників різних соматотипів. Побудовані регресійні моделі індивідуальних сонографічних параметрів щитоподібної залози у чоловіків і жінок різних вікових груп (отримано деклараційний патент на винахід та подано заявку на нововведення). Для застосування результатів моделювання у практичній роботі лікарів розроблена комп'ютерна програма (отримано авторське свідоцтво на твір), яка дозволяє після введення відповідних антропометричних і соматотипологічних даних автоматично вираховувати належні індивідуальні сонографічні параметри щитоподібної залози.

Отримані результати використовуються в лекційних курсах та практичній роботі кафедр анатомії людини Вінницького національного медичного університету ім. М. І. Пирогова, Національного медичного університету імені О. О. Богомольця, ВДНЗ «Тернопільський державний медичний університет імені І. Я. Горбачевського МОЗ України» та кафедри нормальної анатомії Львівського національного медичного університету імені Данила Галицького; а також в практичній роботі лікарів Вінницького обласного клінічного високоспеціалізованого ендокринологічного центру.

Особистий внесок здобувача. Автором здійснено інформаційний пошук, аналіз джерел наукової літератури, статистичну обробку отриманих результатів, розробку основних теоретичних і практичних положень дисертаційного дослідження, самостійно написані усі розділи власних досліджень. Спільно з науковим керівником проведено аналіз та узагальнення результатів дисертаційного дослідження, а також обґрунтування висновків. У сумісних з

науковим керівником та колегами наукових роботах, автору належать основні ідеї та розробки стосовно сонографічних параметрів щитоподібної залози у чоловіків і жінок та їх зв'язків з антропометричними й соматотипологічними показниками, а також побудованих регресійних моделей індивідуальних сонографічних параметрів залози. Частина результатів, що стосуються особливостей антропометричних і соматотипологічних показників у здорових міських чоловіків і жінок Подільського регіону України отримана спільно з групою виконавців планової наукової роботи науково-дослідного центру Вінницького національного медичного університету ім. М. І. Пирогова “Розробка нормативних критеріїв здоров'я різних вікових та статевих груп населення” (№ державної реєстрації: 0109U005544).

Апробація результатів дисертації. Основні положення роботи викладені на: III Міжнародній науково-практичній конференції молодих вчених (Вінниця, 2012); VII Міжнародному конгресі з інтегративної антропології (Вінниця, 2013); VI з'їзді анатомів, гістологів, ембріологів та топографоанатомів України (Запоріжжя, 2015); Міжнародній науково-практичній конференції «Медицина XXI століття: перспективні та пріоритетні напрями наукових досліджень» (Дніпро, 2016); Міжнародній науково-практичній конференції «Вплив науково-технічного прогресу та розвиток медичної науки та практики: реалії сьогодення» (Київ, 2016); Міжнародній науково-практичній конференції «Медичні науки: напрямки та тенденції розвитку в Україні та світі» (Одеса, 2016).

Публікації. За матеріалами дисертації опубліковано 15 наукових праць (з них 6 самостійних), серед яких 7 статей в рекомендованих ДАК МОН України наукових фахових журналах (з яких 1 у виданнях, що входять до міжнародних наукометричних баз). 1 стаття опублікована у зарубіжному фаховому виданні (Польща). Отримано деклараційний патент України на корисну модель та авторське свідоцтво на твір.

## РОЗДІЛ 1

### ОГЛЯД ЛІТЕРАТУРИ

#### 1.1. Клінічне значення та проблеми визначення сонографічних параметрів щитоподібної залози в нормі і при патології

На думку багатьох авторів, щитоподібна залоза є важливим маркером соматичного та екологічного неблагополуччя, що реагує пристосувальними і дизадаптивними зрушеннями в будові органу у відповідь на різні середовищні впливи [4]. В останні роки, у зв'язку з неблагоприємною екологічною ситуацією спостерігається ріст захворювань щитоподібної залози [7, 29, 50, 86, 102].

Діагностика захворювань щитоподібної залози є актуальною проблемою клінічної медицини, яка тривалий час базувалась на оцінці клінічної симптоматики, даних пальпації, радіонуклідної скінтіграфії. Проте радіоізотопний метод дослідження щитоподібної залози є іонізуючим методом і його застосування має певні обмеження [28, 94].

Оцінка щитоподібної залози здійснюється за наступними критеріями – морфометричним і функціональним станом органу. Перший оцінюється за допомогою візуальних методів дослідження, найбільш поширеним з яких поширеним є ультразвукова діагностика.

Наразі неможливо уявити діагностику будь якої тиреоїдної патології без візуалізації щитоподібної залози і визначення її параметрів ультразвуковим методом. Ще в 1966 році японські дослідники К. Yamakawa і С. Natio вперше описали спосіб визначення об'єму щитоподібної залози за допомогою ультразвуку [204]. З цього моменту був проведений ряд досліджень, присвячених розробці та вдосконаленню методу для визначення об'єму щи-

топодібної залози [171, 182, 199]. Дж Брун (1981) запропонував метод, що використовує модель ротаційного еліпсоїда та базується на вимірюванні висоти, ширини і товщини кожної частки з подальшим обрахуванням об'єму за формулою еліпсоїда. Дослідження на трупах дозволили ввести поправочний коефіцієнт 0,479 та оптимізувати і удосконалити формулу розрахунку [199].

Переконавшись в об'єктивності та відтворюваності методу, науковці всього світу зосередили свої зусилля на вирішенні наступної проблеми: розробка нормативів об'єму щитоподібної залози в різних вікових групах [51, 104, 110, 146, 156, 160, 155, 192, 195, 197].

Сучасне уявлення про проблеми нормології людини зумовлює особливу актуальність і спонукає до вивчення зростаючої ролі фундаментальних галузей медичної науки, в тому числі анатомії людини, фізіології та інтегративної антропології, що дозволяють визначити нормативи стану соматичної і вісцеральної сфер організму людини і встановити їх внутрішні взаємозв'язки [45, 54, 83, 102].

Тому винятково важливими є розробка і оцінка точності стандартів норми. Від того, наскільки вірні нормативи сонографічних параметрів, залежить не тільки постановка діагнозу у конкретної людини, але також визначення наявності і ступеня важкості зобної ендемії у всій популяції, що населяє той чи інший регіон – шляхом масових досліджень дорослого і дитячого населення [6, 8, 107, 127].

Межі нормального і «ще нормального» відносно розмірів і ваги щитоподібної залози дуже широкі. Вони більші, ніж це виявляється у всіх інших залозах з внутрішньою секрецією [13, 138]. Сам термін "нормативи" передбачає, що основним їх змістом є прагнення розмежувати нормальні розміри щитоподібної залози від патологічних.

Якщо не заглиблюватися в статистичні нюанси, то за "норму" в більшості сучасних досліджень приймається 95% інтервал (якщо говорити про об'єм щитоподібної залози, то він знаходиться між 33-м і 97-м процентиля-

ми), в який вкладаються показники розмірів щитоподібної залози абсолютної більшості потенційно здорових осіб в обстежуваній популяції. Відповідно до цього за патологічне збільшення щитоподібної залози, або "зоб", пропонується прийняти об'єм, що виходить за 97-й перцентиль, який мають 3% досліджуваних, найімовірніше, за відсутності будь-якої патології щитоподібної залози в класичному розумінні цього терміну. Існуючі статистичні підходи у розмежуванні "норми" і "патології" щодо об'єму щитоподібної залози є велими недосконалими, оскільки збільшення розмірів органу в переважній більшості випадків є лише показником недостатнього споживання йоду і не вимагає ніяких діагностичних або лікувальних дій [10, 17, 25].

У порівнянні з УЗД, пальпація не є цілком надійним методом визначення розмірів щитовидної залози, особливо на початкових стадіях захворювання [85, 93, 106]. Помилка виміру при цьому може досягати 40% і вище. На результати пальпаторного дослідження впливають вік досліджуваного (наприклад, чим менша дитина, тим важче виконати пальпацію і тим менш надійні її результати), будова шиї, товщина м'язів і підшкірно-жирового шару, розташування щитоподібної залози. Крім того, складність виникає при зіставленні розмірів щитоподібної залози з фалангою пальця [39, 128, 131, 134].

Так, при порівнянні даних УЗД і даних отриманих при пальпації [36, 69], з'ясувалося, що розміри залози при пальпації у дітей та молодих жінок з тонкою шиєю завищувалися, а у чоловіків, що мають сильну мускулатуру в області шиї і у літніх жінок з кіфозом, занижувалися.

При здійсненні ультразвукових досліджень щитоподібної залози визначені морфологічні варіанти її просторової будови, які симулюють її збільшення при візуальному або пальпаторному дослідженні. Отримані дані дозволяють правильно інтерпретувати дані УЗД у випадках розбіжностей клінічного (збільшення) і УЗ (норма) діагнозів [24, 26, 31].

Зважаючи на те, що найчастіше зміна розмірів органу свідчить про розвиток функціональних та органічних порушень, для правильної інтерпрета-

ції отриманих даних вкрай важливим є знання і урахування меж варіабельності анатомічної будови залози за умов її норми. При ультразвуковому дослідженні щитоподібної залози визначається її положення, лінійні розміри, загальний об'єм та об'єм правої і лівої часток [73, 74, 116, 120, 121].

Об'єм щитоподібної залози в сукупності з клініко-анамнестичними даними, опосередковано, дозволяє судити про функціональний стан органу [132, 135, 136, 137, 141, 194, 196]. Показник акустичної щільності залози є кількісною ознакою її ехогенності, віддзеркалює в основному насиченість паренхіми колоїдом і має велике діагностичне значення (зменшується при дифузному токсичному зобі (зниження дифузного характеру), аутоімунному тиреоїдиті (осередки зі зниженою ехогенністю)). Власне, знання його особливостей у здорових осіб різного віку, статі, тілобудови має важливе значення в плані контролю порівняння з метою раннього виявлення відхилень [115, 166, 181, 198, 201, 206].

При динамічному спостереженні за щитоподібною залозою фахівці часто стикаються з розбіжностями отриманих показників тиреоїдного об'єму з результатами попередніх досліджень. Досить важко оцінити отримані розбіжності: чи приймати їх за зміну об'єму на тлі терапії або розглядати як помилку при повторних волюметричних вимірах [7, 9].

Морфометрія частин щитоподібної залози відіграє істотну роль, оскільки дозволяє не лише простежити стадії збільшення або зменшення органу, а й прослідкувати динаміку його зміни при гормоно-замісній терапії дифузного збільшення, запалення, після оперативного втручання і на фоні введення радіоактивного йоду ( $^{131}$ ) та своєчасно виявляти загрозу рецидиву вже пролікованого захворювання [9, 46, 47, 87, 130, 147, 157].

В різних країнах проведені ультразвукові дослідження щитовидної залози великих груп імовірно здорових осіб (залоза пальпаторно не збільшена), при цьому визначалися як ехографічні показники об'єму щитоподібної залози, так і оцінювався їх взаємозв'язок із статевою приналежністю, віком, зрос-

том, вагою, площею поверхні тіла [1, 3, 11, 16, 20, 22, 35, 38, 139, 143, 145, 148, 202].

Використання точного інструментального методу визначення об'єму, площі поздовжнього перерізу, оптичної щільності щитоподібної залози з наступною статистичною обробкою результатів є основою для епідеміологічних досліджень з метою встановлення діапазону нормальних значень досліджуваних параметрів залози [66, 98, 116, 176, 180, 185, 189, 193].

Найбільшого поширення набули вікові стандарти, запропоновані в 1993 році Райнером Гутекунстом та колегами [155]. Але основним бар'єром для уніфікації тих чи інших пропозицій стало те, що всі спроби розрахунку нормативів проводилися або на особах, що проживають в умовах йодної недостатності, або на досліджуваних з невідомим рівнем забезпечення мікроелементами.

При проведенні епідеміологічних досліджень, як правило, обстежуються діти допубертатного віку 8-10 років та особи молодого віку. Це пов'язано з тим, що у дітей молодше 7 років вимір часток щитовидної залози представляє певні технічні труднощі, у підлітковому віці збільшення об'єму щитовидної залози може бути зумовлено не стільки дефіцитом йоду, скільки вступом у пубертатний період, а у другому зрілому періоді та у літніх досліджуваних поширені «нетиреоїдні» захворювання та спостерігаються вікові інволютивні зміни, які ускладнюють інтерпретацію результатів досліджень [18, 27, 48, 99, 100, 108].

Практикуючі ендокринологи у лікувально-діагностичній роботі для встановлення параметрів щитоподібної залози використовують найчастіше перцентильні діаграми, що були розроблені закордонними лікарями ще в кінці минулого століття [128, 133, 163]. У цей же період часу, базуючись на результатах ВОЗ епідеміологічних досліджень, які мали місце в 12 країнах Європи, визначені нормативні значення об'ємних розмірів щитоподібної залози досліджуваних дитячого і підліткового віку. F. Delange зі співавт. [192] реві-



зували вікову шкалу нормативних об'ємних параметрів щитоподібної залози у зазначеної категорії досліджуваних та запропонували для практичного застосування оцінку зазначених параметрів відповідно віку, статі, зросту та, власне, площі поверхні тіла за умов відсутності дефіциту йоду.

Дані співробітників медичного радіологічного наукового центра РАМН [44], враховують стать і вік досліджуваних; данні R. Gutekunst і Н. Martin-Teichert [155], враховують лише вік; данні співробітників РМАПО Е.П. Касаткіної, Д.Є. Шиліна і М.І. Пікова [51] проведені з оцінкою тиреоїдного об'єма в залежності від різних антропометричних показників. Р. Vitti і співавт. [194] встановили залежність об'єма щитоподібної залози від віку без урахування статі при розрахунку за формулою з коефіцієнтом корекції 0,52. В будь-якому випадку необхідно визнати, що сам принцип розрахунку за площею поверхні тіла є оптимальним. Він враховує саме те, що потрібно – основні антропометричні показники досліджуваного. Очевидно, що має ставитися питання про конкретні цифри нормального об'єму щитоподібної залози.

С.Л. Мельникова, В.В. Мельников [71] запропонували оцінку розмірів щитоподібної залози проводити з урахуванням ваго-зростового показника, типу статури і стану вегетативної нервової системи.

С.А. Змеєв із співавт. [39] вказують на необхідність розробки і впровадження в практику окремих для кожного регіону оціночних таблиць розмірів щитоподібної залози з урахуванням особливостей тілобудови людини.

Паралельно накопиченню клінічного досвіду при використанні цих нормативів проводиться науковий аналіз і осмислення їх діагностичної цінності і якості (обґрунтованості, валідності). А оскільки значення граничної межі норми істотно перевищують колишні стандарти, виникає закономірне питання про стан щитоподібної залози у тих пацієнтів, яким раніше встановлювався діагноз зоба, але тепер він підлягає ревізії і спростуванню. Ця проблема має, безумовно, не стільки теоретичне, скільки прикладне значення, оскільки

ефективність і безпека лікування і профілактики будь-якого захворювання багато в чому залежить від того, наскільки своєчасно воно виявлено.

В силу того, що в Україні частина територій вільні від йодного дефіциту, наразі представляється можливим розробити свої власні норми параметрів щитоподібної залози, отримані в районах з достатнім забезпеченням йодом. Для епідеміологічних досліджень найбільш доцільно використовувати організовані контингенти населення, наприклад школярів, студентів і працівників.

## 1.2. Вікові, статеві, етнічні, індивідуально-типологічні і конституціональні особливості ультразвукових параметрів щитоподібної залози

У літературі широко обговорюється проблема індивідуального підходу до визначення нормативних показників ультразвукового дослідження щитоподібної залози [45, 52, 60, 148, 177, 178]. Разом з тим, до цього часу вчені різних країн ще не прийшли до єдиної думки щодо критеріїв оцінки ультразвукових розмірів щитоподібної залози.

Оцінка даних ультразвукового дослідження щитоподібної залози з урахуванням індивідуально-типологічних особливостей обстежуваних дозволить в клінічній практиці об'єктивно і з високою точністю диференціювати конституціональну норму і ранні патологічні зміни органу.

Відомо, що на вираженість гетероморфії впливають видові, вікові і функціональні особливості щитоподібної залози [13]. Встановлено, що середній об'єм щитоподібної залози не відрізняється у представників різних етнічних груп, якщо дотримано умови достатнього споживання йоду і харчування. У дітей об'єм щитоподібної залози більшою мірою корелює з ростом, ніж із вагою, що дозволяє врахувати відмінності у фізичному розвитку дітей, які, крім

генетичних факторів залежать від повноцінності харчування, соціальних та економічних умов життя, а також уникнути переоцінки частоти збільшення щитоподібної залози [142].

Встановлено, що розбіжність у лінійних та об'ємних показниках є наслідком індивідуальних відмінностей кожної людини, зумовлених генетично [31, 33, 37, 56, 77, 81, 129, 205].

Розміри щитоподібної залози при різних функціональних станах у однієї й тієї ж людини достатньо варіабельні. В нормі розміри у жінок можуть змінюватися у зв'язку з місячними та при вагітності. У чоловіків об'єм є фіксованим, як і довжина, товщина та ширина часток щитоподібної залози. Крім того, більшість дослідників підкреслюють, що у жінок вага щитоподібної залози більше, ніж у чоловіків. Навіть у внутрішньоутробному періоді життя вага цієї залози у ембріонів жіночої статі більше, ніж у ембріонів чоловічої статі [142, 146, 152, 164, 203].

Стосовно лінійних та об'ємних розмірів часток, встановлено, що вони у жінок менше, ніж у чоловіків [38, 75, 118]. Аналогічна закономірність спостерігається і у випадку порівняння товщини перешийка у осіб чоловічої і жіночої статі незалежно від особливостей їх тілобудови.

Розміри бічних часток щитоподібної залози відрізняються значною індивідуальною мінливістю. Відповідні дані про розміри, які наведені в різних посібниках, відрізняються між собою навіть у тих випадках, коли вони стосуються аналогічного віку і статі при однаковій загальній вазі досліджуваних [2, 14, 15, 41].

Загальноприйнятим на сьогодні вважається проведення оцінки об'єму щитоподібної залози у дорослих (старших за 18 років) з урахуванням вікового критерію і статі [10].

Індивідуальні відмінності у вазі і розмірах, а також індивідуальні функціональні особливості щитоподібної залози виявляються у всі вікові періоди [48, 66, 82, 105, 117].

Формування щитоподібної залози знаходиться під нейроендокринним контролем, але остаточний варіант будови у дорослого значною мірою визначається тим об'ємом, який вона може зайняти в ділянці шиї в процесі розвитку [176].

Виявлення вікових особливостей щитоподібної залози у досліджуваних молодого віку має важливе практичне значення, оскільки пальпаторно визначається ендокринологами збільшення залози, яке розцінюється не як транзиторна фізіологічна гіперплазія, а як початкові ознаки захворювання, і таких осіб помилково відносять до категорії хворих [179, 183, 184, 186].

Згідно результатів досліджень встановлено, що об'єм щитоподібної залози збільшується в юнацькому віці (на 10,3%) і в зрілому віці першого періоду (на 16,6%). Довжина часток, а також ширина і товщина правої частки достовірно збільшуються після 20 років. Збільшення загального об'єму щитоподібної залози відбувається переважно за рахунок довжини часток. В період 13-25 лет довжина часток порівняно із шириною збільшується втричі, а порівняно із товщиною – в 4 рази.

Ведучим анатомічним параметром за даними прижиттєвої ультразвукової морфометрії, що визначає об'єм щитоподібної залози у всіх вікових групах, є ширина часток. Сила зв'язку із товщиною часток менш виражена. Взаємозв'язок об'єму щитоподібної залози із довжиною часток збільшується з віком [17, 19, 40, 113].

Відзначається велика мінливість морфометричних параметрів залоз у жінок порівняно з аналогічними показниками у чоловіків.

Д.Б. Зоричем [40] встановлені виражені відмінності морфометричних УЗД-показників щитоподібної залози у дівчат в межах юнацького віку: більші показники ширини, товщини, площі поздовжнього перерізу і об'єму залози у 20-річних дівчат порівняно із 16-річними; більший об'єм правої частки у 17-річних у порівнянні з 16-річними та товщини лівої частки у 19-річних і 18-річних дівчат порівняно із 16-річними; товщини перешийка у 17-річних у

порівнянні з 16-річними, а показник акустичної щільності у 16- і 17-річних більший порівняно із 19- і 20-річними дівчатами. Поздовжній розмір часток щитоподібної залози у дівчат різних вікових груп не мав достовірних відмінностей.

Результати дослідження Т.С. Мухіної і співавт. [80] свідчать, що щитоподібній залозі властива диссиметрія лінійних, вагових і об'ємних показників часток, які відносно стабільні в інтервалі від першого періоду зрілого віку до старечого віку. Статеві відмінності переважно проявляються у варіантах форми: жінкам притаманний вкорочений варіант із сплюсненням у сагітальній площині.

В ході проведеного дослідження І.М. Фатєєвим [112] встановлено, що найбільші розміри щитоподібної залози спостерігаються у осіб першого періоду зрілого віку. В подальшому спостерігається зворотній зв'язок між віком і кількісними параметрами щитоподібної залози, що більше відображається у показника залежності загального об'єму залози від віку.

В результаті обстеження підлітків українського Поділля М.В. Власенко [17] встановлено нормативні ультразвукові параметри щитоподібної залози у їх віковому та статевому аспекті. Для більшої частини досліджуваних показників у хлопчиків властиве максимальне зростання у віці від 15 до 16 років. У дівчаток з віком підлягають змінам виключно розміри перешийку [18]. В значній мірі більш високі значення ультразвукових параметрів щитоподібної залози у 12-річних дівчаток, ніж у 13-річних зумовлені фактом пубертатного скачку, який притаманний загальновідомим природнім процесам акселерації в умовах сучасності.

М.Ф. Neurath і співавт. [129] вказують на наступні середні цифри ваги щитоподібної залози у різні вікові періоди: 1 – 10 дні життя – 1,9 г, 1 рік – 2,4 г, 2 роки – 3,73 г, 3 роки – 6,1 г, 4 роки – 6,12 г, 5 років – 8,6 г, 11 – 15 років – 11,2 г, 16-20 років – 22 г, 21-30 років – 23,5 г, 31-40 років – 24 г, 41-50 років –

25,3 г, 51-70 років-19-20 г. Отже, у осіб похилого та старечого віку відбувається зменшення ваги цієї залози.

Проте кількість робіт, присвячених вивченню макроморфометричних показників щитоподібної залози у населення України різних вікових груп, різних регіонів проживання [17, 40, 71, 79] достатньо невелика.

Встановлено, що довжина і ширина правої і лівої частки не завжди однакові, і права найчастіше більша. Домінування лінійних, масових і об'ємних показників правої частки підтверджує схильність до гіперпластичних процесів правої частки щитоподібної залози [43, 75, 80, 83, 117, 193, 206].

В результаті дослідження аутопсійного матеріалу досліджуваних у віці 15-90 років М.І. Єрмаковим і В.А. Забродіним [32, 38] встановлено, що сила асиметрії всіх габаритних параметрів залежить від віку і статі, причому фази сили асиметрії щитоподібної залози у чоловіків виявилися більш розтягнутими, ніж у жінок. Розміри та форма перешийка, що з'єднує обидві частки також значно варіюють.

Однак слід зазначити, що показники ультрасонографії в діагностиці захворювань щитоподібної залози досі використовуються без урахування конституціональної приналежності обстежуваного. Це пов'язано з відсутністю анатомічних стандартів, що дозволяють оцінити ці показники не тільки з урахуванням віку, статі, але й індивідуально-типологічних характеристик [14, 30, 42, 53].

Існування кореляційних зв'язків між розмірами щитоподібної залози і антропометричними параметрами обстежуваних визначає закономірності анатомічної мінливості залози. Кореляційні зв'язки між ультразвуковими показниками щитоподібної залози і індивідуально-типологічними характеристиками (площа поверхні тіла, індекс маси тіла і соматичний тип) обстежених обох статей відображають анатомічну мінливість органу [14, 15, 16, 20, 21, 22, 38, 39, 41, 59, 65, 71, 76, 119, 122, 139, 148, 193].

Існує ряд робіт, які вказують на взаємозв'язок розмірів щитоподібної залози з параметрами фізичного розвитку [14, 38, 39, 122, 139, 148, 193]. Так, у високорослих вага щитоподібної залози дещо більше, ніж у людей меншого зросту.

D. Ueda [195] шляхом лонгітудинальних досліджень довів, що об'єм щитоподібної залози найчастіше має кореляційний зв'язок із зростом.

За даними L. Hegedus [156, 182] відомо, що вплив маси тіла на об'єм щитоподібної залози втричі більший порівняно із календарним віком. Проте, S. Semiz із співав. [148] прийшли до висновку, що зв'язок між об'ємом щитоподібної залози та антропометричними показниками тіла у дітей з помірно йод-дефіцитною ендемією виражений у меншому ступеневі порівняно із досліджуваними неендемічних районів.

Привертає увагу те, що об'єм щитоподібної залози має сильний кореляційний зв'язок із віком. Hu Feng-Nan з співавт. [206] відмітили позитивний (прямий) зв'язок між об'ємом щитоподібної залози та зростом, масою і площею поверхні тіла.

За даними дослідження С.Л. Мельникової та В.В. Мельникова [71], коливання об'єму щитоподібної залози пов'язані з індивідуальними особливостями тілобудови (більші величини у досліджуваних із надлишковою масою тіла, високорослих та з великим підгруднинним кутом) та відрізняються у молодих здорових жінок, які проживають в Європейській частині Російської федерації та в Західному Сибіру.

Наразі ультразвукові показники щитоподібної залози на практиці оцінюються без урахування особливостей тіло-будови досліджуваного, що пов'язано з відсутністю анатомічних стандартів, що дають можливість оцінити розміри залози з урахуванням індивідуально-типологічних характеристик. У доступній нам літературі практично не висвітлена можливість використання соматометричних показників для характеристики функціональної ак-

тивності ендокринної системи та прогнозування ризику розвитку її патології [98, 99, 103, 148, 151].

Д.А. Ряднов і І.В. Хвастунова [99] при дослідженні 250 жінок у віці 19 – 35 років без загальної соматичної патології та з еутиреоїдним статусом визначили морфометричні маркери в прогнозуванні розвитку гіперфункції щитоподібної залози, а саме величини шкірно-жирових складок, рівня розвитку кістково-м'язового апарату (обхвати плеча і гомілки), форми грудної клітки, живота і спини. Встановлено, що значення цих антропометричних параметрів відповідають представникам доліхоморфного типу статури.

М.Б. Кучієва [65] встановила, що чисельні значення об'ємних параметрів щитоподібної залози в ряду соматичних типів від мікросомного до макросомного типу збільшуються як у жінок, так і у чоловіків. Крім того, у чоловіків встановлені сильні кореляційні зв'язки між загальним об'ємом щитоподібної залози і масою тіла і помірні – між загальним об'ємом щитоподібної залози і жировим, м'язовим, кістковим компонентами маси тіла. У обстежених жінок помірні кореляційні зв'язки встановлені між загальним об'ємом щитоподібної залози і масою тіла, а також жировим, м'язовим і кістковим компонентами маси тіла. Встановлено значний кореляційний зв'язок між загальним об'ємом щитоподібної залози і обхватом шиї у чоловіків і помірний – між цими параметрами у жінок. Встановлено значний кореляційний зв'язок між об'ємом правої частки щитоподібної залози і площею поверхні тіла, помірний – з індексом маси тіла і соматотипом. Помірні кореляційні зв'язки отримані між об'ємом лівої частки щитоподібної залози, площею поверхні тіла, індексом маси тіла і соматотипом чоловіків. Найбільш сильний кореляційний зв'язок встановлено між загальним об'ємом щитоподібної залози і досліджуваними індивідуально-типологічними характеристиками у обстежених чоловіків.



Отримані дані про значні кореляційні зв'язки показників ультразвукового дослідження щитоподібної залози чоловіків і площею поверхні тіла аналогічні результатам дослідження Ф. Деланжа ін. [192].

О.М. Мота [76, 78] визначено, що незалежно від статі і конституційних особливостей у осіб юнацького віку, які є корінними жителями Прикарпаття, відмічається прямий кореляційний зв'язок між об'ємом щитоподібної залози і чотирма параметрами фізичного розвитку, а саме: вагою, зростом, площею поверхні тіла, периметром шиї.

Слід відмітити, що ступінь його тісноти являється різним. Як у юнаків, так і у дівчат усіх конституційних типів тіло-будови об'єм щитоподібної залози найбільш тісно корелює з площею поверхні тіла і вагою. Сильний прямий достовірний зв'язок між об'ємом щитоподібної залози і площею поверхні тіла відмічається у чоловіків мезо- та брахіморфів, і у дівчат мезоморфів. У досліджуваних юнаків і дівчат доліхоморфів, у дівчат брахіморфів тіснота такого зв'язку є середньою. У чоловіків брахіморфів і у жінок мезоморфів спостерігається також сильний прямий зв'язок між об'ємом щитоподібної залози та вагою тіла. У досліджуваних з іншим типом тіло-будови тіснота кореляційного зв'язку між зазначеними показниками являється середньою. У досліджуваних всіх типів тіло-будови кореляційний зв'язок між об'ємом щитоподібної залози і зростом середньої сили. Слабкої сили спостерігається кореляційний зв'язок між об'ємом щитоподібної залози і периметром шиї. У юнаків і дівчат доліхоморфів сила зв'язку між зазначеними параметрами є слабкою, а у представників інших конституційних типів середньою [77].

Також при порівнянні коефіцієнтів регресії встановлено, що варіабельність об'єму щитоподібної залози у дівчат брахіморфів у більшій мірі залежить від ваги та площі поверхні тіла, а у меншій – від периметру шиї [78].

За даними дослідження колективу авторів Львівського національного медичного університету [38] відомо, що у доліхоморфів обох статей довжина часток щитоподібної залози достовірно більша порівняно із мезо- та брахі-

морфами. Значення різниці як між повздовжніми, так і між передньо-задніми розмірами часток щитоподібної залози збільшується від доліхоморфного до брахіморфного типу тіло-будови. Ширина ж часток та об'єм щитоподібної залози як у чоловіків, так і у жінок брахіморфів більші порівняно з представниками двох інших конституційних типів. Відзначено, що більший поліморфізм в будові часток та перешийка характерний для залоз, які належали жінкам. Прояви статевого диморфізму виявлені стосовно об'єму щитоподібної залози лише у представників брахіморфного типу тіло-будови.

Встановлено, що незалежно від вікового періоду онтогенезу взаємозв'язок об'єму щитоподібної залози найбільш постійний щодо типу конституції, маси тіла, індексу маси тіла, площі поверхні тіла, обхватних і поперечних розмірів тіла і кінцівок. Мінімальні значення об'єму щитоподібної залози властиві жінкам астеноїдного типу конституції, а максимальні – для жінок дигестивного типу конституції.

Власне, макротип щитоподібної залози характеризувався великими значеннями довжини, ширини і товщини часткою і зустрічався у представниць, а мікротип – малими значеннями даних показників. Мезотип за своїми розмірними характеристикам займає проміжне місце. Для жінок астеніків характерні мікротип і мезотип щитоподібної залози, а у жінок з торакальним і м'язовим типами конституції відмічаються всі три морфотипа щитоподібної залози. Жінкам з дигестивним типом конституції притаманний макротип і мезотип щитоподібної залози і не зустрічається її мікротип.

Ряд науковців вважають, що при більш високих показниках фізичного розвитку у дітей та підлітків в нормі щитоподібної залози є більшою порівняно з однолітками з низькими показниками фізичного розвитку [66, 175, 192, 175].

Власне, у дітей та молоді України як маса тіла, так і показники фізичного розвитку менші, що і пояснює менший об'єм залози [15, 17, 40, 78]. Тому зрозумілим є факт, підтверджений рядом науковців, що у європейського

населення відмічається більший об'єм щитоподібної залози порівняно із загальними світовими показниками. Пояснення знаходять не з достатньою йодозабезпеченістю районів, а з адекватним і тривалим залученням йодопротекції [7, 25, 91].

Таким чином, висока інформативність і широке застосування ультразвукової морфометрії дозволяє використовувати нормативні показники для діагностики захворювань щитоподібної залози ще на доклінічних (латентних) стадіях при масових і селективних диспансерно-профілактичних оглядах населення. З метою зменшення як хибно-позитивних, так і помилково негативних даних, що свідчать про збільшення щитоподібної залози у дітей і дорослих, має проводитися розробка регіональних нормативів ультразвукової морфометрії залози з обов'язковим урахуванням конституціональних особливостей у конкретного індивіда.

## РОЗДІЛ 2

### ЗАГАЛЬНА МЕТОДИКА Й ОСНОВНІ МЕТОДИ ДОСЛІДЖЕННЯ

#### 2.1. Загальна методика та суб'єкти дослідження

Відповідно до мети та завданнями дослідження первинні сонографічні параметри щитоподібної залози та антропометричні й соматотипологічні показники у практично здорових міських чоловіків і жінок Подільського регіону України отримані спільно з групою виконавців планової наукової роботи науково-дослідного центру Вінницького національного медичного університету ім. М. І. Пирогова.

На базі науково-дослідного центру Вінницького національного медичного університету ім. М. І. Пирогова для відбору здорового населення після первинного анкетування було відібрано 602 чоловіки віком від 22 до 35 років і 537 жінок віком від 21 до 35 років. Всі вони були представниками міських жителів слов'янської етнічної групи, які у третьому поколінні проживають на території Подільського регіону України. Після проведення скринінг-оцінки стану здоров'я, здійсненого за допомогою спеціального опитувальника, а також психофізіологічного та психогігієнічного тестування, ретельного клініко-лабораторного дослідження (акустична діагностика серця та магістральних судин, щитоподібної залози, паренхіматозних органів черевної порожнини, матки, яєчників, нирок та сечового міхура; рентгенографія органів грудної клітки; спіро-, кардіо- і реовазографія; стоматологічне обстеження; визначення стандартних біохімічних показників крові; визначення рівня гормонів щитоподібної залози та яєчників) були відібрані 119 практично здорових чоловіків (70 віком від 22 до 25 років і 49 віком від 26 до 35 років) і 108 практично здорових жінок (55 віком від

21 до 25 років і 53 віком від 26 до 35 років), яким провели антропометричне обстеження.

Згідно рішення комітету з біоетики Вінницького національного медичного університету ім. М.І. Пирогова (протокол №6 від 25.05.2016р.) встановлено, що проведені дослідження мають відповідність етичним і морально-правовим вимогам згідно наказу МОЗ України №281 від 01.11.2000 р [68, 72].

## 2.2. Методи дослідження

### 2.2.1. Антропометричні та соматотипологічні.

Антропометричне обстеження чоловіків та жінок було проведено відповідно до усталеної схеми В.В. Бунака [12], яке полягало у визначенні *тотальних* (довжина та маса тіла), *поздовжніх* (висота верхньогрудинної, плечової, пальцевої, лобкової та вертлюгової точок), *обхватних* (на плечі при максимальному напруженні і в стані розслаблення, передпліччі і гомілці у верхній та нижній частинах, стегні, шиї, талії, стегнах, стопі, кисті та на грудях в стані глибокого вдиху, видиху та при респіраторній паузі), *поперечних* (ширина дистальних епіфізів плеча, передпліччя, стегна, гомілки, міжкостьового, міжгребневого та міжвертлюгового розмірів таза), *передньо-задніх* (ширина плечей, поперечний середньоногруднинний, нижньогруднинний та передньо-задній розміри грудної клітки, а також зовнішня кон'югата таза у жінок); *товщини шкірно-жирових складок* (ТШЖС) (на задній і передній поверхні плеча, на передній поверхні передпліччя, під нижнім кутом лопатки, на грудях, боці, животі, стегні і гомілці).

Жировий, кістковий і м'язовий компоненти маси тіла визначали за допомогою формули J. Matiegka [165]. До того, м'язовий компонент визначався

за методом Американського інституту харчування (AIX) [178].

Для визначення абсолютної кількості жирового компонента в масі тіла за Matiegka використовували формулу:

$$D = d \times S \times k, \quad (2.1)$$

де  $D$  – загальна кількість жирового компонента (кг);

$d$  – середня товщина шару підшкірного жиру разом зі шкірою (мм);

$S$  – поверхня тіла (м<sup>2</sup>);

$k$  – константа, рівна 1,3.

Середня товщина шару підшкірного жиру разом зі шкірою у дівчат визначається за такою формулою:

$$d = \frac{1}{2} \times \frac{d1 + d2 + d3 + d4 + d5 + d6 + d7}{7}, \quad (2.2)$$

де  $d1$  .....  $d7$  – товщина ШЖС (мм) на плечі, передпліччі, спині, животі, стегні, гомілці, під лопаткою.

Середня товщина підшкірного жиру разом зі шкірою у юнаків обчислюється за нижче наведеною формулою:

$$d = \frac{1}{2} \times \frac{d1 + d2 + d3 + d4 + d5 + d6 + d7 + d8}{8}, \quad (2.3)$$

де  $d1$  .....  $d8$  – товщина ШЖС (мм) на плечі, передпліччі, спині, животі, стегні, гомілці, під лопаткою і на грудях.

Для визначення абсолютної кількості м'язової тканини використовувалась нижче наведена формула:

$$M = L \times r^2 \times k, \quad (2.4)$$

де  $M$  – абсолютна маса м'язової тканини (кг);

$L$  – довжина тіла (см);

$r$  – середня величина радіусів плеча, передпліччя, стегна, гомілки в місцях найбільшого розвитку мускулатури, за винятком шкірно-жирового шару (см);

$k$  – константа, рівна 6,5.

Радіус зазначених сегментів визначається за величиною окружності, рівної  $2\pi r$ .

Абсолютна кількість кісткового компонента визначалась за нижче наведеною формулою:

$$O = o^2 \times L \times k, \quad (2.5)$$

де  $O$  – абсолютна маса кісткової тканини (кг);

$o^2$  – квадрат середньої величини діаметрів дистальних частин плеча, передпліччя, стегна та гомілки;

$L$  – довжина тіла (см);

$k$  – константа, рівна 1,2.

Абсолютна кількість м'язової тканини визначалась за формулою американського інституту харчування:

$$TMM = RT \times (0,0264 + 0,0029 \times AMA), \quad (2.6)$$

де  $TMM$  – кількість м'язової тканини (кг);

$AMA$  – площа м'язової тканини плеча (см<sup>2</sup>);

$RT$  – довжина тіла (см);

$$\text{для юнаків} \quad AMA = \frac{(OP - \pi \cdot dl)^2}{4\pi} - 10, \quad (2.7)$$

$$\text{для дівчат} \quad AMA = \frac{(OP - \pi \cdot dl)^2}{4\pi} - 6,5, \quad (2.8)$$

де  $d1$  – товщина шкірно-жирової складки на задній поверхні плеча (мм);

ОР – обвід плеча в стані напруження (см).

Оцінка соматотипу здійснювалась згідно математичної схеми J. Carter і B. Heath [140]. Визначення соматотипу полягало в кількісній оцінці трьох компонентів: ендоморфного компоненту (F) – визначав ступінь розвитку жирових відкладень; мезоморфного (M) – відносний розвиток м'язів і кісткових елементів тіла; екторморфного компоненту (L) – відносну витягнутість тіла людини.

За допомогою нижче наведеної формули ми визначили ендоморфний компонент (F):

$$F = -0,7182 + 0,1451 \times (X) - 0,00068 \times (X^2) + 0,0000014 \times (X^3), \quad (2.9)$$

де X – сума ШЖС на задній поверхні плеча, під лопаткою та на боці.

За допомогою наступної формули ми визначили мезоморфний компонент (M):

$$M = (0,858 \times \text{ЕП} + 0,601 \times \text{ЕС} + 0,188 \times \text{ОП} + 0,161 \times \text{ОГ}) - L \times 0,131 + 4,50, \quad (2.10)$$

де ЕП – ширина дистального епіфіза плеча (см);

ЕС – ширина дистального епіфіза стегна (см);

ОП – обхват плеча в напруженому стані (см);

ОГ – обхват гомілки (см);

L – довжина тіла (см).

Для визначення екторморфного компонента (L) використовували нижче наведену формулу:

$$L = \text{РВК} \times 0,732 - 28,58, \quad (2.11)$$



де, відповідно, РВК – зросто-ваговий коефіцієнт, що визначається за формулою:

$$\text{РВК} = \frac{L}{\sqrt[3]{m}}, \quad (2.12)$$

де  $L$  – довжина тіла (см),

$m$  – маса тіла (кг).

Необхідно враховувати, що якщо РВК варіює від 40,75 до 38,25 то розрахунок проводиться за формулою:

$$L = \text{РВК} \times 0,463 - 17,63, \quad (2.13)$$

а якщо РВК менше або дорівнює 38,25 – екторморфія складає 0,1 бали.

В результаті досліджень встановлено наступний розподіл чоловіків і жінок за соматотипом:

- *чоловіки загальної групи* – 3 (2,5 %) ендоморфного, 52 (43,7 %) мезоморфного, 11 (9,2 %) екторморфного, 23 (19,3 %) екто-мезоморфного, 19 (16,0 %) ендо-мезоморфного та 11 (9,2 %) середнього проміжного соматотипу;
- *чоловіки віком 22-25 років* – 2 (2,9 %) ендоморфного, 25 (35,7 %) мезоморфного, 6 (8,6 %) екторморфного, 15 (21,4 %) екто-мезоморфного, 16 (22,9 %) ендо-мезоморфного та 6 (8,6 %) середнього проміжного соматотипу;
- *чоловіки віком 26-35 років* – 1 (2,0 %) ендоморфного, 27 (55,1 %) мезоморфного, 5 (10,2 %) екторморфного, 8 (16,3 %) екто-мезоморфного, 3 (6,1 %) ендо-мезоморфного та 5 (10,2 %) середнього проміжного соматотипу;
- *жінки загальної групи* – 6 (5,6 %) ендоморфного, 37 (34,3 %) мезоморфного, 19 (17,6 %) екторморфного, 3 (2,8 %) екто-мезоморфного, 23 (21,3 %) ендо-мезоморфного, 15 (13,9 %) середнього проміжного та 5 (4,6 %) невизначеного соматотипу;

- *жінки віком 21-25 років* – 3 (5,5 %) ендоморфного, 15 (27,3 %) мезоморфного, 13 (23,6 %) екторморфного, 1 (1,8 %) екто-мезоморфного, 11 (20,0 %) ендо-мезоморфного, 9 (16,4 %) середнього проміжного та 3 (5,5 %) невідзначеного соматотипу;
- *жінки віком 26-35 років* – 3 (5,7 %) ендоморфного, 22 (41,5 %) мезоморфного, 6 (11,3 %) екторморфного, 2 (3,8 %) екто-мезоморфного, 12 (22,6 %) ендо-мезоморфного, 6 (11,3 %) середнього проміжного та 2 (3,8 %) невідзначеного соматотипу.

### 2.2.2. Сонографічний.

Дослідження щитоподібної залози здійснювалося на ультразвуковому сканері SSA 220A (CAPASEE, Toshiba, Japan) та за допомогою ультразвукової діагностичної системи Voluson 730 Pro (Австрія) з лінійним датчиком робочої частоти 7,5 МГц та застосувували модифікований метод ультразвукової морфометрії [34, 101]. Дослідження починали з огляду передніх відділів шийї від області яремної вирізки до під'язикової кістки, послідовно при поперечному і поздовжньому скануванні. Вимірювали кожну частку і перешийок окремо. На поперечних ехограмах в центрі визначається акустична тінь від трахеї і гортані, з боків і допереду від трахеї (залежно від рівня зрізу) виявляються частки, перешийок щитоподібної залози, навколишні м'язи і судини. У щитоподібної залози виділяли такі орієнтири [109].

При поперечному скануванні:

- медіальний край частки прилягає до трахеї, щитовидного хряща, щитонадгортанного м'яза;
- латеральний край частки розташовується між передньою і задньою її поверхнями;
- передня поверхня частки простежується від перешийка до латерального краю, відмежована м'язами;

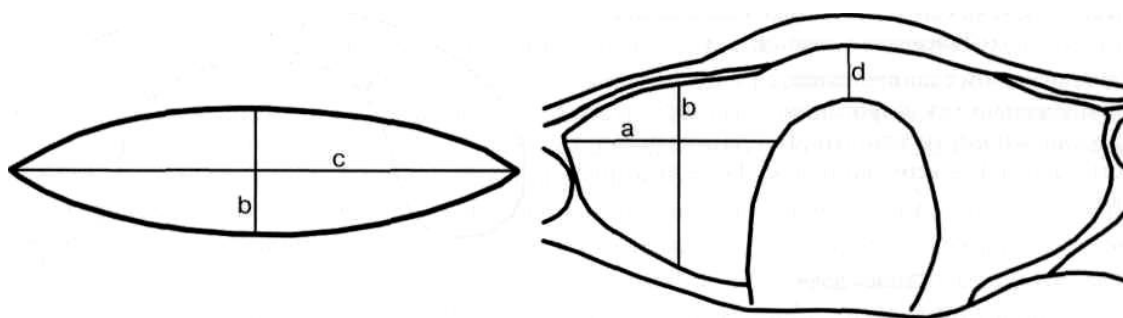
- задня поверхня – між трахеєю і латеральним краєм.

При поздовжньому скануванні:

- передня поверхня частки;
- задня поверхня частки;
- верхній полюс;
- нижній полюс.

Звичайне розташування щитовидної залози характеризувалось ехографічним виявленням її верхньої межі на рівні щитовидного хряща, а нижньої межі – на 1,5-2 см вище ключиць [153].

Ширина частки вимірювалась між крайніми точками на поперечній лінії, проведеній через центр від латерального до медіального краю. Товщина частки (передньо-задній розмір) відповідає відстані між крайніми точками на перпендикулярі, опущеному з місця переходу частки у перешийок до задньої поверхні частки. Довжина частки – це відстань між полюсами, а товщина перешийка – між передньою і задньою поверхнями перешийка [154] (рис. 2.1-2.4).



**Рис. 2.1.** Схема вимірювання ширини, товщини і довжини щитоподібної залози. а – ширина частки; б – товщина частки; с – довжина частки; d – товщина перешийка.

Об'єм кожної з часток щитоподібної залози визначався автоматично, або його обраховували згідно формули:

$$\text{об'єм} = \text{довжину} \times \text{товщину} \times \text{ширину} \times 0,524,$$

де 0,524 – поправочний коефіцієнт для визначення об'єму структур, що мають еліпсоїдну форму.

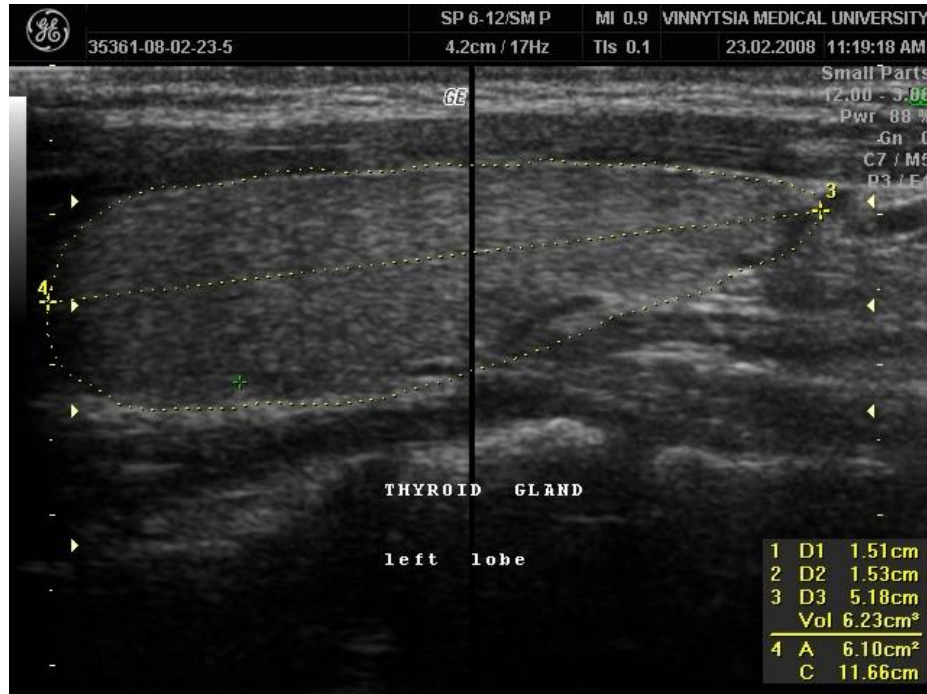


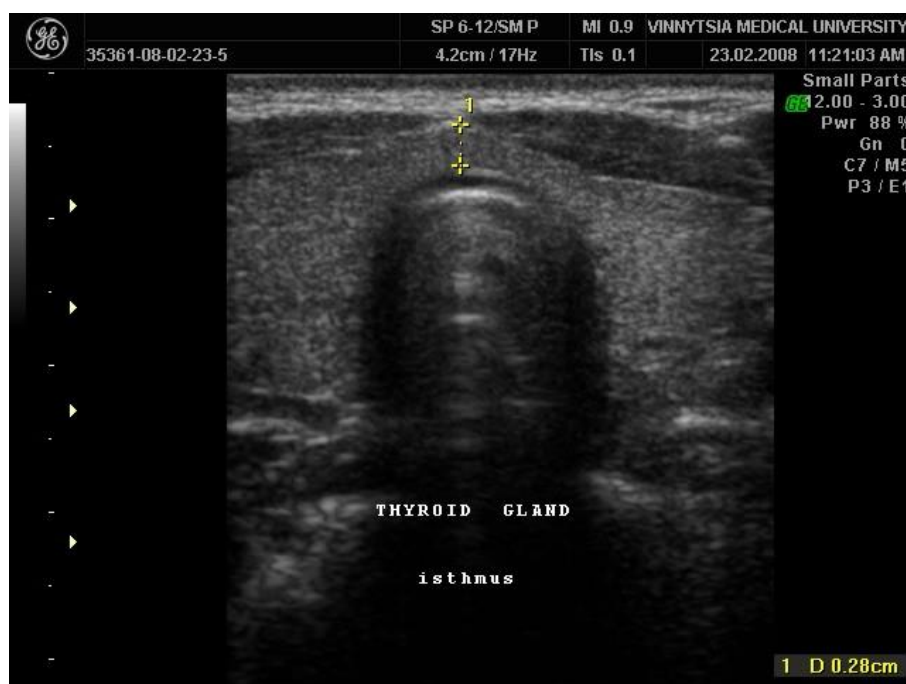
Рис. 2.2. Визначення довжини частки щитоподібної залози.



А

Б

Рис. 2.3. Визначення ширини (А) та товщини (Б) частки щитоподібної залози.



**Рис. 2.4.** Визначення товщини перешийка щитоподібної залози.

Загальний об'єм щитоподібної залози складали розміри обох часток, розміром перешийка нехтували. Також визначали площу поздовжнього перерізу правої і лівої часток, сумарну площу поздовжнього перерізу щитоподібної залози та акустичну щільність паренхіми обох її часток.

### 2.2.3. Математичного аналізу.

Статистична обробка отриманих результатів здійснено за допомогою ліцензійного пакета “STATISTICA 6.1”.

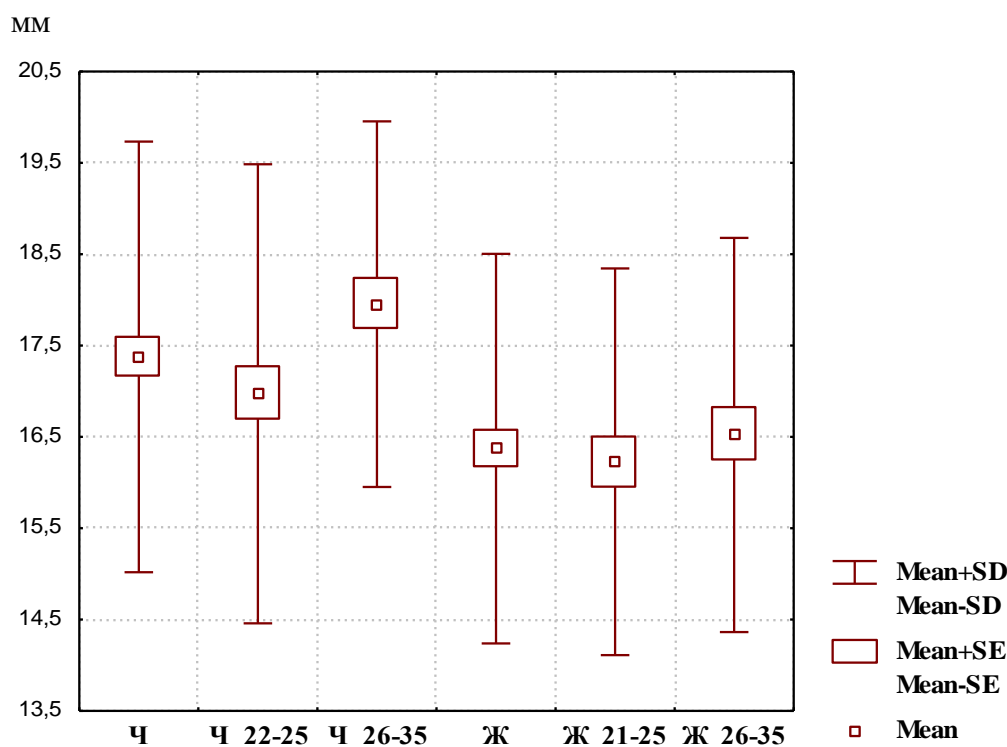
Проводили оцінку правильності розподілення ознак у варіаційних рядах; визначали середні значення ознак, що вивчалася, їх стандартні помилки та відхилення. Достовірність різниці значень між незалежними кількісними величинами при нормальному розподілі визначали за критерієм Стюдента, а в інших випадках – за допомогою U-критерію Мана-Уїтні. Аналіз кореляційних зв'язків отриманих результатів здійснювали з використанням статистичних методів Пірсона та Спірмена. Для розробки індивідуальних сонографічних параметрів щитоподібної залози, в залежності від особливостей тілобу-

дови у чоловіків і жінок, застосовувався метод покрокового регресійного аналізу [95, 96].

### РОЗДІЛ 3

## СОНОГРАФІЧНІ ПАРАМЕТРИ ЩИТОПОДІБНОЇ ЗАЛОЗИ У ЗДОРОВИХ ЧОЛОВІКІВ І ЖІНОК ЗАГАЛОМ ТА РІЗНИХ ВІКОВИХ ГРУП

Межі довірчих інтервалів (-95 confid. і + 95 confid.) у чоловіків та жінок загальної групи, а також процентильного розмаху (25,0 percentl і 75,0 percentl) ширини правої частки щитоподібної залози у представників різного віку наведені в таблиці А.1. Встановлено, що величина ширини правої частки щитоподібної залози у чоловіків 26-35 років достовірно ( $p < 0,05$ ) більша порівняно із віковою групою чоловіків 22-25 років. При співставленні величини даного показника між жінками різних вікових груп не встановлено достовірних, або тенденцій відмінностей величини даного показника (рис. 3.1; див. табл. А.1).



**Рис. 3.1.** Ширина правої частки щитоподібної залози у чоловіків та жінок загальних і різних вікових груп (мм). **Примітки:** тут і в подальшому

1. Ч – чоловіки;
2. Ж – жінки;
3. \_22-25, \_21-25, \_26-35 – відповідний вік;
4. Mean Mean – середня вибірки;
5. Mean±SE – ± похибка середньої;
6. Mean±SD – ± середнє квадратичне відхилення.

Встановлено, що величина ширини правої частки щитоподібної залози достовірно ( $p < 0,001$ ) більша у чоловіків загальної групи та у чоловіків 26-35 років порівняно із жінками аналогічних груп порівняння (див. рис. 3.1; табл. А.1).

Межі довірчих інтервалів та процентильного розмаху довжини правої частки щитоподібної залози у чоловіків та жінок загальної групи і різного віку наведені в таблиці А.1. При співставленні величини даного показника між чоловіками або жінками різних вікових груп не встановлено достовірних, або тенденцій відмінностей величини даного показника (рис. 3.2; див. табл. А.1).

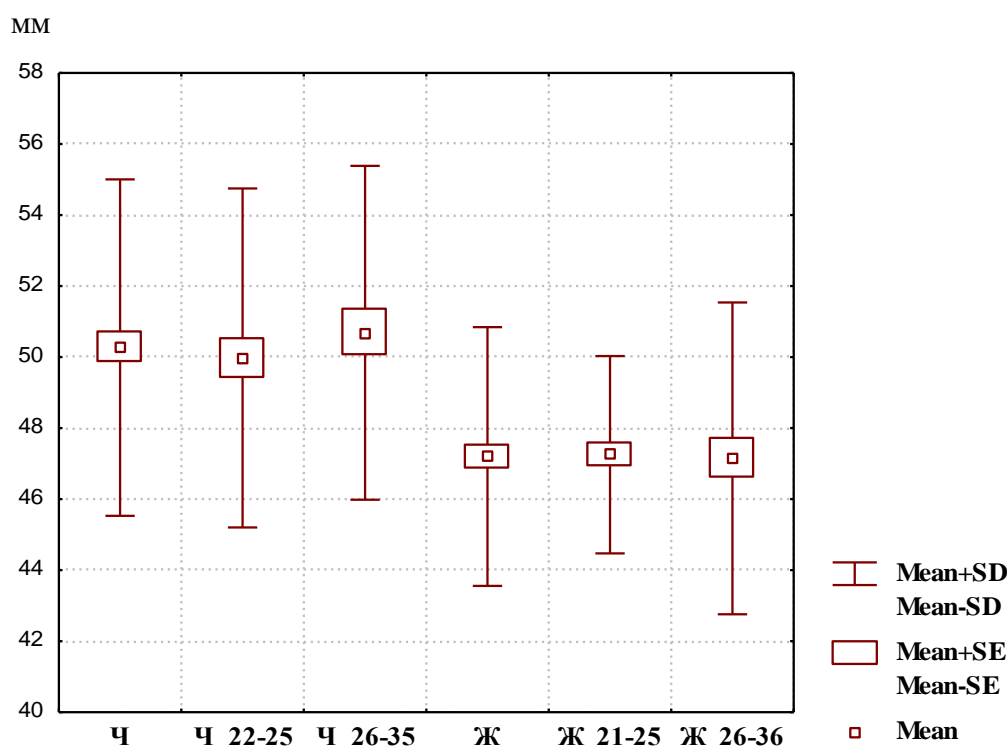
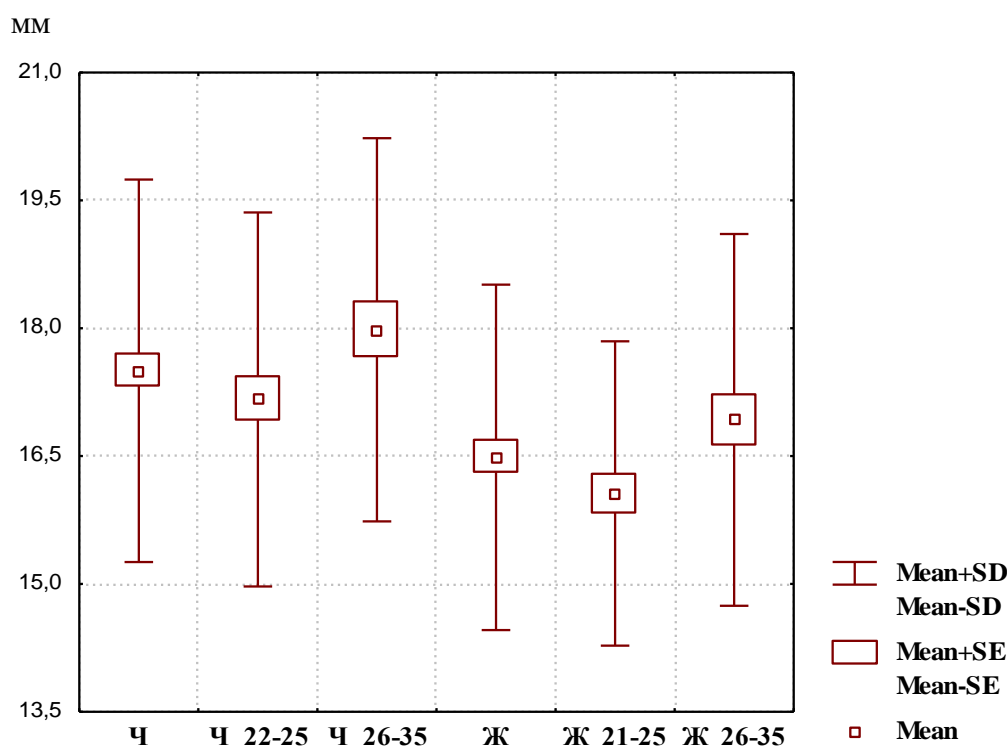


Рис. 3.2. Довжина правої частки щитоподібної залози.



Встановлено, що величина довжини правої частки щитоподібної залози у чоловіків загальної групи та двох вікових груп достовірно ( $p < 0,001$ ) більша порівняно із жінками відповідних груп порівняння (див. рис. 3.2; табл. А.1).

Межі довірчих інтервалів та процентильного розмаху товщини правої частки щитоподібної залози у чоловіків та жінок загальної групи і різного віку наведені в таблиці А.1. Встановлено, що у чоловіків 26-35 років відмічається значна тенденція ( $p = 0,055$ ) до більших значень величини товщини правої частки щитоподібної залози порівняно із віковою групою чоловіків 22-25 років. У жінок 26-35 років встановлена достовірно ( $p < 0,05$ ) більша величина досліджуваного параметра, ніж у жінок 21-25 років (рис. 3.3; див. табл. А.1).

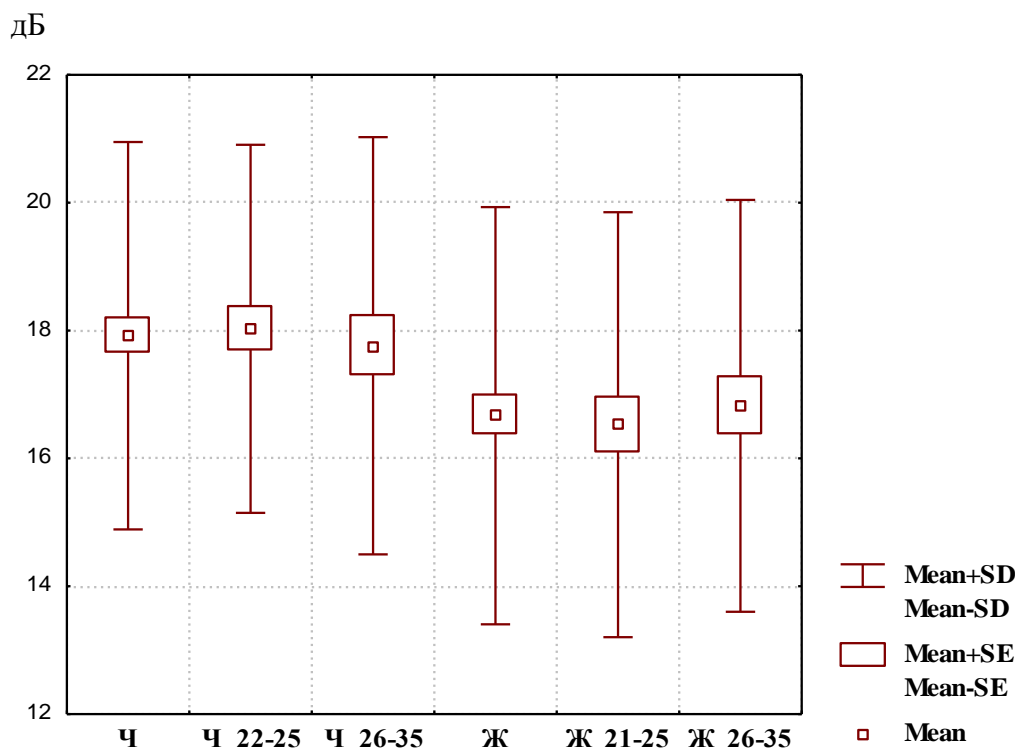


**Рис. 3.3.** Товщина правої частки щитоподібної залози.

Встановлено, що у чоловіків двох вікових та загальної групи величина товщини правої частки щитоподібної залози достовірно ( $p < 0,01-0,001$ ) більша порівняно із жінками аналогічних груп порівняння (див. рис. 3.3; табл. А.1).

Межі довірчих інтервалів та процентильного розмаху щільності правої частки щитоподібної залози у чоловіків та жінок загальної групи і різного

віку наведені в таблиці А.2. При співставленні величини даного показника між чоловіками або жінками різних вікових груп не встановлено достовірних, або тенденцій відмінностей величини даного показника (рис. 3.4; див. табл. А.2).



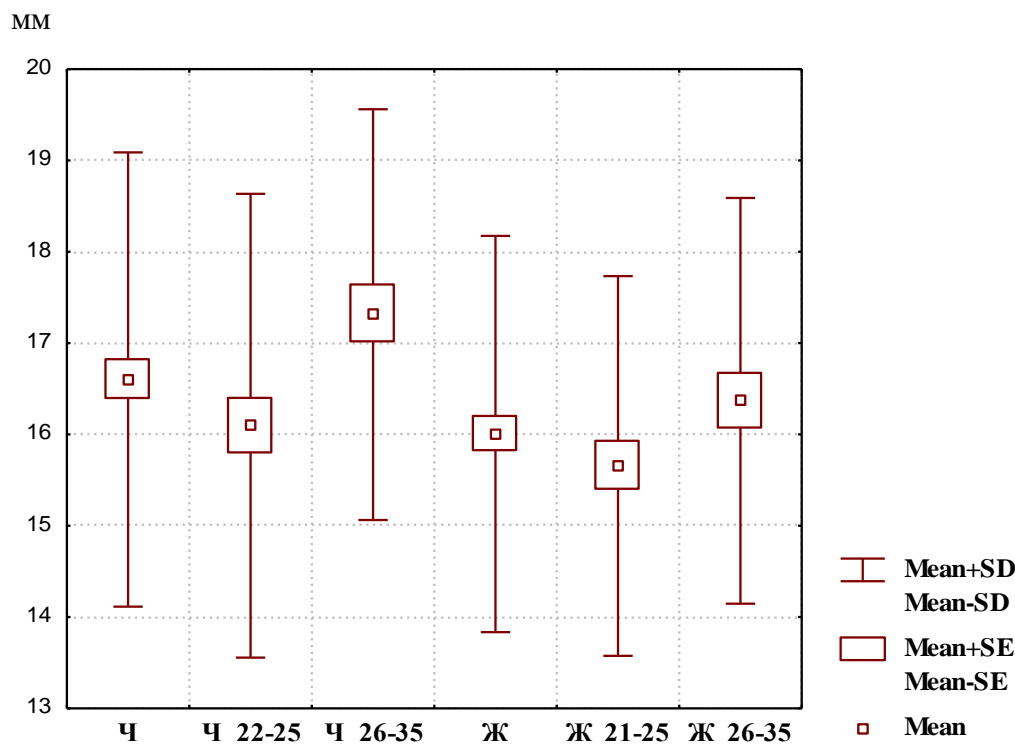
**Рис. 3.4.** Щільність правої частки щитоподібної залози.

Встановлено, що у загальній групі та у віковій групі 22 (21)-25 років величина щільності правої частки щитоподібної залози достовірно ( $p < 0,05-0,01$ ) більша у чоловіків порівняно із жінками аналогічних груп порівняння (див. рис. 3.4; табл. А.2).

Межі довірчих інтервалів та процентильного розмаху *ширини лівої частки щитоподібної залози* у чоловіків та жінок загальної групи і різного віку наведені в таблиці А.1. Встановлено, що у групі чоловіків або жінок 26-35 років величина ширини лівої частки щитоподібної залози достовірно ( $p < 0,05$ ) більша порівняно із молодшою віковою групою чоловіків або жінок (рис. 3.5; див. табл. А.1).

Встановлено, що величина ширини лівої частки щитоподібної залози у чоловіків загальної групи має значну тенденцію ( $p = 0,057$ ) до більших зна-

чень показника та у 26-35-річних чоловіків достовірно ( $p < 0,05$ ) більша порівняно із жінками аналогічних груп порівняння (див. рис. 3.5; табл. А.1).

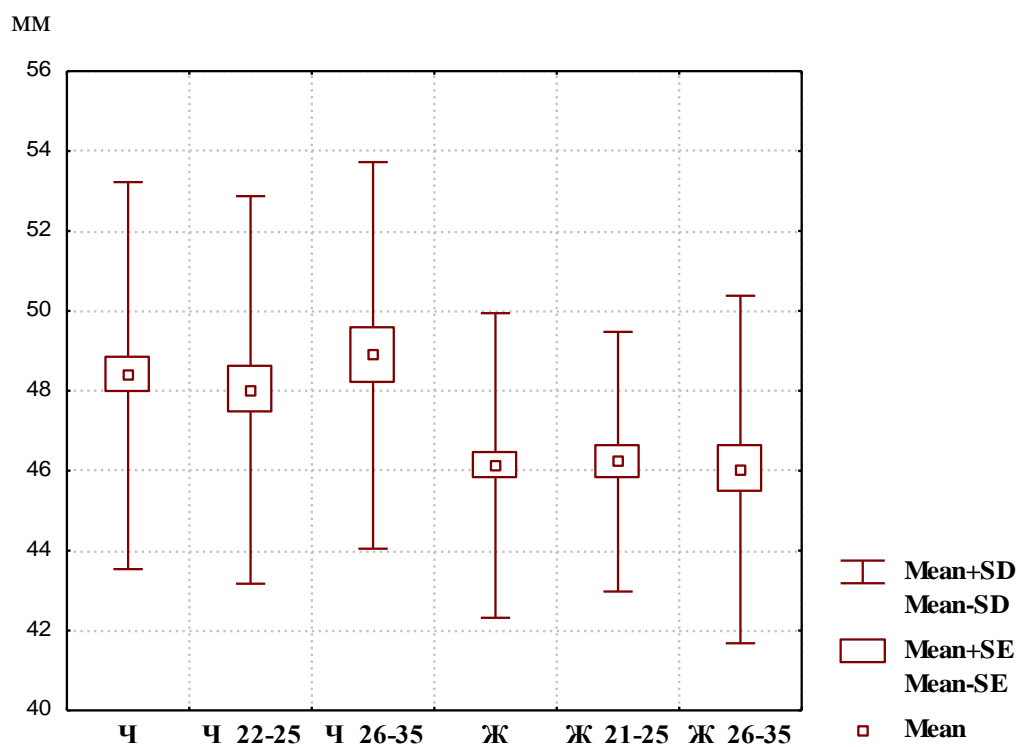


**Рис. 3.5.** Ширина лівої частки щитоподібної залози.

Межі довірчих інтервалів та процентильного розмаху довжини лівої частки щитоподібної залози у чоловіків та жінок загальної групи і різного віку наведені в таблиці А.1. При співставленні величини даного показника між чоловіками або жінками різних вікових груп не встановлено достовірних, або тенденцій відмінностей величини даного показника (рис. 3.6; див. табл. А.1).

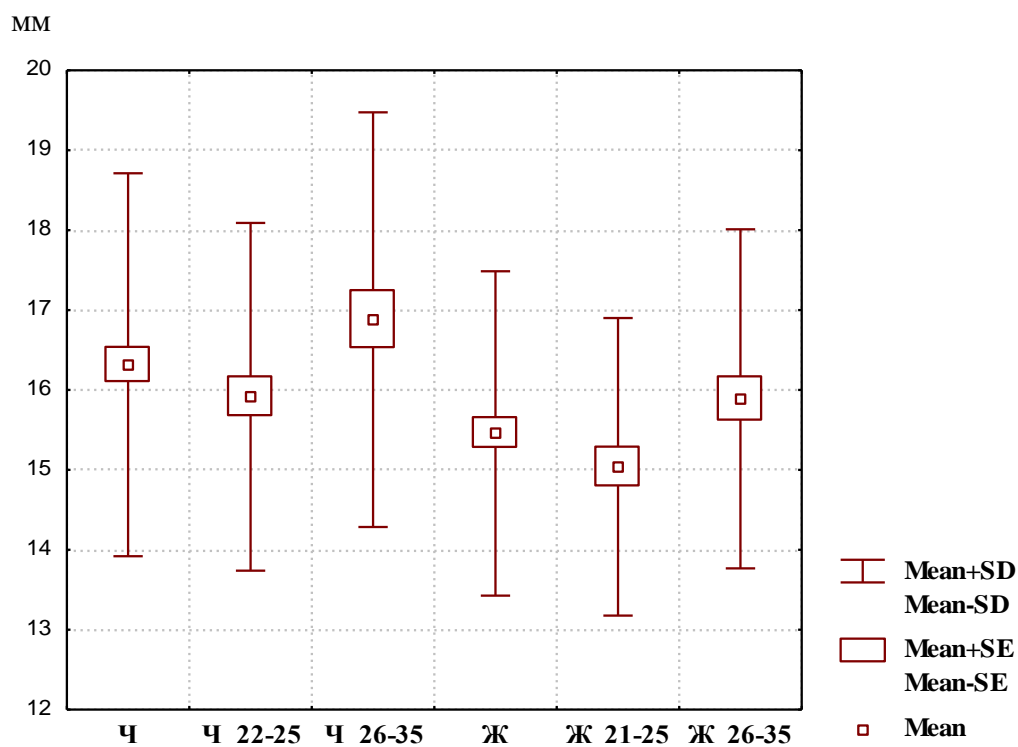
Встановлено, що у чоловіків двох вікових та загальної групи величина довжини лівої частки щитоподібної залози достовірно ( $p < 0,01-0,001$ ) більша порівняно із жінками аналогічних груп порівняння (див. рис. 3.6; табл. А.1).

Межі довірчих інтервалів та процентильного розмаху товщини лівої частки щитоподібної залози у чоловіків та жінок загальної групи і різного віку наведені в таблиці А.1. Встановлено, що у чоловіків 26-35 років величина товщини лівої частки щитоподібної залози має значну тенденцію ( $p = 0,061$ ) до більших значень порівняно із віковою групою чоловіків 22-25 ро-



**Рис. 3.6.** Довжина лівої частки щитоподібної залози.

ків. У жінок 26-35 років величина досліджуваного параметра достовірно ( $p < 0,05$ ) більша порівняно із жінками 21-25 років (рис. 3.7; див. табл. А.1).

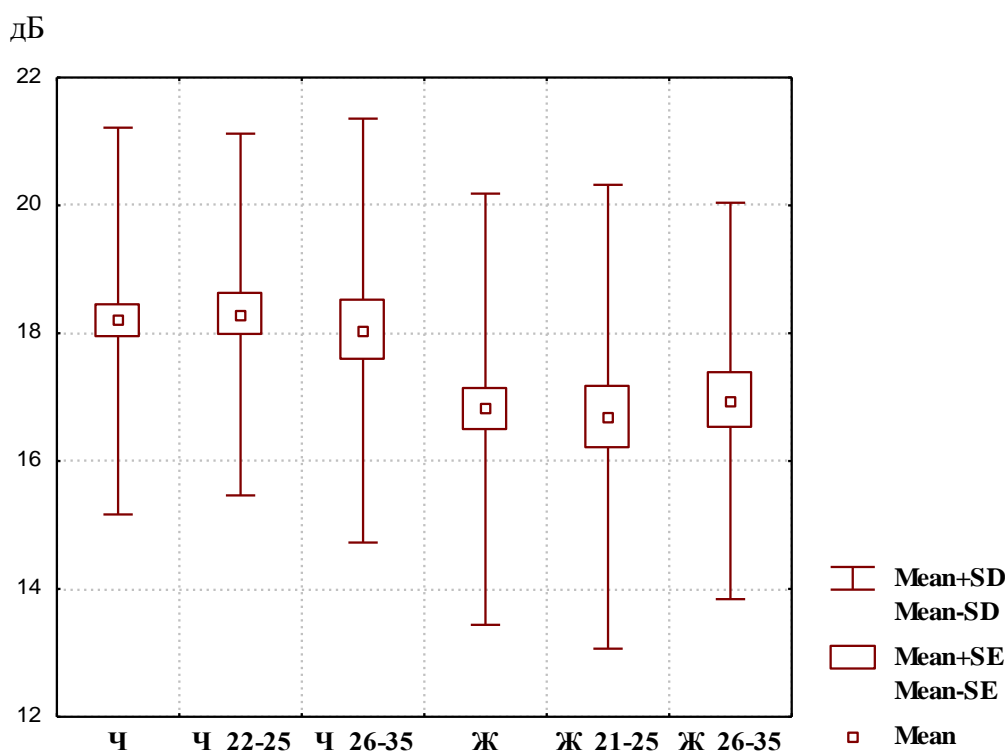


**Рис. 3.7.** Товщина лівої частки щитоподібної залози.

Встановлено, що величина товщини лівої частки щитоподібної залози

у чоловіків загальної групи і 22-25 років достовірно ( $p < 0,05-0,01$ ) більша та у чоловіків 25-36 років має незначну тенденцію ( $p = 0,067$ ) до більших значень показника порівняно із жінками аналогічних груп порівняння (див. рис. 3.7; табл. А.1).

Межі довірчих інтервалів та процентильного розмаху *щільності лівої частки щитоподібної залози* у чоловіків та жінок загальної групи і різного віку наведені в таблиці А.2. При співставленні величини даного показника між чоловіками або жінками різних вікових груп не встановлено достовірних, або тенденцій відмінностей величини даного показника (рис. 3.8; див. табл. А.2).

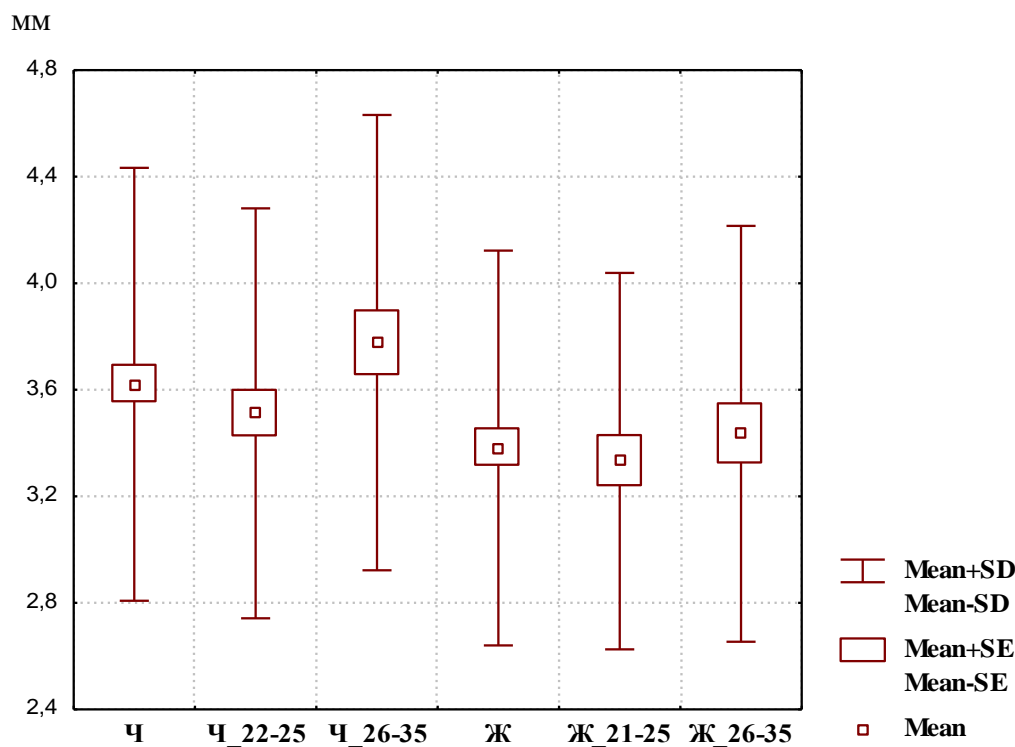


**Рис. 3.8.** Щільність лівої частки щитоподібної залози.

Встановлено, що у загальній групі та у віковій групі 22 (21)-25 років величина щільності лівої частки щитоподібної залози достовірно ( $p < 0,05-0,01$ ) більша у чоловіків порівняно із жінками аналогічних груп порівняння (див. рис. 3.8; табл. А.2).

Межі довірчих інтервалів та процентильного розмаху *товщини перешийка щитоподібної залози* у чоловіків та жінок загальної групи і різного ві-

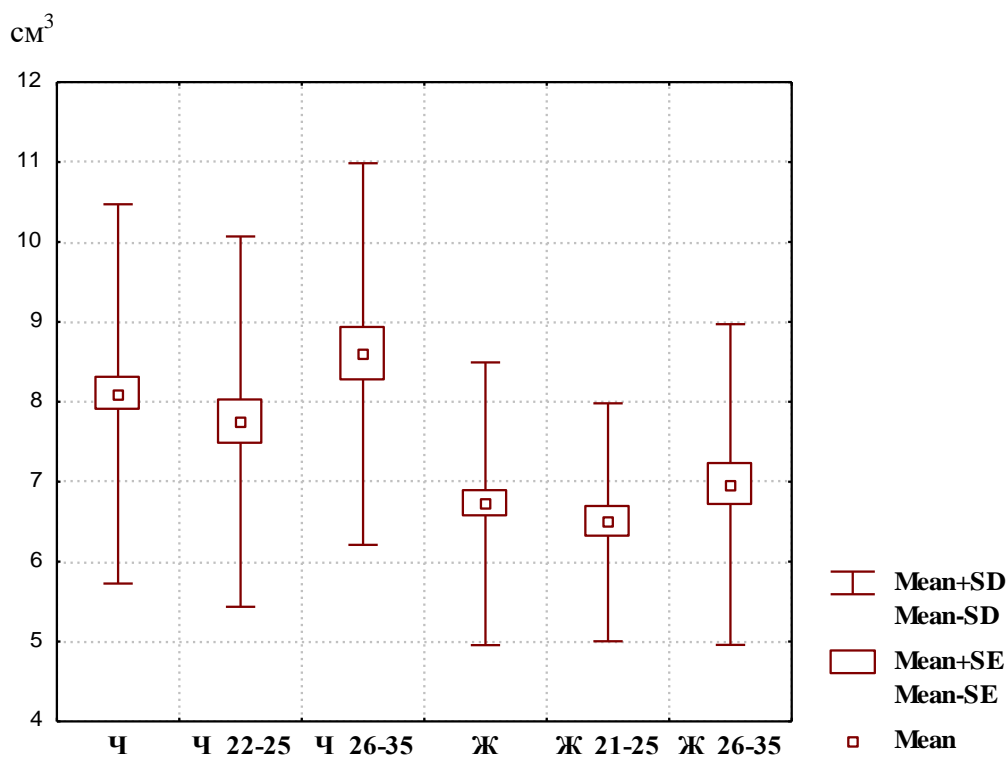
ку наведені в таблиці А.1. Встановлено, що у чоловіків 26-35 років відмічається незначна тенденція ( $p=0,069$ ) до більших значень розміру у порівнянні із віковою групою чоловіків 22-25 років. При співставленні величини даного показника між жінками різних вікових груп не встановлено достовірних, або тенденцій відмінностей величини даного показника (рис. 3.9; див. табл. А.1).



**Рис. 3.9.** Товщина перешийка щитоподібної залози.

Встановлено, що величина товщини перешийка щитоподібної залози достовірно ( $p<0,05$ ) більша у чоловіків загалом і у чоловіків 25-36 років порівняно із жінками відповідних груп порівняння (див. рис. 3.9; табл. А.1).

Межі довірчих інтервалів та процентильного розмаху *об'єму правої частки щитоподібної залози* у чоловіків та жінок загальної групи і різного віку наведені в таблиці А.2. Встановлено, що величина об'єму правої частки щитоподібної залози у чоловіків 26-35 років має незначну тенденцію ( $p=0,068$ ) до більших значень порівняно із віковою групою чоловіків 22-25 років. При співставленні величини даного показника між жінками різних вікових груп не встановлено достовірних, або тенденцій відмінностей величини даного показника (рис. 3.10; див. табл. А.2).

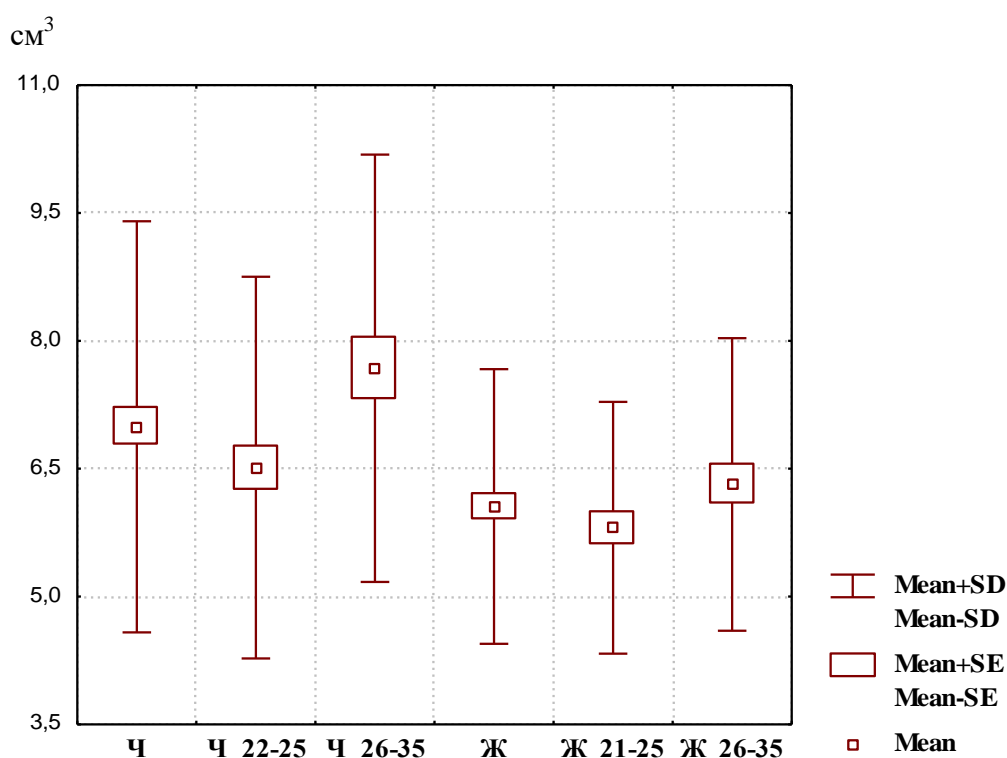


**Рис. 3.10.** Об'єм правої частки щитоподібної залози.

Величина об'єму правої частки щитоподібної залози у чоловіків загальної групи та двох вікових груп достовірно ( $p < 0,01-0,001$ ) більша порівняно із жінками відповідних вікових груп (див. рис. 3.10; табл. А.2).

Межі довірчих інтервалів та процентильного розмаху об'єму лівої частки щитоподібної залози у чоловіків та жінок загальної групи і різного віку наведені в таблиці А.2. У чоловіків 26-35 років встановлена достовірно ( $p < 0,05$ ) більша величина об'єму лівої частки щитоподібної залози порівняно із чоловіками 21-25 років. Встановлено, що у жінок 26-35 років відмічається незначна тенденція ( $p = 0,068$ ) до більших значень величини об'єму лівої частки щитоподібної залози у порівнянні із віковою групою жінок 22-25 років (рис. 3.11; див. табл. А.2).

Встановлено, що величина об'єму лівої частки щитоподібної залози у чоловіків загальної групи та двох вікових груп достовірно ( $p < 0,01-0,001$ ) більша порівняно із жінками загальної групи та 26-35 років, а також має значну тенденцію ( $p = 0,058$ ) до більших значень порівняно із жінками 22-25 років (див. рис. 3.11; табл. А.2).



**Рис. 3.11.** Об'єм лівої частки щитоподібної залози.

Межі довірчих інтервалів та процентильного розмаху *загального об'єму щитоподібної залози* у чоловіків та жінок загальної групи і різного віку наведені в таблиці А.2. У чоловіків 26-35 років встановлена достовірно ( $p < 0,05$ ) більша величина загального об'єму щитоподібної залози порівняно із чоловіками 22-25 років. При співставленні величини даного показника між жінками різних вікових груп не встановлено достовірних, або тенденцій відмінностей величини даного показника (рис. 3.12; див. табл. А.2).

Встановлено, що у чоловіків двох вікових та загальної групи величина загального об'єму щитоподібної залози достовірно ( $p < 0,01-0,001$ ) більша порівняно із жінками аналогічних вікових груп (див. рис. 3.12; табл. А.2).

Межі довірчих інтервалів та процентильного розмаху *площі правої частки щитоподібної залози* у чоловіків та жінок загальної групи і різного віку наведені в таблиці А.2. При співставленні величини даного показника між чоловіками або жінками різних вікових груп не встановлено достовірних, або тенденцій відмінностей величини даного показника (рис. 3.13; див. табл. А.2).



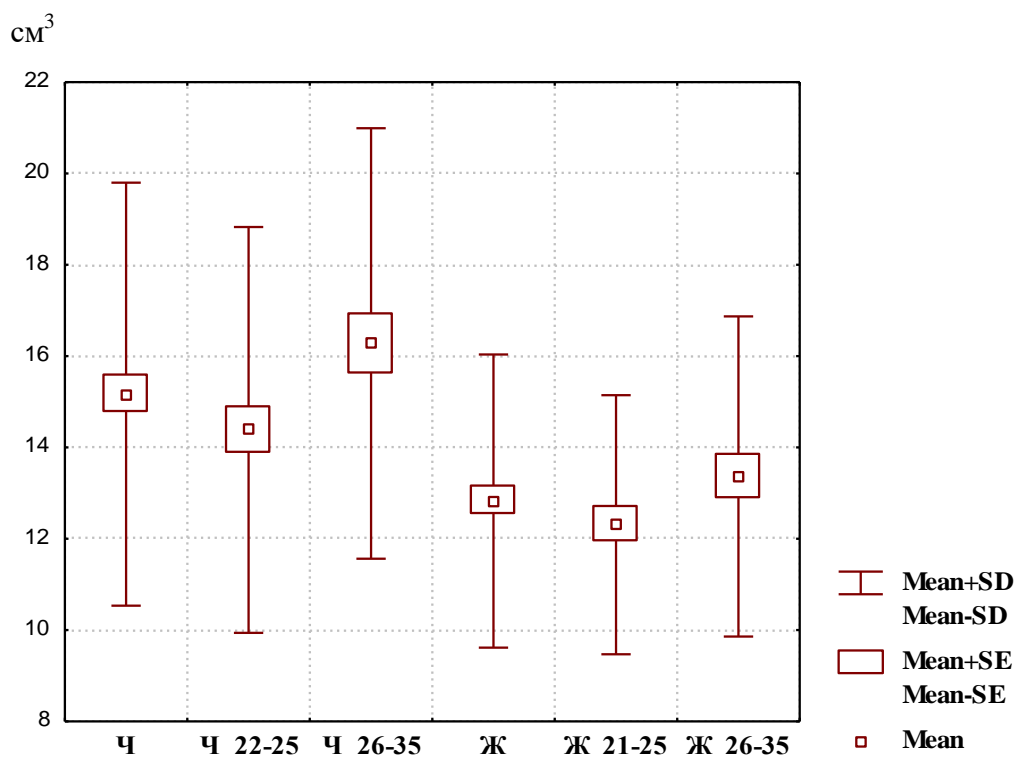


Рис. 3.12. Загальний об'єм щитоподібної залози.

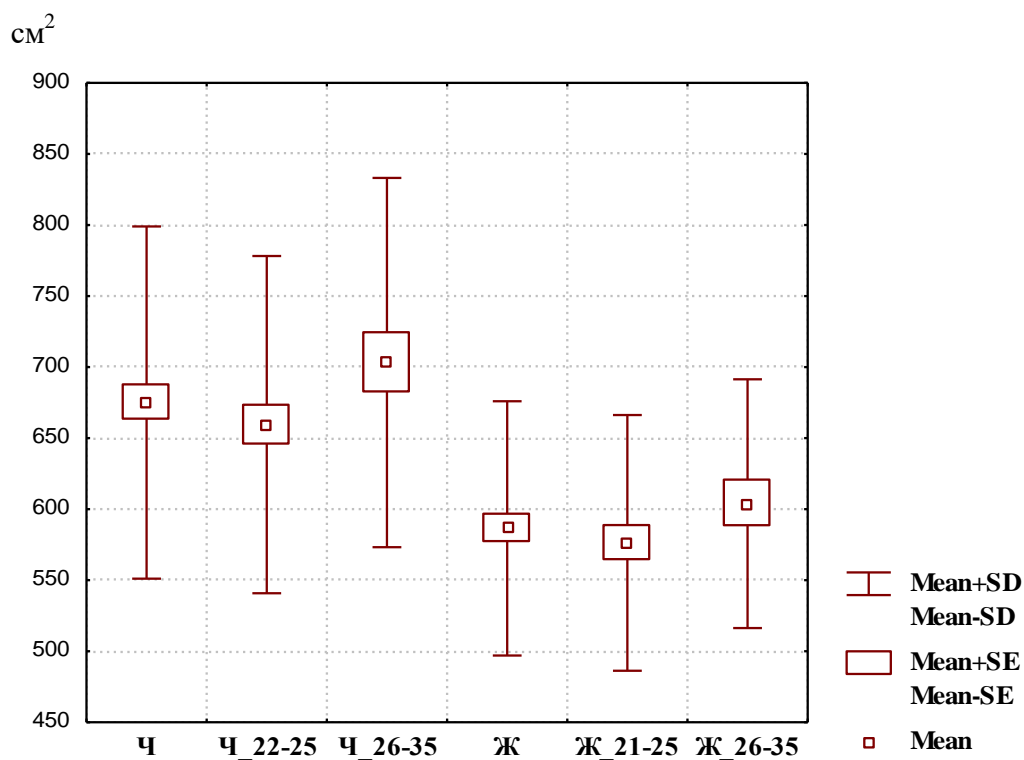
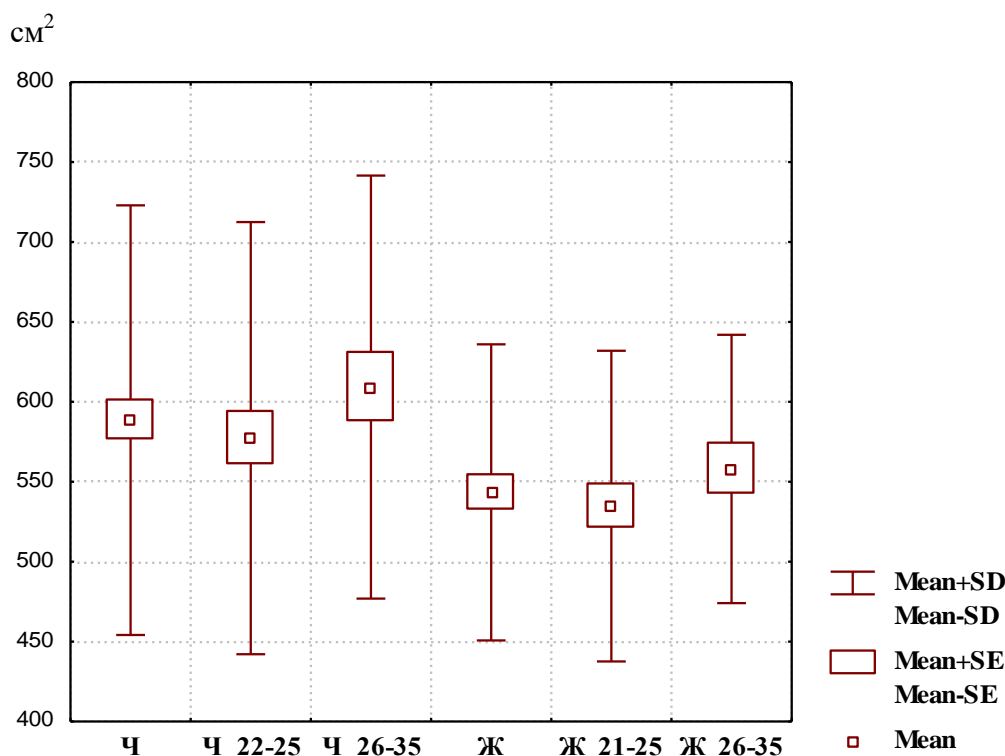


Рис. 3.13. Площа правої частки щитоподібної залози

Встановлено, що у чоловіків двох вікових та загальної групи величина площі правої частки щитоподібної залози достовірно ( $p < 0,01-0,001$ ) більша

порівняно із жінками аналогічних вікових груп (див. рис. 3.13; табл. А.2).

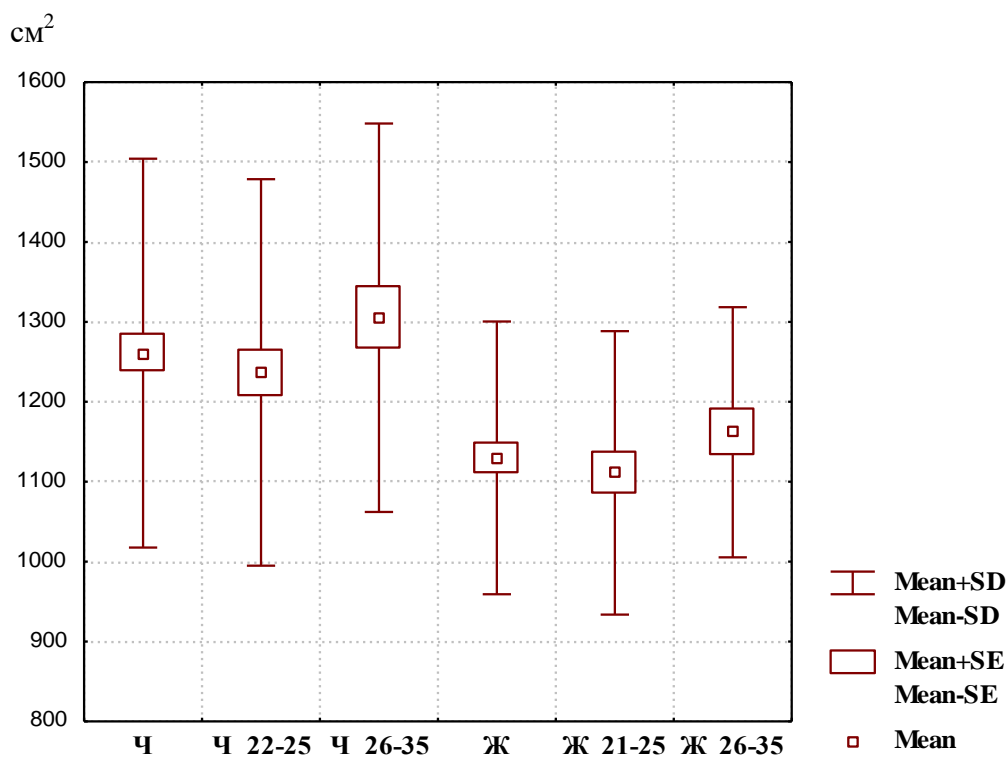
Межі довірчих інтервалів та процентильного розмаху *площі лівої частки щитоподібної залози* у чоловіків та жінок загальної групи і різного віку наведені в таблиці А.2. При співставленні величини даного показника між чоловіками або жінками різних вікових груп не встановлено достовірних, або тенденцій відмінностей величини даного показника (рис. 3.14; див. табл. А.2).



**Рис. 3.14.** Площа лівої частки щитоподібної залози.

Встановлено, що величина площі лівої частки щитоподібної залози у чоловіків загальної групи достовірно ( $p < 0,05$ ) більша та у чоловіків 22-25 років має тенденцію ( $p = 0,060$ ) до більших значень порівняно із жінками відповідних груп порівняння (див. рис. 3.14; табл. А.2).

Межі довірчих інтервалів та процентильного розмаху *загальної площі щитоподібної залози* у чоловіків та жінок загальної групи і різного віку наведені в таблиці А.2. При співставленні величини даного показника між чоловіками або жінками різних вікових груп не встановлено достовірних, або тенденцій відмінностей величини даного показника (рис. 3.15; див. табл. А.2).



**Рис. 3.15.** Загальна площа щитоподібної залози.

Встановлено, що у чоловіків двох вікових та загальної групи величина загальної площі щитоподібної залози достовірно ( $p < 0,05-0,001$ ) більша порівняно із жінками аналогічних вікових груп (див. рис. 3.15; табл. А.2).

Отже, у практично здорових міських чоловіків та жінок Подільського регіону України встановлені межі довірчих інтервалів та процентильного розмаху сонографічних параметрів щитоподібної залози. Встановлені як вікові особливості змін величини даних показників, так і виражені прояви статевого диморфізму.

Результати досліджень, які представлені в даному розділі дисертації, відображені в двох наукових статтях у фахових журналах, що рекомендовані ДАК МОН України (один з яких відноситься до міжнародних наукометричних баз) та двох тезах міжнародних науково-практичних конференцій:

Гненна В.О. Особливості лінійних розмірів щитоподібної залози у практично здорових чоловіків і жінок Поділля першого зрілого віку / В.О. Гненна // Вісник морфології. – 2014. – Т. 20, № 2. – С. 457-460.

Маєвський О.Є. Особливості об'єму і площі поздовжнього перерізу

щитоподібної залози у здорових чоловіків і жінок першого зрілого віку / О.Є. Маєвський, В.О. Гненна // Світ медицини та біології. – 2014. – № 4 (16). – С. 30-34.

Гненна В.О. Статеві розбіжності сонографічних параметрів щитоподібної залози у практично здорових мешканців Поділля першого зрілого віку / В.О. Гненна // Матеріали VII Міжнародного конгресу з інтегративної антропології. 17-18 жовтня 2013. м. Вінниця. – С. 40-41.

Маєвський О.Є. Щільність паренхіми щитоподібної залози у практично здорових чоловіків і жінок Поділля першого зрілого віку / О.Є. Маєвський, В.О. Гненна // Збірник тез наукових робіт учасників Міжнародної науково-практичної конференції. «Медичні науки: напрямки та тенденції розвитку в Україні та світі». 17-18 червня 2016р., м. Одеса. – С. 91-93.

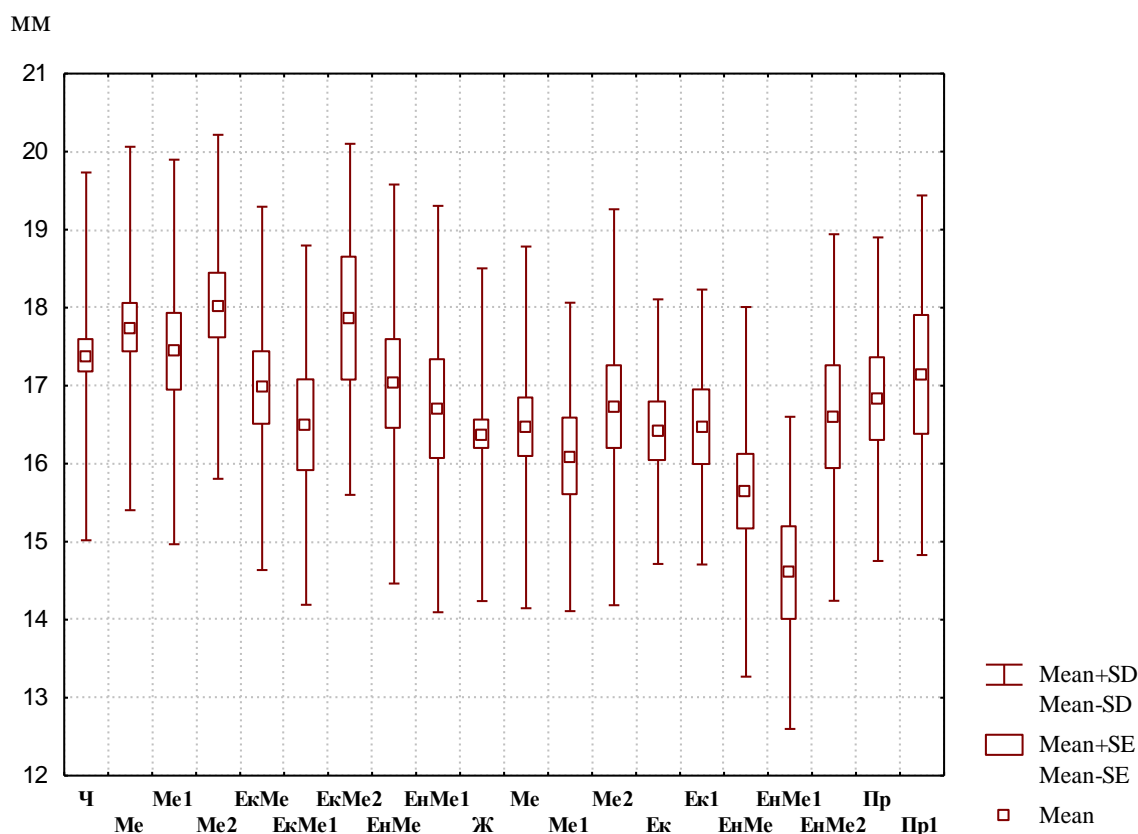
#### РОЗДІЛ 4

### СОНОГРАФІЧНІ ПАРАМЕТРИ ЩИТОПОДІБНОЇ ЗАЛОЗИ У ЗДОРОВИХ ЧОЛОВІКІВ І ЖІНОК РІЗНИХ СОМАТОТИПІВ

Межі процентильного розмаху (25,0 percentl та 75,0 percentl) *ширини правої частки щитоподібної залози* у чоловіків та жінок різних соматотипів наведені в таблицях Б.1-Б.4. При співставленні величини ширини правої частки щитоподібної залози між чоловіками всіх груп порівняння (загальної групи без урахування соматотипу, загальної групи з урахуванням соматотипу та двох вікових груп) певного та різних соматотипів не встановлено достовірних відмінностей, або тенденцій відмінностей величини даного показника (рис. 4.1; див. табл. Б.2). Встановлено, що величина ширини правої частки щитоподібної залози у жінок 21-25 років ендо-мезоморфного соматотипу достовірно менша ( $p < 0,05$ ) порівняно із загальною групою жінок без урахування соматотипу та має виражену тенденцію ( $p = 0,053$ ) до менших значень порівняно із жінками 26-35 років аналогічного соматотипу. Величина ширини правої частки щитоподібної залози у жінок 21-25 років ендо-мезоморфного соматотипу достовірно менша ( $p < 0,05$ ) порівняно із жінками аналогічного віку ектоморфного й середнього проміжного соматотипу та має незначну тенденцію ( $p = 0,068$ ) до менших значень порівняно із жінками із мезоморфним соматотипом (див. рис. 4.1; див. табл. Б.4).

Величина ширини правої частки щитоподібної залози у чоловіків мезоморфів загальної групи, чоловіків ендо-мезоморфів 21-25 років достовірно ( $p < 0,05$ ) більша та у чоловіків мезоморфів 26-35 років має тенденцію ( $p = 0,063$ ) до більших значень порівняно із відповідними за віком і соматотипом жінками (див. рис. 4.1; табл. Б.5).

Межі процентильного розмаху *довжини правої частки щитоподібної залози* у чоловіків та жінок різних соматотипів наведені в таблицях Б.1-Б.4.

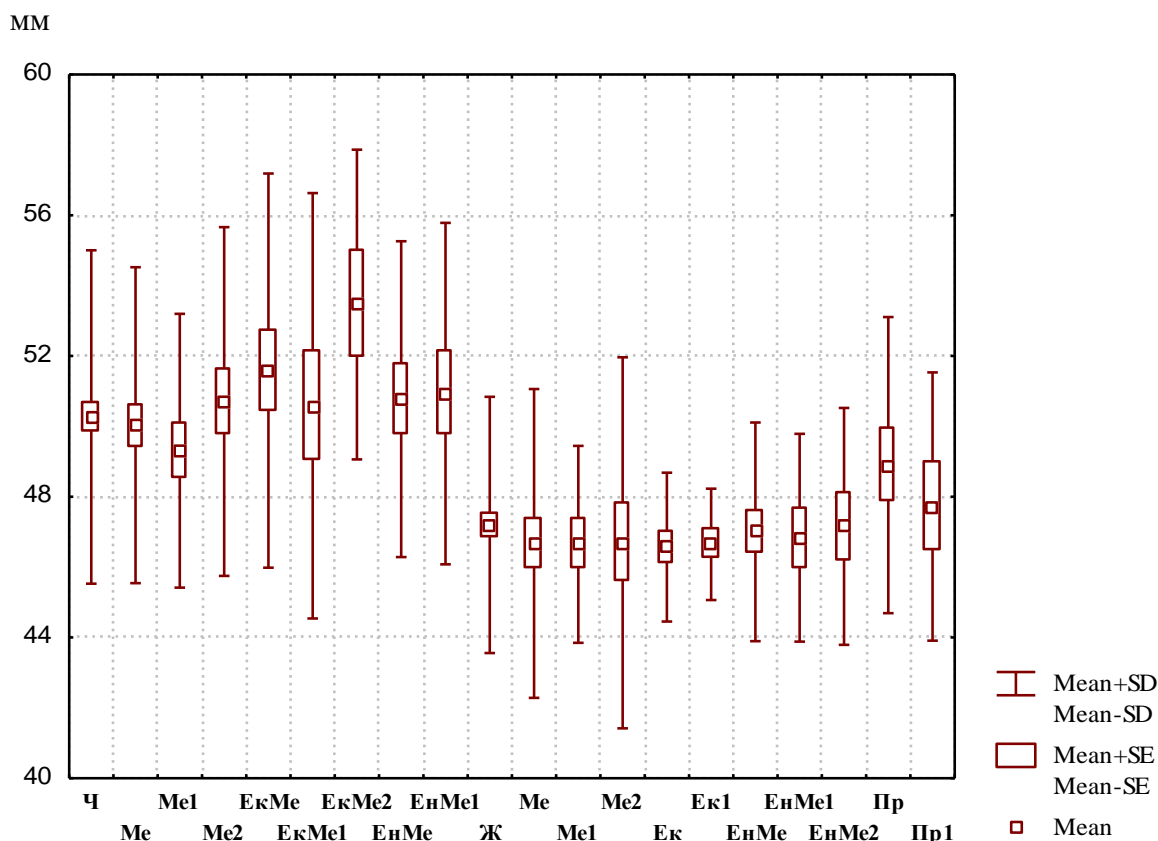


**Рис. 4.1.** Ширина правої частки щитоподібної залози у чоловіків та жінок різних соматотипів (мм). Примітки: тут і в подальшому

1. Ч – чоловіки;
2. Ж – жінки;
3. 1 – вік 22-25 років;
4. 2 – вік 26-35 років;
5. Me – мезоморфний соматотип;
6. Ек – ектоморфний соматотип;
7. ЕкМе – екто-мезоморфний соматотип;
8. ЕнМе – ендо-мезоморфний соматотип;
9. Пр – середній проміжний соматотип.

Встановлено, що величина довжини правої частки щитоподібної залози у чоловіків 26-35 років екто-мезоморфного соматотипу достовірно більша ( $p < 0,05$ ) порівняно із загальною групою чоловіків без урахування соматотипу та має незначну тенденцію ( $p = 0,066$ ) до більших значень показника порівня-

но із чоловіками 22-25 років аналогічного соматотипу (рис. 4.2; див. табл. Б.2). При співставленні величини довжини правої частки щитоподібної залози між жінками всіх груп порівняння певного та різних соматотипів не встановлено достовірних відмінностей, або тенденцій відмінностей величини даного показника (див. рис. 4.2; табл. Б.4).

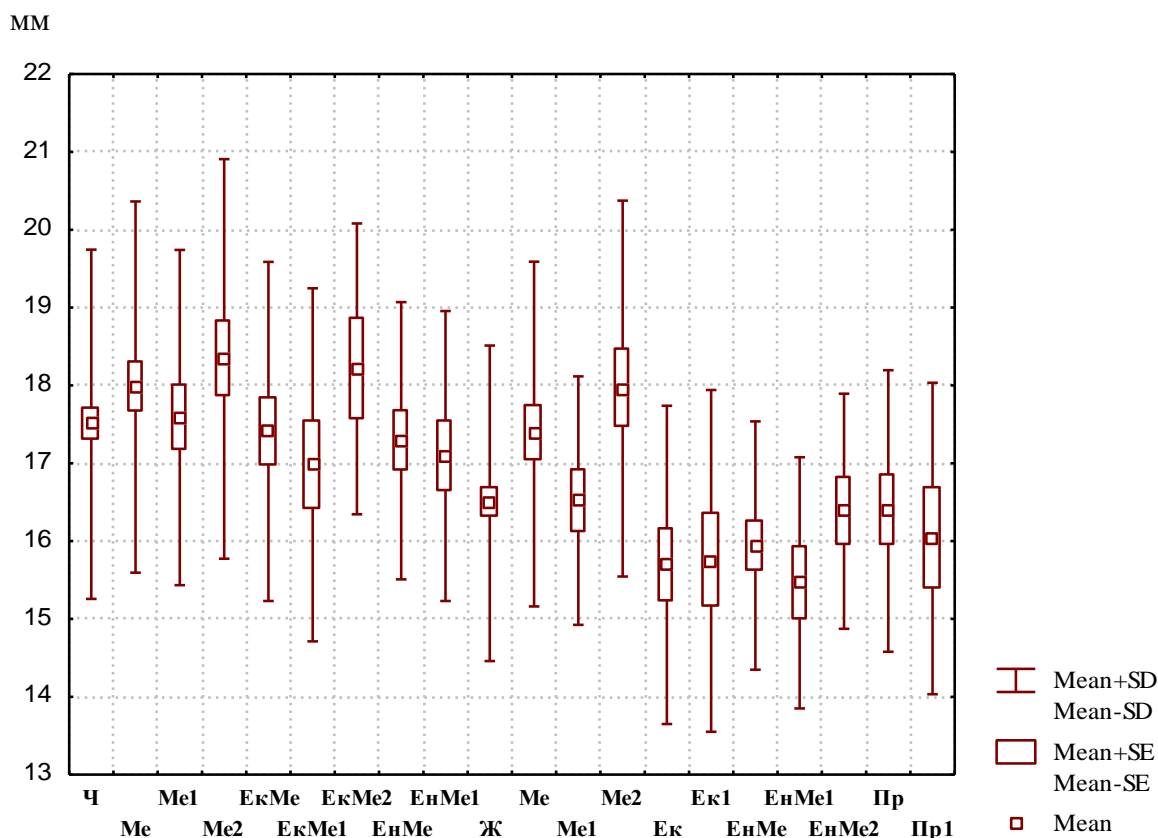


**Рис. 4.2.** Довжина правої частки щитоподібної залози у чоловіків та жінок різних соматотипів (мм).

Величина довжини правої частки щитоподібної залози у чоловіків мезоморфів та ендо-мезоморфів загалом і двох вікових груп (за виключенням чоловіків ендо-мезоморфів 26-35 років) достовірно більша ( $p < 0,05-0,01$ ) порівняно із жінками аналогічних вікових груп та соматотипу (див. рис. 4.2; табл. Б.5).

Межі процентильного розмаху товщини правої частки щитоподібної залози у чоловіків та жінок різних соматотипів наведені в таблицях Б.1-Б.4. При співставленні величини товщини правої частки щитоподібної залози між

чоловіками всіх груп порівняння певного та різних соматотипів не встановлено достовірних відмінностей, або тенденцій відмінностей величини даного показника (рис. 4.3; див. табл. Б.2). Встановлено, що величина товщини правої частки щитоподібної залози у жінок загалом без урахування соматотипу достовірно менша ( $p < 0,05-0,01$ ) порівняно із жінками мезоморфами загалом та віком 26-35 років. Величина товщини правої частки щитоподібної залози у жінок мезоморфів загалом достовірно більша ( $p < 0,05-0,01$ ) порівняно із жінками екторморфами та ендо-мезоморфами віком 21-35 років. Величина зазначеного розміру має незначну тенденції ( $p = 0,069$ ) до більших значень у жінок мезоморфів 26-35 років порівняно із жінками ендо-мезоморфами аналогічного віку (див. рис. 4.3; табл. Б.4).



**Рис. 4.3.** Товщина правої частки щитоподібної залози у чоловіків та жінок різних соматотипів (мм).

Встановлено, що величина товщини правої частки щитоподібної залози у чоловіків ендо-мезоморфів загалом та віком 22-25 років достовірно більша

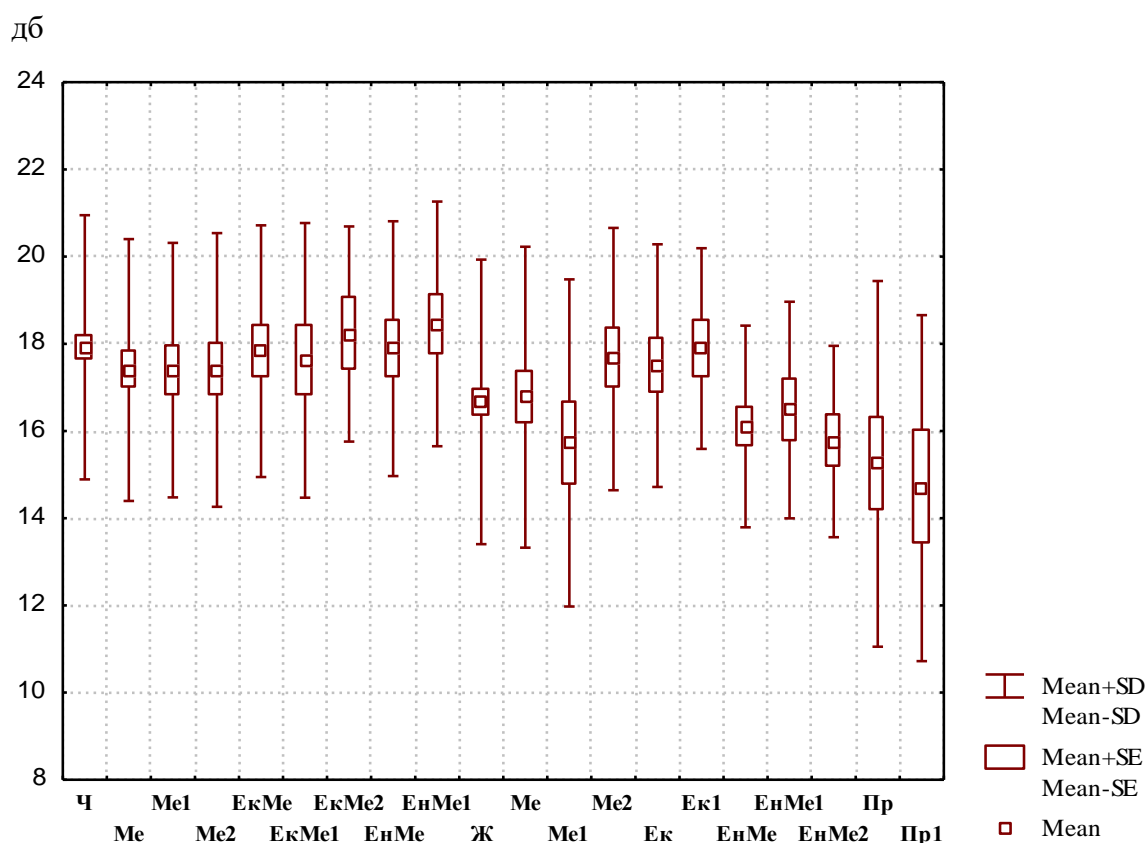


( $p < 0,05$ ) порівняно із жінками аналогічних вікових груп та соматотипу (див. рис. 4.3; табл. Б.5).

Межі процентильного розмаху *щільності правої частки щитоподібної залози* у чоловіків та жінок різних соматотипів наведені в таблицях Б.6-Б.9. При співставленні величини щільності правої частки щитоподібної залози між чоловіками всіх груп порівняння певного та різних соматотипів не встановлено достовірних відмінностей, або тенденцій відмінностей величини даного показника (рис. 4.4; див. табл. Б.7). Величина щільності правої частки щитоподібної залози у жінок ектоморфів 21-25 достовірно більша та у жінок ектоморфів загальної групи має тенденцію ( $p = 0,060$ ) до більших значень порівняно із жінками із середнім проміжним соматотипом відповідних груп порівняння. Величина щільності правої частки щитоподібної залози у жінок мезоморфів 25-36 має значну тенденцію ( $p = 0,054$ ) до більших значень порівняно із жінками енто-мезоморфами аналогічного віку (див. рис. 4.4; табл. Б.9).

Встановлено, що щільність правої частки щитоподібної залози у чоловіків енто-мезоморфів загалом має незначну тенденцію ( $p = 0,067$ ) до більших значень порівняно із жінками загалом аналогічного соматотипу (див. рис. 4.4; табл. Б.10).

Межі процентильного розмаху *ширини лівої частки щитоподібної залози* у чоловіків та жінок різних соматотипів наведені в таблицях Б.1-Б.4. Встановлено, що величина ширини лівої частки щитоподібної залози у чоловіків загалом без урахування соматотипу достовірно менша ( $p < 0,05$ ) порівняно із чоловіками мезоморфами віком 26-35 років (рис. 4.5; див. табл. Б.2). Величина ширини лівої частки щитоподібної залози у жінок загалом без урахування соматотипу та у жінок енто-мезоморфного соматотипу віком 26-35 років достовірно більша ( $p < 0,05-0,01$ ) порівняно із жінками енто-мезоморфами віком 21-25 років. Величина ширини лівої частки щитоподібної залози у жінок із середнім проміжним і мезоморфним соматотипом загальної групи

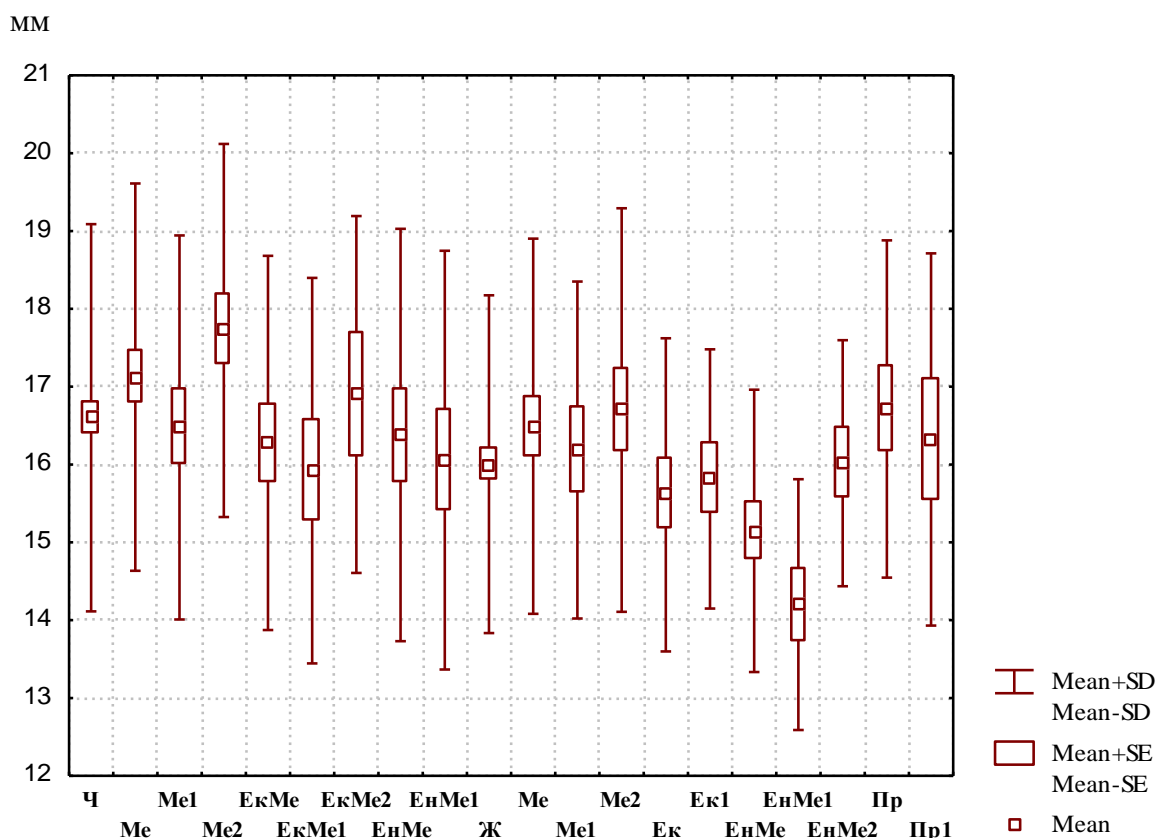


**Рис. 4.4.** Щільність правої частки щитоподібної залози у чоловіків та жінок різних соматотипів (дБ).

достовірно більша ( $p < 0,05$ ) та має виражену тенденцію ( $p = 0,059$ ) до більших значень порівняно із жінками ендо-мезоморфами аналогічної групи порівняння. Зазначений розмір у жінок 21-25 років із середнім проміжним, ектоморфним та мезоморфним соматотипом достовірно більший ( $p < 0,05$ ) порівняно із жінками ендо-мезоморфами аналогічного віку (див. рис. 4.5; табл. Б.4).

При співставленні величини ширини лівої частки щитоподібної залози між чоловіками і жінками мезоморфного і ендомезоморфного соматотипу загальної групи з урахуванням соматотипу та двох вікових груп (ендомезоморфи 22-25 років) не встановлено достовірних відмінностей, або тенденцій відмінностей величини ширини лівої частки щитоподібної залози (див. рис. 4.5; табл. Б.5).

Межі процентильного розмаху *довжини лівої частки щитоподібної залози* у чоловіків та жінок різних соматотипів наведені в таблицях Б.1-Б.4.

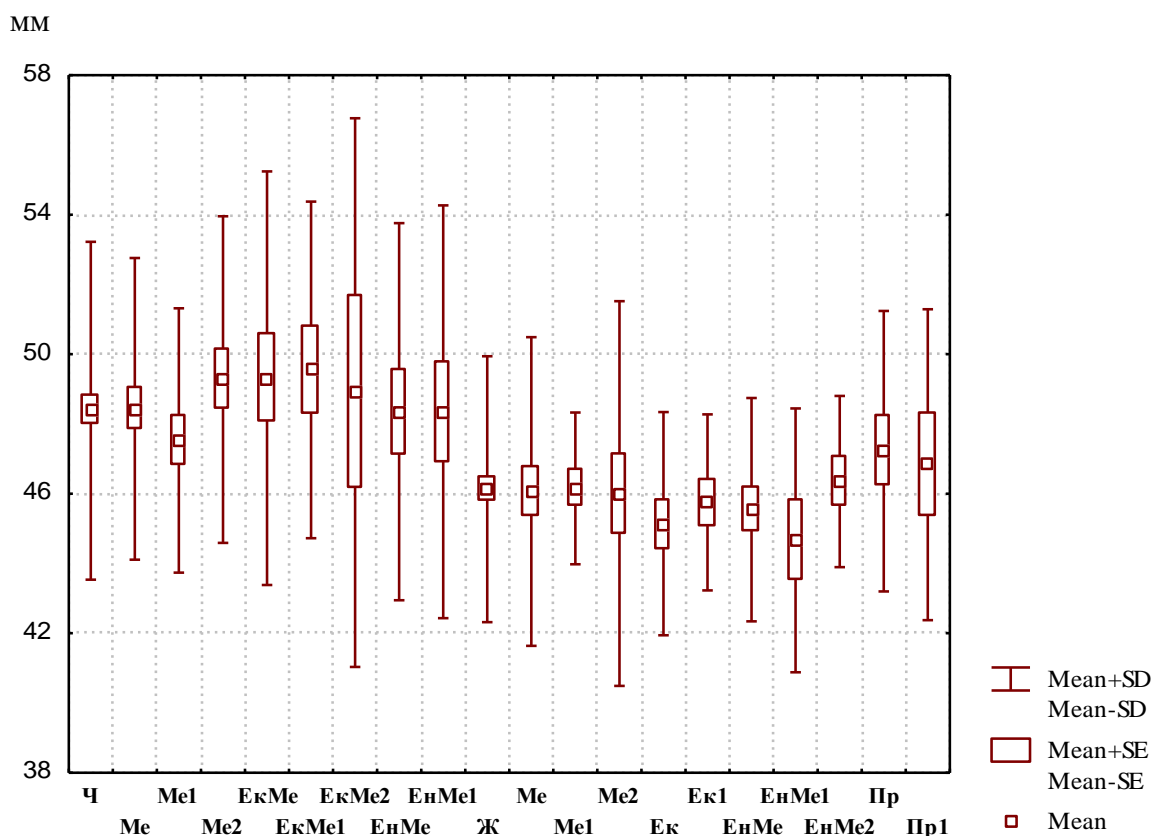


**Рис. 4.5.** Ширина лівої частки щитоподібної залози (мм).

При співставленні величини довжини лівої частки щитоподібної залози між чоловіками або жінками всіх груп порівняння певного та різних соматотипів не встановлено достовірних відмінностей, або тенденцій відмінностей величини даного показника (рис. 4.6; див. табл. Б.2, Б.4).

Встановлено, що довжина лівої частки щитоподібної залози у чоловіків ендо-мезоморфів загалом та 22-25 років достовірно більша ( $p < 0,05$ ) порівняно із жінками аналогічного віку та соматотипу. Зазначений розмір у чоловіків мезоморфів загалом має незначну тенденцію ( $p = 0,068$ ) до більших значень порівняно із жінками аналогічної вікової групи та соматотипу (див. рис. 4.6; табл. Б.5).

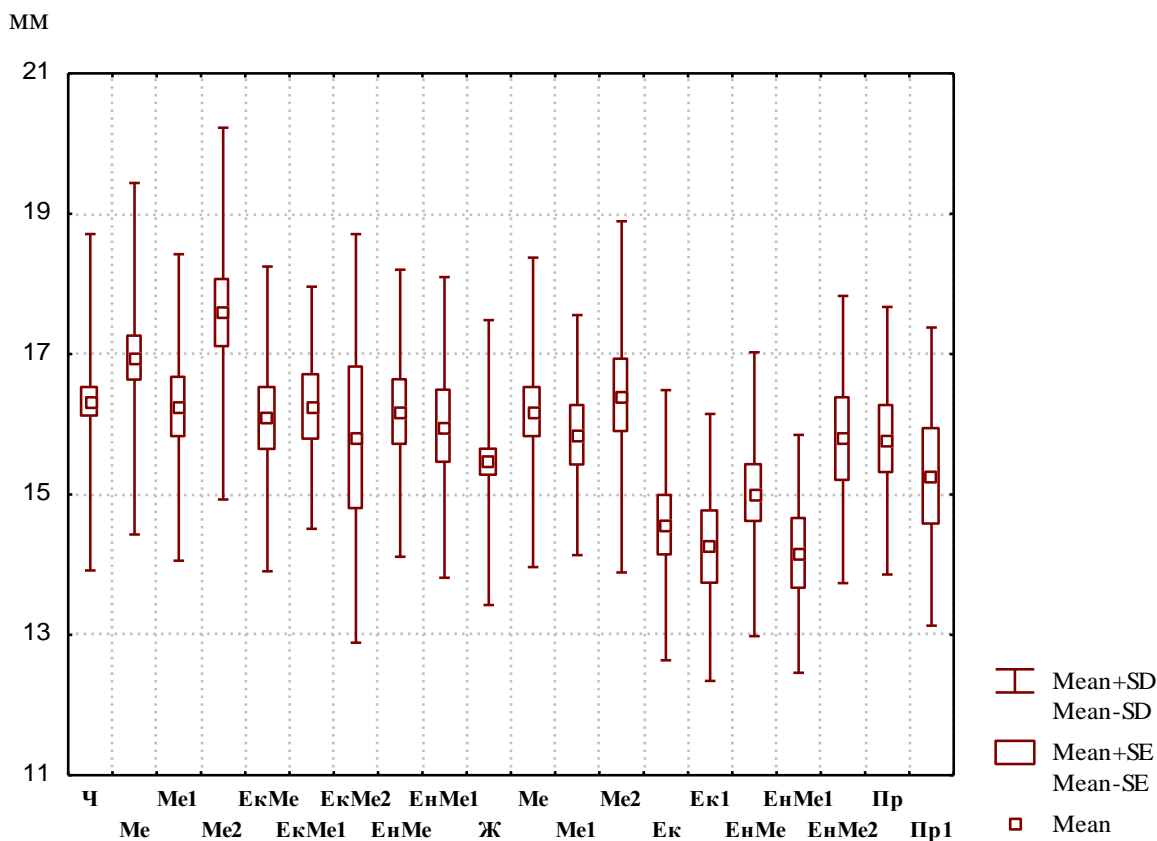
Межі процентильного розмаху товщини лівої частки щитоподібної залози у чоловіків та жінок різних соматотипів наведені в таблицях Б.1-Б.4. Встановлено, що величина товщини лівої частки щитоподібної залози у чоловіків загалом без урахування соматотипу достовірно менша ( $p < 0,05$ ) порів-



**Рис. 4.6.** Довжина лівої частки щитоподібної залози (мм).

няно із чоловіками мезоморфами віком 26-35 років (рис. 4.7; див. табл. Б.2). У жінок мезоморфів 26-35 років величина товщини лівої частки щитоподібної залози має незначну тенденцію ( $p=0,067$ ) до більших значень порівняно із жінками загалом без урахування соматотипу. У жінок екторморфів віком 21-25 величина товщини лівої частки щитоподібної залози достовірно ( $p<0,05$ ) менша порівняно із жінками загалом без урахування соматотипу. У жінок ендо-мезоморфів віком 21-25 років величина товщини лівої частки щитоподібної залози має тенденції ( $p=0,058$  і  $p=0,061$ ) до менших значень порівняно із жінками загалом без урахування соматотипу і жінками 26-35 років аналогічного соматотипу. Також встановлено, що товщина лівої частки щитоподібної залози у жінок екторморфів та ендо-мезоморфів загалом і 21-25 років достовірно менша ( $p<0,05$ ) порівняно із жінками мезоморфами аналогічних груп порівняння. Величина товщини лівої частки щитоподібної залози у жінок екторморфів загалом має незначну тенденцію ( $p=0,068$ ) до менших зна-

чень порівняно із жінками із середнім проміжним соматотипом аналогічної групи порівняння (див. рис. 4.7; табл. Б.4).

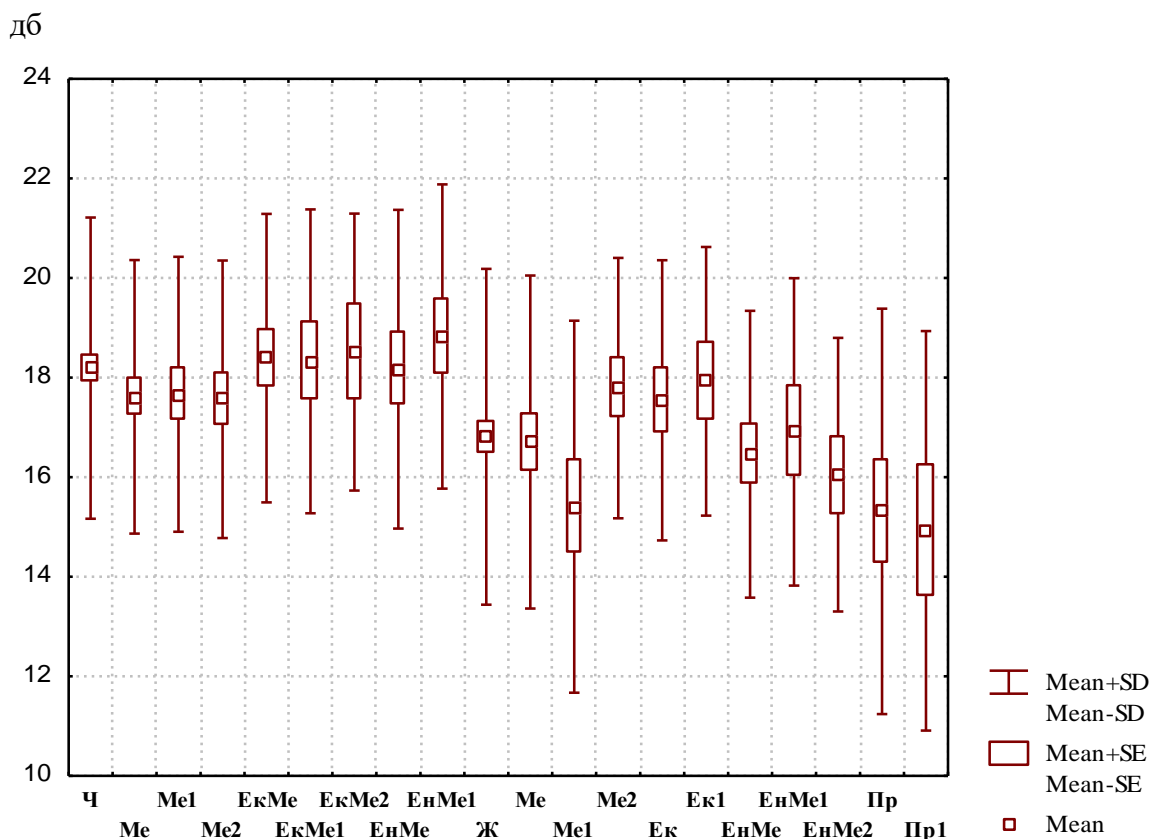


**Рис. 4.7.** Товщина лівої частки щитоподібної залози у чоловіків та жінок різних соматотипів (мм).

У чоловіків ендо-мезоморфів 22-25 та загальної групи товщина лівої частки щитоподібної залози відповідно достовірно ( $p < 0,05$ ) більша та має незначну тенденцію ( $p = 0,069$ ) до більших значень порівняно із жінками аналогічних вікових груп та соматотипу (див. рис. 4.7; табл. Б.5).

Межі процентильного розмаху щільності лівої частки щитоподібної залози у чоловіків та жінок різних соматотипів наведені в таблицях Б.6-Б.9. При співставленні величини щільності лівої частки щитоподібної залози між чоловіками всіх груп порівняння певного та різних соматотипів не встановлено достовірних відмінностей, або тенденцій відмінностей величини даного показника (рис. 4.8; див. табл. Б.7). Величина щільності лівої частки щитоподібної залози у жінок мезоморфів 25-36 достовірно більша ( $p < 0,05$ ) порів-

няно із жінками аналогічного соматотипу меншої вікової групи. Величина даного показника у жінок екторморфів 21-25 має значні тенденції ( $p=0,057-0,059$ ) до більших значень порівняно із жінками із середнім проміжним та мезоморфним соматотипами аналогічного віку (див. рис. 4.8; табл. Б.9).

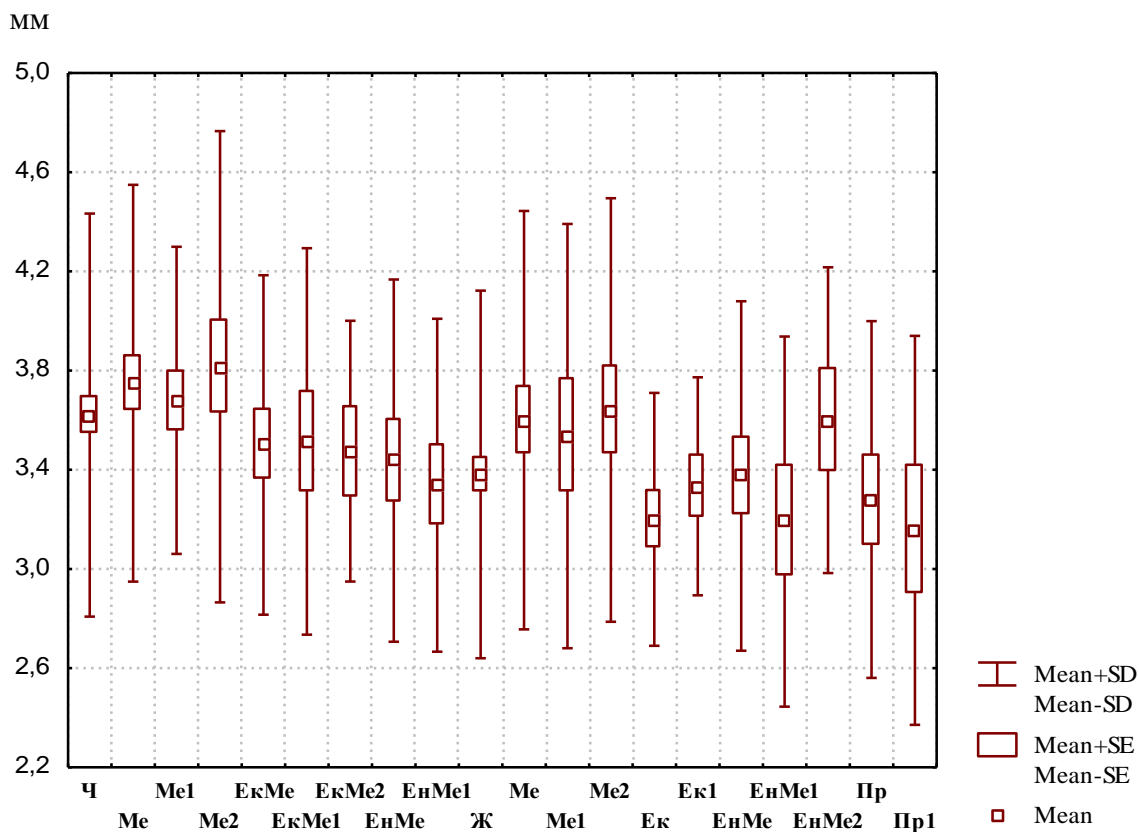


**Рис. 4.8.** Щільність лівої частки щитоподібної залози (дБ).

Встановлено, що величина щільності лівої частки щитоподібної залози у чоловіків мезоморфів 22-25 років достовірно більша ( $p<0,05$ ) порівняно із жінками 21-25 років аналогічного соматотипу (див. рис. 4.8; табл. Б.10).

Межі процентильного розмаху товщини перешийка щитоподібної залози у чоловіків та жінок різних соматотипів наведені в таблицях Б.1-Б.4. У чоловіків мезоморфів 22-25 років відмічається лише виражена тенденція ( $p=0,056$ ) до більших значень величини товщини перешийка щитоподібної залози у порівнянні із чоловіками енто-мезоморфами аналогічного віку (рис. 4.9; див. табл. Б.2). При співставленні товщини перешийка щитоподібної залози між жінками всіх груп порівняння певного та різних соматотипів не

встановлено достовірних відмінностей, або тенденцій відмінностей величини даного показника (див. рис. 4.9; табл. Б.4).

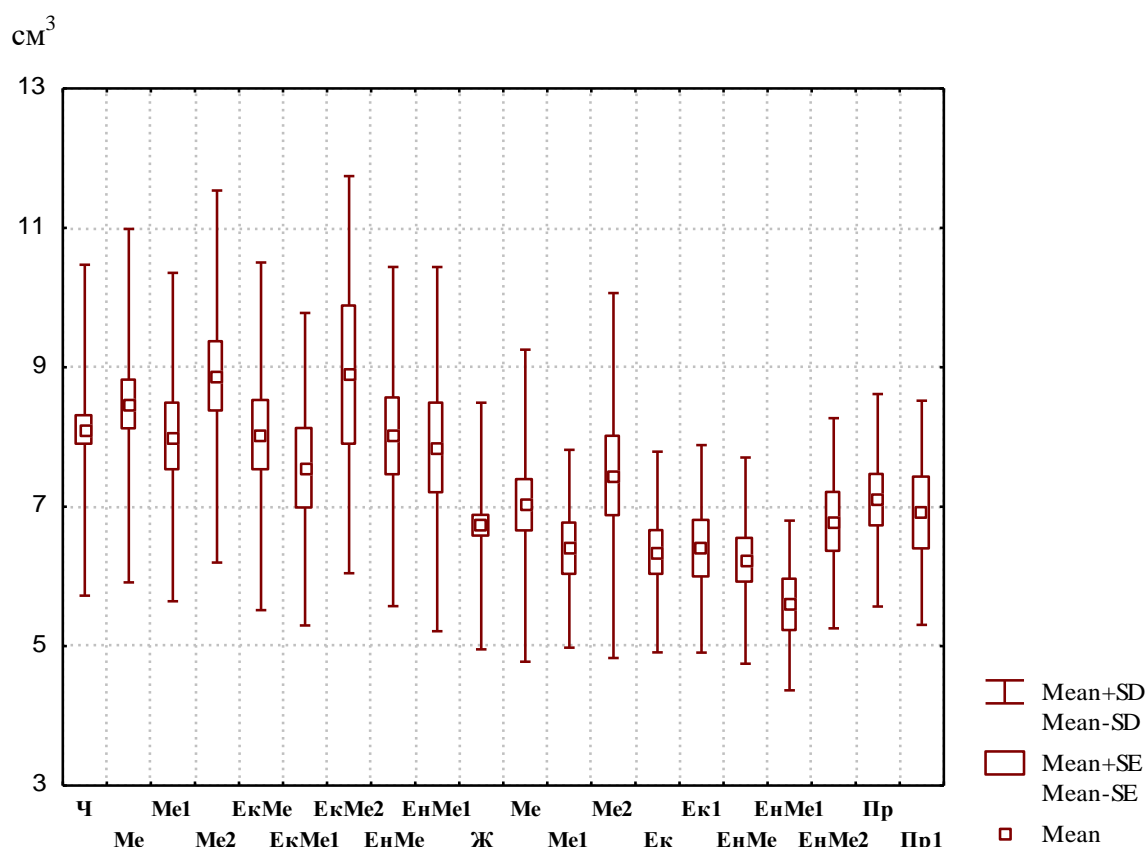


**Рис. 4.9.** Товщина перешийка щитоподібної залози (мм).

При співставленні величини товщини перешийка щитоподібної залози між чоловіками і жінками мезоморфного і ендомезоморфного соматотипу загальної групи з урахуванням соматотипу та двох вікових груп (ендомезоморфи 22-25 років) не встановлено достовірних відмінностей, або тенденцій відмінностей величини ширини лівої частки щитоподібної залози (див. рис. 4.9; табл. Б.5).

Межі процентильного розмаху об'єму правої частки щитоподібної залози у чоловіків та жінок різних соматотипів наведені в таблицях Б.6-Б.9. При співставленні величини об'єму правої частки щитоподібної залози між чоловіками всіх груп порівняння певного та різних соматотипів не встановлено достовірних відмінностей, або тенденцій відмінностей величини даного показника (рис. 4.10; див. табл. Б.7). Встановлено, що величина об'єму пра-

вої частки щитоподібної залози у жінок загальної групи без урахування соматотипу має значну тенденцію ( $p=0,054$ ) до більших значень порівняно із жінками ендо-мезоморфами 21-25 років. Величина об'єму правої частки щитоподібної залози у загальної групи жінок ендо-мезоморфного соматотипу має незначну тенденцію ( $p=0,068$ ) до менших значень порівняно із жінками середнього проміжного соматотипу (див. рис. 4.10; табл. Б.9).



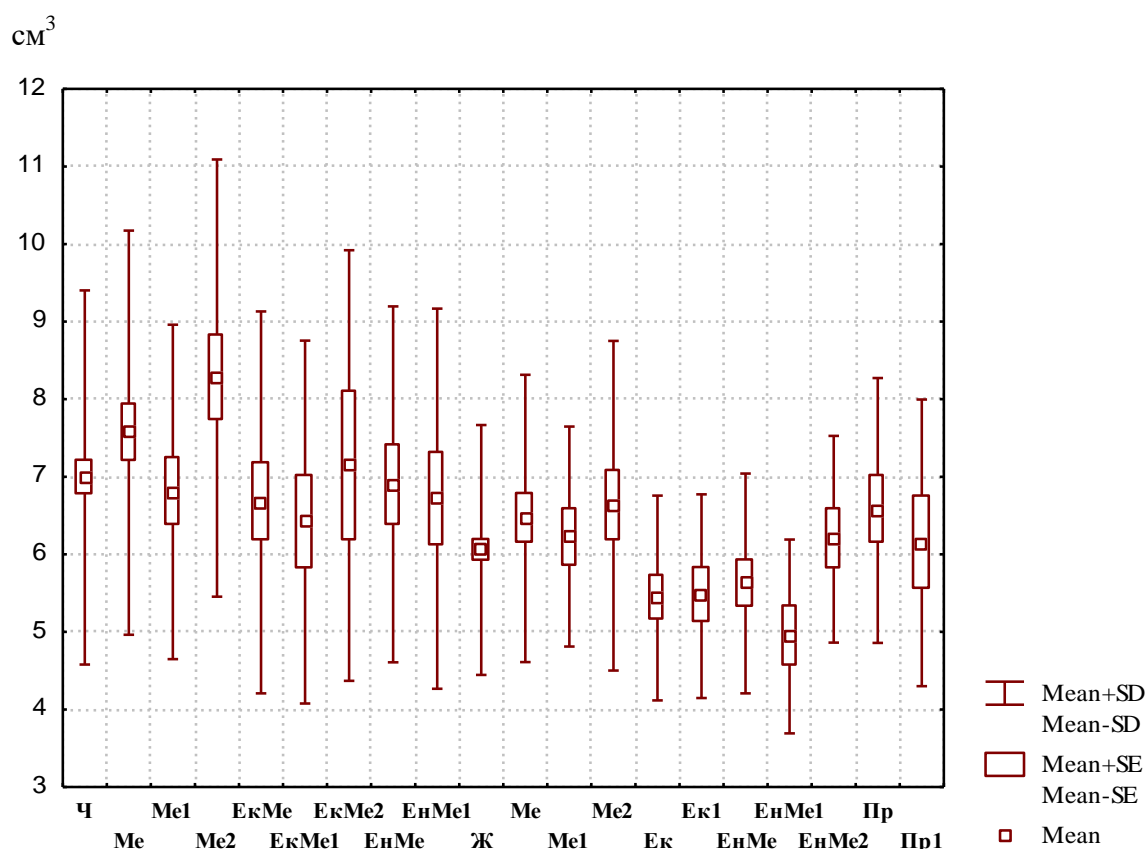
**Рис. 4.10.** Об'єм правої частки щитоподібної залози (см<sup>3</sup>).

Встановлено, що величина об'єму правої частки щитоподібної залози у чоловіків мезоморфів і ендо-мезоморфів загальної групи і 22-25 років достовірно більша ( $p<0,05-0,01$ ) порівняно із жінками аналогічних груп порівняння (див. рис. 4.10; табл. Б.10).

Межі процентильного розмаху об'єму лівої частки щитоподібної залози у чоловіків та жінок різних соматотипів наведені в таблицях Б.6-Б.9. Величина об'єму лівої частки щитоподібної залози у чоловіків загальної групи без урахування соматотипу має значну тенденцію ( $p=0,055$ ) та у чоловіків 22-



25 років незначну тенденцію ( $p=0,069$ ) до менших значень порівняно із чоловіками мезоморфами 26-35 років (рис. 4.11; див. табл. Б.7). Величина об'єму лівої частки щитоподібної залози у загальній групі жінок без урахування соматотипу та у жінок ендо-мезоморфів 26-35 років достовірно більша ( $p<0,05$ ) порівняно із жінками 21-25 років аналогічного соматотипу (див. рис. 4.11; табл. Б.9).



**Рис. 4.11.** Об'єм лівої частки щитоподібної залози (см<sup>3</sup>).

Величина об'єму лівої частки щитоподібної залози у загальній групі жінок із середнім проміжним соматотипом достовірно більший ( $p<0,05$ ) і у жінок мезоморфів має незначну тенденцію ( $p=0,068$ ) до більших значень порівняно із жінками екторморфами. Величина зазначеного розміру у жінок мезоморфів 21-25 років має незначну тенденцію ( $p=0,069$ ) до більших значень порівняно із жінками ендо-мезоморфами аналогічного віку (див. рис. 4.10; табл. Б.9).

Величина об'єму лівої частки щитоподібної залози у чоловіків мезо-

морфів 26-35 років, у чоловіків ендо-мезоморфів загалом і 22-25 років достовірно більша ( $p < 0,05$ ) та у чоловіків мезоморфів загалом має значну тенденцію ( $p = 0,054$ ) до більших значень порівняно із жінками відповідних груп порівняння (див. рис. 4.11; табл. Б.10).

Межі процентильного розмаху *загального об'єму щитоподібної залози* у чоловіків та жінок різних соматотипів наведені в таблицях Б.6-Б.9. При співставленні величини загального об'єму щитоподібної залози між чоловіками всіх груп порівняння певного та різних соматотипів не встановлено достовірних відмінностей, або тенденцій відмінностей величини даного показника (рис. 4.12; див. табл. Б.7). Величина загального об'єму щитоподібної залози у жінок загальної групи без урахування соматотипу та у жінок ендо-мезоморфів 26-35 років достовірно більший ( $p < 0,05$ ) порівняно із жінками ендо-мезоморфами 21-25 років. Величина загального об'єму щитоподібної залози у загальної групи жінок із середнім проміжним соматотипом має незначну тенденцію ( $p = 0,067$ ) до більших значень порівняно із жінками ектоморфами (див. рис. 4.12; табл. Б.9).

Величина загального об'єму щитоподібної залози у чоловіків мезоморфів і ендомезоморфів загалом, у чоловіків ендо-мезоморфів 22-25 років достовірно більша ( $p < 0,05$ ) та у чоловіків мезоморфів 26-35 років має незначну тенденцію ( $p = 0,069$ ) до більших значень порівняно із жінками відповідних груп порівняння (див. рис. 4.12; табл. Б.10).

Межі процентильного розмаху *площі правої частки щитоподібної залози* у чоловіків та жінок різних соматотипів наведені в таблицях Б.6-Б.9. Величина площі правої частки щитоподібної залози у чоловіків ендо-мезоморфів 26-35 років достовірно більша ( $p < 0,05$ ) порівняно із чоловіками молодшої вікової групи аналогічного соматотипу (рис. 4.13; див. табл. Б.7). Величина зазначеного показника у жінок мезоморфів 26-35 років має незначну тенденцію ( $p = 0,067$ ) до більших значень порівняно із жінками молодшої вікової групи аналогічного соматотипу (див. рис. 4.13; табл. Б.9).

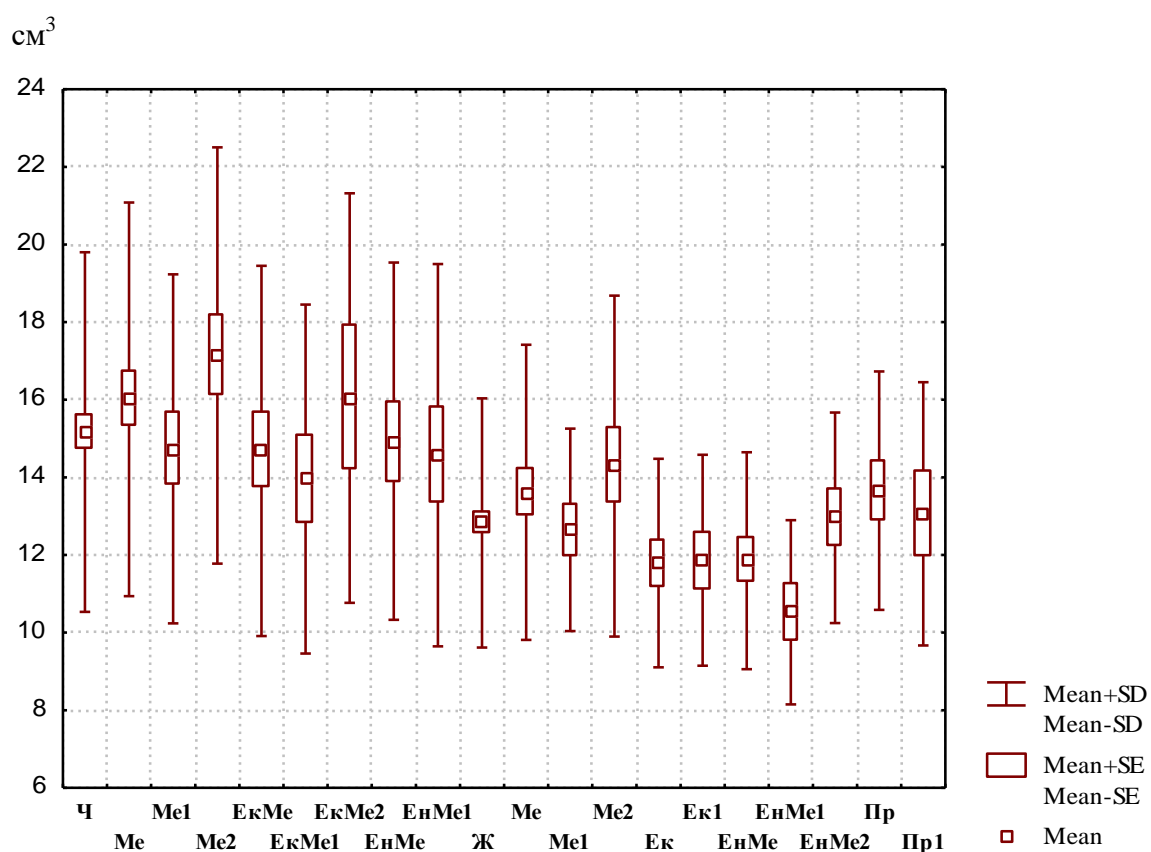


Рис. 4.12. Загальний об'єм щитоподібної залози (см<sup>3</sup>).

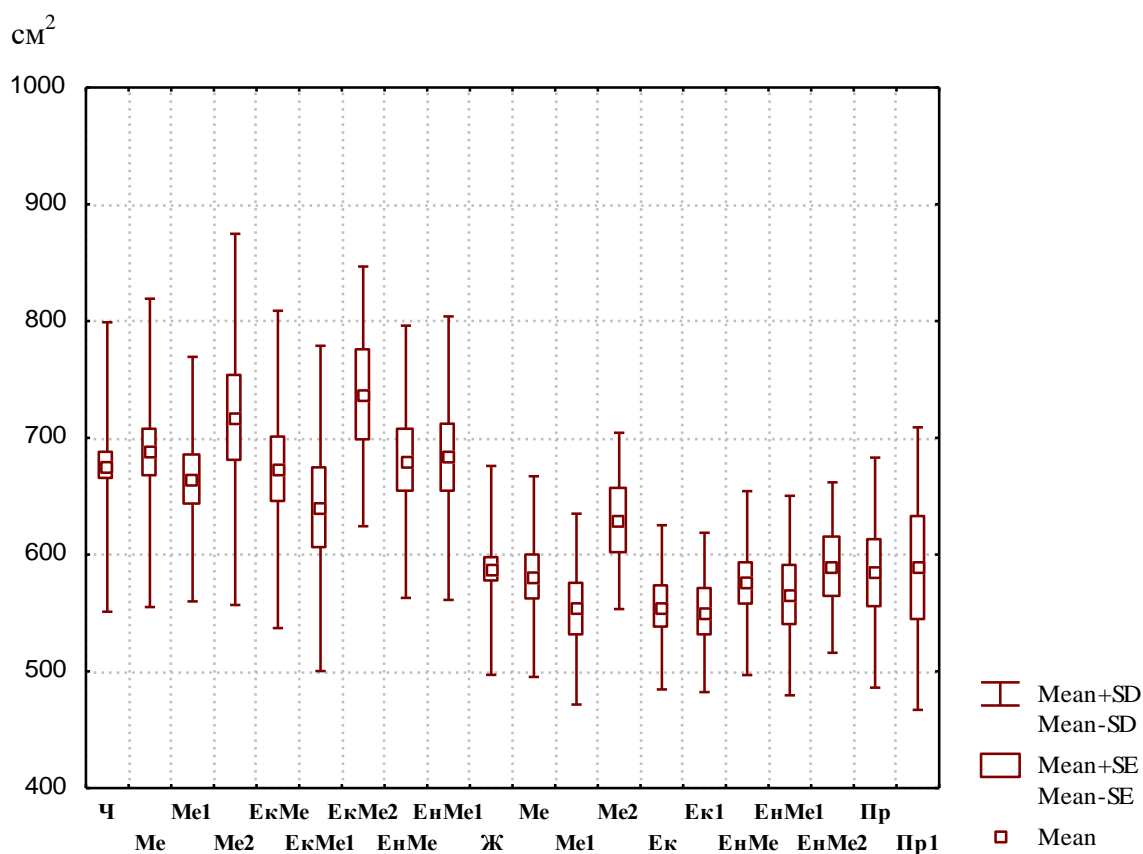
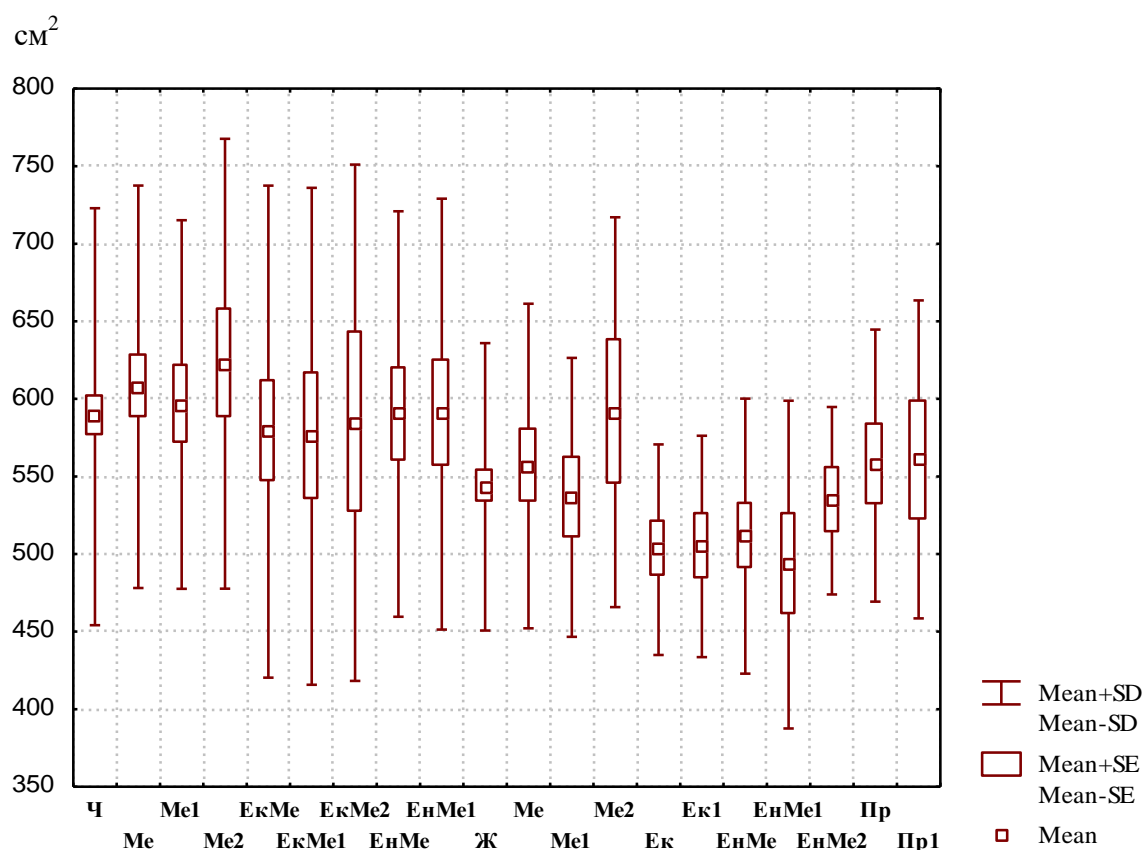


Рис. 4.13. Площа правої частки щитоподібної залози (см<sup>2</sup>).

Величина площі правої частки щитоподібної залози у чоловіків мезоморфів і ендо-мезоморфів загалом і 22-25 років достовірно більша ( $p < 0,05-0,01$ ) порівняно із жінками відповідних груп порівняння (див. рис. 4.13; табл. Б.10).

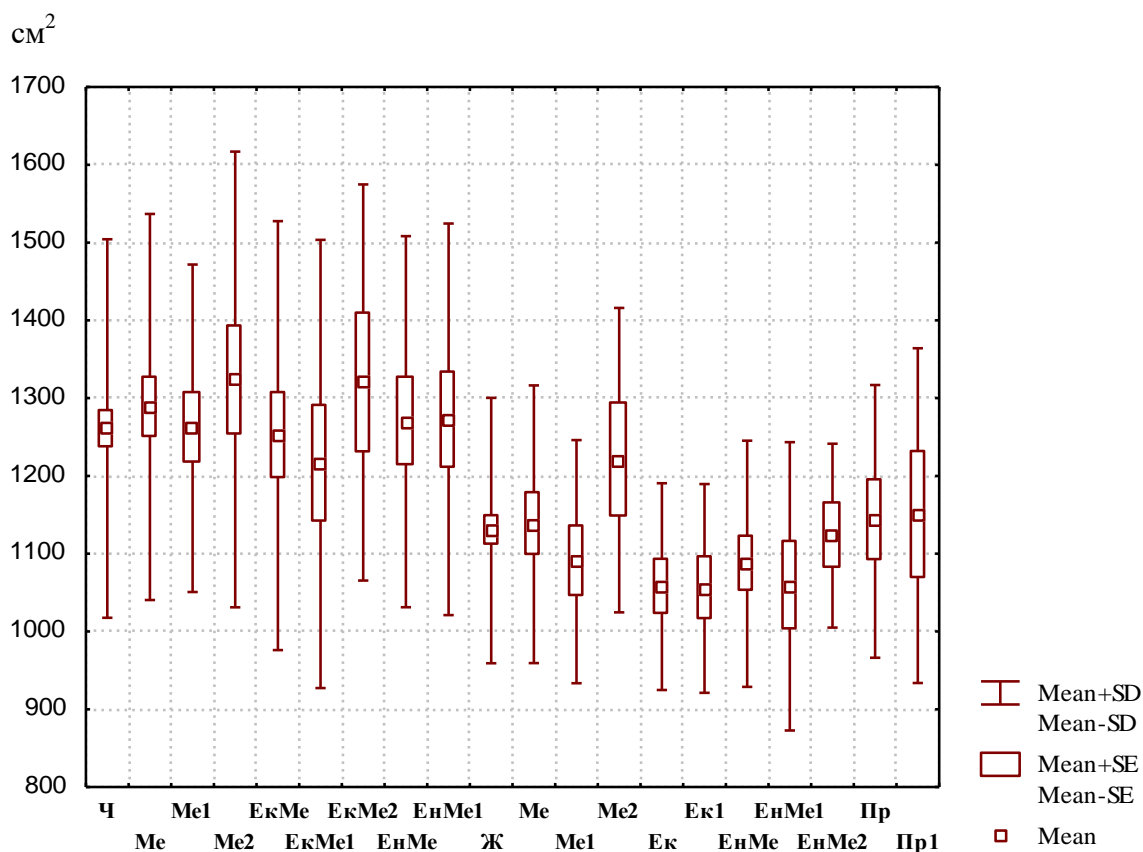
Межі процентильного розмаху площі лівої частки щитоподібної залози у чоловіків та жінок різних соматотипів наведені в таблицях Б.6-Б.9. При співставленні величини площі лівої частки щитоподібної залози між чоловіками або жінками всіх груп порівняння певного та різних соматотипів не встановлено достовірних відмінностей, або тенденцій відмінностей величини даного показника (рис. 4.14; див. табл. Б.7, Б.9).



**Рис. 4.14.** Площа лівої частки щитоподібної залози (см<sup>2</sup>).

Величина площі лівої частки щитоподібної залози у чоловіків ендо-мезоморфів загалом достовірно більша ( $p < 0,05-0,01$ ) і у чоловіків ендо-мезоморфів 22-25 років має тенденцію до більших значень ( $p = 0,065$ ) порівняно із жінками відповідних груп порівняння (див. рис. 4.14; табл. Б.10).

Межі процентильного розмаху загальної площі щитоподібної залози у чоловіків та жінок різних соматотипів наведені в таблицях Б.6-Б.9. При співставленні величини загальної площі щитоподібної залози між чоловіками або жінками всіх груп порівняння певного та різних соматотипів не встановлено достовірних відмінностей, або тенденцій відмінностей величини даного показника (рис. 4.15; див. табл. Б.7, Б.9).



**Рис. 4.15.** Загальна площа щитоподібної залози (см<sup>2</sup>).

Величина загальної площі щитоподібної залози у чоловіків мезоморфів і ендо-мезоморфів загалом і 22-25 років достовірно більша ( $p < 0,05$ ) порівняно із жінками відповідних груп порівняння (див. рис. 4.15; табл. Б.10).

Таким чином, у практично здорових міських чоловіків та жінок Поділля встановлені межі процентильного розмаху сонографічних параметрів щитоподібної залози в залежності від соматипологічних особливостей. Виявлені як особливості різниці величини вищевказаних розмірів щитоподібної залози між чоловіками, або жінками різних соматотипів, так і прояви статевого ди-

морфізму.

Результати досліджень, які представлені в даному розділі дисертації, відображені в двох наукових статтях у фахових журналах, що рекомендовані ДАК МОН України та двох тезах міжнародних науково-практичних конференцій:

Гненна В.О. Сонографічні лінійні розміри щитоподібної залози у здорових чоловіків та жінок різних соматотипів / В.О. Гненна // *Biomedical and Biosocial anthropology*. – 2014. – № 23. – С. 89-95.

Гунас І.В. Особливості об'єму і площі поздовжнього перерізу щитоподібної залози у здорових чоловіків та жінок різних соматотипів / І.В. Гунас, О.Є. Маєвський, В.О. Гненна // *Актуальні питання фармацевтичної та медичної науки та практики*. – 2015. – Вип. 82, Т. 2, книга 2. – С. 263-272.

Гненна В.О. Сонографічні параметри щитоподібної залози у здорових міських чоловіків і жінок Поділля загалом і різних конституціональних типів / В.О. Гненна // *Матеріали III Міжнародної науково-практичної конференції молодих вчених, 17-18 квітня 2012 р., м. Вінниця*. – С. 28-29.

Маєвський О.Є. Акустична щільність паренхіми щитоподібної залози у здорових чоловіків і жінок Поділля різних соматотипів / О.Є. Маєвський, В.О. Гненна // *Збірник тез наукових робіт учасників Міжнародної науково-практичної конференції «Вплив науково-технічного прогресу та розвиток медичної науки та практики: реалії сьогодення»*. 8-9 липня 2016р., м. Київ. – С. 19-21.

**РОЗДІЛ 5**

**КОРЕЛЯЦІЇ СОНОГРАФІЧНИХ ПАРАМЕТРІВ ЩИТОПОДІБНОЇ**

**ЗАЛОЗИ З АНТРОПОМЕТРИЧНИМИ І СОМАТОТИПОЛОГІЧНИМИ**

**ПОКАЗНИКАМИ ЗДОРОВИХ ЧОЛОВІКІВ ТА ЖІНОК**

**ЗАГАЛОМ І РІЗНИХ ВІКОВИХ ГРУП**

5.1. Кореляції сонографічних параметрів щитоподібної залози з антропо-соматотипологічними показниками чоловіків

Встановлено, що у чоловіків загальної групи *ширина правої частки щитоподібної залози* має достовірні середньої сили прямий ( $r= 0,31$  в обох випадках) зв'язки лише з обхватом гомілки у нижній третині та м'язовим компонентом маси тіла за Матейко; слабкі прямі ( $r= 0,19$  і  $r= 0,27$ ) зв'язки з обхватом голови, масою тіла, висотою надгруднинної точки, обхватом плеча в спокійному стані, передпліччя у нижній третині, стегна, гомілки у верхній третині, талії та кисті, міжвертлюговим розміром таза, м'язовим компонентом маси тіла, визначеним за формулою АІХ (табл. В.1); у чоловіків 22-25 років *ширина правої частки щитоподібної залози* має достовірні слабкі прямі ( $r= 0,19$  і  $r= 0,27$ ) зв'язки з довжиною тіла, висотою надгруднинної точки, обхватом гомілки у нижній третині, обхватом стопи, м'язовим компонентом маси тіла, визначеним за формулою АІХ; слабкі зворотні ( $r= -0,24$  і  $r= -0,25$ ) зв'язки із ТШЖС на передній поверхні плеча, передпліччі (табл. В.3); у чоловіків 26-35 років *ширина правої частки щитоподібної залози* має достовірні середньої сили прямі ( $r= 0,30$  і  $r= 0,54$ ) зв'язки з практично усіма обхватними розмірами тіла (окрім обхвату передпліччя у нижній третині і обхвату стопи), міжвертлюговим розміром таза, ТШЖС на верхній кінцівці, під лопаткою і на стегні, ендоморфним компонентом соматотипу за Хіт-Картером,

м'язовим і жировим компонентами маси тіла за Матейко; середньої сили зворотній ( $r = -0,45$ ) зв'язок із екоморфним компонентом соматотипу за Хіт-Картером; слабкі прямі ( $r = 0,28$  і  $r = 0,29$ ) зв'язки із передньо-заднім розміром грудної клітки і ТШЖС на грудях (табл. В.5).

У чоловіків загальної групи довжина правої частки щитоподібної залози має достовірний слабкий прямий ( $r = 0,21$ ) зв'язок лише з обхватом стопи (див. табл. В.1); у чоловіків 22-25 років довжина правої частки щитоподібної залози має достовірний середньої сили прямий ( $r = 0,31$ ) зв'язок з поперечним нижньогрудним розміром; слабкий прямий ( $r = 0,25$ ) зв'язок із найбільшою довжиною голови (див. табл. В.3); у чоловіків 26-35 років довжина правої частки щитоподібної залози має достовірні середньої сили прямий ( $r = 0,33$ ) зв'язок з обхватом передпліччя у нижній третині; слабкі прямі ( $r = 0,28$  і  $r = 0,29$ ) зв'язки із шириною дистального епіфіза плеча і передпліччя, обхватом кисті, ТШЖС на задній поверхні плеча, кістковим компонентом маси тіла за Матейко (див. табл. В.5).

У чоловіків загальної групи товщина правої частки щитоподібної залози має достовірний середньої сили прямий ( $r = 0,30$ ) зв'язок лише з передньо-заднім розміром грудної клітки; слабкі прямі ( $r =$  від  $0,19$  до  $0,23$ ) зв'язки із обхватом передпліччя і гомілки у нижній третині, обхватом талії і кисті, м'язовим компонентом маси тіла за Матейко; слабкі зворотні ( $r =$  від  $-0,23$  до  $-0,26$ ) зв'язки із ТШЖС на передній поверхні плеча, на передпліччі, на грудях (див. табл. В.1); у чоловіків 22-25 років товщина правої частки щитоподібної залози має достовірний слабкий прямий ( $r = 0,25$ ) зв'язок із шириною дистального епіфізу гомілки; слабкі зворотні ( $r = -0,24$  і  $r = -0,27$ ) зв'язки із ТШЖС на передній поверхні плеча, передпліччі, грудях (див. табл. В.3); у чоловіків 26-35 років товщина правої частки щитоподібної залози має достовірні середньої сили прямі ( $r =$  від  $0,31$  до  $0,47$ ) зв'язки з обхватом талії, кисті, передньо-заднім розміром грудної клітки; слабкі прямі ( $r = 0,28$  і  $r = 0,29$ ) зв'язки з обхватом шиї, обхватом грудної клітки на вдиху і видиху (див. табл.



В.5).

У чоловіків загальної групи щільність правої частки щитоподібної залози має достовірний середньої сили зворотній ( $r = -0,36$ ) зв'язок лише з шириною нижньої щелепи; слабкі прямі ( $r = 0,22$  і  $r = 0,26$ ) зв'язки із ТШЖС на задній і передній поверхні плеча, на передпліччі; слабкі зворотні ( $r =$  від  $-0,19$  до  $-0,27$ ) зв'язки із шириною обличчя, обхватом талії, кисті, гомілки у верхній третині, поперечним середньо- і нижньогруднинним розміром, міжвертлюговим розміром таза, м'язовим компонентом маси тіла за Матейко (див. табл. В.1); у чоловіків 22-25 років щільність правої частки щитоподібної залози має достовірні середньої сили прямі ( $r =$  від  $0,35$  до  $0,47$ ) зв'язки із ТШЖС на передній поверхні плеча, передпліччі, грудях; середньої сили зворотні ( $r = -0,40$  і  $r = -0,43$ ) зв'язки із шириною нижньої щелепи і поперечним нижньогруднинним розміром; слабкий прямий ( $r = 0,26$ ) зв'язок із ТШЖС на задній поверхні плеча; слабкі зворотні ( $r = -0,24$  і  $-0,25$ ) зв'язки з обхватом талії і кисті (див. табл. В.3); у чоловіків 26-35 років щільність правої частки щитоподібної залози має достовірні середньої сили зворотні ( $r =$  від  $-0,30$  до  $-0,39$ ) зв'язки з шириною нижньої щелепи і сагітальною дугою голови, обхватом талії, стегон, кисті, шириною плечей, міжвертлюговим розміром таза; слабкий прямий ( $r = 0,29$ ) зв'язок із ТШЖС на задній поверхні плеча; слабкі зворотні ( $r = -0,29$  в обох випадках) зв'язки із шириною обличчя, обхватом гомілки у верхній третині (див. табл. В.5).

У чоловіків загальної групи ширина лівої частки щитоподібної залози має достовірний середньої сили прямий ( $r = 0,30$ ) зв'язок лише з обхватом гомілки у нижній третині; слабкі прямі ( $r = 0,20$  і  $r = 0,29$ ) зв'язки з обхватом голови, масою і довжиною тіла, висотою надгруднинної, плечової точок, ШЛЕ гомілки, обхватами плеча та грудної клітки в спокійному стані, гомілки у верхній третині, обхватом стегна, талії, кисті, стопи, передньо-заднім розміром грудної клітки, міжвертлюговим розміром таза, м'язовим компонентом маси тіла, визначеним за Матейко і формулою АІХ; слабкі зворотні ( $r =$

0,21 і  $r = -0,22$ ) з ТШЖС на передній поверхні плеча, на грудях (див. табл. В.1); у чоловіків 22-25 років *ширина лівої частки щитоподібної залози* має достовірний середньої сили прямий ( $r = 0,31$ ) зв'язок лише з шириною дистального епіфізу гомілки; середньої сили зворотні ( $r =$  від  $-0,24$  до  $-0,33$ ) зв'язки із ТШЖС на задній і передній поверхні плеча, на передпліччі і боці (див. табл. В.3); у чоловіків 26-35 років *ширина лівої частки щитоподібної залози* має достовірний сильний прямий ( $r = 0,61$ ) зв'язок з обхватом гомілки у нижній третині; середньої сили прямі ( $r =$  від  $0,31$  до  $0,59$ ) зв'язки з обхватом голови, шириною нижньої щелепи, масою тіла, шириною дистального епіфізу стегна, обхватними розмірами тіла (окрім обхвату стопи), з поперечним середньогруднинним розміром і передньо-заднім розміром грудної клітки, міжкостковим і міжвертлюговим розмірами таза, ТШЖС на передпліччі, під лопаткою, на стегні, ендоморфним і мезоморфним компонентами соматотипу за Хіт-Картером, м'язовим і жировим компонентами маси тіла за Матейко, м'язовим компонентом маси тіла, визначений за формулою АІХ; середньої сили зворотній ( $r = -0,50$ ) із екоморфним компонентом соматотипу за Хіт-Картером (див. табл. В.5).

У чоловіків загальної групи *довжина лівої частки щитоподібної залози* має достовірний слабкий прямий ( $r = 0,19$  і  $r = 0,25$ ) зв'язки з найбільшою довжиною голови і обхватом стопи (див. табл. В.1); у чоловіків 22-25 років *довжина лівої частки щитоподібної залози* взагалі не має достовірних кореляцій з антропометричними і соматотипологічними показниками (див. табл. В.3); у чоловіків 26-35 років *довжина лівої частки щитоподібної залози* має достовірні середньої сили прямі ( $r = 0,32$  і  $r = 0,33$ ) зв'язки з висотою пальцевої точки, обхватом передпліччя у нижній третині, обхватом кисті; слабкі прямі ( $r = 0,28$  і  $r = 0,29$ ) зв'язок із обхватом голови, висотою лобкової точки, обхватом шиї, кістковим компонентом маси тіла за Матейко (див. табл. В.5).

У чоловіків загальної групи *товщина лівої частки щитоподібної залози* має достовірні слабкі прямі ( $r =$  від  $0,19$  до  $0,24$ ) зв'язки із найбільшою дов-

жиною голови, обхватом гомілки у нижній третині, обхватом кисті, передньо-заднім розміром грудної клітки, м'язовим компонентом маси тіла за Матейко; слабкі зворотні ( $r =$  від  $-0,19$  до  $-0,25$ ) зв'язки із ТШЖС на передній поверхні плеча, на передпліччі, грудях і боці (див. табл. В.1); у *чоловіків 22-25 років товщина лівої частки щитоподібної залози* має достовірний середньої сили зворотній ( $r = -0,34$ ) зв'язок лише із ТШЖС на передній поверхні плеча; слабкі зворотні ( $r = -0,27$  і  $r = -0,28$ ) із найменшою шириною голови, ТШЖС на задній поверхні плеча і на передпліччі (див. табл. В.3); у *чоловіків 26-35 років товщина лівої частки щитоподібної залози* має достовірні середньої сили прямі ( $r =$  від  $0,31$  до  $0,46$ ) зв'язки із шириною нижньої щелепи і обличчя, обхватом передпліччя у нижній третині, обхватом шиї і кисті, передньо-заднім розміром грудної клітки (див. табл. В.5).

У *чоловіків загальної групи щільність лівої частки щитоподібної залози* має достовірний середньої сили зворотній ( $r = -0,36$ ) зв'язок лише з шириною нижньої щелепи; слабкі прямі ( $r = 0,25$  і  $r = 0,29$ ) зв'язки із ТШЖС на задній і передній поверхні плеча, на передпліччі; слабкі зворотні ( $r =$  від  $-0,19$  до  $-0,23$ ) зв'язки із шириною обличчя, обхватом талії, гомілки у верхній третині, міжвертлюговим розміром таза (див. табл. В.1); у *чоловіків 22-25 років щільність лівої частки щитоподібної залози* має достовірні середньої сили прямі ( $r =$  від  $0,31$  до  $0,50$ ) зв'язки ТШЖС на передній і задній і поверхні плеча, передпліччі і грудях; середньої сили зворотні ( $r = -0,32$  і  $r = -0,41$ ) зв'язки із шириною нижньої щелепи, поперечним нижньогрудним розміром; слабкий прямий ( $r = 0,29$ ) із висотою лобкової точки (див. табл. В.3); у *чоловіків 26-35 років щільність лівої частки щитоподібної залози* має достовірні середньої сили прямий ( $r = 0,32$ ) зв'язки із ТШЖС на задній поверхні плеча; середньої сили зворотні ( $r =$  від  $-0,30$  до  $-0,39$ ) зв'язки із шириною нижньої щелепи і сагітальною дугою голови, обхватом стегон, міжвертлюговим розміром таза, м'язовим компонентом маси тіла, визначеним за формулою АІХ (див. табл. В.5).

У чоловіків загальної групи товщина перешийка щитоподібної залози має достовірні слабкі прямі ( $r = 0,19$  і  $r = 0,29$ ) зв'язки із шириною нижньої щелепи і обличчя, масою тіла, обхватом передпліччя у верхній третині, обхватом гомілки у верхній і нижній третині, обхватом кисті і стопи, міжвертлюговим розміром таза, ТШЖС на передній поверхні плеча, м'язовим компонентом маси тіла за Матейко (див. табл. В.1); у чоловіків 22-25 років товщина перешийка щитоподібної залози має достовірні середньої сили прямі ( $r =$  від  $0,30$  до  $0,40$ ) зв'язки з найбільшою шириною голови і шириною обличчя, шириною дистального епіфізу передпліччя і гомілки; обхватом передпліччя і гомілки у нижній третині, міжвертлюговим розміром таза; середньої сили зворотні ( $r = -0,31$  і  $r = -0,32$ ) зв'язки із ТШЖС на задній і передній поверхні плеча; слабкі прямі ( $r =$  від  $0,24$  до  $0,28$ ) зв'язки із шириною нижньої щелепи, обхватом передпліччя і гомілки у верхній третині, обхватом кисті, м'язовим компонентом маси тіла за Матейко (див. табл. В.3); у чоловіків 26-35 років товщина перешийка щитоподібної залози має достовірні середньої сили прямі ( $r =$  від  $0,30$  до  $0,53$ ) зв'язки із шириною нижньої щелепи і сагітальною дугою голови, масою тіла, обхватом талії, стегон, кисті, ТШЖС під лопаткою, на стегні, жировим компонентом маси тіла за Матейко; слабкий прямий ( $r = 0,29$ ) зв'язок з обхватом стегна (див. табл. В.5).

У чоловіків загальної групи об'єм правої частки щитоподібної залози має достовірні слабкі прямі ( $r = 0,20$  і  $r = 0,26$ ) зв'язки із обхватом голови, обхватом гомілки у нижній третині, обхватом талії, кисті, стопи, передньо-заднім розміром грудної клітки, м'язовим компонентом маси тіла за Матейко; слабкі зворотні ( $r = -0,19$  в обох випадках) зв'язки із ТШЖС на передній поверхні плеча і на грудях (див. табл. В.1); у чоловіків 22-25 років об'єм правої частки щитоподібної залози має достовірні слабкі прямі ( $r = 0,25$  і  $r = 0,26$ ) зв'язки з обхватом стопи і міжвертлюговим розміром таза; слабкі зворотні ( $r = -0,29$  в обох випадках) зв'язки із ТШЖС на задній і передній поверхні плеча (див. табл. В.3); у чоловіків 26-35 років об'єм правої частки щитоподі-

*бної залози* має достовірні середньої сили прямі ( $r= 0,32$  і  $r= 0,50$ ) зв'язки з обхватом голови, масою тіла, обхватом плеча в спокійному стані, передпліччя і гомілки у нижній третині, обхватом шиї, талії, кисті, обхват грудної клітки на вдиху, видиху і в спокійному стані, передньо-заднім розміром грудної клітки, жировим компонентом маси тіла за Матейко; середньої сили зворотній ( $r= -0,31$ ) зв'язок із ектоморфним компонентом соматотипу за Хіт-Картером; слабкі прямі ( $r= 0,29$  в усіх випадках) зв'язки з обхватом передпліччя у верхній третині, обхватом стегна, ендоморфним компонентом соматотипу за Хіт-Картером (див. табл. В.5).

У чоловіків загальної групи об'єм лівої частки щитоподібної залози має достовірні слабкі прямі ( $r= 0,19$  і  $r= 0,28$ ) зв'язки із найбільшою довжиною голови, масою тіла, обхватом гомілки у верхній і нижній третині, обхватом талії, кисті, стопи, передньо-заднім розміром грудної клітки, м'язовим компонентом маси тіла за Матейко; слабкі зворотні ( $r= -0,23$  і  $r= -0,24$ ) зв'язки із ТШЖС на передній поверхні плеча і на грудях (див. табл. В.1); у чоловіків 22-25 років об'єм лівої частки щитоподібної залози має достовірні середньої сили зворотні ( $r= -0,31$  і  $r= -0,34$ ) зв'язки із ТШЖС на передній поверхні плеча, на передпліччі; слабкий прямий ( $r= 0,25$ ) зв'язок із шириною дистального епіфізу гомілки; слабкий зворотній ( $r= -0,26$ ) зв'язок із ТШЖС на задній поверхні плеча (див. табл. В.3); у чоловіків 26-35 років об'єм лівої частки щитоподібної залози має достовірні середньої сили прямі ( $r= 0,30$  і  $r= 0,52$ ) зв'язки з обхватом і найбільшою довжиною голови, масою тіла, обхватом плеча в напруженому і спокійному стані, передпліччя у нижній третині, гомілки у верхній і нижній третині, обхватом шиї, талії, кисті, стопи, обхватом грудної клітки на вдиху, видиху і в спокійному стані, з передньо-заднім розміром грудної клітки, м'язовим і жировим компонентами маси тіла за Матейко; середньої сили зворотній ( $r= -0,33$ ) зв'язок з ектоморфним компонентом соматотипу за Хіт-Картером; слабкі прямі ( $r= 0,29$  в обох випадках) зв'язки з обхватом стегна, ТШЖС на стегні (див. табл. В.5).

У чоловіків загальної групи загальний об'єм щитоподібної залози має достовірні слабкі прямі ( $r= 0,19$  і  $r= 0,29$ ) зв'язки із обхватом голови, обхватом передпліччя і гомілки у нижній третині, обхватом талії, кисті, стопи, передньо-заднім розміром грудної клітки, міжвертлюговим розміром таза, м'язовим компонентом маси тіла за Матейко; слабкі зворотні ( $r= -0,22$  в обох випадках) зв'язки із ТШЖС на передній поверхні плеча і на грудях (див. табл. В.1); у чоловіків 22-25 років загальний об'єм щитоподібної залози має достовірні середньої сили зворотні ( $r= -0,30$  і  $r=-0,32$ ) зв'язки із ТШЖС на передній поверхні плеча, на передпліччі; слабкі прямі ( $r= 0,26$  і  $r= 0,27$ ) зв'язки із шириною дистального епіфізу гомілки, міжвертлюговим розміром таза (див. табл. В.3); у чоловіків 26-35 років загальний об'єм щитоподібної залози має достовірні середньої сили прямі ( $r= 0,30$  і  $r=0,52$ ) зв'язки з обхватом і найбільшою довжиною голови, масою тіла, обхватом плеча в напруженому стані, передпліччя у нижній третині, гомілки у верхній і нижній третині, обхватом шиї, талії, кисті, стопи, обхватом грудної клітки на вдиху, видиху і в спокійному стані, з передньо-заднім розміром грудної клітки, м'язовим і жировим компонентами маси тіла за Матейко; середньої сили зворотній ( $r= -0,32$ ) зв'язок з екоморфним компонентом соматотипу за Хіт-Картером; слабкі прямі ( $r= 0,29$  в обох випадках) зв'язки з обхватом плеча в напруженому стані і обхватом стегна (див. табл. В.5).

У чоловіків загальної групи площа правої частки щитоподібної залози має достовірний середньої сили прямий ( $r= 0,35$ ) зв'язок з передньо-заднім розміром грудної клітки; слабкі прямі ( $r= 0,20$  і  $r= 0,26$ ) зв'язки з обхватом гомілки у верхній третині, обхватом стопи, поперечним нижньогруднинним розміром, міжвертлюговим розміром таза, м'язовим компонентом маси тіла за Матейко; слабкі зворотні ( $r= -0,20$  і  $r= -0,21$ ) зв'язки із ТШЖС на передній поверхні плеча, передпліччі і на грудях (див. табл. В.1); у чоловіків 22-25 років площа правої частки щитоподібної залози має достовірний середньої сили прямий ( $r= 0,31$ ) зв'язки із міжвертлюговим розміром таза; слабкі прямі

( $r$  від 0,24 до 0,28) зв'язки із шириною дистального епіфізу гомілки, обхватом гомілки у верхній третині, поперечним нижньогруднинним розміром (див. табл. В.3); у чоловіків 26-35 років площа правої частки щитоподібної залози має достовірний сильний прямий ( $r = 0,60$ ) зв'язок із передньо-заднім розміром грудної клітки; середньої сили прямі ( $r$  від 0,33 до 0,52) зв'язки із масою тіла, висотою пальцевої точки, обхватом кисті, грудної клітки на видиху; а також недостовірні середньої сили прямі ( $r$  від 0,30 до 0,32) зв'язки з обхватом плеча в спокійному стані, обхватом шиї і талії, обхватом грудної клітки на вдиху (див. табл. В.5).

У чоловіків загальної групи площа лівої частки щитоподібної залози має достовірні слабкі прямі ( $r = 0,25$  і  $r = 0,29$ ) зв'язки із обхватом стопи, передньо-заднім розміром грудної клітки (див. табл. В.1); у чоловіків 22-25 років площа лівої частки щитоподібної залози взагалі не має достовірних кореляцій з антропометричними і соматотипологічними показниками (див. табл. В.3); у чоловіків 26-35 років площа лівої частки щитоподібної залози має достовірні середньої сили прямі ( $r$  від 0,46 до 0,54) зв'язки з висотою пальцевої точки, обхватом кисті, передньо-заднім розміром грудної клітки; середньої сили зворотній ( $r = -0,34$ ) зв'язок з найбільшою шириною голови; а також недостовірні середньої сили прямі ( $r = 0,30$  і  $r = 0,32$ ) зв'язки з довжиною тіла, висотою надгруднинної точки (див. табл. В.5).

У чоловіків загальної групи загальна площа щитоподібної залози має достовірний середньої сили прямий ( $r = 0,34$ ) зв'язок з передньо-заднім розміром грудної клітки; слабкі прямі ( $r = 0,19$  і  $r = 0,27$ ) зв'язки з висотою надгруднинної точки, обхватом стопи, поперечним нижньогруднинним розміром, міжвертлюговим розміром таза, м'язовим компонентом маси тіла за Матейко (див. табл. В.1); у чоловіків 22-25 років загальна площа щитоподібної залози взагалі не має достовірних зв'язків із антропометричними і соматотипологічними показниками (див. табл. В.3); у чоловіків 26-35 років загальна площа щитоподібної залози має достовірний сильний прямий ( $r = 0,60$ )

зв'язок із передньо-заднім розміром грудної клітки; середньої сили прями (r= 0,50 і r= 0,52) зв'язки з висотою пальцевої точки, обхватом кисті; середньої сили зворотній (r= -0,38) зв'язок з найбільшою шириною голови; а також недостовірні середньої сили прями (r= від 0,30 до 0,32) зв'язки з масою тіла, висотою надгрудниної точки, обхватом грудної клітки на видиху (див. табл. В.5).

## 5.2. Кореляції сонографічних параметрів щитоподібної залози з антропо-соматотипологічними показниками жінок

Встановлено, що у жінок загальної групи *ширина правої частки щитоподібної залози* має достовірні слабкі прями (r= 0,22 в обох випадках) зв'язки з поперечним нижньогруднинним розміром і ТШЖС на боці (табл. В.2); у жінок 21-25 років *ширина правої частки щитоподібної залози* взагалі не має достовірних кореляцій з антропометричними і соматотипологічними показниками (табл. В.4); у жінок 26-35 років *ширина правої частки щитоподібної залози* має достовірні середньої сили прями (r= від 0,31 до 0,33) зв'язки із масою тіла; обхватом передпліччя у верхній третині, обхватом шиї, м'язовим компонентом маси тіла за Матейко; слабкий прями (r= 0,28) зв'язок з обхватом стегна (табл. В.6).

У жінок загальної групи *довжина правої частки щитоподібної залози* має достовірні середньої сили прями (r= 0,30 і r= 0,34) зв'язки із висотою надгруднинної і вертлюгової точок; слабкі прями (r= від 0,21 до 0,28) зв'язки із довжиною тіла, висотою лобкової і плечової точок, поперечним середньогруднинним розміром, міжкостьовим розміром таза (див. табл. В.2); у жінок 21-25 років *довжина правої частки щитоподібної залози* має достовірний середньої сили прями (r= 0,34) зв'язок лише із ТШЖС на передпліччі; слаб-



кі прямі ( $r= 0,28$  і  $r= 0,29$ ) зв'язки із сагітальною дугою голови, довжиною тіла і висотою надгруднинної точки (див. табл. В.4); у жінок 26-35 років довжина правої частки щитоподібної залози має достовірний середньої сили прямий ( $r= 0,40$ ) зв'язок із висотою вертлюгової точки; слабкі прямі ( $r= 0,28$  і  $r= 0,29$ ) зв'язки з шириною дистального епіфізу передпліччя, обхватом грудної клітки на видиху, ТШЖС на животі (див. табл. В.6).

У жінок загальної групи товщина правої частки щитоподібної залози має достовірні середньої сили прямі ( $r= 0,30$  і  $r= 0,32$ ) зв'язки з обхватом плеча в спокійному стані, передпліччя у верхній третині, обхватом стегна, м'язовим компонентом маси тіла за Матейко і за АІХ; середньої сили зворотній ( $r= -0,32$ ) зв'язок з ектоморфним компонентом соматотипу за Хіт-Картером; слабкі прямі ( $r=$  від  $0,21$  до  $0,29$ ) зв'язки із шириною нижньої щелепи, обличчя, масою тіла, обхватом плеча в напруженому стані, обхватом гомілки у верхній і нижній третині, обхватом шиї, талії, стегон, кисті, зовнішньою кон'югатою таза, ТШЖС на животі, мезоморфним компонентом соматотипу за Хіт-Картером (див. табл. В.2); у жінок 21-25 років товщина правої частки щитоподібної залози має достовірний слабкий прямий ( $r= 0,27$ ) зв'язок із шириною обличчя (див. табл. В.4); у жінок 26-35 років товщина правої частки щитоподібної залози має достовірні середньої сили прямі ( $r=$  від  $0,30$  до  $0,46$ ) зв'язки з масою тіла, шириною дистального епіфізу передпліччя, обхватом плеча в напруженому і спокійному стані, передпліччя у верхній третині, стегна, шиї, кисті, гомілки у верхній і нижній третині, зовнішньою кон'югатою таза, м'язовим компонент маси тіла за Матейко і формулою АІХ; середньої сили зворотній ( $r= -0,36$ ) зв'язок з ектоморфним компонентом соматотипу за Хіт-Картером; слабкі прямі ( $r= 0,27$  і  $r= 0,29$ ) зв'язки з обхватом стегон, поперечним середньогруднинним розміром (див. табл. В.6).

У жінок загальної групи щільність правої частки щитоподібної залози взагалі не має достовірних кореляцій з антропометричними і соматотипологічними показниками (див. табл. В.2); у жінок 21-25 років щільність правої

*частки щитоподібної залози* має достовірні середньої сили прямі ( $r= 0,33$  і  $r= 0,34$ ) зв'язки із довжиною тіла, висотою надгруднинної точки, ТШЖС на задній поверхні плеча (див. табл. В.4); у *жінок 26-35 років щільність правої частки щитоподібної залози* має достовірний середньої сили прямий ( $r= 0,30$ ) зв'язок з міжгребневим розміром таза; середньої сили зворотній ( $r= -0,32$ ) зв'язок ТШЖС на грудях (див. табл. В.6).

У *жінок загальної групи ширина лівої частки щитоподібної залози* має достовірний слабкий зворотній ( $r= -0,21$ ) зв'язок з ТШЖС на передпліччі (див. табл. В.2); у *жінок 21-25 років ширина лівої частки щитоподібної залози* має достовірний середньої сили зворотній ( $r= -0,31$ ) зв'язок із ТШЖС на грудях (див. табл. В.4); у *жінок 26-35 років ширина лівої частки щитоподібної залози* взагалі не має достовірних кореляцій з антропометричними і соматотипологічними показниками (див. табл. В.6).

У *жінок загальної групи довжина лівої частки щитоподібної залози* має достовірні слабкі прямі ( $r=$  від  $0,20$  до  $0,28$ ) зв'язки із найбільшою довжиною голови, висотою вертлюгової точки, шириною дистального епіфізу плеча і передпліччя, обхватом грудної клітки на видиху і в спокійному стані, поперечним середньо- і нижньогруднинним розміром, міжостьовим розміром таза, ТШЖС під лопаткою, на боці, стегні і гомілці, ендоморфним компонентом соматотипу за Хіт-Картером, жировим компонентом маси тіла за Матейко (див. табл. В.2); у *жінок 21-25 років довжина лівої частки щитоподібної залози* має достовірні середньої сили прямі ( $r=$  від  $0,30$  до  $0,32$ ) зв'язки із найбільшою довжиною голови, масою і довжиною тіла, висотою надгруднинної точки, обхватом талії, передньо-заднім розміром грудної клітки, міжостьовим розміром таза; слабкий прямий ( $r= 0,27$ ) зв'язок з обхватом стегон (див. табл. В.4); у *жінок 26-35 років довжина лівої частки щитоподібної залози* має достовірні середньої сили прямі ( $r=$  від  $0,30$  до  $0,40$ ) зв'язки з обхватом грудної клітки на видиху, ТШЖС на животі і боці; слабкі прямі ( $r= 0,27$  і  $r= 0,29$ ) зв'язки з обхватом кисті і грудної клітки в спокійному стані (див.

табл. В.6).

У жінок загальної групи товщина лівої частки щитоподібної залози має достовірні середньої сили прямі ( $r=$  від 0,30 до 0,38) зв'язки з обхватом плеча в напруженому і спокійному стані, передпліччя у верхній третині, обхватом стегна, кисті, ТШЖС на животі, м'язовим компонентом маси тіла за Матейко і за АІХ; середньої сили зворотній ( $r= -0,39$ ) зв'язок з ектоморфним компонентом соматотипу за Хіт-Картером; слабкі прямі ( $r=$  від 0,20 до 0,28) зв'язки із масою тіла, обхватом гомілки у верхній третині, обхватом шиї, стегон, грудної клітки на вдиху і в спокійному стані, поперечним середньогруднинним розміром, зовнішньою кон'югатою таза, ТШЖС на боці, мезоморфним компонентом соматотипу за Хіт-Картером (див. табл. В.2); у жінок 21-25 років товщина лівої частки щитоподібної залози має достовірні середньої сили прямі ( $r=$  від 0,31 до 0,40) зв'язки із обхватом передпліччя у верхній третині, обхватом стегна, талії, стегон, м'язовим компонентом маси тіла за Матейко; середньої сили зворотній ( $r= -0,32$ ) зв'язок з ектоморфним компонентом соматотипу за Хіт-Картером; слабкі прямі ( $r=$  від 0,29 в обох випадках) зв'язки з обхватом гомілки у верхній третині та обхватом кисті (див. табл. В.4); у жінок 26-35 років товщина лівої частки щитоподібної залози має достовірні середньої сили прямі ( $r= 0,35$  і  $r= 0,37$ ) зв'язки з обхватом передпліччя у верхній третині і шириною плечей; слабкі прямі ( $r= 0,28$  і  $r= 0,29$ ) зв'язки з шириною обличчя, масою тіла, обхватом кисті, поперечним середньогруднинним розміром, м'язовим компонентом маси тіла за Матейко; слабкі зворотні ( $r= -0,29$  в обох випадках) зв'язки з ТШЖС на задній поверхні плеча, ектоморфним компонентом соматотипу за Хіт-Картером (див. табл. В.6).

У жінок загальної групи щільність лівої частки щитоподібної залози має достовірні слабкі прямі ( $r=$  від 0,21 до 0,26) зв'язки із висотою лобкової і вертлюгової точок, обхватом грудної клітки на видиху, ТЖЖС на задній поверхні плеча (див. табл. В.2); у жінок 21-25 років щільність лівої частки

*щитоподібної залози* має достовірні середньої сили прямі ( $r=$  від 0,30 до 0,44) зв'язки із довжиною тіла, висотою надгруднинної, плечової і пальцевої точок, ТШЖС на задній і передній поверхні плеча, на передпліччі (див. табл. В.4); у жінок 26-35 років щільність лівої частки щитоподібної залози має достовірний середньої сили прямий ( $r= 0,32$ ) зв'язок з міжгребневим розміром таза (див. табл. В.6).

У жінок загальної групи товщина перешийка щитоподібної залози має достовірні середньої сили прямі ( $r= 0,32$  і  $r= 0,39$ ) зв'язки з обхватом стегна, ТШЖС на животі; слабкі прямі ( $r=$  від 0,22 до 0,28) зв'язки із масою тіла, шириною дистального епіфізу стегна, обхватом плеча в напруженому і спокійному стані, обхватом шиї, талії і стегон, обхватом грудної клітки на вдиху видиху і в спокійному стані, ТЖЖС на боці і стегні, мезоморфним компонентом соматотипу за Хіт-Картером, м'язовим і жировим компонентом маси тіла за Матейко, м'язовим компонентом маси тіла, визначеним за формулою АІХ; слабкий зворотній ( $r= -0,28$ ) зв'язок із ектоморфним компонентом соматотипу за Хіт-Картером (див. табл. В.2); у жінок 21-25 років товщина перешийка щитоподібної залози має достовірні середньої сили прямі ( $r=$  від 0,31 до 0,34) зв'язки із шириною дистального епіфізу стегна, ТШЖС на животі; слабкі прямі ( $r=$  від 0,27 до 0,29) зв'язки із висотою вертлюгової точки, передньо-задній розмір грудної клітки, ТШЖС на стегні, кістковим компонентом маси тіла за Матейко (див. табл. В.4); у жінок 26-35 років товщина перешийка щитоподібної залози має достовірні середньої сили прямі ( $r=$  від 0,30 до 0,43) зв'язки з обхватом плеча в спокійному стані, обхватом стегна, ТШЖС на животі; середньої сили зворотній ( $r= -0,36$ ) зв'язок із ектоморфним компонентом соматотипу за Хіт-Картером; слабкі прямі ( $r= 0,29$  в обох випадках) зв'язки з обхватом передпліччя у верхній третині, грудної клітки на видиху (див. табл. В.6).

У жінок загальної групи об'єм правої частки щитоподібної залози має достовірні слабкі прямі ( $r=$  від 0,20 до 0,26) зв'язки із масою тіла, обхватом

плеча в спокійному стані, передпліччя у верхній третині, гомілки у нижній третині, обхватом шиї, кисті, обхватом грудної клітки в спокійному стані, поперечним середньогрудинним розміром, ТЖЖС на животі і боці, м'язовим компонентом маси тіла за Матейко і за формулою АІХ (див. табл. В.2); у жінок 21-25 років об'єм правої частки щитоподібної залози має достовірний слабкий прямий ( $r= 0,29$ ) зв'язок із обхватом талії (див. табл. В.4); у жінок 26-35 років об'єм правої частки щитоподібної залози має достовірні середньої сили прямі ( $r=$  від 0,30 до 0,34) зв'язки з масою тіла, обхватом передпліччя у верхній третині, обхватом шиї, обхватом грудної клітки на видиху і в спокійному стані, ТШЖС на животі, м'язовим компонентом маси тіла за Матейко; слабкий прямий ( $r= 0,28$ ) зв'язок з обхватом гомілки у нижній третині (див. табл. В.6).

У жінок загальної групи об'єм лівої частки щитоподібної залози має достовірні середньої сили прямі ( $r= 0,31$  і  $r= 0,33$ ) зв'язки із обхватом передпліччя у верхній третині, обхватом кисті, ТШЖС на животі; слабкі прямі ( $r=$  від 0,21 до 0,29) зв'язки із найбільшою довжиною голови, масою тіла, обхватом плеча в напруженому і спокійному стані, обхватом стегна, шиї, талії, стегон, обхватом грудної клітки на видиху, вдиху і в спокійному стані, поперечним середньо- і нижньогрудинним розміром, зовнішньою кон'югатою таза, ТЖЖС на боці, стегні, гомілці, м'язовим і жировим компонентом маси тіла за Матейко; за м'язовим компонентом маси, визначеним за формулою АІХ; слабкий зворотній ( $r= -0,28$ ) зв'язок із екоморфним компонентом соматотипу за Хіт-Картером (див. табл. В.2); у жінок 21-25 років об'єм лівої частки щитоподібної залози має достовірні середньої сили прямі ( $r= 0,30$  і  $r= 0,41$ ) зв'язки з найбільшою довжиною голови, масою тіла, обхватом передпліччя у верхній і нижній третині, гомілки у верхній третині, обхватом талії, стегон, кисті, міжостьовим розміром таза, ТШЖС на стегні, м'язовим компонентом маси тіла за Матейко; слабкий прямий ( $r= 0,28$ ) зв'язок із міжвертлюговим розміром таза (див. табл. В.4); у жінок 26-35 років об'єм лівої частки

*щитоподібної залози* має достовірні середньої сили прямі ( $r=$  від 0,30 до 0,43) зв'язки з обхватом передпліччя у верхній третині, обхватом грудної клітки на видиху і в спокійному стані, ТШЖС на животі і боці (див. табл. В.6).

У жінок загальної групи загальний об'єм щитоподібної залози має достовірний середньої сили прямий ( $r= 0,30$ ) зв'язок із обхватом шиї; слабкі прямі ( $r=$  від 0,21 до 0,29) зв'язки із масою тіла, обхватом плеча в напруженому і спокійному стані, обхватом передпліччя у верхній третині, обхватом стегна, обхватом гомілки у нижній третині, обхватом талії, стегон, кисті, обхватом грудної клітки на видиху, вдиху і в спокійному стані, поперечним середньо- і нижньогрудним розміром, міжостьовим розміром таза, зовнішньою кон'югатою таза, ТЖЖС на животі, боці, стегні, м'язовим і жировим компонентом маси тіла за Матейко; з м'язовим компонентом маси, визначеним за формулою АІХ; слабкий зворотній ( $r= -0,26$ ) зв'язок із екоморфним компонентом соматотипу за Хіт-Картером (див. табл. В.2); у жінок 21-25 років загальний об'єм щитоподібної залози має достовірні середньої сили прямі ( $r= 0,32$  і  $r= 0,37$ ) зв'язки з найбільшою довжиною голови, обхватом талії, стегон; слабкі прямі ( $r= 0,28$  і  $r= 0,29$ ) зв'язки із масою тіла і обхватом кисті (див. табл. В.4); у жінок 26-35 років загальний об'єм щитоподібної залози має достовірні середньої сили прямі ( $r=$  від 0,31 до 0,40) зв'язки з масою тіла, обхватом передпліччя у верхній третині, обхватом шиї, обхватом грудної клітки на видиху і в спокійному стані, ТШЖС на животі; слабкі прямі ( $r= 0,28$  і  $r= 0,29$ ) зв'язки з шириною дистального епіфізу передпліччя, обхватом стегна, кисті, обхватом грудної клітки на вдиху, ТШЖС на боці, м'язовим компонентом маси тіла за Матейко (див. табл. В.6).

У жінок загальної групи площа правої частки щитоподібної залози має достовірні середньої сили прямі ( $r=$  від 0,30 до 0,35) зв'язки із масою тіла, обхватом талії, обхватом грудної клітки в спокійному стані, міжостьовим розміром таза, зовнішньою кон'югатою таза; слабкі прямі ( $r=$  від 0,24 до 0,29) зв'язки з обхватом шиї, грудної клітки в на вдиху і на видиху, попереч-

ним середньо- і нижньогруднинним розміром, міжгребневим розміром таза, ТШЖС на задній поверхні плеча, під лопаткою, ендоморфним компонентом соматотипу за Хіт-Картером, жировим компонентом маси тіла за Матейко (див. табл. В.2); у жінок 21-25 років *площа правої частки щитоподібної залози* має достовірний середньої сили прямий ( $r= 0,37$ ) зв'язок із ТШЖС на передпліччі; слабкий прямий ( $r= 0,28$  і  $r= 0,29$ ) зв'язок із міжгребневим розміром таза (див. табл. В.4); у жінок 26-35 років *площа правої частки щитоподібної залози* має достовірні середньої сили прямі ( $r=$  від 0,40 до 0,59) зв'язки з масою тіла, шириною дистального епіфізу передпліччя, обхватом шиї, талії, кисті, обхватом грудної клітки на видиху і в спокійному стані, міжкостковим розміром таза, ТШЖС на животі, кістковим компонентом маси тіла за Матейко; а також недостовірні середньої сили прямі ( $r=$  від 0,30 до 0,38) зв'язки з шириною нижньої щелепи, шириною дистального епіфізу плеча, обхватом стегна, поперечним нижньогруднинним розміром, міжгребневим розміром таза, зовнішньою кон'югатою таза, ТШЖС на гомілці, м'язовим і кістковим компонентом маси тіла за Матейко; недостовірні середньої сили зворотні ( $r= -0,32$  в обох випадках) зв'язки з найбільшою шириною голови і соматотипом (див. табл. В.6).

У жінок загальної групи *площа лівої частки щитоподібної залози* має достовірні середньої сили прямі ( $r=$  від 0,30 до 0,36) зв'язки із обхватом талії і кисті, зовнішньою кон'югатою таза, ТШЖС під лопаткою; слабкі прямі ( $r=$  від 0,23 до 0,29) зв'язки із найбільшою довжиною голови, масою тіла, обхватом стегна і стегон, поперечним нижньогруднинним розміром і передньо-заднім розміром грудної клітки, міжкостковим розміром таза, ендоморфним компонентом соматотипу за Хіт-Картером, м'язовим і жировим компонентом маси тіла за Матейко; слабкий зворотній ( $r= -0,25$ ) зв'язок із ектоморфним компонентом соматотипу за Хіт-Картером (див. табл. В.2); у жінок 21-25 років *площа лівої частки щитоподібної залози* має достовірні середньої сили прямі ( $r=$  від 0,30 до 0,32) зв'язки з обхватом стегна, талії та стегон, міжкост-

тьовим розміром таза (див. табл. В.4); у жінок 26-35 років площа лівої частки щитоподібної залози має достовірний сильний прямий ( $r = 0,61$ ) зв'язок з обхватом кисті; середньої сили прямі ( $r =$  від 0,40 до 0,52) зв'язки з шириною дистального епіфізу передпліччя, обхватом грудної клітки на видиху, ТШЖС на животі, ендоморфним компонентом соматотипу за Хіт-Картером; а також недостовірні середньої сили прямі ( $r =$  від 0,30 до 0,37) зв'язки з шириною дистального епіфізу плеча, обхватом передпліччя у верхній третині, обхватом шиї, талії, обхватом грудної клітки в спокійному стані, зовнішньою кон'югатою таза, ТШЖС на грудях, боці, мезоморфним компонентом соматотипу за Хіт-Картером, жировим компонентом маси тіла за Матейко; недостовірні середньої сили зворотні ( $r =$  від -0,33 до -0,38) зв'язки з довжиною тіла, висотою лобкової і пальцевої точок, ектоморфним компонентом соматотипу за Хіт-Картером і соматотипом (див. табл. В.6).

У жінок загальної групи загальна площа щитоподібної залози має достовірні середньої сили прямі ( $r =$  від 0,31 до 0,38) зв'язки з масою тіла, обхватом талії, міжостьовим розміром таза, зовнішньою кон'югатою таза; слабкі прямі ( $r = 0,19$  і  $r = 0,27$ ) зв'язки з найбільшою довжиною голови, обхватом стегна, шиї, стегон і кисті, обхватом грудної клітки на видиху і в спокійному стані, поперечним середньо- і нижньогруднинним розміром, поперечним нижньогруднинним розміром, міжребневим і міжвертлюговим розмірами таза, ТШЖС під лопаткою, на боці, ендоморфним компонентом соматотипу за Хіт-Картером, жировим компонентом маси тіла за Матейко; слабкий зворотній ( $r = -0,24$ ) зв'язок із ектоморфним компонентом соматотипу за Хіт-Картером (див. табл. В.2); у жінок 21-25 років загальна площа щитоподібної залози має достовірний слабкий прямий ( $r = 0,29$ ) зв'язок з міжостьовим розміром таза (див. табл. В.4); у жінок 26-35 років загальна площа щитоподібної залози має достовірні середньої сили прямі ( $r =$  від 0,38 до 0,51) зв'язки з масою тіла, шириною дистального епіфізу плеча, обхватом шиї і кисті, грудної клітки на видиху і в спокійному стані, міжостьовим розміром таза,



ТШЖС на животі; а також недостовірні середньої сили прямі ( $r=$  від 0,30 до 0,38) зв'язки з найменшою шириною голови, обхватом передпліччя у верхній третині, обхватом талії, поперечним нижньогрудним розміром, зовнішньою кон'югатою таза, ТШЖС на грудях, кістковим і жировим компонентом маси тіла за Матейко; недостовірні середньої сили зворотні ( $r=$  -0,30 і  $r=$  -0,32) зв'язки з найбільшою шириною голови, екоморфним компонентом соматотипу за Хіт-Картером і соматотипом (див. табл. В.6).

Таким чином, у практично здорових міських чоловіків і жінок Поділля загальної та різних вікових груп встановлені особливості зв'язків між сонографічними показниками щитоподібної залози та антропометричними і соматотипологічними параметрами тіла.

Найбільша кількість достовірних зв'язків встановлена у жінок загальної групи та чоловіків 26-35 років, а найменша – у чоловіків 22-25 років і жінок 21-25 років. Спостерігаються виражені прояви статевого диморфізму зв'язків як між загальними, так і між відповідними віковими групами чоловіків і жінок.

Результати досліджень, які представлені в даному розділі дисертації, відображені в трьох наукових статтях у фахових журналах, що рекомендовані ДАК МОН України та тезах міжнародної науково-практичної конференції:

Гненна В.О. Кореляції сонографічних параметрів щитоподібної залози з антропометричними та соматотипологічними показниками практично здорових чоловіків і жінок першого зрілого віку / В.О. Гненна // *Biomedical and Biosocial Anthropology*. – 2015. – № 25. – С. 71-76.

Маєвський О.Є. Зв'язки сонографічних параметрів щитоподібної залози з показниками будови й розмірів тіла здорових чоловіків і жінок до 25 років / О.Є. Маєвський, В.З. Сікора, В.О. Гненна, А.В. Шаюк // *Biomedical and Biosocial Anthropology*. – 2016. – № 26. – С. 57-61.

Гненна В.О. Кореляції сонографічних параметрів щитоподібної залози з ан-

тропо-соматотипологічними показниками здорових чоловіків і жінок від 26 до 35 років / В.О. Гненна, І.В. Гунас, О.Є. Маєвський, С.В. Прокопенко // Науковий вісник Ужгородського університету. – 2016. – Випуск 1 (53). – С. 5-8.

Гненна В.О. Статеві розбіжності зв'язків сонографічних параметрів щитоподібної залози з показниками будови й розмірів тіла в першому зрілому віці / В.О. Гненна // Збірник матеріалів Міжнародної науково-практичної конференції «Медицина ХХІ століття: перспективні та пріоритетні напрями наукових досліджень». 22-23 липня 2016р., м. Дніпро. – С. 35-37.

## РОЗДІЛ 6

### МОДЕЛЮВАННЯ ІНДИВІДУАЛЬНИХ УЛЬТРАЗВУКОВИХ ПАРАМЕТРІВ ЩИТОПОДІБНОЇ ЗАЛОЗИ У ЧОЛОВІКІВ І ЖІНОК ЗАГАЛОМ ТА РІЗНИХ ВІКОВИХ ГРУП В ЗАЛЕЖНОСТІ ВІД ОСОБЛИВОСТЕЙ БУДОВИ ТІЛА

Проведення покрокового регресійного аналізу здійснювалось при дотриманні наступних вимог: 1) величини, що моделюються, повинні залежати від сумарного комплексу антропометричних та соматотипологічних показників організму більше, ніж на 50 %, тобто коефіцієнт детермінації ( $R^2$ ) регресійного поліному має бути не меншим за 0,50; 2) величина критерію Фішера (F-критерію) повинна перевищувати 2,0; 3) кількість вільних членів, що включаються до регресійного поліному, повинна бути по можливості мінімальною.

Встановлено, що *всі сонографічні параметри щитоподібної залози в загальних групах чоловіків та жінок залежать від сумарного комплексу антропометричних та соматотипологічних ознак менше, ніж на 50 % ( $R^2 < 0,50$ ), і тому не мають суттєвого практичного значення для медицини.*

У чоловіків 22-25 років залежна змінна моделі щільності правої частки щитоподібної залози на 64,0 % залежить від сумарного комплексу антропосоматотипологічних показників, включених до регресійного поліному (коефіцієнт детермінації  $R^2=0,640$ ) (табл. Г.1). Більшість коефіцієнтів цієї моделі мають достатньо високу достовірність, лише для незалежної змінної (Intercept) та ширини нижньої щелепи (SH\_N\_CH)  $p > 0,05$ . Враховуючи те, що  $F=13,54$ , що перевищує розрахункове значення критерію Фішера (F критичне дорівнює 8,61), ми можемо стверджувати, що регресійний лінійний поліном високозначущий ( $p < 0,001$ ), що підтверджується і результатами дисперсійного аналізу (див. табл. Г.1). Модель має вигляд наступного лінійного рівняння:

*щільність правої частки щитоподібної залози (чоловіки 22-25 років) = 9,48 + 1,32×ТШЖС на передпліччі – 0,29× ширину нижньої щелепи + 0,62×обхват гомілки у нижній третині + 0,53×висоту лобкової точки – 0,38×висоту вертлюгової точки – 0,29×поперечний нижньогруднинний розмір – 0,49× найбільшу довжину голови – 0,37×жировий компонент маси тіла за Матейко,*

*де (тут і в подальшому) розміри голови – в см;*

*обхватні, поздовжні, поперечні розміри – в см;*

*ТШЖС – в мм;*

*компоненти маси тіла – в кг.*

У чоловіків 22-25 років залежна змінна моделі щільності лівої частки щитоподібної залози на 55,7 % залежить від сумарного комплексу антропосоматотипологічних показників, включених до регресійного поліному ( $R^2=0,557$ ) (табл. Г.2). Більшість коефіцієнтів цієї моделі мають достатньо високу достовірність, лише для незалежної змінної (Intercpt)  $p > 0,05$ . Враховуючи те, що  $F=11,14$ , а  $F$  критичне дорівнює 7,62, ми можемо стверджувати, що регресійний лінійний поліном високозначущий ( $p < 0,001$ ), що підтверджується також результатами дисперсійного аналізу (див. табл. Г.2). Модель має вигляд наступного лінійного рівняння:

*щільність лівої частки щитоподібної залози (чоловіки 22-25 років) = 4,61 + 1,06×ТШЖС на передпліччі + 0,22×висоту лобкової точки – 0,64×ширину нижньої щелепи – 0,54×ТШЖС під лопаткою + 0,96×обхват гомілки в нижній третині – 0,48×обхват стопи – 0,29×обхват гомілки в верхній третині.*

У чоловіків 26-35 років залежна змінна моделі ширини правої частки щитоподібної залози на 62,5 % залежить від сумарного комплексу антропосоматотипологічних показників, включених до регресійного поліному ( $R^2=0,625$ ) (табл. Г.3). Більшість коефіцієнтів цієї моделі мають достатньо високу достовірність, лише для незалежної змінної (Intercpt)  $p > 0,05$ . Враховуючи те,

що  $F=11,66$ , а  $F$  критичне дорівнює  $6,42$ , ми можемо стверджувати, що регресійний лінійний поліном високозначущий ( $p < 0,001$ , що підтверджується і результатами дисперсійного аналізу (див. табл. Г.3). Модель має вигляд наступного лінійного рівняння:

*ширина правої частки щитоподібної залози (чоловіки 26-35 років) =  $-2,66 + 0,15 \times \text{масу тіла} + 0,43 \times \text{обхват голови} - 0,41 \times \text{поперечний нижньогрудинний розмір} - 0,18 \times \text{обхват стегон} + 0,17 \times \text{ТШЖС під лопаткою} + 0,46 \times \text{обхват кисті}$ .*

У чоловіків 26-35 років залежна змінна моделі довжини правої частки щитоподібної залози на  $61,6\%$  залежить від сумарного комплексу антропосоматотипологічних показників, включених до регресійного поліному ( $R^2=0,616$ ) (табл. Г.4). Більшість коефіцієнтів цієї моделі мають достатньо високу достовірність, лише для незалежної змінної (Intercept)  $p > 0,05$ . Враховуючи те, що  $F=9,38$ , а  $F$  критичне дорівнює  $7,41$ , ми можемо стверджувати, що регресійний лінійний поліном високозначущий ( $p < 0,001$ ), що підтверджується і результатами дисперсійного аналізу (див. табл. Г.4). Модель має вигляд наступного лінійного рівняння:

*довжина правої частки щитоподібної залози (чоловіки 26-35 років) =  $17,28 + 1,05 \times \text{ТШЖС на задній поверхні плеча} + 2,39 \times \text{обхват кисті} + 1,54 \times \text{обхват передпліччя у нижній третині} - 0,71 \times \text{обхват передпліччя у верхній третині} - 0,54 \times \text{міжостьовий розмір таза} + 0,56 \times \text{передньо-задній розмір грудної клітки} - 0,34 \times \text{обхват грудної клітки на видиху}$ ,*

де (тут і в подальшому) *розміри таза* – в см.

У чоловіків 26-35 років залежна змінна моделі ширини лівої частки щитоподібної залози на  $63,2\%$  залежить від сумарного комплексу антропометричних та соматотипологічних показників, включених до регресійного поліному ( $R^2=0,632$ ) (табл. Г.5). Більшість коефіцієнтів цієї моделі мають до-

статньо високу достовірність, лише для незалежної змінної (Intercept), обхвату голови (OB\_GL)  $p > 0,05$ . Враховуючи те, що  $F=10,04$ , а  $F$  критичне дорівнює 7,41, ми можемо стверджувати, що регресійний лінійний поліном високозначущий ( $p < 0,001$ ), що підтверджується і результатами дисперсійного аналізу (див. табл. Г.5). Модель має вигляд наступного лінійного рівняння:

*ширина лівої частки щитоподібної залози (чоловіки 26-35 років) = - 7,12 + 0,09 × масу тіла - 0,63 × поперечний нижньогруднинний розмір + 1,13 × ширину дистального епіфізу гомілки - 0,60 × екоморфний компонент соматотипу за Хіт-Картером + 1,18 × ширину дистального епіфізу стегна + 0,19 × передньо-задній розмір грудної клітки + 0,23 × обхват голови,*

де (тут і в подальшому) *компоненти соматотипу* – в бал;

*ширина дистальних епіфізів довгих трубчастих кісток кінцівок* – в см.

У чоловіків 26-35 років залежна змінна моделі *щільності лівої частки щитоподібної залози* на 59,0 % залежить від сумарного комплексу антропосоматотипологічних показників, включених до регресійного поліному ( $R^2=0,590$ ) (табл. Г.6). Більшість коефіцієнтів цієї моделі мають достатньо високу достовірність, лише для незалежної змінної (Intercept)  $p > 0,05$ . Враховуючи те, що  $F=8,43$ , а  $F$  критичне дорівнює 7,41, ми можемо стверджувати, що регресійний лінійний поліном високозначущий ( $p < 0,001$ ), що підтверджується і результатами дисперсійного аналізу (див. табл. Г.6). Модель має вигляд наступного лінійного рівняння:

*щільність лівої частки щитоподібної залози (чоловіки 26-35 років) = - 6,25 + 0,68 × обхват кисті + 0,32 × передньо-задній розмір грудної клітки + 0,32 × найбільшу довжину голови - 0,47 × поперечний нижньогруднинний розмір + 0,87 × ширину обличчя - 0,88 × найбільшу ширину голови + 0,59 × обхват передпліччя у нижній третині.*

У чоловіків 26-35 років залежна змінна моделі *товщини перешийка*

*щитоподібної залози* на 59,2 % залежить від сумарного комплексу антропосоматотипологічних показників, включених до регресійного поліному ( $R^2=0,592$ ) (табл. Г.7). Більшість коефіцієнтів цієї моделі мають достатньо високу достовірність, лише для незалежної змінної (Intercept)  $p > 0,05$ . Враховуючи те, що  $F=8,30$ , а  $F$  критичне дорівнює 7,40, ми можемо стверджувати, що регресійний лінійний поліном високозначущий ( $p < 0,001$ ), що підтверджується і результатами дисперсійного аналізу (див. табл. Г.7). Модель має вигляд наступного лінійного рівняння:

*товщина перешийка щитоподібної залози (чоловіки 26-35 років) = - 4,03 + 0,39 × обхват кисті - 0,21 × поперечний нижньогруднинний розмір + 0,05 × ТШЖС на стегні - 0,12 × міжгребневий розмір таза - 0,06 × м'язовий компонент маси тіла, визначений за формулою АІХ + 0,23 × міжвертлюговий розмір таза + 0,10 × обхват передпліччя у верхній третині.*

У чоловіків 26-35 років залежна змінна моделі об'єму правої частки щитоподібної залози на 70,1 % залежить від сумарного комплексу антропосоматотипологічних показників, включених до регресійного поліному ( $R^2=0,701$ ) (табл. Г.8). Більшість коефіцієнтів цієї моделі мають достатньо високу достовірність, лише для ТШЖС на гомілці (GGL) та ширину дистального епіфізу гомілки (EPG)  $p > 0,05$ . Враховуючи те, що  $F=13,43$ , а  $F$  критичне дорівнює 7,40, ми можемо стверджувати, що регресійний лінійний поліном високозначущий ( $p < 0,001$ ), що підтверджується і результатами дисперсійного аналізу (див. табл. Г.8). Модель має вигляд наступного лінійного рівняння:

*об'єм правої частки щитоподібної залози (чоловіки 26-35 років) = - 29,66 + 1,12 × обхват кисті + 0,43 × ТШЖС на задній поверхні плеча - 0,73 × поперечний нижньогруднинний розмір + 0,31 × передньо-задній розмір грудної клітки + 0,33 × обхват голови - 0,15 × ТШЖС на гомілці + 0,67 × ширину дистального епіфізу гомілки.*

У чоловіків 26-35 років залежна змінна моделі об'єму лівої частки щитоподібної залози на 70,6 % залежить від сумарного комплексу антропосоматотипологічних показників, включених до регресійного поліному ( $R^2=0,706$ ) (табл. Г.9). Всі коефіцієнти цієї моделі мають достатньо високу достовірність. Враховуючи те, що  $F=11,71$ , а  $F$  критичне дорівнює 8,39, ми можемо стверджувати, що регресійний лінійний поліном високозначущий ( $p<0,001$ ), що підтверджується і результатами дисперсійного аналізу (див. табл. Г.9). Модель має вигляд наступного лінійного рівняння:

*об'єм лівої частки щитоподібної залози (чоловіки 26-35 років) = - 33,80 + 1,71×обхват кисті + 0,33×передньо-задній розмір грудної клітки + 0,30×найбільшу довжину голови - 0,51×міжвертлюговий розмір таза - 0,65×поперечний нижньогруднинний розмір + 0,41×ТШЖС на задній поверхні плеча + 1,04×ширину обличчя + 0,10× висоту вертлюгової точки.*

У чоловіків 26-35 років залежна змінна моделі загального об'єму щитоподібної залози на 71,0 % залежить від сумарного комплексу антропосоматотипологічних показників, включених до регресійного поліному ( $R^2=0,710$ ) (табл. Г.10). Більшість коефіцієнтів цієї моделі мають достатньо високу достовірність, лише для обхвату передпліччя у нижній третині (OBPR2)  $p>0,05$ . Враховуючи те, що  $F=13,98$ , а  $F$  критичне дорівнює 7,40, ми можемо стверджувати, що регресійний лінійний поліном високозначущий ( $p<0,001$ ), що підтверджується і результатами дисперсійного аналізу (див. табл. Г.10). Модель має вигляд наступного лінійного рівняння:

*загальний об'єм щитоподібної залози (чоловіки 26-35 років) = - 70,26 + 2,12× обхват кисті + 0,72×ТШЖС на задній поверхні плеча - 1,19×поперечний нижньогруднинний розмір + 0,58×передньо-задній розмір грудної клітки + 0,81×обхват голови - 1,19×ТШЖС на грудях + 0,60×обхват передпліччя у нижній третині.*



У чоловіків 26-35 років залежна змінна моделі площі правої частки щитоподібної залози на 83,2 % залежить від сумарного комплексу антропосоматотипологічних показників, включених до регресійного поліному ( $R^2=0,832$ ) (табл. Г.11). Всі коефіцієнти цієї моделі мають достатньо високу достовірність. Враховуючи те, що  $F=20,47$ , а  $F$  критичне дорівнює 7,29, ми можемо стверджувати, що регресійний лінійний поліном високозначущий ( $p<0,001$ ), що підтверджується і результатами дисперсійного аналізу (див. табл. Г.11). Модель має вигляд наступного лінійного рівняння:

*площа правої частки щитоподібної залози (чоловіки 26-35 років) = - 588,1 + 26,38×передньо-задній розмір грудної клітки - 31,85×поперечний нижньогруднинний розмір + 73,10×обхват кисті + 23,22×ТШЖС на задній поверхні плеча - 7,03×обхват грудної клітки в спокійному стані - 25,93×ТШЖС на передпліччі + 5,98× висоту лобкової точки.*

У чоловіків 26-35 років залежна змінна моделі площі лівої частки щитоподібної залози на 74,1 % залежить від сумарного комплексу антропосоматотипологічних показників, включених до регресійного поліному ( $R^2=0,741$ ) (табл. Г.12). Більшість коефіцієнтів цієї моделі мають достатньо високу достовірність, лише для незалежної змінної (Intercept) та ТШЖС на грудях (GGR)  $p>0,05$ . Враховуючи те, що  $F=11,44$ , а  $F$  критичне дорівнює 7,28, ми можемо стверджувати, що регресійний лінійний поліном високозначущий ( $p<0,001$ ), що підтверджується і результатами дисперсійного аналізу (див. табл. Г.12). Модель має вигляд наступного лінійного рівняння:

*площа лівої частки щитоподібної залози (чоловіки 26-35 років) = - 83,09 + 17,17×передньо-задній розмір грудної клітки + 23,73×висоту надгруднинної точки - 26,36× поперечний нижньогруднинний розмір + 61,34×обхват кисті - 19,0×висоту плечової точки + 11,36× висоту лобкової точки - 26,50×ТШЖС на грудях.*

У чоловіків 26-35 років залежна змінна моделі загальної площі щитоподібної залози на 80,4 % залежить від сумарного комплексу антропосоматотипологічних показників, включених до регресійного поліному ( $R^2=0,804$ ) (табл. Г.13). Більшість коефіцієнтів цієї моделі мають достатньо високу достовірність, лише для незалежної змінної (Intercept)  $p>0,05$ . Враховуючи те, що  $F=16,45$ , а  $F$  критичне дорівнює 7,28, ми можемо стверджувати, що регресійний лінійний поліном високозначущий ( $p<0,001$ ), що підтверджується також результатами дисперсійного аналізу (див. табл. Г.13). Модель має вигляд наступного лінійного рівняння:

*загальна площа лівої частки щитоподібної залози (чоловіки 26-35 років) =*  $-666,3 + 43,74 \times \text{передньо-задній розмір грудної клітки} + 37,28 \times \text{висоту пальцевої точки} - 62,48 \times \text{поперечний нижньогрудинний розмір} + 121,5 \times \text{обхват кисті} - 25,52 \times \text{висоту плечової точки} + 16,39 \times \text{висоту лобкової точки} - 13,95 \times \text{ТШЖС на стегні}$ .

У жінок 21-25 років залежна змінна моделі довжини лівої частки щитоподібної залози на 53,9 % залежить від сумарного комплексу антропосоматотипологічних показників, включених до регресійного поліному ( $R^2=0,539$ ) (табл. Г.14). Більшість коефіцієнтів цієї моделі мають достатньо високу достовірність, лише для незалежної змінної (Intercept)  $p>0,05$ . Враховуючи те, що  $F=7,85$ , а  $F$  критичне дорівнює 7,47, ми можемо стверджувати, що регресійний лінійний поліном високозначущий ( $p<0,001$ ), що підтверджується також результатами дисперсійного аналізу (див. табл. Г.14). Модель має вигляд наступного лінійного рівняння:

*довжина лівої частки щитоподібної залози (жінки 21-25 років) =*  $-10,74 + 0,84 \times \text{поперечний нижньогрудинний розмір} + 1,37 \times \text{передньо-задній розмір грудної клітки} + 0,71 \times \text{довжину тіла} - 0,59 \times \text{висоту плечової точки} - 2,08 \times \text{ширину дистального епіфізу гомілки} + 0,31 \times \text{обхват стегон} - 0,29 \times \text{обхват грудної клітки на видиху}$ .

У жінок 21-25 років залежна змінна моделі товщини лівої частки щитоподібної залози на 50,1 % залежить від сумарного комплексу антропосоматотипологічних показників, включених до регресійного поліному ( $R^2=0,501$ ) (табл. Г.15). Більшість коефіцієнтів цієї моделі мають достатньо високу достовірність, лише для незалежної змінної (Intercept)  $p>0,05$ . Враховуючи те, що  $F=8,01$ , а  $F$  критичне дорівнює 6,48, ми можемо стверджувати, що регресійний лінійний поліном високозначущий ( $p<0,001$ ), що підтверджується також результатами дисперсійного аналізу (див. табл. Г.15). Модель має вигляд наступного лінійного рівняння:

*товщина лівої частки щитоподібної залози (жінки 21-25 років) = - 5,99 + 0,53×обхват кисті - 0,74×кістковий компонент маси тіла за Матейко + 0,18×обхват стегон - 0,19×обхват грудної клітки на видиху + 0,57×передньо-задній розмір грудної клітки + 0,27×поперечний нижньогруднинний розмір.*

У жінок 21-25 років залежна змінна моделі об'єму лівої частки щитоподібної залози на 61,0 % залежить від сумарного комплексу антропосоматотипологічних показників, включених до регресійного поліному ( $R^2=0,610$ ) (табл. Г.16). Всі коефіцієнти цієї моделі мають достатньо високу достовірність. Враховуючи те, що  $F=8,61$ , а  $F$  критичне дорівнює 8,44, ми можемо стверджувати, що регресійний лінійний поліном високозначущий ( $p<0,001$ ), що підтверджується також результатами дисперсійного аналізу (див. табл. Г.16). Модель має вигляд наступного лінійного рівняння:

*об'єм лівої частки щитоподібної залози (жінки 21-25 років) = - 12,21 + 0,62×найбільшу довжину голови - 0,58×кістковий компонент маси тіла за Матейко + 0,12×обхват стегна + 0,38×обхват кисті + 0,31×поперечний нижньогруднинний розмір - 0,51×найбільшу ширину голови - 0,19×обхват грудної клітки на видиху + 0,16×обхват грудної клітки в спокійному стані.*

У жінок 21-25 років залежна змінна моделі загального об'єму щитопо-

дібної залози на 58,1 % залежить від сумарного комплексу антропосоматотипологічних показників, включених до регресійного поліному ( $R^2=0,581$ ) (табл. Г.17). Більшість коефіцієнтів цієї моделі мають достатньо високу достовірність, лише для незалежної змінної (Intercept)  $p>0,05$ . Враховуючи те, що  $F=8,91$ , а  $F$  критичне дорівнює 7,45, ми можемо стверджувати, що регресійний лінійний поліном високозначущий ( $p<0,001$ ), що підтверджується також результатами дисперсійного аналізу (див. табл. Г.17). Модель має вигляд наступного лінійного рівняння:

загальний об'єм щитоподібної залози (жінки 21-25 років) =  $- 12,76 + 1,15 \times$ найбільшу довжину голови  $- 1,09 \times$ кістковий компонент маси тіла за Матейко  $+ 0,32 \times$ обхват талії  $+ 0,66 \times$ обхват кисті  $- 1,05 \times$ найбільшу ширину голови  $+ 0,51 \times$ поперечний нижньогрудинний розмір  $- 0,20 \times$ обхват грудної клітки на видиху.

У жінок 21-25 років залежна змінна моделі площі лівої частки щитоподібної залози на 51,7 % залежить від сумарного комплексу антропосоматотипологічних показників, включених до регресійного поліному ( $R^2=0,517$ ) (табл. Г.18). Всі коефіцієнти цієї моделі мають достатньо високу достовірність. Враховуючи те, що  $F=6,97$ , а  $F$  критичне дорівнює 6,39, ми можемо стверджувати, що регресійний лінійний поліном високозначущий ( $p<0,001$ ), що підтверджується також результатами дисперсійного аналізу (див. табл. Г.18). Модель має вигляд наступного лінійного рівняння:

площа лівої частки щитоподібної залози (жінки 21-25 років) =  $- 981,2 + 46,03 \times$ ширину дистального епіфізу стегна  $+ 25,15 \times$ обхват стегна  $- 17,17 \times$ найбільшу довжину голови  $+ 14,75 \times$ ширину нижньої щелепи  $- 34,54 \times$ масу тіла  $+ 10,36 \times$ обхват грудної клітки на видиху.

У жінок 26-35 років залежна змінна моделі довжини правої частки щитоподібної залози на 57,9 % залежить від сумарного комплексу антропо-

соматотипологічних показників, включених до регресійного поліному ( $R^2=0,579$ ) (табл. Г.19). Більшість коефіцієнтів цієї моделі мають достатньо високу достовірність, лише для незалежної змінної (Intercept) і ширини дистального епіфізу плеча (EPPL)  $p>0,05$ . Враховуючи те, що  $F=8,66$ , а  $F$  критичне дорівнює 7,44, ми можемо стверджувати, що регресійний лінійний поліном високозначущий ( $p<0,001$ ), що підтверджується також результатами дисперсійного аналізу (див. табл. Г.19). Модель має вигляд наступного лінійного рівняння:

*довжина правої частки щитоподібної залози (жінки 26-35 років) = 15,47 + 0,61×висоту вертлюгової точки – 1,47×передньо-задній розмір грудної клітки + 1,57×обхват гомілки у нижній третині + 0,28×обхват грудної клітки на видиху – 1,09×мезоморфний компонент соматотипу за Хіт-Картером – 0,38×висоту лобкової точки – 3,29×ширину дистального епіфізу плеча.*

У жінок 26-35 років залежна змінна моделі щільності лівої частки щитоподібної залози на 57,3 % залежить від сумарного комплексу антропосоматотипологічних показників, включених до регресійного поліному ( $R^2=0,573$ ) (табл. Г.20). Більшість коефіцієнтів цієї моделі мають достатньо високу достовірність, лише для незалежної змінної (Intercept)  $p>0,05$ . Враховуючи те, що  $F=7,65$ , а  $F$  критичне дорівнює 7,40, ми можемо стверджувати, що регресійний лінійний поліном високозначущий ( $p<0,001$ ), що підтверджується також результатами дисперсійного аналізу (див. табл. Г.20). Модель має вигляд наступного лінійного рівняння:

*щільність лівої частки щитоподібної залози (жінки 26-35 років) = 15,61 + 0,77×міжгребневий розмір таза – 0,22×обхват талії + 0,65×обхват гомілки у верхній третині – 0,41×висоту пальцевої точки – 0,36×ТШЖС на стегні + 0,22×висоту лобкової точки – 0,49×сагітальну дугу голови.*

У жінок 26-35 років залежна змінна моделі товщини перешийка ши-

*топодібної залози на 60,1 % залежить* від сумарного комплексу антропосоматотипологічних показників, включених до регресійного поліному ( $R^2=0,601$ ) (табл. Г.21). Більшість коефіцієнтів цієї моделі мають достатньо високу достовірність, лише для незалежної змінної (Intercept)  $p>0,05$ . Враховуючи те, що  $F=8,62$ , а  $F$  критичне дорівнює  $7,40$ , ми можемо стверджувати, що регресійний лінійний поліном високозначущий ( $p<0,001$ ), що підтверджується також результатами дисперсійного аналізу (див. табл. Г.21). Модель має вигляд наступного лінійного рівняння:

*товщина перешийка щитоподібної залози (жінки 26-35 років) =*  $1,79 - 0,06 \times \text{міжвертлюговий розмір таза} - 0,12 \times \text{обхват гомілки у верхній третині} + 0,17 \times \text{обхват стегна} + 0,17 \times \text{обхват гомілки у нижній третині} - 0,15 \times \text{передньо-задній розмір грудної клітки} - 0,75 \times \text{ширину дистального епіфізу гомілки} + 1,15 \times \text{ширину дистального епіфізу передпліччя}$ .

У жінок 26-35 років залежна змінна моделі площі правої частки щитоподібної залози на 72,4 % залежить від сумарного комплексу антропосоматотипологічних показників, включених до регресійного поліному ( $R^2=0,724$ ) (табл. Г.22). Більшість коефіцієнтів цієї моделі мають достатньо високу достовірність, лише для незалежної змінної (Intercept)  $p>0,05$ . Враховуючи те, що  $F=8,31$ , а  $F$  критичне дорівнює  $6,19$ , ми можемо стверджувати, що регресійний лінійний поліном високозначущий ( $p<0,001$ ), що підтверджується також результатами дисперсійного аналізу (див. табл. Г.22). Модель має вигляд наступного лінійного рівняння:

*площа правої частки щитоподібної залози (жінки 26-35 років) =*  $- 628,0 + 155,2 \times \text{ширину дистального епіфізу передпліччя} + 102,2 \times \text{ширину дистального епіфізу гомілки} - 20,06 \times \text{соматотип} - 46,92 \times \text{обхват передпліччя у нижній третині} + 17,62 \times \text{поперечний середньогруднинний розмір} + 9,55 \times \text{ТШЖС на животі}$ .

У жінок 26-35 років залежна змінна моделі площі лівої частки щитоподібної залози на 82,7 % залежить від сумарного комплексу антропосоматотипологічних показників, включених до регресійного поліному ( $R^2=0,827$ ) (табл. Г.23). Більшість коефіцієнтів цієї моделі мають достатньо високу достовірність, лише для незалежної змінної (Intercept)  $p>0,05$ . Враховуючи те, що  $F=12,33$ , а  $F$  критичне дорівнює 7,18, ми можемо стверджувати, що регресійний лінійний поліном високозначущий ( $p<0,001$ ), що підтверджується також результатами дисперсійного аналізу (див. табл. Г.23). Модель має вигляд наступного лінійного рівняння:

*площа лівої частки щитоподібної залози (жінки 26-35 років) = 252,3 + 68,51×обхват кисті + 30,48×ТШЖС на грудях – 32,16×ТШЖС на задній поверхні плеча – 21,40×ширину плечей – 7,48×висоту пальцевої точки + 38,95×ТШЖС на передпліччі + 24,47×найменшу ширину голови.*

У жінок 26-35 років залежна змінна моделі загальної площі щитоподібної залози на 90,7 % залежить від сумарного комплексу антропосоматотипологічних показників, включених до регресійного поліному ( $R^2=0,907$ ) (табл. Г.24). Всі коефіцієнти цієї моделі мають достатньо високу достовірність. Враховуючи те, що  $F=20,83$ , а  $F$  критичне дорівнює 8,18, ми можемо стверджувати, що регресійний лінійний поліном високозначущий ( $p<0,001$ ), що підтверджується також результатами дисперсійного аналізу (див. табл. Г.24). Модель має вигляд наступного лінійного рівняння:

*загальна площа щитоподібної залози (жінки 26-35 років) = – 2109 + 149,4× обхват кисті + 50,89×поперечний нижньогрудинний розмір + 19,85×ТШЖС на животі – 144,4×обхват передпліччя у нижній третині + 28,66×обхват гомілки у нижній третині + 55,86×сагітальну дугу голови – 37,25×міжвертлюговий розмір таза + 22,33×ТШЖС на передній поверхні плеча.*

Усі інші сонографічні розміри щитоподібної залози у *чоловіків і жінок відповідних вікових груп* залежать від сумарного комплексу антропометричних та соматотипологічних ознак менше, ніж на 50 %, і тому не мають суттєвого практичного значення для медицини.

Таким чином лише у чоловіків і жінок відповідних вікових груп (до 25 і від 26 до 35 років) побудовані регресійні моделі індивідуальних сонографічних розмірів щитоподібної залози в залежності від особливостей будови тіла, що мають коефіцієнт детермінації ( $R^2$ ) вищий за 0,50. Найбільша кількість моделей з коефіцієнтом детермінації вищим 0,50 побудована у практично здорових чоловіків 26-35 років (11 моделей із 15 можливих), а найменша – у практично здорових чоловіків 22-25 років (2 моделі з 15 можливих). У практично здорових жінок різних вікових груп побудовано майже однакову кількість моделей з коефіцієнтом детермінації вищим 0,50 – відповідно 5 у жінок 21-25 років і 6 у жінок 26-35 років. У більшості випадків, незалежно від статі й віку, до моделей найчастіше входять обхватні та поперечні розміри тіла.

Результати досліджень, які представлені в даному розділі дисертації, відображені в науковій статті у закордонному фаховому журналі, що входить до міжнародних наукометричних баз. Отримано деклараційний патент на рису модель та авторське свідоцтво на твір:

Регресійні моделі нормативних сонографічних параметрів щитоподібної залози в залежності від особливостей будови тіла чоловіків і жінок різного віку / І.В. Гунас, Р.С. Вастьянов, О.Є. Маєвський, В.О. Гненна // Journal of Education, Health and Sport. – 2015. – Vol. 5, № 11. – P. 334-344. ISSN 2391-8306. DOI10.5281/zenodo.28060

Пат. 109743 Україна, МПК(2016.01) А61В 8/00, А61В 5/103(2006.01), А61В 10/00. Спосіб діагностики та лікування захворювань щитоподібної залози в залежності від особливостей будови тіла у чоловіків і жінок різного віку / Маєвський О.Є., Гненна В.О., заявник та патентовласник Вінницький



національний медичний університет імені М.І. Пирогова. – № u2015 11772; заявл. 30.11.15; опубл. 12.09.16, Бюл. №17.

А.с. про реєстрацію авторського права на твір. Комп'ютерна програма для визначення індивідуальних нормативних сонографічних параметрів щитоподібної залози «ThyroidNorm» (“ThyroidNorm”) / В.О. Гненна, М. П. Костенко. – № 67718; заявл. 08.07.2016, № 68315., опубл. 09.09.16.

## РОЗДІЛ 7

### АНАЛІЗ ТА УЗАГАЛЬНЕННЯ РЕЗУЛЬТАТІВ ДОСЛІДЖЕНЬ

У попередніх розділах дисертаційної роботи встановлено межі довірчих інтервалів і процентильного розмаху сонографічних параметрів щитоподібної залози у практично здорових міських чоловіків і жінок Поділля першого зрілого віку загалом та окремо до й старше 25 років, а також різних соматотипів. Встановлені особливості зв'язків між сонографічними параметрами щитоподібної залози та антропометричними й соматотипологічними показниками практично здорових чоловіків і жінок першого зрілого віку загалом та окремо до й старше 25 років, а також побудовані регресійні моделі індивідуальних сонографічних параметрів щитоподібної залози в залежності від особливостей будови й розмірів тіла чоловіків і жінок відповідних вікових груп.

Аналіз наукової літератури показав, що протягом останніх років, як в Україні, так і поза її межами, відзначається значне зростання числа хворих з доброякісними та злоякісними захворюваннями щитоподібної залози, які, в свою чергу, характеризуються складністю діагностики, прогнозу і вибору раціонального лікування [29, 30, 86, 91, 158, 159, 161].

В останнє десятиліття основна увага була зосереджена на вирішенні проблем хворої людини, почала зникати практика порівняння виявлених особливостей стану здоров'я, зростання і розвитку з різними варіантами нормальних показників фізіологічних систем, що суттєво вплинуло на практичну медицину і призупинило розвиток відповідних напрямів фундаментальних досліджень [23, 50].

Привертає увагу недостатнє число робіт стосовно визначення вікових особливостей щитоподібної залози у здорових осіб [40, 49, 80, 82, 149, 182].

Це стосується перш за все її анатомічних і морфометричних особливостей, визначення яких має важливе значення для оцінки стану здоров'я [10, 27].

Розвиток і популяризація ультразвукової діагностики в клінічній практиці, що спостерігаються в даний час, поставили завдання стандартизації протоколів дослідження, вимірювання органів і трактування отриманих даних [60, 110, 162, 167]. Зважаючи на свою неінвазивність, доступність і безпечність, УЗД застосовується як первинний скринінговий метод обстеження при підозрі на будь-яку тиреоїдну патологію, а також для динамічного контролю в ході консервативної терапії, диспансерного спостереження, після променевого або оперативного втручання [70, 94, 97, 168-170, 172, 173].

В медичній діагностиці зміна тих чи інших розмірів органів людини є надзвичайно важливою діагностичною ознакою. Одним із найважливіших критеріїв визначення стану органу є оцінка його розміру в порівнянні з нормою. Цей аналіз вимагає знання нормальних вікових розмірів внутрішніх органів [84, 174, 187, 188].

На жаль, морфометрія як наука створювалась і отримала широке використання переважно у морфологів, вона виявилась маловідомою клініцистам, що стало причиною рідкого практичного застосування [102]. Тим не менш, саме правильна розшифровка УЗД-морфометрії дозволяє скласти досить повне уявлення про стан органу, здійснювати диференційну діагностику між нозологіями, відмежовувати патологію від норми [42, 67, 103, 190]. Крім того, розширені відомості про розмірні варіації щитоподібної залози складають морфологічну основу хірургії, професійне володіння якою дозволяє в значній мірі скоротити число операційних ускладнень [109, 191, 200].

Проблема морфометрії щитоподібної залози, як у здорових досліджуваних, так і у пацієнтів із патологією досить складна. Це, ймовірно за все, пов'язано із різнобічністю нормативних критеріїв діагностики морфометри-

чних змін залози [18, 98]. Причому, ряд авторів підкреслюють, що з усіх органів в дитячому і дорослому віці, навіть в межах кожної вікової групи, щитоподібна залоза відрізняється найбільш значною різноманітністю своїх розмірів [36, 203].

В науковій літературі наводяться лише усереднені дані про розміри щитоподібної залози без урахування статевого диморфізму і віку. Такі роботи проводилися в кінці 90-х - початку 2000-х років як вітчизняними, так і зарубіжними авторами, але наразі вони вимагають деякого перегляду, оскільки за ці роки значно підвищилася роздільна здатність ультразвукових апаратів, а, отже, точність методу і точність вимірювань [44, 51, 66, 75]. Морфотопометричні характеристики щитоподібної залози практично не розглядалися в зв'язку з типом статури дорослих досліджуваних обох статей. Крім цього, основні дослідження проводилися в дитячому, підлітковому і юнацькому віці й майже відсутні в дорослому віці [14, 15, 78, 132, 139, 149, 158, 159, 160, 192, 193-197].

Ці прогалини в варіантній анатомії, медичній антропології, клінічній ендокринології та ультразвуковій діагностиці продиктували необхідність проведення даного дослідження.

Нами встановлені межі довірчих інтервалів (Confid. -95% +95%) і центильного розмаху (25-75 percntnl) лінійних розмірів (ширини, довжини та товщини), акустичної щільності, об'єму та площі поздовжнього перерізу правої й лівої часток щитоподібної залози, а також товщини перешийка та загального об'єму й площі поздовжнього перерізу щитоподібної залози у здорових міських чоловіків і жінок Поділля першого зрілого віку загалом (Confid. -95% +95%) та окремо до 25 і старше 25 років (25-75 percntnl) (табл. А.1, А.2).

При розподілі *чоловіків на вікові групи до 25 і старше 25 років* встановлені достовірно більші ( $p < 0,05$ ) або тенденції до більших значень ( $p = 0,055 - 0,069$ ) ширини та товщини правої (відповідно на 5,5 і 4,6 %) й лівої

(відповідно на 7,0 і 5,7 %) часток, товщини перешийка (на 7,0 %), а також об'ємів правої (на 9,9 %), лівої (на 15,2 %) часток і загального об'єму (на 11,7 %) щитоподібної залози в групі чоловіків від 26 до 35 років (табл. 7.1).

Таблиця 7.1

**Відмінності сонографічних параметрів щитоподібної залози у практично здорових чоловіків і жінок різного віку.**

Показники	Чоловіки			Жінки		
	22-35 р.	22-25 р.	26-35 р.	21-35 р.	21-25 р.	26-35 р.
Ширина правої частки ЩЗ	■	▼	▲■			
Довжина правої частки ЩЗ	■	■	■			
Товщина правої частки ЩЗ	■	↓■	↑■		▼	▲
Щільність правої частки ЩЗ	■	■				
Ширина лівої частки ЩЗ	□	▼	▲■		▼	▲
Довжина лівої частки ЩЗ	■	■	■			
Товщина лівої частки ЩЗ	■	↓■	↑□		▼	▲
Щільність лівої частки ЩЗ	■	■				
Товщина перешийка ЩЗ	■	↓	↑■			
Об'єм правої частки ЩЗ	■	↓■	↑■			
Об'єм лівої частки ЩЗ	■	▼□	▲■		↓	↑
Загальний об'єм ЩЗ	■	▼■	▲■			
Площа правої частки ЩЗ	■	■	■			
Площа лівої частки ЩЗ	■	□				
Загальна площа ЩЗ	■	■	■			

**Примітки:** тут і в подальшому

1. ▲ або ▼ – величина показника у межах відповідних груп чоловіків або жінок достовірно більша, або менша;
2. ↑ або ↓ – величина показника у межах відповідних груп чоловіків або жінок має тенденцію до більших, або менших значень;
3. ■ – достовірні відмінності показників між чоловіками і жінками відповідних вікових груп (відмічені більші показники);
4. □ – тенденції відмінностей показників між чоловіками і жінками відповідних вікових груп (відмічені більші показники).

При розподілі *жінок на вікові групи до 25 і старше 25 років* встановлені достовірно більші ( $p < 0,05$ ) або тенденції до більших значень ( $p = 0,068$ ) товщини правої (на 5,1 %) й лівої (на 5,3 %) часток, а також ширини (на 4,4 %) та об'єму (на 8,0 %) лівої частки щитоподібної залози в групі жінок від 26 до 35 років (див. табл. 7.1).

Таким чином у чоловіків встановлено значно більшу кількість вікових відмінностей сонографічних параметрів щитоподібної залози, ніж у жінок. Результати проведених морфометричних досліджень інших авторів [38, 75, 80, 118] свідчать, що органометричні показники щитоподібної залози (лінійні розміри, маса та об'єм) характеризуються статевим диморфізмом, що виявляється в динаміці вікових змін розмірів залози. Зазначений факт і те, що чоловічому організму примамаманне більш пізнє дефінітивне становлення, зумовлюють більшу різноманітність параметрів щитоподібної залози у чоловіків в інтервалі від першого до другого періоду зрілого порівняно із жінками [27]. Щитоподібна залоза у жінок від першого періоду зрілого віку до пременопаузального віку характеризується відносною стабільністю лінійних, вагових та об'ємних показників і відрізняється хвилеподібними піками в другому періоді зрілого та в старечому віці. Жінкам у даному віковому періоді притаманна більша варіабельність саме за формою залози [114].

Відомо, що за рядом соматичних ознак існують виражені відмінності між чоловіками і жінками. Більшість проявів статевого диморфізму пов'язують з гормональною сферою, з синтезом чоловічих (андрогенів) і жіночих (естрогенів) гормонів [142, 152]. В численних дослідженнях науковців встановлені достовірно більші значення лінійних та об'ємних розмірів часток щитоподібної залози, а також товщини перешийка у чоловіків порівняно із жінками навіть без урахування приналежності досліджуваних до певного типу тілобудови [33, 38, 40]. Нами також встановлені достовірно більші ( $p < 0,05-0,001$ ) або тенденції до більших значень ( $p = 0,057-0,067$ ) усіх сонографічних параметрів щитоподібної залози в загальній групі чоловіків пер-

шого зрілого віку, більшості параметрів залози (за винятком ширини правої й лівої часток і товщини перешийка) у чоловіків віком від 22 до 25 років, а також більшості параметрів залози (за винятком акустичної щільності правої й лівої часток і площі поздовжнього перерізу лівої частки) у чоловіків віком від 26 до 35 років, ніж у відповідних групах жінок (див. табл. 7.1).

Накопичено чималий матеріал, який вказує на зв'язок варіантної анатомії внутрішніх органів із загальною та локальною конституцією і типом будови тіла людини [14, 15, 16, 20, 21, 22, 38, 39, 41, 59, 65, 71, 76, 119, 122, 139, 148, 193]. Власне, дослідження зв'язку морфології внутрішніх органів з типами статури людини являє клінічний інтерес [55, 57, 58, 88, 150].

Попередніми УЗД-дослідженнями залози виявлено зв'язок об'єму щитоподібної залози із довжиною і масою тіла, віком, статтю, регіоном та вживанням гормональних препаратів [1, 61, 63-64, 76, 99, 118, 145, 156, 182, 195, 206].

Ряд науковців вважають, що при більш високих показниках фізичного розвитку у дітей та дорослих в нормі щитоподібної залози є більшою порівняно з однолітками, у яких відмічаються низькі показники фізичного розвитку [5, 149].

При розподілі чоловіків і жінок Поділля першого зрілого віку загалом та окремо до 25 і старше 25 років *в залежності від соматотипу* нами встановлені межі процентильного розмаху (25-75 percentl) ширини, довжини, товщини, акустичної щільності, об'єму та площі поздовжнього перерізу правої й лівої часток щитоподібної залози, а також товщини перешийка та загального об'єму й площі поздовжнього перерізу щитоподібної залози у чоловіків мезоморфного, екто-мезоморфного та ендо-мезоморфного соматотипів і жінок мезоморфного, екоморфного, ендо-мезоморфного та середнього проміжного соматотипів (табл. Б.1, Б.3, Б.6, Б.8).

При розподілі *чоловіків на різні за соматотипом групи* встановлені наступні достовірно більші ( $p < 0,05$ ) або тенденції до більших значень

( $p=0,055-0,069$ ) параметрів щитоподібної залози: ширини (на 6,3 %), товщини (на 7,2 %) та об'єму (на 15,5 %) лівої частки у чоловіків 26-35 років мезоморфного соматотипу, ніж в загальній групі чоловіків без урахування соматотипу і лише об'єму лівої частки (на 17,7 %), ніж у чоловіків 22-25 років мезоморфного соматотипу; довжини правої частки (відповідно на 6,0 і 5,4 %) у чоловіків 26-35 років екто-мезоморфного соматотипу, ніж в загальній групі чоловіків без урахування соматотипу та у чоловіків 22-25 років аналогічного соматотипу; товщини перешийка (на 9,3 %) у чоловіків 22-25 років мезоморфного соматотипу, ніж у чоловіків аналогічного віку ендомезоморфного соматотипу; площі поздовжнього перерізу правої частки (на 13,1 %) у чоловіків 26-35 років екто-мезоморфного соматотипу, ніж у чоловіків 22-25 років аналогічного соматотипу (табл. 7.2).

Таким чином переважна більшість розбіжностей сонографічних параметрів щитоподібної залози у чоловіків встановлена або з загальною групою без урахування соматотипу, або між представниками різних вікових груп у межах одного соматотипу.

При розподілі *жінок на різні за соматотипом групи* встановлені наступні розбіжності параметрів щитоподібної залози (табл. 7.3):

ширина правої частки – достовірно менша ( $p<0,05$ ) або має тенденції до менших значень ( $p=0,053-0,068$ ) у жінок ендомезоморфного соматотипу 21-25 років, ніж у представниць загальної групи без урахування соматотипу (на 10,8 %), представниць аналогічного віку мезоморфного (на 9,2 %), ектоморфного (на 11,4 %) та середнього проміжного соматотипу (на 14,8 %), а також жінок аналогічного соматотипу 26-35 років (на 12,0 %);

ширина лівої частки – достовірно менша ( $p<0,05-0,01$ ) у жінок ендомезоморфного соматотипу 21-25 років, ніж у представниць загальної групи без урахування соматотипу (на 11,3 %), представниць аналогічного віку ме-



Таблиця 7.2

## Відмінності сонографічних параметрів щитоподібної залози (ЩЗ) у здорових чоловіків різних соматотипів.

Показники	Загалом	Ме	Ме1	Ме2	ЕкМе	ЕкМе1	ЕкМе2	ЕнМе	ЕнМе1
Ширина правої частки ЩЗ									
Довжина правої частки ЩЗ	▼					↓	▲↑		
Товщина правої частки ЩЗ									
Щільність правої частки ЩЗ									
Ширина лівої частки ЩЗ	▼			▲					
Довжина лівої частки ЩЗ									
Товщина лівої частки ЩЗ	▼			▲					
Щільність лівої частки ЩЗ									
Товщина перешийка ЩЗ			↑						↓
Об'єм правої частки ЩЗ									
Об'єм лівої частки ЩЗ	↓		↓	↑					
Загальний об'єм ЩЗ									
Площа правої частки ЩЗ						▼	▲		
Площа лівої частки ЩЗ									
Загальна площа ЩЗ									

**Примітки:** тут і в подальшому


1. ме – мезоморфи;
2. екме – екто-мезоморфи;
3. енме – ендо-мезоморфи;
4. 1 – вік 22-25 років у чоловіків і 21-25 років у жінок;
5. 2 – вік 26-35 років.

Таблиця 7.3

## Відмінності сонографічних параметрів щитоподібної залози (ЩЗ) у здорових жінок різних соматотипів.

Показники	Загалом	Me	Me1	Me2	Ек	Ек1	ЕнМе	ЕнМе1	ЕнМе2	Пр	Пр1
Ширина правої частки ЩЗ	▲		↑			▲		▼↓	↑		▲
Довжина правої частки ЩЗ											
Товщина правої частки ЩЗ	▼	▲▲		▲↑			▼	▼	↓		
Щільність правої частки ЩЗ				↑	↑	▲				↓	▼
Ширина лівої частки ЩЗ	▲	↑	▲			▲	▼↓	▼	▲	▲	▲
Довжина лівої частки ЩЗ											
Товщина лівої частки ЩЗ	▲↑↓	▲	▲	↑	▼↓	▼	▼	▼↓	↑	▲	
Щільність лівої частки ЩЗ			▼↓	▲		↑					↓
Товщина перешийка ЩЗ											
Об'єм правої частки ЩЗ	↑						↓	↓		↑	
Об'єм лівої частки ЩЗ	▲	↑	↑				▼↓	▼↓	▲	▲	
Загальний об'єм ЩЗ	▲				↓			▼	▲	↑	
Площа правої частки ЩЗ			↓	↑							
Площа лівої частки ЩЗ											
Загальна площа ЩЗ											

## Примітки:

1. ек – екоморфи;
2. пр – середній проміжний соматотип;
3.  – кольором відмічено між якими показниками у чоловіків або жінок встановлені відмінності.

зоморфного (на 12,3 %), ектоморфного (на 10,2 %) та середнього проміжного соматотипу (на 13,0 %), а також жінок аналогічного соматотипу 26-35 років (на 11,4 %); достовірно менша ( $p < 0,05$ ) або має тенденцію до менших значень ( $p = 0,059$ ) у жінок загальної групи енто-мезоморфного соматотипу, ніж у представниць загальних груп мезоморфного (на 8,1 %) та середнього проміжного (на 9,3 %) соматотипів;

товщина правої частки – достовірно менша ( $p < 0,05-0,01$ ) у жінок загальної групи без урахування соматотипу, ніж у жінок загальної групи мезоморфного соматотипу (на 5,1 %) та представниць аналогічного соматотипу 26-35 років (на 8,2 %); достовірно більша ( $p < 0,05-0,01$ ) у жінок загальної групи мезоморфного соматотипу, ніж у представниць загальної групи енто-мезоморфного соматотипу (на 8,3 %) та жінок енто-мезоморфного соматотипу 21-25 років (на 11,0 %); має тенденцію до більших значень ( $p = 0,069$ ) у жінок мезоморфного соматотипу 26-35 років, ніж у представниць аналогічного віку енто-мезоморфного соматотипу (на 8,8 %);

товщина лівої частки – достовірно більша ( $p < 0,05$ ) та має тенденцію до більших значень ( $p = 0,058$ ) у жінок загальної групи без урахування соматотипу, ніж у представниць ектоморфного соматотипу 21-25 років (на 7,8 %) та енто-мезоморфного соматотипу 21-25 років (на 8,5 %), а також має тенденцію до менших значень ( $p = 0,067$ ), ніж у жінок мезоморфного соматотипу 26-35 років (на 5,7 %); достовірно більша ( $p < 0,05$ ) у жінок загальної групи мезоморфного соматотипу, ніж у представниць загальних груп ектоморфного (на 10,0 %) та енто-мезоморфного (на 7,3 %) соматотипів; достовірно більша ( $p < 0,05$ ) у жінок мезоморфного соматотипу 21-25 років, ніж у представниць ектоморфного (на 10,1 %) та енто-мезоморфного соматотипів (на 10,7 %) аналогічного віку; має тенденцію до більших значень ( $p = 0,068$ ) у жінок загальної групи середнього проміжного соматотипу, ніж у представниць аналогічної групи ектоморфного соматотипу (на 7,7 %); має тенденцію до більших значень ( $p = 0,061$ ) у жінок енто-мезоморфного соматотипу

26-35 років, ніж у представниць аналогічного соматотипу 21-25 років (на 10,3 %);

акустична щільність правої частки – достовірно менша ( $p < 0,05$ ) у жінок середнього проміжного соматотипу 21-25 років, ніж у представниць ектоморфного соматотипу аналогічного віку (на 17,9 %) та має тенденції до менших значень ( $p = 0,054-0,060$ ) у жінок загальної групи середнього проміжного соматотипу, ніж у представниць загальної групи ектоморфного соматотипу (на 12,9 %) та мезоморфного соматотипу 26-35 років (на 13,4 %);

акустична щільність лівої частки – достовірно менша ( $p < 0,05$ ) у жінок мезоморфного соматотипу 21-25 років, ніж у представниць аналогічного соматотипу 26-35 років (на 13,4 %) та має тенденції до більших значень ( $p = 0,057-0,059$ ) у жінок ектоморфного соматотипу 21-25 років, ніж у представниць мезоморфного (на 14,1 %) та середнього проміжного соматотипів (на 16,8 %) аналогічного віку;

об'єм правої частки – має тенденцію до менших значень ( $p = 0,068$ ) у жінок загальної групи енто-мезоморфного соматотипу, ніж у представниць аналогічної групи середнього проміжного соматотипу (на 12,2 %) та тенденцію до менших значень ( $p = 0,054$ ) у жінок енто-мезоморфного соматотипу 21-25 років, ніж у представниць загальної групи без урахування соматотипу (на 17,0 %);

об'єм лівої частки – достовірно менший ( $p < 0,05$ ) та має тенденцію до менших значень ( $p = 0,068$ ) у жінок загальної групи енто-мезоморфного соматотипу, ніж у представниць аналогічної групи мезоморфного (на 13,0 %) та середнього проміжного (на 14,3 %) соматотипів; достовірно менший ( $p < 0,05$ ) та має тенденцію до менших значень ( $p = 0,069$ ) у жінок енто-мезоморфного соматотипу 21-25 років, ніж у представниць аналогічного соматотипу 26-35 років (на 20,2 %), загальної групи без урахування соматотипу (на 18,4 %) та мезоморфного соматотипу аналогічного віку (на 20,7 %);

загальний об'єм залози – достовірно більший ( $p < 0,05$ ) у жінок загальної групи без урахування соматотипу, ніж у представниць ендомезоморфного соматотипу 21-25 років (на 18,0 %); достовірно більший ( $p < 0,05$ ) у жінок ендомезоморфного соматотипу 26-35 років, ніж у представниць аналогічного соматотипу 21-25 років (на 18,8 %); має тенденцію до більших значень ( $p = 0,067$ ) у жінок загальної групи середнього проміжного соматотипу, ніж у представниць аналогічної групи ектоморфного соматотипу (на 13,7 %);

площа поздовжнього перерізу правої частки – має тенденцію до більших значень ( $p = 0,069$ ) у жінок мезоморфного соматотипу 26-35 років, ніж у представниць аналогічного соматотипу 21-25 років (на 12,0 %).

О.М. Мота зі співавторами [78] та Д.А. Рядновим й І.В. Хвастуновою [99] виявлено більший поліморфізм в будові часток і перешийка щитоподібної залози, які належали жінкам із різними соматотипами, порівняно із чоловіками аналогічних груп порівняння. Аналогічним чином, у нашому дослідженні на відміну від вікових відмінностей сонографічних параметрів щитоподібної залози (більша кількість з яких встановлена у чоловіків), при розподілі на різні соматотипи переважна більшість відмінностей встановлена у жінок. Причому, на відміну від чоловіків, більшість розбіжностей встановлена між представницями саме різних соматотипів.

С.Л. Мельниковою та В.В. Мельниковим [71] відмічено збільшення величини об'єму щитоподібної залози у молодих здорових жінок в напрямку доліхоморфія – брахіморфія. Така ж закономірність стосовно величини передньо-задніх, поперечних, об'ємних розмірів часток щитоподібної відмічена і в роботах О.М. Моти [78], М.В. Власенко [18], М.Б. Кучієвою [61].

Найменші значення лінійних розмірів та об'єму залози, частіш за все, спостерігаються у представниць ендомезоморфного соматотипу, а найбільші – у жінок мезоморфного та середнього проміжного соматотипів. Привертає увагу відсутність достовірних, або тенденцій розбіжностей довжини

обох часток та товщини перешийка щитоподібної залози між представниками різних соматотипів.

При порівнянні вище вказаних сонографічних параметрів щитоподібної залози *між чоловіками та жінками відповідних соматотипів* встановлені наступні розбіжності (табл. 7.4):

*у чоловіків загальної групи мезоморфного соматотипу* – достовірно більші ( $p < 0,05-0,01$ ) або тенденції до більших значень ( $p = 0,054-0,068$ ) ширини правої частки, довжини обох часток, об'ємів обох часток і загального об'єму залози, площі поздовжнього перерізу правої частки та загальної площі поздовжнього перерізу залози;

*у чоловіків мезоморфного соматотипу 22-25 років* – достовірно більші значення ( $p < 0,05-0,01$ ) довжини правої частки, акустичної щільності лівої частки, об'єму правої частки, площі поздовжнього перерізу правої частки та загальної площі поздовжнього перерізу залози;

*у чоловіків мезоморфного соматотипу 26-35 років* – достовірно більші ( $p < 0,05$ ) або тенденції до більших значень ( $p = 0,063-0,069$ ) ширини та довжини правої частки, об'єму лівої частки та загального об'єму залози;

*у чоловіків загальної групи ендо-мезоморфного соматотипу* – достовірно більші ( $p < 0,05-0,01$ ) або тенденції до більших значень ( $p = 0,067-0,069$ ) довжини та товщини обох часток, акустичної щільності правої частки, об'ємів обох часток і загального об'єму залози, площі поздовжнього перерізу обох часток і загальної площі поздовжнього перерізу залози;

*у чоловіків ендо-мезоморфного соматотипу 22-25 років* – достовірно більші ( $p < 0,05$ ) або тенденція до більших значень ( $p = 0,065$ ) ширини правої частки, довжини та товщини обох часток, об'ємів обох часток і загального

Таблиця 7.4

**Статеві відмінності сонографічних параметрів щитоподібної залози (ЩЗ) між здоровими чоловіками та жінками різних соматотипів.**

Показники	Чоловіки					Жінки				
	Me	Me1	Me2	EnMe	EnMe1	Me	Me1	Me2	EnMe	EnMe1
Ширина правої частки ЩЗ	■		□		■					
Довжина правої частки ЩЗ	■	■	■	■	■					
Товщина правої частки ЩЗ				■	■					
Щільність правої частки ЩЗ				□						
Ширина лівої частки ЩЗ										
Довжина лівої частки ЩЗ	□			■	■					
Товщина лівої частки ЩЗ				□	■					
Щільність лівої частки ЩЗ		■								
Товщина перешийка ЩЗ										
Об'єм правої частки ЩЗ	■	■		■	■					
Об'єм лівої частки ЩЗ	□		■	■	■					
Загальний об'єм ЩЗ	■		□	■	■					
Площа правої частки ЩЗ	■	■		■	■					
Площа лівої частки ЩЗ				■	□					
Загальна площа ЩЗ	■	■		■	■					

об'єму залози, площі поздовжнього перерізу обох часток і загальної площі поздовжнього перерізу залози.

Таким чином більш виражені прояви статевого диморфізму сонографічних параметрів щитоподібної залози встановлені між представниками ендо-мезоморфного соматотипу. О.М. Мота та співавтори [77] визначили прояви статевого диморфізму стосовно об'єму щитоподібної залози лише у представників брахіморфного типу тілобудови.

Крім того, згідно результатів нашого дослідження, незалежно від соматотипу найчастіше статеві розбіжності спостерігаються між об'ємними та площинними параметрами щитоподібної залози, а для товщини перешийка щитоподібної залози взагалі не встановлено статевих розбіжностей. Встановлено, що конституціонально-типові відмінності щитоподібної залози при таманні ширині та об'єму часток. Саме вони, на відміну від перешийка вносять найбільший внесок у формування морфотипу залози, який взаємопов'язаний з типом конституції та показниками фізичного розвитку.

Варіабельність окремих органів і систем позначається на мінливості всього організму, в тому числі і на його антропометричних показниках, тобто типові особливості різних ділянок тіла мають певну ступінь кореляції з варіантною анатомією внутрішніх органів в межах цих ділянок [54, 60, 84]. Відомості про мінливість морфотопометричних характеристик щитоподібної залози у дорослих чоловіків і жінок з урахуванням їх взаємозв'язку з антропометричними параметрами складають особливий практичний інтерес, оскільки вони можуть служити критерієм, що забезпечує інтерпретацію даних клінічного обстеження та оптимізацію оперативно-технічних завдань [102, 106].

Доведено існування кореляційних зв'язків об'єму щитоподібної залози із зростом [195], масою тіла [76, 156, 182, 206] і площею поверхні тіла [1, 76, 206], ТШЖС, обхватами плеча, гомілки, формою грудної клітки, спини і живота, з обхватом шиї [76, 118] та компонентами маси тіла [65].



Кількісний аналіз достовірних і середньої сили недостовірних кореляцій сонографічних параметрів щитоподібної залози з антропометричними та соматотипологічними показниками практично здорових чоловіків і жінок Поділля загальних груп, а також вікових груп до 25 років та 26-35 років показав:

- у чоловіків загальної групи кількість достовірних зв'язків 133 із 855 можливих (15,5 %, з яких 33 – із шириною часток, 3 – із довжиною часток, 18 – із товщиною часток, 11 – із товщиною перешийка, 20 – із акустичною щільністю часток, 31 – із об'ємом часток і загальним об'ємом залози, 17 – із площею поздовжнього перерізу часток і загальною площею перерізу залози), із них прямих – 100 (11,7 %, з яких 94 слабкої сили та 6 середньої сили), зворотніх – 33 (3,8 %, з яких 31 слабкої сили та 2 середньої сили). Найбільша кількість зв'язків сонографічних параметрів щитоподібної залози встановлена з обхватними розмірами тіла (5,4 % прямих і 0,6 % зворотніх), ТШЖС (0,7 % прямих і 2,2 % зворотніх) і діаметрами тіла (2,0 % прямих і 0,5 % зворотніх);

- у жінок загальної групи кількість достовірних зв'язків 196 із 870 можливих (22,5 %, з яких 3 – із шириною часток, 21 – із довжиною часток, 38 – із товщиною часток, 19 – із товщиною перешийка, 4 – із акустичною щільністю часток, 60 – із об'ємом часток і загальним об'ємом залози, 51 – із площею поздовжнього перерізу часток і загальною площею перерізу залози), із них прямих – 188 (21,6 %, з яких 154 слабкої сили та 34 середньої сили), зворотніх – 8 (0,9 %, з яких 6 слабкої сили та 2 середньої сили). Найбільша кількість зв'язків сонографічних параметрів щитоподібної залози встановлена з обхватними розмірами тіла (8,9 % прямих), діаметрами тіла (3,8 % прямих), ТШЖС (3,0 % прямих і 0,1 % зворотніх) і показниками компонентного складу маси тіла (2,3 % прямих);

- у чоловіків 22-25 років кількість достовірних зв'язків 67 із 855 можливих (7,8 %, з яких 12 – із шириною часток, 2 – із довжиною часток, 8 – із

товщиною часток, 14 – із товщиною перешийка, 15 – із акустичною щільністю часток, 12 – із об'ємом часток і загальним об'ємом залози, 4 – із площею поздовжнього перерізу часток і загальною площею перерізу залози), із них прямих – 39 (4,6 %, з яких 22 слабкої сили та 17 середньої сили), зворотніх – 28 (3,2 %, з яких 14 слабкої сили та 14 середньої сили). Найбільша кількість зв'язків сонографічних параметрів щитоподібної залози встановлена з ТШЖС (0,9 % прямих і 2,5 % зворотніх) та обхватними розмірами тіла (1,1 % прямих і 0,2 % зворотніх);

- у чоловіків 26-35 років кількість достовірних зв'язків 180 із 855 можливих (21,1 %, з яких 58 – із шириною часток, 13 – із довжиною часток, 12 – із товщиною часток, 10 – із товщиною перешийка, 16 – із акустичною щільністю часток, 58 – із об'ємом часток і загальним об'ємом залози, 13 – із площею поздовжнього перерізу часток і загальною площею перерізу залози), із них прямих – 159 (18,6 %, з яких 23 слабкої сили, 133 середньої сили та 3 сильних), зворотніх – 21 (2,5 %, з яких 2 слабкої сили та 19 середньої сили); а також 9 (1,1 %) недостовірних середньої сили прямих зв'язків (усі з площею поздовжнього перерізу часток і загальною площею перерізу залози). Найбільша кількість зв'язків сонографічних параметрів щитоподібної залози встановлена з обхватними розмірами тіла (10,5 % прямих і 0,6 % зворотніх), кефалометричними розмірами (1,5 % прямих і 0,8 % зворотніх) та діаметрами тіла (1,6 % прямих і 0,4 % зворотніх);

- у жінок 21-25 років кількість достовірних зв'язків 64 із 870 можливих (7,4 %, з яких 1 – із шириною часток, 12 – із довжиною часток, 9 – із товщиною часток, 6 – із товщиною перешийка, 10 – із акустичною щільністю часток, 19 – із об'ємом часток і загальним об'ємом залози, 7 – із площею поздовжнього перерізу часток і загальною площею перерізу залози), із них прямих – 62 (7,1 %, з яких 17 слабкої сили та 45 середньої сили), зворотніх – 2 (0,3 %, з яких 2 середньої сили). Найбільша кількість зв'язків сонографічних параметрів щитоподібної залози встановлена з обхватними (2,5 %

прямих) й поздовжніми (1,3 % прямих) розмірами тіла та ТШЖС (1,0 % прямих і 0,1 % зворотніх);

- у жінок 26-35 років кількість достовірних зв'язків 96 із 870 можливих (11,0 %, з яких 5 – із шириною часток, 9 – із довжиною часток, 25 – із товщиною часток, 6 – із товщиною перешийка, 3 – із акустичною щільністю часток, 25 – із об'ємом часток і загальним об'ємом залози, 23 – із площею поздовжнього перерізу часток і загальною площею перерізу залози), із них прямих – 91 (10,5 %, з яких 22 слабкої сили, 68 середньої сили та 1 сильний), зворотніх – 5 (0,5 %, з яких 2 слабкої сили та 3 середньої сили); а також 36 (4,1 %) недостовірних середньої сили зв'язків (усі з площею поздовжнього перерізу часток і загальною площею перерізу залози), із них прямих – 26 (3,0 %), зворотніх – 10 (1,1 %). Найбільша кількість зв'язків сонографічних параметрів щитоподібної залози встановлена з обхватними розмірами тіла (6,2 % прямих), ТШЖС (1,8 % прямих і 0,2 % зворотніх), діаметрами тіла (1,6 % прямих) та показниками компонентного складу маси тіла (1,4 % прямих).

При аналізі та узагальненні особливостей достовірних і середньої сили недостовірних (лише у вікових групах 26-35 років для показників площі поздовжнього перерізу часток і загальної площі перерізу залози) кореляцій сонографічних параметрів щитоподібної залози з антропометричними та соматотипологічними показниками практично здорових чоловіків і жінок Поділля загальних груп, а також вікових груп до 25 років і 26-35 років встановлені наступні багаточисельні зв'язки:

- у чоловіків загальної групи – прямі, переважно слабкої сили ( $r$  від 0,19 до 0,31) зв'язки ширини обох часток з більшістю обхватних розмірів тіла і м'язовим компонентом маси тіла за Матейко; прямі слабкої сили ( $r$  від 0,19 до 0,29) зв'язки товщини перешийка та об'ємів часток і загального об'єму залози з більшістю обхватних розмірів кінцівок і м'язовим компонентом маси тіла за Матейко; прямі слабкої сили ( $r$  від 0,22 до 0,29) зв'язки

акустичної щільності обох часток з ТШЖС верхньої кінцівки, а також зворотні слабкої сили (r від -0,19 до -0,26) зв'язки товщини обох часток, ширини лівої частки, об'ємів часток і загального об'єму залози та площі поздовжнього перерізу правої частки з ТШЖС на передній поверхні плеча та на груді; прямі, переважно слабкої сили (r від 0,24 до 0,35), зв'язки об'ємів часток і загального об'єму залози та площі поздовжнього перерізу обох часток і загальної площі перерізу залози з сагітальним розміром грудної клітки;

- у жінок загальної групи – прямі, переважно слабкої сили (r від 0,22 до 0,39), зв'язки товщини обох часток, товщини перешийка, об'ємів часток і загального об'єму залози з масою тіла, більшістю обхватних розмірів тіла, ТШЖС на животі й боці та м'язовим компонентом маси тіла за Матейко та АІХ; прямі, переважно слабкої сили (r від 0,26 до 0,34) зв'язки довжини правої частки з більшістю поздовжніх розмірів тіла; прямі, переважно слабкої сили (r від 0,24 до 0,34), зв'язки площі поздовжнього перерізу обох часток і загальної площі перерізу залози з більшістю діаметрів тіла та обхватів тулуба (за винятком площі поздовжнього перерізу лівої частки); прямі слабкої сили (r від 0,21 до 0,29) зв'язки довжини лівої частки, товщини перешийка, об'єму лівої частки й загального об'єму залози та площі поздовжнього перерізу обох часток і загальної площі перерізу залози з жировим компонентом маси тіла за Матейко; зворотні, переважно слабкої сили (r від -0,24 до -0,39), зв'язки товщини обох часток, товщини перешийка, об'єму лівої частки й загального об'єму залози та площі поздовжнього перерізу лівої частки й загальної площі перерізу залози з екоморфним компонентом соматотипу;

- у чоловіків 22-25 років – зворотні слабкої (r від -0,24 до -0,29) та середньої (r від -0,31 до -0,34) сили зв'язки ширини та товщини обох часток, товщини перешийка, об'єму обох часток й загального об'єму залози, а також прямі, переважно середньої сили (r від 0,26 до 0,50), зв'язки акустичної щільності обох часток з більшістю показників ТШЖС верхньої кінцівки;

прямі слабкої ( $r$  від 0,26 до 0,28) та середньої ( $r$  від 0,30 до 0,40) сили зв'язки товщини перешийка з шириною дистальних епіфізів передпліччя й гомілки та обхватами передпліччя й гомілки у верхній й нижній частинах, а також обхватом кисті;

- у чоловіків 26-35 років – прямі, переважно середньої сили ( $r$  від 0,29 до 0,61), зв'язки ширини обох часток з масою тіла, практично усіма обхватними розмірами тіла, половиною діаметрів тіла (лише для лівої частки), половиною показників ТШЖС (більш виражено для правої частки), ендоморфним компонентом соматотипу та м'язовим і жировим компонентами маси тіла за Матейко; прямі, переважно середньої сили ( $r$  від 0,29 до 0,52), зв'язки об'єму обох часток і загального об'єму залози з масою тіла, практично усіма обхватними розмірами тіла, сагітальним розміром грудної клітки та м'язовим і жировим компонентами маси тіла за Матейко; прямі, переважно середньої сили ( $r$  від 0,30 до 0,60), зв'язки площі поздовжнього перерізу обох часток і загальної площі перерізу залози з масою тіла, висотою пальцевої антропометричної точки, обхватом кисті та сагітальним розміром грудної клітки; зворотні середньої сили ( $r$  від -0,31 до -0,50) зв'язки ширини обох часток та об'єму обох часток й загального об'єму залози з ектоморфним компонентом соматотипу;

- у жінок 21-25 років – прямі, переважно середньої сили ( $r$  від 0,28 до 0,38), зв'язки довжини та акустичної щільності обох часток з довжиною тіла та висотою надгруднинної антропометричної точки, а також прямі, переважно середньої сили ( $r$  від 0,29 до 0,41), зв'язки товщини та об'єму лівої частки з майже з половиною обхватних розмірів тіла та м'язовим компонентом маси тіла за Матейко;

- у жінок 26-35 років – прямі, переважно середньої сили ( $r$  від 0,27 до 0,46), зв'язки товщини правої частки з масою тіла, більшістю обхватних розмірів тіла та м'язовим компонентом маси тіла за Матейко й АІХ; прямі, переважно середньої сили ( $r$  від 0,28 до 0,43), зв'язки об'єму обох часток й

загального об'єму залози з майже третиною обхватних розмірів тіла, ТШЖС на животі й боці та м'язовою масою тіла за Матейко (за винятком об'єму лівої частки); прямі, переважно середньої сили (г від 0,31 до 0,61), зв'язки площі поздовжнього перерізу обох часток і загальної площі перерізу залози з майже половиною обхватних розмірів тіла, шириною дистальних епіфізів верхньої кінцівки, масою й половиною діаметрів тіла (за винятком площі поздовжнього перерізу лівої частки), ТШЖС на животі та жировим і кістковим (за винятком площі поздовжнього перерізу лівої частки) компонентами маси тіла за Матейко; зворотні, переважно середньої сили (г від -0,29 до -0,38), зв'язки товщини обох часток, товщини перешийка та площі поздовжнього перерізу лівої частки й загальної площі перерізу залози з екоморфним компонентом соматотипу; зворотні середньої сили (г від -0,33 до -0,36), зв'язки площі поздовжнього перерізу лівої частки з половиною поздовжніх розмірів тіла, а також зворотні середньої сили (г від -0,32 до -0,33), зв'язки площі поздовжнього перерізу обох часток й загальної площі перерізу залози з типом соматотипу.

Таким чином, у жінок загальної групи кількість достовірних зв'язків сонографічних параметрів щитоподібної залози з антропометричними та соматотипологічними показниками майже на 40 % більша, ніж у чоловіків загальної групи (відповідно 196 зв'язків, з яких прямих 154 слабкої сили й 34 середньої сили та зворотніх лише 6 слабкої сили й 2 середньої сили, проти 133 зв'язків у чоловіків, з яких прямих 94 слабкої сили й 6 середньої сили та зворотніх 31 слабкої сили й 2 середньої сили). Тобто, в чоловіків загальної групи встановлено в 4 рази більшу кількість достовірних зворотніх зв'язків (переважно з ТШЖС), ніж у жінок загальної групи.

*Найбільша кількість достовірних кореляцій* з антропометричними та соматотипологічними показниками у жінок загальної групи встановлена з об'ємом часток і загальним об'ємом залози (30,6 % від загальної кількості достовірних кореляцій, переважна більшість з яких припадає на зв'язки з

обхватними розмірами тіла, ТШЖС і показниками компонентного складу маси тіла – відповідно 14,3-4,6-4,1 % від загальної кількості достовірних кореляцій), площею поздовжнього перерізу часток і загальною площею перерізу залози (26,0 % від загальної кількості достовірних зв'язків, переважна більшість з яких припадає на зв'язки з діаметрами та обхватними розмірами тіла – відповідно 8,2-8,2 % від загальної кількості достовірних кореляцій) та з товщиною часток (19,4 % від загальної кількості достовірних зв'язків, переважна більшість з яких припадає на зв'язки з обхватними розмірами тіла – 10,2 % від загальної кількості достовірних кореляцій); а у *чоловіків загальної групи* – з шириною часток (24,8 % від загальної кількості достовірних зв'язків, переважна більшість з яких припадає на зв'язки з обхватними розмірами тіла – 11,3 % від загальної кількості достовірних кореляцій) та об'ємом часток і загальним об'ємом залози (23,3 % від загальної кількості достовірних кореляцій, переважна більшість з яких припадає на зв'язки з обхватними розмірами тіла та ТШЖС – відповідно 10,5 і 4,5 % від загальної кількості достовірних кореляцій). *Практично не встановлено достовірних кореляцій з антропометричними та соматотипологічними показниками: у жінок загальної групи – з шириною часток* (1,5 % від загальної кількості достовірних зв'язків) і акустичною щільністю часток (2,0 % від загальної кількості достовірних зв'язків); у *чоловіків загальної групи* – з довжиною часток (2,3 % від загальної кількості достовірних зв'язків).

*При розподілі на вікові групи:*

- у *жінок 21-25 років*, кількість достовірних зв'язків сонографічних параметрів щитоподібної залози з антропометричними та соматотипологічними показниками в три рази зменшується порівняно з жінками загальної групи (відповідно 196 зв'язків у *жінок загальної групи*, проти 64 зв'язків у *жінок 21-25 років*), однак їх сила зростає (у *жінок загальної групи* переважна більшість достовірних кореляцій слабкої сили – 82,5 % від загальної кількості достовірних зв'язків, а у *жінок 21-25 років* переважна більшість до-

стовірних кореляцій середньої сили – 73,4 % від загальної кількості достовірних зв'язків);

- у жінок 26-35 років, кількість достовірних (11,0 %) і середньої сили недостовірних (4,1 %) зв'язків сонографічних параметрів щитоподібної залози з антропометричними та соматотипологічними показниками зменшується порівняно з жінками загальної групи лише на 32,7 % (відповідно 196 зв'язків у жінок загальної групи, проти 132 зв'язків у жінок 26-35 років), однак їх сила, як і у жінок 21-25 років, зростає (у жінок 26-35 років переважна більшість достовірних кореляцій також середньої сили – 81,8 % від загальної кількості достовірних зв'язків);

- у чоловіків 22-25 років, кількість достовірних зв'язків сонографічних параметрів щитоподібної залози з антропометричними та соматотипологічними показниками майже в два рази зменшується порівняно з чоловіками загальної групи (відповідно 133, переважно прямих, зв'язків у чоловіків загальної групи, проти 67, майже рівномірно прямих і зворотніх, зв'язків у чоловіків 22-25 років), однак їх сила зростає (у чоловіків загальної групи переважна більшість достовірних кореляцій слабкої сили – 94,0 % від загальної кількості достовірних зв'язків, а у чоловіків 22-25 років переважна більшість достовірних кореляцій майже рівномірно слабкої та середньої сили – відповідно 53,7 і 46,3 % від загальної кількості достовірних зв'язків);

- у чоловіків 26-35 років, кількість достовірних (21,1 %) і середньої сили недостовірних (1,1 %) зв'язків сонографічних параметрів щитоподібної залози з антропометричними та соматотипологічними показниками збільшується порівняно з чоловіками загальної групи на 32,7 % (відповідно 133 зв'язки у чоловіків загальної групи, проти 189 зв'язків у чоловіків 22-25 років), однак їх сила, ще більш виражено ніж у чоловіків 22-25 років, зростає (у чоловіків 26-35 років переважна більшість достовірних кореляцій середньої сили – 86,8 % від загальної кількості достовірних зв'язків).



Найбільша кількість достовірних і середньої сили недостовірних кореляцій з антропометричними та соматотипологічними показниками у жінок 21-25 років встановлена з товщиною та об'ємом лівої частки (32,8 % від загальної кількості достовірних кореляцій, переважна більшість з яких припадає на зв'язки з обхватними розмірами тіла – 18,8 % від загальної кількості достовірних кореляцій); у жінок 26-35 років – з площею поздовжнього перерізу часток і загальною площею перерізу залози (44,7 % від загальної кількості достовірних і середньої сили недостовірних кореляцій, переважна більшість з яких припадає на зв'язки з обхватними розмірами, діаметрами тіла, шириною дистальних епіфізів довгих трубчастих кісток кінцівок і ТШЖС – відповідно 12,9-6,1-4,5-4,5 % від загальної кількості достовірних кореляцій), об'ємом часток і загальним об'ємом залози (18,9 % від загальної кількості достовірних кореляцій, переважна більшість з яких припадає на зв'язки з обхватними розмірами тіла – 11,4 % від загальної кількості достовірних кореляцій) та з товщиною часток (18,9 % від загальної кількості достовірних зв'язків, переважна більшість з яких припадає на зв'язки з обхватними розмірами тіла – 8,3 % від загальної кількості достовірних кореляцій); у чоловіків 22-25 років – з акустичною щільністю часток (22,4 % від загальної кількості достовірних кореляцій, переважна більшість з яких припадає на зв'язки з ТШЖС – 11,9 % від загальної кількості достовірних кореляцій) та з товщиною перешийка (20,9 % від загальної кількості достовірних зв'язків, переважна більшість з яких припадає на зв'язки з обхватними розмірами тіла та кефалометричними розмірами – відповідно 7,5 і 4,5 % від загальної кількості достовірних кореляцій); у чоловіків 26-35 років – з шириною часток (30,7 % від загальної кількості достовірних кореляцій, переважна більшість з яких припадає на зв'язки з обхватними розмірами тіла і ТШЖС – відповідно 14,3 і 4,8 % від загальної кількості достовірних кореляцій) та з об'ємом часток і загальним об'ємом залози (30,7 % від загальної кількості достовірних зв'язків, переважна більшість з яких припадає на

зв'язки з обхватними розмірами тіла – 19,6 % від загальної кількості достовірних кореляцій). *Практично не встановлено достовірних кореляцій з антропометричними та соматотипологічними показниками: у жінок 21-25 років – з шириною часток (1,6 % від загальної кількості достовірних зв'язків); у жінок 26-35 років – з акустичною щільністю часток (2,3 % від загальної кількості достовірних зв'язків); у чоловіків 22-25 років – з довжиною часток (3,0 % від загальної кількості достовірних зв'язків).*

Наразі задача адекватного математичного моделювання процесів, що відбуваються в живому організмі, є однією із найактуальніших для сучасної медицини та науки в цілому. Об'єктом досліджень в математичному моделюванні є практично всі основні органи й системи людського організму і щитоподібна залоза не є виключенням [3, 19, 89, 90, 123-126]. Досить велике число робіт, в яких фундаментальна наукова складова виходить на передній план, передбачають в майбутньому пріоритетну роль обчислювальних технологій в забезпеченні високоефективного медичного обслуговування, здоров'я та активного довголіття людини [6, 8, 23, 50, 95, 137].

При проведенні покрокового регресійного аналізу нами встановлено, що *всі сонографічні параметри щитоподібної залози в загальних групах чоловіків та жінок залежать від сумарного комплексу антропометричних і соматотипологічних ознак менше, ніж на 50 % (коефіцієнт детермінації  $R^2 < 0,50$ ), і тому не мають практичного значення для медицини.*

*У чоловіків 22-25 років побудовані наступні моделі з коефіцієнтами детермінації більшими 0,50:*

*акустична щільність правої частки щитоподібної залози (чоловіки 22-25 років) = 9,48 + 1,32×ТШЖС на передпліччі – 0,29× ширину нижньої щелепи + 0,62×обхват гомілки у нижній третині + 0,53×висоту лобкової точки – 0,38×висоту вертлюгової точки – 0,29×поперечний нижньогруднинний роз-*

мір –  $0,49 \times$  найбільшу довжину голови –  $0,37 \times$  жировий компонент маси тіла за Матейко ( $R^2 = 0,640$ );

*акустична щільність лівої частки щитоподібної залози (чоловіки 22-25 років) =  $4,61 + 1,06 \times$ ТШЖС на передпліччі +  $0,22 \times$ висоту лобкової точки –  $0,64 \times$ ширину нижньої щелепи –  $0,54 \times$ ТШЖС під лопаткою +  $0,96 \times$ об-хват гомілки в нижній третині –  $0,48 \times$ обхват стопи –  $0,29 \times$ обхват гомілки в верхній третині ( $R^2 = 0,557$ ).*

У **чоловіків 26-35 років** побудовані наступні моделі з коефіцієнтами детермінації більшими 0,50:

*ширина правої частки щитоподібної залози (чоловіки 26-35 років) =  $-2,66 + 0,15 \times$ масу тіла +  $0,43 \times$ обхват голови –  $0,41 \times$ поперечний нижньогрудинний розмір –  $0,18 \times$ обхват стегон +  $0,17 \times$ ТШЖС під лопаткою +  $0,46 \times$ обхват кисті ( $R^2 = 0,625$ );*

*довжина правої частки щитоподібної залози (чоловіки 26-35 років) =  $17,28 + 1,05 \times$ ТШЖС на задній поверхні плеча +  $2,39 \times$ обхват кисті +  $1,54 \times$ обхват передпліччя у нижній третині –  $0,71 \times$ обхват передпліччя у верхній третині –  $0,54 \times$ міжостьовий розмір таза +  $0,56 \times$ передньо-задній розмір грудної клітки –  $0,34 \times$ обхват грудної клітки на видиху ( $R^2 = 0,616$ );*

*ширина лівої частки щитоподібної залози (чоловіки 26-35 років) =  $-7,12 + 0,09 \times$ масу тіла –  $0,63 \times$ поперечний нижньогрудинний розмір +  $1,13 \times$ ширину дистального епіфізу гомілки –  $0,60 \times$ ектоморфний компонент соматотипу за Хіт-Картером +  $1,18 \times$ ширину дистального епіфізу стегна +  $0,19 \times$ передньо-задній розмір грудної клітки +  $0,23 \times$ обхват голови ( $R^2 = 0,632$ );*

*акустична щільність лівої частки щитоподібної залози (чоловіки 26-35 років) =  $-6,25 + 0,68 \times$ обхват кисті +  $0,32 \times$ передньо-задній розмір грудної клітки +  $0,32 \times$  найбільшу довжину голови –  $0,47 \times$ поперечний нижньогрудин-*

ний розмір + 0,87×ширину обличчя – 0,88×найбільшу ширину голови + 0,59×обхват передпліччя у нижній третині ( $R^2 = 0,590$ );

*товщина перешийка щитоподібної залози (чоловіки 26-35 років) = – 4,03 + 0,39×обхват кисті – 0,21×поперечний нижньогруднинний розмір + 0,05×ТШЖС на стегні – 0,12×міжгребневий розмір таза – 0,06×м'язовий компонент маси тіла, визначений за формулою АІХ + 0,23× міжвертлюговий розмір таза + 0,10×обхват передпліччя у верхній третині ( $R^2 = 0,592$ );*

*об'єм правої частки щитоподібної залози (чоловіки 26-35 років) = – 29,66 + 1,12×обхват кисті + 0,43×ТШЖС на задній поверхні плеча – 0,73×поперечний нижньогруднинний розмір + 0,31×передньо-задній розмір грудної клітки + 0,33×обхват голови – 0,15×ТШЖС на гомілці + 0,67×ширину дистального епіфізу гомілки ( $R^2 = 0,701$ );*

*об'єм лівої частки щитоподібної залози (чоловіки 26-35 років) = – 33,80 + 1,71×обхват кисті + 0,33×передньо-задній розмір грудної клітки + 0,30×найбільшу довжину голови – 0,51×міжвертлюговий розмір таза – 0,65×поперечний нижньогруднинний розмір + 0,41×ТШЖС на задній поверхні плеча + 1,04×ширину обличчя + 0,10× висоту вертлюгової точки ( $R^2 = 0,706$ );*

*загальний об'єм щитоподібної залози (чоловіки 26-35 років) = – 70,26 + 2,12× обхват кисті + 0,72×ТШЖС на задній поверхні плеча – 1,19×поперечний нижньогруднинний розмір + 0,58×передньо-задній розмір грудної клітки + 0,81×обхват голови – 1,19×ТШЖС на грудях + 0,60×обхват передпліччя у нижній третині ( $R^2 = 0,710$ );*

*площа поздовжнього перерізу правої частки щитоподібної залози (чоловіки 26-35 років) = – 588,1 + 26,38×передньо-задній розмір грудної клітки – 31,85×поперечний нижньогруднинний розмір + 73,10×обхват кисті + 23,22×ТШЖС на задній поверхні плеча – 7,03×обхват грудної клітки в спо-*

кійному стані –  $25,93 \times \text{ТШЖС}$  на передпліччі +  $5,98 \times$  висоту лобкової точки ( $R^2 = 0,832$ );

*площа поздовжнього перерізу лівої частки щитоподібної залози (чоловіки 26-35 років) = – 83,09 + 17,17 \times* передньо-задній розмір грудної клітки +  $23,73 \times$  висоту надгруднинної точки –  $26,36 \times$  поперечний нижньогруднинний розмір +  $61,34 \times$  обхват кисті –  $19,0 \times$  висоту плечової точки +  $11,36 \times$  висоту лобкової точки –  $26,50 \times \text{ТШЖС}$  на грудях ( $R^2 = 0,741$ );

*загальна площа поздовжнього перерізу щитоподібної залози (чоловіки 26-35 років) = – 666,3 + 43,74 \times* передньо-задній розмір грудної клітки +  $37,28 \times$  висоту пальцевої точки –  $62,48 \times$  поперечний нижньогруднинний розмір +  $121,5 \times$  обхват кисті –  $25,52 \times$  висоту плечової точки +  $16,39 \times$  висоту лобкової точки –  $13,95 \times \text{ТШЖС}$  на стегні ( $R^2 = 0,804$ ).

**У жінок 21-25 років** побудовані наступні моделі з коефіцієнтами детермінації більшими 0,50:

*довжина лівої частки щитоподібної залози (жінки 21-25 років) = – 10,74 + 0,84 \times* поперечний нижньогруднинний розмір +  $1,37 \times$  передньо-задній розмір грудної клітки +  $0,71 \times$  довжину тіла –  $0,59 \times$  висоту плечової точки –  $2,08 \times$  ширину дистального епіфізу гомілки +  $0,31 \times$  обхват стегон –  $0,29 \times$  обхват грудної клітки на видиху ( $R^2 = 0,539$ );

*товщина лівої частки щитоподібної залози (жінки 21-25 років) = – 5,99 + 0,53 \times* обхват кисті –  $0,74 \times$  кістковий компонент маси тіла за Матейко +  $0,18 \times$  обхват стегон –  $0,19 \times$  обхват грудної клітки на видиху +  $0,57 \times$  передньо-задній розмір грудної клітки +  $0,27 \times$  поперечний нижньогруднинний розмір ( $R^2 = 0,501$ );

*об'єм лівої частки щитоподібної залози (жінки 21-25 років) = – 12,21 + 0,62 \times* найбільшу довжину голови –  $0,58 \times$  кістковий компонент маси тіла за

Матейко + 0,12×обхват стегна + 0,38×обхват кисті + 0,31×поперечний нижньогрудинний розмір – 0,51×найбільшу ширину голови – 0,19×обхват грудної клітки на видиху + 0,16×обхват грудної клітки в спокійному стані ( $R^2 = 0,610$ );

*загальний об'єм щитоподібної залози (жінки 21-25 років) = – 12,76 + 1,15×найбільшу довжину голови – 1,09×кістковий компонент маси тіла за Матейко + 0,32×обхват талії + 0,66×обхват кисті – 1,05×найбільшу ширину голови + 0,51×поперечний нижньогрудинний розмір – 0,20×обхват грудної клітки на видиху ( $R^2 = 0,581$ );*

*площа поздовжнього перерізу лівої частки щитоподібної залози (жінки 21-25 років) = – 981,2 + 46,03×ширину дистального епіфізу стегна + 25,15×обхват стегна – 17,17× найбільшу довжину голови + 14,75×ширину нижньої щелепи – 34,54×масу тіла + 10,36×обхват грудної клітки на видиху ( $R^2 = 0,517$ ).*

**У жінок 21-25 років** побудовані наступні моделі з коефіцієнтами детермінації більшими 0,50:

*довжина правої частки щитоподібної залози (жінки 26-35 років) = 15,47 + 0,61×висоту вертлюгової точки – 1,47×передньо-задній розмір грудної клітки + 1,57×обхват гомілки у нижній третині + 0,28×обхват грудної клітки на видиху – 1,09×мезоморфний компонент соматотипу за Хіт-Картером – 0,38×висоту лобкової точки – 3,29×ширину дистального епіфізу плеча ( $R^2 = 0,579$ );*

*акустична щільність лівої частки щитоподібної залози (жінки 26-35 років) = 15,61 + 0,77×міжгребневий розмір таза – 0,22×обхват талії + 0,65× обхват гомілки у верхній третині – 0,41×висоту пальцевої точки – 0,36× ТШЖС на стегні + 0,22×висоту лобкової точки – 0,49×сагітальну дугу голови ( $R^2 = 0,573$ );*

*товщина перешийка щитоподібної залози (жінки 26-35 років) = 1,79 – 0,06×міжвертлюговий розмір таза – 0,12×обхват гомілки у верхній третині + 0,17×обхват стегна + 0,17×обхват гомілки у нижній третині – 0,15×передньо-задній розмір грудної клітки – 0,75×ширину дистального епіфізу гомілки + 1,15×ширину дистального епіфізу передпліччя ( $R^2 = 0,601$ );*

*площа поздовжнього перерізу правої частки щитоподібної залози (жінки 26-35 років) = – 628,0 + 155,2×ширину дистального епіфізу передпліччя + 102,2×ширину дистального епіфізу гомілки – 20,06×соматотип – 46,92×обхват передпліччя у нижній третині + 17,62×поперечний середньогруднинний розмір + 9,55×ТШЖС на животі ( $R^2 = 0,724$ );*

*площа поздовжнього перерізу лівої частки щитоподібної залози (жінки 26-35 років) = 252,3 + 68,51×обхват кисті + 30,48×ТШЖС на грудях – 32,16×ТШЖС на задній поверхні плеча – 21,40×ширину плечей – 7,48×висоту пальцевої точки + 38,95×ТШЖС на передпліччі + 24,47×найменшу ширину голови ( $R^2 = 0,827$ );*

*загальна площа поздовжнього перерізу щитоподібної залози (жінки 26-35 років) = – 2109 + 149,4× обхват кисті + 50,89×поперечний нижньогруднинний розмір + 19,85×ТШЖС на животі – 144,4×обхват передпліччя у нижній третині + 28,66×обхват гомілки у нижній третині + 55,86×сагітальну дугу голови голови – 37,25×міжвертлюговий розмір таза + 22,33×ТШЖС на передній поверхні плеча ( $R^2 = 0,907$ ).*

Усі інші сонографічні параметри щитоподібної залози у чоловіків і жінок вікових груп до 25 та старше 25 років залежать від сумарного комплексу антропометричних і соматотипологічних ознак менше, ніж на 50 %, і тому не мають практичного значення для медицини.

Таким чином, у практично здорових чоловіків 22-25 років із 15 можливих моделей сонографічних параметрів щитоподібної залози лише 2 (аку-

стичної щільності часток) залежать від сумарного комплексу антропометричних і соматотипологічних ознак більш, ніж на 50 % ( $R^2$  дорівнює 0,557 і 0,640); у практично здорових *чоловіків 26-35 років* – 11 моделей (за винятком товщини й акустичної щільності правої частки та довжини й товщини лівої частки) залежать від сумарного комплексу антропометричних і соматотипологічних ознак більш, ніж на 50 % ( $R^2$  дорівнює від 0,590 до 0,832); у практично здорових *жінок 21-25 років* – 5 моделей (довжини, товщини й об'єма лівої частки, загального об'єма залози та площі поздовжнього перерізу лівої частки) залежать від сумарного комплексу антропометричних і соматотипологічних ознак більш, ніж на 50 % ( $R^2$  дорівнює від 0,501 до 0,610); у практично здорових *жінок 26-35 років* – 6 моделей (довжина правої частки, акустична щільність лівої частки, товщина перешийка залози, а також площі поздовжнього перерізу обох часток і загальної площі поздовжнього перерізу залози) залежать від сумарного комплексу антропометричних і соматотипологічних ознак більш, ніж на 50 % ( $R^2$  дорівнює від 0,573 до 0,907).

При аналізі побудованих регресійних моделей сонографічних параметрів щитоподібної залози в групі практично здорових *чоловіків 22-25 років* встановлено, що найбільш часто до їх складу входять обхватні розміри тіла (26,7 %), кефалометричні показники, поздовжні розміри тіла і ТШЖС (по 20,0 %); а у практично здорових *чоловіків 26-35 років* – поперечні розміри тіла (31,2 %), обхватні розміри тіла (22,1 %), ТШЖС (15,6 %) і кефалометричні показники (11,7 %).

При аналізі побудованих регресійних моделей сонографічних параметрів щитоподібної залози в групі практично здорових *жінок 21-25 років* встановлено, що найбільш часто до їх складу входять обхватні розміри тіла (41,2 %), кефалометричні показники та поперечні розміри тіла (по 17,6 %); а у практично здорових *жінок 26-35 років* – обхватні розміри тіла (28,6 %), поперечні розміри тіла (19,0 %), ТШЖС (16,7 %), а також поздовжні розмі-



ри тіла та ширина дистальних епіфізів довгих трубчастих кісток кінцівок (по 11,9 %).

Визначення довірчих інтервалів і процентильного розмаху сонографічних параметрів щитоподібної залози у практично здорових досліджуваних зрілого віку Поділля при ранжируванні за віком, статтю та соматотипом, а також встановлення особливостей зв'язків між сонографічними параметрами щитоподібної залози та антропометричними й соматотипологічними показниками з наступною побудовою регресійних моделей індивідуальних сонографічних параметрів зазначеного органу в залежності від особливостей будови й розмірів тіла чоловіків і жінок відповідних вікових груп представляється винятковим за ефективністю та доступністю інструментом дослідження антропології, нормальної анатомії, превентивної медицини, ендокринології, функціональної діагностики та забезпечує проникнення на принципово нові рівні розуміння медико-біологічних процесів.

## ВИСНОВКИ

У дисертаційній роботі наведено нове вирішення науково-практичної задачі, яка полягає у встановленні регіональних меж довірчих інтервалів і процентильного розмаху та вікових і конституціональних особливостей сонографічних параметрів щитоподібної залози у практично здорових міських чоловіків і жінок Подільського регіону України, а також в оцінки зв'язків цих параметрів із антропо-соматотипологічними показниками в загальних і різних вікових групах (до 25 і старше 25 років), що дозволило розробити регресійні моделі індивідуальних сонографічних параметрів щитоподібної залози.

1. У чоловіків встановлено більшу кількість *вікових відмінностей* сонографічних параметрів щитоподібної залози, ніж у жінок: так у *чоловіків* від 26 до 35 років – більші значення ширини та товщини правої (відповідно на 5,5 і 4,6 %) й лівої (відповідно на 7,0 і 5,7 %) часток, товщини перешийка (на 7,0 %), об'ємів правої (на 9,9 %), лівої (на 15,2 %) часток і загального об'єму (на 11,7 %) щитоподібної залози, ніж у чоловіків від 22 до 25 років; а у *жінок* від 26 до 35 років – більші значення лише товщини правої (на 5,1 %) й лівої (на 5,3 %) часток, ширини (на 4,4 %) та об'єму (на 8,0 %) лівої частки щитоподібної залози, ніж у жінок від 21 до 25 років.

2. При *розподілі на різні соматотипи* переважна більшість відмінностей сонографічних параметрів щитоподібної залози, встановлена у жінок. Причому, на відміну від чоловіків (у яких переважна більшість розбіжностей виявлена або з загальною групою без урахування соматотипу, або між представниками різних вікових груп у межах одного соматотипу), більшість розбіжностей у жінок встановлена між представницями саме різних соматотипів. Найменші значення лінійних розмірів та об'єму залози, частіш за все,

спостерігаються у представниць ендо-мезоморфного соматотипу, а найбільші – у жінок мезоморфного та середнього проміжного соматотипів.

3. При порівнянні сонографічних параметрів щитоподібної залози між загальними та відповідними віковими групами чоловіків і жінок встановлені виражені прояви статевого диморфізму: більші значення усіх параметрів залози в загальній групі чоловіків першого зрілого віку та більшості параметрів залози у чоловіків віком від 22 до 25 років і віком від 26 до 35 років. Найбільш виражені прояви статевого диморфізму при розподілі на різні соматотипи встановлені між чоловіками (більші значення) й жінками ендо-мезоморфного соматотипу. Незалежно від соматотипу найчастіше статеві розбіжності спостерігаються між об'ємними та площинними параметрами щитоподібної залози.

4. У жінок першого зрілого віку кількість достовірних зв'язків сонографічних параметрів щитоподібної залози з антропо-соматотипологічними показниками майже на 40 % більша, ніж у чоловіків – 196 зв'язків у жінок, з яких прямих 154 слабкої сили ( $r$  від 0,20 до 0,29) й 34 середньої сили ( $r$  від 0,30 до 0,39) та зворотніх 6 слабкої сили ( $r$  від -0,21 до -0,28) й 2 середньої сили ( $r = -0,32$  і -0,39); проти 133 зв'язків у чоловіків, з яких прямих 94 слабкої сили ( $r$  від 0,19 до 0,29) й 6 середньої сили ( $r$  від 0,30 до 0,35) та зворотніх 31 слабкої сили ( $r$  від -0,19 до -0,27) й 2 середньої сили ( $r = -0,36$ ).

У жінок першого зрілого віку найбільша кількість достовірних кореляцій з антропо-соматотипологічними показниками встановлена: з об'ємом часток і загальним об'ємом залози (30,6 %, більшість з яких з обхватними розмірами тіла, ТШЖС і показниками компонентного складу маси тіла), площею поздовжнього перерізу часток і загальною площею перерізу залози (26,0 %, більшість з яких з діаметрами та обхватними розмірами тіла) та з товщиною часток (19,4 %, більшість з яких з обхватними розмірами тіла); у чоловіків – з шириною часток (24,8 %, більшість з яких з обхватними розмі-

рами тіла) та об'ємом часток і загальним об'ємом залози (23,3 %, більшість з яких з обхватними розмірами тіла та ТШЖС).

5. У жінок 21-25 років кількість достовірних кореляцій сонографічних параметрів щитоподібної залози з антропо-соматотипологічними показниками в три рази зменшується порівняно з жінками загальної групи (64 проти 196), однак їх сила зростає (73,4 % середньої сили); у жінок 26-35 років кількість достовірних (96, з яких 91 прямих та 5 зворотніх) і середньої сили недостовірних (36, з яких 26 прямих і 10 зворотніх) кореляцій зменшується порівняно з жінками загальної групи лише на 32,7 %, однак їх сила також зростає (81,8 % середньої сили); у чоловіків 22-25 років, кількість достовірних кореляцій майже в два рази зменшується порівняно з чоловіками загальної групи (67 майже рівномірно прямих і зворотніх проти 133 переважно прямих), однак їх сила зростає (53,7 % слабкої сили та і 46,3 % середньої сили); у чоловіків 26-35 років, кількість достовірних (180, з яких 159 прямих і 21 зворотній) і середньої сили недостовірних (9 прямих) кореляцій збільшується порівняно з чоловіками загальної групи на 32,7 %, однак їх сила, що більш виражено ніж у чоловіків 22-25 років, зростає (86,8 % середньої сили).

У представників різних вікових груп *найбільша кількість достовірних кореляцій* з антропо-соматотипологічними показниками встановлена: у чоловіків 22-25 років – з акустичною щільністю часток (22,4 %, більшість з яких з ТШЖС) та з товщиною перешийка (20,9 %, більшість з яких з обхватними розмірами тіла та кефалометричними розмірами); у чоловіків 26-35 років – з шириною часток (30,7 %, більшість з яких з обхватними розмірами тіла і ТШЖС) та з об'ємом часток і загальним об'ємом залози (30,7 %, більшість з яких встановлена з обхватними розмірами тіла); у жінок 21-25 років – з товщиною та об'ємом лівої частки (32,8 %, більшість з яких з обхватними розмірами тіла); у жінок 26-35 років – з площею поздовжнього перерізу часток і загальною площею перерізу залози (44,7 %, більшість з яких з

обхватними розмірами, діаметрами тіла, шириною дистальних епіфізів довгих трубчастих кісток кінцівок і ТШЖС) та з товщиною часток, об'ємом часток і загальним об'ємом залози (по 18,9 %, більшість з яких з обхватними розмірами тіла).

6. Із 15 можливих моделей сонографічних параметрів щитоподібної залози залежать від сумарного комплексу антропометричних і соматотипологічних ознак більш, ніж на 50 %: у чоловіків 22-25 років – лише 2 (акустичної щільності часток,  $R^2 = 0,557$  і  $0,640$ ); у чоловіків 26-35 років – 11 (за винятком товщини й акустичної щільності правої частки та довжини й товщини лівої частки,  $R^2 =$  від  $0,590$  до  $0,832$ ); у жінок 21-25 років – 5 (довжини, товщини й об'єма лівої частки, загального об'єма залози та площі поздовжнього перерізу лівої частки,  $R^2 =$  від  $0,501$  до  $0,610$ ); у жінок 26-35 років – 6 (довжина правої частки, акустична щільність лівої частки, товщина перешийка залози, площі поздовжнього перерізу обох часток і загальної площі поздовжнього перерізу залози,  $R^2 =$  від  $0,573$  до  $0,907$ ).

При аналізі побудованих моделей встановлено, що найбільш часто до їх складу входять: у чоловіків 22-25 років – обхватні розміри тіла (26,7 %), кефалометричні показники, поздовжні розміри тіла і ТШЖС (по 20,0 %); у чоловіків 26-35 років – поперечні розміри тіла (31,2 %), обхватні розміри тіла (22,1 %), ТШЖС (15,6 %) і кефалометричні показники (11,7 %); у жінок 21-25 років – обхватні розміри тіла (41,2 %), кефалометричні показники та поперечні розміри тіла (по 17,6 %); у жінок 26-35 років – обхватні розміри тіла (28,6 %), поперечні розміри тіла (19,0 %), ТШЖС (16,7 %), поздовжні розміри тіла та ширина дистальних епіфізів довгих трубчастих кісток кінцівок (по 11,9 %).

## ПРАКТИЧНІ РЕКОМЕНДАЦІЇ

На підставі результатів дисертаційного дослідження рекомендуються наступні межі довірчих інтервалів сонографічних показників щитоподібної залози для практично здорових чоловіків і жінок Подільського регіону України:

*у чоловіків: ширина правої частки – від 16,95 до 17,80 мм; довжина правої частки – від 49,41 до 51,13 мм; товщина правої частки – від 17,09 до 17,91 мм; акустична щільність правої частки – від 17,37 до 18,47 дБ; ширина лівої частки – від 16,15 до 17,05 мм; довжина лівої частки – від 47,50 до 49,26 мм; товщина лівої частки – від 15,88 до 16,75 мм; акустична щільність лівої частки – від 17,64 до 18,74 дБ; товщина перешийка – від 3,442 до 3,769 мм; об'єм правої частки – від 7,664 до 8,533 см<sup>3</sup>; об'єм лівої частки – від 6,549 до 7,433 см<sup>3</sup>; загальний об'єм залози – від 14,31 до 16,02 см<sup>3</sup>; площа поздовжнього перерізу правої частки – від 650,9 до 699,1 см<sup>2</sup>; площа поздовжнього перерізу лівої частки – від 562,1 до 614,9 см<sup>2</sup>; загальна площа поздовжнього перерізу залози – від 1213 до 1309 см<sup>2</sup>;*

*у жінок: ширина правої частки – від 15,96 до 16,78 мм; довжина правої частки – від 46,51 до 47,89 мм; товщина правої частки – від 16,10 до 16,87 мм; акустична щільність правої частки – від 16,03 до 17,31 дБ; ширина лівої частки – від 15,59 до 16,42 мм; довжина лівої частки – від 45,40 до 46,86 мм; товщина лівої частки – від 15,07 до 15,84 мм; акустична щільність лівої частки – від 16,15 до 17,47 дБ; товщина перешийка – від 3,236 до 3,527 мм; об'єм правої частки – від 6,739 до 7,068 см<sup>3</sup>; об'єм лівої частки – від 5,743 до 6,370 см<sup>3</sup>; загальний об'єм залози – від 12,20 до 13,45 см<sup>3</sup>; площа поздовжнього перерізу правої частки – від 565,6 до 607,3 см<sup>2</sup>; площа поздовжнього перерізу лівої частки – від 521,7 до 564,9 см<sup>2</sup>; загальна площа поздовжнього перерізу залози – від 1090 до 1170 см<sup>2</sup>.*

## СПИСОК ВИКОРИСТАНИХ ДЖЕРЕЛ

1. Авдеенко Ю.Л. Морфологическая характеристика щитовидной железы взрослых жителей Санкт-Петербурга (по данным выборочного исследования) / Ю.Л. Авдеенко // Архив патологии. – 2001. – № 4. – С. 22-26.
2. Агеенко К.И. Макроанатомия щитовидной железы у жителей Магадана / К.И. Агеенко // Фундаментальные исследования. – 2011. – № 6. – С.18-22.
3. Аналіз математичного моделювання нормативних сонографічних параметрів щитоподібної залози в залежності від особливостей будови тіла юнаків і дівчат із збалансованим соматотипом / Т.В. Чугу, М.В. Власенко, С.В. Прокопенко [та ін.] // Науковий вісник Ужгородського університету, серія «Медицина». – 2010. – вип. 38 – С. 56-60.
4. Антропологические особенности щитовидной железы при макро- и микроэлементозах / Т.В. Павлова, С.В. Надеждин, Л.А. Павлова, Л.В. Деева // Актуальные проблемы спортивной морфологии и интегративной антропологии: Материалы международной научной конференции, посвященной 70-летию профессора Б.А. Никитюка / Под ред. П.К. Лысова. – М., 2003. – С. 142-144.
5. Асфандияров Р.И. Вариантная анатомия щитовидной железы по данным ультразвукового исследования / Р.И. Асфандияров, Л.А. Удочкина // Морфологические ведомости. – 2004. – № 3-4. – С. 85-86.
6. Асфандияров Р.И. Информационный анализ системы "щитовидная железа" / Р.И. Асфандияров, Л.А. Удочкина // Материалы докладов IX Конгресса Международной ассоциации морфологов, Бухара, 14-17.05, 2008. – 12 с.

7. Балаболкин М.И. Решенные и нерешенные вопросы эндемического зоба и йоддефицитных состояний / М.И. Балаболкин // Пробл. эндокринологии. – 2005. – Т. 51, № 4. – С. 31-58.
8. Балаболкін М.М. Фундаментальна і клінічна тиреоїдологія / М.М. Балаболкін, О.М. Клебанова, В.М. Кременська. – М.: Медицина, 2007. – 238 с.
9. Батаева Р.С. Оценка воспроизводимости результатов ультразвуковой волнометрии щитовидной железы / Р.С. Батаева, М.Н. Буланов, Е.В. Дмитриева и др., // Ультразвуковая и функциональная диагностика. – 2016. – № 1. – С. 92-105.
10. Белозерова Л.М. Оценка биологического возраста по компьютерной электроэнцефалографии / Л.М. Белозерова // Успехи геронтологии. – 2013. – № 4. – С. 666-670.
11. Белякова В.И. Определение тиреоидного объема по данным УЗД щитовидной железы и пола / В.И. Белякова // Патент №2003132816/14. – Бюл. № 32. – 2004. – С. 23-35.
12. Бунак В.В. Антропометрия / В.В. Бунак. – М.: Учмедгиз Наркомпроса РСФСР. – 1941. – 368 с.
13. Быков В.Л. Гетерогенность и гетероморфия щитовидной железы / В.Л. Быков // Материалы VIII конгресса Международной ассоциации морфологов, г. Орел, 15 сентября 2006 г., Морфология. – 2006. – Т. 129. – № 4. – С. 27-28.
14. Взаимосвязи между морфометрическими сонографическими параметрами щитовидной железы и конституциональными показателями у здоровых юношей / Д.Б. Зорич, С.В. Прокопенко, М.В. Власенко [и др.] // Вісник морфології. – 2010. – Т. 16, № 3. – С. 692-699.
15. Видуэцкий А.В. Эхографическая морфометрия щитовидной железы у детей и подростков разных типов телосложения: дис. кандидата мед. наук / А.В. Видуэцкий. – Винница, 1997. – 190 с.



16. Власенко М.В. Взаємозв'язок параметрів ультразвукових розмірів щитоподібної залози та тиреоїдного статусу у здорових підлітків та підлітків із дифузним нетоксичним зобом / М.В. Власенко // Науковий вісник Національного медичного університету ім. О.О. Богомольця. – 2007. – № 4. – С. 187-190.

17. Власенко М.В. Эпидемиология и клинико-морфологические особенности рака щитовидной железы у лиц, проживающих в Винницкой области / М.В. Власенко, А.В. Паламарчук, Ф.Г. Прудюс, В.Н. Коломиец // Международный эндокринологический журнал. – 2016. - № 7(79). – С. 82-85.

18. Власенко М.В. До питання нормативів ультразвукових параметрів щитовидної залози в педіатричній практиці / М.В. Власенко // Вісник морфології. – 2004. – Т. 10, № 2. – С. 371-375.

19. Власенко М.В. Математичне моделювання нормативних сонографічних параметрів щитоподібної залози в залежності від особливостей будови тіла юнаків із екто-мезоморфним соматотипом / М.В. Власенко, Т.В. Чугу // «Ендокринна патологія у віковому аспекті. Проблемні питання»: матеріали науково-практичної конференції з міжнародною участю. – Харків, 2010. – С. 26-27.

20. Власенко М.В. Особливості кореляційних зв'язків сонографічних параметрів щитоподібної залози з антропометричними і соматотипологічними показниками тіла практично здорових дівчат різних соматотипів / М.В. Власенко, Т.В. Чугу, І.В. Руда // Науковий вісник Ужгородського університету, серія «Медицина». – 2009. – вип. 37. – С. 14-18.

21. Власенко М.В. Кореляційні зв'язки показників розмірів щитоподібної залози та показників тиреоїдного статусу у підлітків Подільського регіону / М.В. Власенко // Вісник наукових досліджень. – 2007. – № 3. – С. 26-28.

22. Власенко М.В. Кореляційні зв'язки ультразвукових параметрів щитоподібної залози з антропометричними та соматотипологічними харак-

теристиками підлітків / М.В. Власенко, С.В. Прокопенко // *Biomedical and Biosocial Anthropology*. – 2005. – № 4. – С. 27-31.

23. Воронцов И.М. Проблемы охраны и коррекции развития как фундаментальная основа становления онтогенетической медицины и профилактики / И.М. Воронцов // *Biomedical and Biosocial Anthropology*. – 2004. – № 2. – С. 14-15.

24. Гайворонский И.В. Функциональная анатомия эндокринной системы / И.В. Гайворонский, Г.И. Ничипорук. – ЭЛБИ-СПб, 2009. – 56 с.

25. Герасимов Г.А. О рекомендациях ВОЗ “Обогащение пищевой соли йодом для профилактики заболеваний, вызванных дефицитом йода” / Г.А. Герасимов // *Клиническая и экспериментальная тиреоидология*. – 2014. – Т. 10. - №4. – С.5-8.

26. Герасимов Г.А. Сопоставление данных пальпации и ультразвукового обследования при определении размеров щитовидной железы / Г.А. Герасимов, Р. Гутекунст // *Пробл. эндокринол.* – 1992. – № 6. – С. 26-27.

27. Глумова В.А. Морфогенетические процессы в постнатальном развитии щитовидной железы человека / В.А. Глумова, И.А. Черенков // *Сб. Актуальные проблемы морфологии*. – Красноярск, 2008. – С. 44-45.

28. Дедов И.И. Эндокринология, национальное руководство, краткий справочник / И.И. Дедов. – М.: Гэотар, 2013. – С. 353-360.

29. Болгов М.Ю. Результаты длительного наблюдения за пациентами с доброкачественными очаговыми образованиями щитовидной железы / М. Ю. Болгов, Ю. Н. Тарашенко, И. Р. Янчий // *Міжнародний ендокринологічний журнал*. - 2014. - № 2. - С. 9-14.

30. Диагностика и лечение функциональной автономии щитовидной железы / Е.К. Егорычева, Е.А. Трошина, Ф.М. Абдулхабирова [и др.] // *Клиническая медицина*. – 2006. – № 9. – С. 14-21.

31. Доторенко А.Ю. Объяснение причин нормальной морфометрии щитовидной железы / А.Ю. Доторенко // Эхография. Российский ультразвуковой журнал. – 2004. – №1. – С. 72-74.
32. Ермакова Н.И. Взаимосвязь асимметрии тимуса и щитовидной железы человека / Н.И. Ермакова, В.А. Забродин // Материалы докладов IX конгресса международной ассоциации морфологов, г. Бухара, Республика Узбекистан, 14-17 мая 2008 г., Морфология. – 2008. – Т. 133., №2. – С. 45.
33. Ермолович Н.А. Щитовидная железа и её сосудистые связи у взрослого человека / Н.А. Ермолович // Материалы симпозиума «Развитие и морфологические аспекты нейроэндоринных и нейротканевых отношений в организме». – Мн., 1998. – С. 28-29.
34. Эпштейн Е.В. Атлас – руководство по ультразвуковому исследованию щитовидной железы / Е.В. Эпштейн, С.И. Матящук. – Запорожье: Знание, 1997. – 126 с.
35. Жарская И.М. Ультразвуковое исследование щитовидной железы, возрастные особенности ее размеров и гемодинамики: методическое пособие для врачей ультразвуковой диагностики, эндокринологов, терапевтов / И.М. Жарская. – Хабаровск: Изд-во ДалГМУ. – 2003. – 19 с.
36. Забродин В.А. Сравнительно-морфологическое исследование щитовидной железы млекопитающих животных и человека / В.А. Забродин, Е.С. Толстенкова, О.А. Васильева // Морфология. - 2011. - № 4.-С.27-31.
37. Забродин В.А. Типовое строение долей тимуса и щитовидной железы человека / В.А. Забродин, Н.И. Ермакова, О.А. Васильева // Материалы VIII конгресса Международной ассоциации морфологов, г. Орел, 15 сентября 2006 г., Морфология. – 2006. – Т. 129, № 4. – С. 52-53.
38. Залежність параметрів щитоподібної залози від статевих і конституційних особливостей осіб юнацького віку Прикарпатського регіону / О.М. Мота, З.З. Масна, У.М.Галюк, В.Б. Фік // Вісник проблем біології і медицини – 2011 – Вип.3, Т. 2 (88). – С.139-141.

39. Змеев С.А. Оценка взаимосвязи размеров и формы щитовидной железы и соматотипа: сб. труд. научно-практич. конференции / С.А. Змеев. – «Актуальные вопросы экспериментальной и клинической морфологии». – Волгоград, 2010. – С. 249-252.

40. Зорич Д.Б. Морфометрические сонографические параметры щитовидной железы у здоровых девушек Подолья разного возраста / Д.Б. Зорич // Вісник проблем біології і медицини – 2011 – Вип.2, Т. 2. – С. 89-93.

41. Зорич Д.Б. Корреляции между морфометрическими сонографическими параметрами щитовидной железы и конституциональными показателями у практически здоровых девушек Подолья / Д.Б. Зорич // Вестник Морфологии. – Винница. – 2010. – Т. 16, №4. – С. 955-961.

42. Зубковский Г.А. Автоматизированная программа диагностики гиперплазии щитовидной железы у детей по данным сонографического исследования / Г.А. Зубковский, О.Б. Тарарухина, Т.С. Белле // Тиронет журнал. – 2009. – С. 3.

43. Изменчивость параметров щитовидной железы у жителей Пензенской области / О.В. Калмин, О.А. Калмина, Д.В. Никишин, Л.В. Мельников // Вестник новых медицинских технологий. – 2007. – Т.14, № 1. – С. 112-115.

44. Ильин А.А. Возрастные нормативы объема щитовидной железы по данным ультразвуковой биометрии / А.А. Ильин, В.С. Паршин, А.Ф. Цыб // Мед. радиол. и радиац. безопас. 1997. – Т.42. – № 2. – С. 47-52.

45. Очерки интегративной антропологии / В.Г. Николаев, Н.Н. Медведева, В.Н. Николенко [и др.] // Красноярск: КрасГМУ Красноярск. – 2015. – 326 с.

46. Ионова Е.А. Ультразвуковая оценка васкуляризации узловых образований щитовидной железы / Е.А. Ионова // Электронный журнал Ангиология. – 2011. - № 1. – С. 67-80.

47. Каган И.И. Топографоанатомические особенности щитовидной железы по данным компьютерной томографии / И.И.Каган, И.Н.Фатеев // Морфология. – 2007. – Т. 132, № 4. – С. 56-60.
48. Калмин О.В. Математическое моделирование показателей структуры щитовидной железы при тиреоидной патологии / О. В. Калмин, О. О. Калмин // Саратовский научно-медицинский журнал. - 2014. - Т. 10, № 1. - С. 38-44.
49. Калмин О.В. Особенности микроструктуры щитовидной железы при некоторых видах ее патологии / О. В. Калмин, О. О. Калмин // Медицинские науки. Клиническая медицина. - 2013. - № 4 (28). – С. 103-111.
50. Карпатский И.В. Обзор материалов XIII Международного конгресса тиреоидологов (Буэнос-Айрес, Аргентина, 30 октября – 4 ноября 2005 г.) / И.В. Карпатский, А.Ф. Романчишен, Д.В. Махароблишвили // Вестник хирургии, 2006. – Т. 165. – № 5. – С. 94-97.
51. Касаткина Э.П. Методические подходы к разработке ультразвуковых нормативов щитовидной железы у детей и подростков / Э.П. Касаткина, Д.Е. Шилин, М.И. Пыков // Ультразвук. диагн. в акушер. и гинекол.. – 1994. – № 1. – С. 68-73.
52. К вопросу о вариантной анатомии, линейных размеров и формы щитовидной железы / Ю.В. Малеев, Н.М. Шмакова, Т.В. Гусева, В.В. Стекольников, А.Л. Попович // Материалы 3 Всероссийской конференции молодых ученых. – Воронеж, 2009. – Т.2. – С. 61-65.
53. К вопросу об особенностях ультразвукового исследования щитовидной железы / А.В. Черных, Ю.В. Малеев, Т.В. Гусева, Н.М. Шмакова, Е.В. Белов // Наследие Пирогова: прошлое, настоящее, будущее: материалы научной конференции с международным участием. – СПб, 2010. – С. 305-306.

54. Койносов П.Г. Роль конституции в оценке здоровья человека / П.Г. Койносов, А.Г. Щедрина, А.П. Койносов, С.А. Орлов // Медицинская наука и образование Урала. – 2014. – Т. 15. - № 2 (78). – С. 146-150.

55. Комиссарова Е.Н. Становление соматотипа в онтогенезе человека / Е.Н. Комиссарова, Т.В. Панасюк // Международная конференция «проблемы современной морфологии человека». – 2008. – С. 198-200.

56. Кондрашев А.В. Возрастные и типовые особенности анатомии некоторых органов пищеварительной и эндокринной систем представителей различных соматотипов / А.В. Кондрашев, Н.Ю. Неласов, Е.В. Чаплыгина, М.Б. Кучиева, А.В. Морозова, Л.В. Литвинова // Сборник трудов V международной конференции «Обмен веществ при адаптации и повреждении». – Ростов н/Д, 2006. – С. 101-102.

57. Кондрашев А.В. Волюметрические показатели щитовидной железы представителей различных соматотипов / А.В. Кондрашев, Н.Ю. Неласов, М.Б. Кучиева, О.Т. Варганова, Н.Е. Овсеенко // Сборник трудов V международной конференции «Обмен веществ при адаптации и повреждении». – Ростов н/Д, 2006. – С. 99-100.

58. Корнетов Н.А. Учение о конституции человека в медицине: от исторической ретроспективы до наших дней / Н.А. Корнетов // Материалы IV международного конгресса по интегративной антропологии, 16-19 мая 2002 г., Санкт-Петербург. – Ред. Л.А. Алексина. – СПб : Издательство СПбГМУ, 2002. – С. 190-192.

59. Корреляции между морфометрическими параметрами щитовидной железы и конституциональными показателями у практически здоровых девушек Подолья / Д.Б. Зорич, С.В. Прокопенко, М.А. Машталир [и др.] // Вісник морфології. – 2010. – Т. 16, № 4. – С. 955-961.

60. Корнетов Н.А. Концепция клинической антропологии в медицине / Н.А. Корнетов // Бюллетень сибирской медицины. – 2008. – Т. 7, № 1. – С. 7-31.

61. Кучиева М.Б. Конституциональные особенности линейных размеров и общего объема щитовидной железы по данным ультразвукового исследования / М.Б. Кучиева // Актуальные вопросы современной морфологии. – Ростов-на-Дону: ГБОУ ВПО Рост ГМУ, 2012. – С. 41-42.

62. Кучиева М.Б. Конституциональные особенности объемных показателей щитовидной железы у представителей юношеского и первого периода зрелого возраста / М.Б. Кучиева // Образование, здоровье, спорт. – Смоленск, 2009. – С. 119-124.

63. Кучиева М.Б. Конституциональные особенности щитовидной железы / М.Б. Кучиева // Актуальные проблемы в лечении хирургических болезней, Материалы юбилейной научно-практической конференции, посвященной 90-летию со дня рождения члена-корреспондента РАМН, профессора П.П. Коваленко. – Ростов н/Д, 2009. – С. 136-137.

64. Кучиева М.Б. Типовые особенности щитовидной железы у представителей различных соматотипов / М.Б. Кучиева // Материалы I Съезда лучевых диагностов Южного федерального округа: Медицинская визуализация (приложение). – Ростов н/Д, 2009. – С. 54-55.

65. Кучиева М.Б. Оценка взаимосвязи ультразвуковых размеров щитовидной железы и антропометрических параметров человека / М.Б. Кучиева // Актуальные вопросы морфологии. Матер. VIII научной межвузовской конф. ст., мол. уч. и спец. с междунар. участием. Ростов-на-Дону, 2011. – С. 22-23.

66. Максимов А.Л. Варианты, морфометрической нормы щитовидной железы у взрослого населения Магаданского региона: Науч.-прак. рекомендации. / А.Л. Максимов, А.Л. Горбачев, А.В. Ефимов // Магадан: Изд-во МНИЦ «Арктика» СВНЦ ДВО РАН, 2000. – 51 с.

67. Малая энциклопедия врача-эндокринолога (книга 2) / А.С. Ефимов, Н.А. Зуева, Н.Д. Тронько [и др.]. – К.: ДСГ Лтд, 2005. – С. 102-103.

68. Мальцев В.И. Этические принципы проведения клинических исследований / В.И. Мальцев, Т.К. Ефимцева, Д.Ю. Белоусов // Український медичний часопис. – 2001. – № 5. – С. 66-80.
69. Маркова О.Е. Органометрические особенности строения щитовидной железы в разные возрастные периоды / О.Е. Маркова. – Матер. 67-й межвузовской научной конференции студентов и молодых ученых. – Курск, 2002. – С. 76-77.
70. Матящук С. Диагностические возможности ультразвукового исследования щитовидной железы / С. Матящук // Ліки України. – 2006. – № 6. – С. 33-37.
71. Мельникова С.Л. Связь размеров щитовидной железы с некоторыми антропометрическими характеристиками / С.Л. Мельникова, В.В. Мельников // Материалы IV международного конгресса по интегративной антропологии. – СПб.: Издательство СЛБГМУ, 2002. – С. 228-230.
72. Мішалов В.Д. Про правові, законодавчі та етичні норми і вимоги при виконанні наукових морфологічних досліджень / В.Д. Мішалов, Ю.Б. Чайковський, І.В. Твердохліб // Морфологія. – 2007. – № 2. – С. 108-115.
73. Митьков В.В. Диагностические возможности ультразвуковой эластографии сдвиговой волной при хроническом аутоиммунном тиреоидите / В.В. Митьков, Т.В.Иванишина, М.Д. Митькова, Н.В. Заболотская // Ультразвуковая и функциональная диагностика. – 2016. - N 3.-С.25-33.
74. Митьков В.В. Ультразвуковое исследование неизменной щитовидной железы с применением технологии эластографии сдвиговой волной / В.В. Митьков, Т.В. Иванишина, М.Д. Митькова // Ультразвуковая и функциональная диагностика. – 2014. – № 6. – С. 13-20.
75. Морфологічний аналіз лінійних розмірів щитоподібної залози людини при ультразвуковому дослідженні / О.М. Мота, Ю.Я. Кривко, У.М. Галюк [та ін.] // Вісник морфології. – 2004. – Т. 10, № 2. – С. 390-393.



76. Мота О.М. Взаємозв'язок між об'ємом щитоподібної залози і масою, ростом, площею поверхні тіла та периметром шиї у осіб юнацького віку Прикарпаття / О.М. Мота // Практична медицина. – 2003. – Т. IX, № 5. – С. 82-86.

77. Мота О.М. Зв'язок лінійних і об'ємних показників щитоподібної залози зі статтю та конституцією людини / О.М. Мота // Практична медицина. – 2003. – Т. II, № 2. – С. 68-71.

78. Мота О.М. Особливості макроанатомії щитоподібної залози осіб юнацького віку Прикарпаття / О. М. Мота, Ю.А. Кривко, Р.Вітик // Вісник морфології. – 2005. – Т. 11, № 1. – С. 112-114.

79. Мота О.М. Сонографічне дослідження щитовидних залоз молодих осіб Прикарпатського регіону / О.М. Мота, Л.І. Стахурська // Актуальні питання морфології. Фахове видання праць II Національного конгресу анатомів, гістологів, ембріологів і топографоанатомів України. – Луганськ: ВАТ „ЛОД”, 1998. – С. 188-189.

80. Мухина Т.С. Органометрическое исследование щитовидной железы в связи с полом, возрастом и соматической патологией / Т.С. Мухина, В.В. Харченко, А.А. Должиков // Курский научно-практ. вестник «Человек и его здоровье». – 2007. – №4. – С. 62-67.

81. Неласов Н.Ю. Конституциональные закономерности изменчивости объема щитовидной железы у здоровых людей 17-30 лет / Н.Ю. Неласов // Валеология. – 2012. – №1. – С. 13-21.

82. Никишин Д.В. Корреляционные взаимоотношения макроскопических параметров щитовидной железы с антропометрическими показателями у мужчин / Д.В. Никишин, Т.В. Полянская // Молодежь и наука: модернизация и инновационное развитие страны: материалы международной научно-практической конференции. – Пенза: Изд-во ПГУ, 2011. – Ч.3. – С. 278-280.

83. Николаев В.Г. Антропологическое обследование в клинической практике / В.Г.Николаев, Н.Н.Николаева, Л.В.Синдеева, Л.В.Николаева. – Красноярск: ООО «Версо», 2007. – 200с.

84. Нурметова І.К. Особливості сучасних антропологічних досліджень по встановленню взаємозв'язків у живому організмі / І.К. Нурметова, І.Д. Кухар // Вісник морфології. – 2007. – Т. 13, № 2. – С. 470-473.

85. Одинцов В.А. Место и перспективы применения телемедицины в эндокринологической практике / В.А. Одинцов, С.В. Одинцова, А.З. Гусейнов // Медицинские приборы и технологии: Международный сборник научных статей, вып.6, - Тула: Изд-во ТулГУ, 2015. С.49-51.

86. Олійник В.А. Склеротерапия этанолом доброкачественных новообразований щитовидной железы / В. А. Олейник, С. И. Матящук, Ю. Н. Найда, Е. А. Шелковой, В. В. Марков, Е. О. Моторный // Эндокринологія. - 2012. - Т. 17, № 4. - С. 44-55.

87. Топография щитовидной железы: от морфологии к клинике/ Ю.В. Малеев, А. В. Черных, В. В. Стекольников, А. Н. Шевцов// Журнал анатомии и гистопатологии. – 2012. – Т. 1. - № 3. – С. 30-33.

88. Панасюк Т.В. Наследственная обусловленность соматотипа и ее реализации в онтогенезе / Т.В. Панасюк, С.И. Изаак, Р.В. Тамбовцева // Материалы 6-го международного конгресса по интегративной антропологии. – СПб.: Издательство СПб ГМУ, 2002. – С. 272-274.

89. Пат. 44870 Україна, МПК А61В 10/00. Спосіб моделювання нормативних сонографічних параметрів щитоподібної залози в залежності від особливостей будови тіла юнаків різних соматотипів / Чугу Т.В., Власенко М.В., Дмитрієв М.О., заявник та патентовласник Вінницький національний медичний університет ім. М.І. Пирогова. – № u2009 09340; заявл. 11.09.09; опубл. 12.10.09, Бюл. №19.

90. Пат. 44871 Україна, МПК А61В 10/00. Спосіб моделювання нормативних сонографічних параметрів щитоподібної залози в залежності від

особливостей будови тіла дівчат різних соматотипів / Чугу Т.В., Гунас І.В., Дмитрієв М.О., заявник та патентовласник Вінницький національний медичний університет ім. М.І. Пирогова. – № u2009 09341; заявл. 11.09.09; опубл. 12.10.09, Бюл. №19.

91. Пеньків В.І. Поширеність патології шитоподібної залози в йододефіцитних районах західної України / В.І. Пеньків // Ендокринологія. – 2006. – Т. 11, № 1. – С. 134-137.

92. Петров С.В. Оценка возможностей общепринятых и нетрадиционных методов диагностики хирургических заболеваний щитовидной железы / С.В. Петров // Клінічна хірургія. – 2006. – № 9. – С. 55-57.

93. Петунина Н.А. Болезни щитовидной железы / Н.А. Петунина, Л.В. Трухина – Москва, ГЭОТАР-Медиа, 2011. – 222 с.

94. Пинский С.Б. Предикторы в диагностике первичного гиперпаратиреоза / С.Б. Пинский, В. А. Белобородов, П. А. Куимов // Материалы 22(24) Росс. симп. с междунар. участием «Эндокринная хирургия 2003-2014 гг.», 11-13 сентября 2014. - СПб., 2014. - С.66-68.

95. Применение методов статистического анализа для изучения общественного здоровья и здравоохранения / Под ред. чл.-корр. РАМН, проф. В.З. Кучеренко. – М., "Гэотар-Медиа", 2007. – 192 с.

96. Реброва О.Ю. Статистический анализ медицинских данных. Применение пакета прикладных программ пакета Statistica / О.Ю. Реброва. – М.: МедиаСфера, 2002. – 312 с.

97. Роль комплексного ультразвукового исследования при хирургическом лечении узловых патологий щитовидной железы / В.В. Щетинин, Е.А. Ионова, О.М. Попович [и др.] // Медицинская визуализация. – 2006. – № 3. – С. 21-31.

98. Рудзський С.Л. Застосування антропометричних вимірювань у діагностиці ендокринних захворювань / С.Л. Рудзський // Вісник Вінницького державного медичного університету. – 2003. – № 1/2. – С. 383.

99. Ряднов Д.А. Морфофункциональные критерии риска развития гиперфункции щитовидной железы у женщин молодого возраста / Д.А. Ряднов, И.В. Хвастунова // Известия Самарского научного центра Российской академии наук. – 2014. – Т. 16, № 5(4). – С. 1317-1319.

100. Санджиев Э.А. Строение щитовидной железы по данным ультразвукового исследования на этапах инволюции человека / Э.А. Санджиев // Материалы докладов IX конгресса международной ассоциации морфологов, г. Бухара, Республика Узбекистан, 14-17 мая 2008 г., Морфология. – 2008. – Т. 133. – №2. – С. 118.

101. Сандриков В.А. Комплексное ультразвуковое исследование щитовидной железы Практическое руководство / В.А. Сандриков, Е.П. Фисенко, Т.Я. Стручкова. – М.: ООО Фирма СТРОМ, 2008. – 96 с.

102. Сапин М.Р. Анатомия человека - базовая наука в медицинском образовании / М. Р. Сапин // Медицинское образование и профессиональное развитие : научно-практический журнал. - 2011. - № 2. - С. 96-97.

103. Свиначев М.Ю. Ультразвуковое исследование щитовидной железы в оценке тяжести йоддефицитных состояний (К вопросу о нормативах тиреоидного объема у детей) / М.Ю. Свиначев // Ультразвуковая диагностика. – 2000. – № 2. – С. 69-75.

104. Сенча А.Н. Возможности ультразвукового исследования с контрастным усилением в диагностике рака щитовидной железы / А.Н. Сенча, М.С. Могутов, Ю.Н. Патрунов, Э.И. Пеняева, А.В. Кашманова, Е.А. Сенча // Ультразвуковая и функциональная диагностика. – 2015. - № 6.-С.10-26.

105. Суханов С.Г. Возрастная морфология щитовидных желез у населения Архангельской и Магаданской областей России / С.Г. Суханов, А.Л. Горбачев // Современные проблемы клинической патоморфологии. – СПб., 2005. – С. 20.

106. Тесля Е. Ф. Скрининговое исследование щитовидной железы / Е.Ф. Тесля, О.А. Клименко, О.В. Завьялова // Медицина труда и промышленная экология. – 2003. – № 4. – С. 36-38.

107. Трошина Е.А. Йодиндуцированные заболевания щитовидной железы / Е.А. Трошина, Н.М. Платонова, Н.В. Молашенко, Ф.М. Абдулхабилова // Consilium medicum. - 2013. - № 15(4). – С. 67-69.

108. Удочкина Л.А. Структурные преобразования щитовидной железы в онтогенезе / Л.А. Удочкина // Материалы VIII конгресса Международной ассоциации морфологов, г. Орел, 15 сентября 2006 г., Морфология. – 2006. – Т. 129. – № 4. – С. 127.

109. Ультразвуковая диагностика заболеваний щитовидной железы / В.П. Харченко, П.М. Котляров, М.С. Могутов [и др.]. – М.: Видар, 2007. – 46 с.

110. Ультразвуковое измерение объема щитовидной железы у нормальных детей и подростков / Цыб А.Ф., В.С. Паршин, В.Ф. Горобец [и др.] // Педиатрия. – 1990. – № 5. – С. 51-55.

111. Факторы влияющие на изменение размеров щитовидной железы в норме / В.В. Мельников, С.П. Мельникова, Е.С. Субочеева [и др.] // Морфологические ведомости (приложение). – 2004. – № 1-2. – С. 65.

112. Фатеев И.Н. Количественные параметры щитовидной железы в возрастном аспекте по результатам ультразвукового сканирования / И.Н. Фатеев, И.П. Валюженич // VIII региональная конференция молодых ученых «Вопросы прикладной анатомии»: Материалы конференции – СПб., 2000. – С. 26-27.

113. Фатеев И.Н. Морфометрические параметры долек щитовидной железы человека / И.Н.Фатеев // Региональная научно-практическая конференция молодых ученых и специалистов: Материалы конференции – Оренбург, 2008. – С. 174-175.

114. Фатеев И.Н. Ультразвуковая биометрия щитовидной железы в зависимости от пола / И.Н.Фатеев // Материалы 55-й годичной научной конференции академии «Актуальные вопросы современной медицинской науки и здравоохранения»: Материалы конференции. – Екатеринбург, 2000. – С. 20.

115. Хмельницкий О.К. Морфометрическое исследование щитовидной железы / О.К. Хмельницкий, М.С. Третьякова – СПб, 1997. – 16 с.

116. Хмельницкий О.К. Щитовидная железа жителей Санкт-Петербурга в норме и при патологии / О.К. Хмельницкий // СПб.: Издательство МАПО, 2003. – 228 с.

117. Чаплыгина Е.В. Вариабельность показателей ультразвукового исследования щитовидной железы и индивидуально-типологическая характеристика обследуемого. Есть ли взаимосвязь? / Е.В. Чаплыгина, М.Б. Кучиева // Современ. проблемы науки и образования. – 2011. – № 4. – С. 18-21.

118. Чаплыгина Е.В. Конституциональные особенности объема щитовидной железы у представителей различных соматических типов / Е.В. Чаплыгина, Н.Ю. Неласов, О.А. Каплунова, М.Б. Кучиева, А.В. Морозова // Валеология. – 2011. – № 1. – С. 21-24.

119. Черных А.В. Вариантная анатомия щитовидной железы / А.В. Черных, Ю.А. Малеев, Н.М. Шмакова // Материалы VIII конгресса Международной ассоциации морфологов, г. Орел, 15 сентября 2006 г., Морфология. – 2006. – Т. 129. – № 4. – С. 135-136.

120. Черных А.В. Новые данные по типовой анатомии щитовидной железы / А.В. Черных. – Бюллетень Волгоградского научного центра РАМН. – 2006. – №2. – С. 32.

121. Чугу Т.В. Кореляційні зв'язки сонографічних параметрів щитоподібної залози з антропометричними і соматотипологічними показниками тіла практично здорових юнаків різних соматотипів / Т.В. Чугу // Biomedical and Biosocial anthropology. – 2009. – № 13. – С. 124-129.

122. Чугу Т.В. Математичне моделювання нормативних сонографічних параметрів щитоподібної залози в залежності від особливостей будови тіла юнаків і дівчат із мезоморфним соматотипом / Т.В. Чугу, М.В. Власенко, І.В. Руда // Вісник Вінницького національного медичного університету. – 2009. – Т. 13, № 2. – С. 413-418.

123. Чугу Т.В. Математичне моделювання нормативних сонографічних параметрів щитоподібної залози в залежності від особливостей будови тіла дівчат із ендоморфним соматотипом / Т.В. Чугу, І.В. Руда, М.О. Дмитрієв, О.І. Попова // Збірник матеріалів V з'їзду анатомів, гістологів, ембріологів і топографоанатомів України. – Вінниця: «Нілан ЛТД», 2010. – С. 130.

124. Чугу Т.В. Математичне моделювання нормативних сонографічних параметрів щитоподібної залози в залежності від особливостей будови тіла дівчат із ендо-мезоморфним соматотипом / Т.В. Чугу // Ендокринологія. – 2010. – Т. 15, № 2. – С. 352-353.

125. Чугу Т.В. Моделювання методом покрокового регресійного аналізу нормативних ультразвукових параметрів щитоподібної залози юнаків і дівчат ектоморфного соматотипу в залежності від особливостей будови тіла / Т.В. Чугу // Biomedical and Biosocial anthropology. – 2010. – № 14. – С. 36-41.

126. Adamova I.G. Morphological characteristics of various thyroid pathologies in the population living in a technogenically polluted area / I.G. Adamova, A.N. Chumachenko // Arkh. Patol. – 2007. – V. 69, № 2. – P. 24-28.

127. American precision medicine comes to thyroidology / P.V. Ladenson, // The Journal of Clinical Endocrinology & Metabolism. – 2016. - № 101(3). – P. 799-803.

128. An abdominal and thyroid status with Acoustic Radiation Force Impulse Elastometry—a feasibility study: Acoustic Radiation Force Impulse Elastometry of human organs / M.F. Neurath, R.S. Goertz, K. Amann [et al.] // Eur. J Radiol. – 2011. –№ 80. – P. 226-230.

129. A prospective validation of the ultrasound based TIRADS (Thyroid Imaging Reporting and Data System) classification: results in surgically resected thyroid nodules / E. Horvath, S. Majlis, CF Silva, I Rodrigues [et al.] // *European Radiology*. – 2016. - № 10. – P. 1-10.

130. Aydin I. Morphologic and functional alterations of the thyroid gland / I. Aydin, L. Asian, M. Bahceci // *Horm. Metab. Res.* – 2005. – № 8. – P. 323-325.

131. Azizi F. Natural course of thyroid disease profile in a population in nutrition transition: Tehran thyroid study / F. Azizi, A. Amouzegar, H. Delshad, M. Tohidi, L. Mehran, Y. Mehrabi // *Archives of Iranian Medicine/* - 2013. - № 7. – P. 418-423.

132. Balgir R.S. Morphological and regional variations in body dimensions of the Gujjars of different localities in north-western India / R.S. Balgir // *Anthropol. Anz.* – 2003. – V. 61, № 3. – P. 275-285.

133. Baloch Z. American Thyroid Association Statement on Surgical Application of Molecular Profiling for Thyroid Nodules: Current Impact on Perioperative Decision Making / L. Ferris, Z. Baloch, V. Bernet // *Thyroid*. – 2015. - V.8. – № 7. – P. 760-768.

134. Barrere X. Determinants of thyroid volume in healthy French adults participating in the SU.VI.MAX cohort / X. Barrere // *Clin. Endocrinol. (Oxf)*.. – 2000. – Mar. 52(3). – P. 273-278.

135. Bassett J.H. Role of thyroid hormones in skeletal development and bone maintenance / J.H. Bassett, G. Williams // *Endocrine reviews*. – 2016. - № 37(2). – P.135-187.

136. Benign Solid Thyroid Nodules: US-guided High-Intensity Focused Ultrasound Ablation-Initial Clinical Outcomes / R.D. Kovatcheva, J.D. Vlahov, J.I. Stoinov, K. Zaletel // *Radiology*. – 2015. – № 276. – P. 597-605.

137. Boelaert K. Subclinical thyroid disease: where is the evidence? / K. Boelaert, J.A. Franklyn // *Lancet Diabetes Endocrinol.* – 2013. - V. 1.- № 3. – P. 172-173.



138. Boyanov M.A. Determinants of thyroid volume in schoolchildren: fat-free mass versus body fat mass- a cross-sectional study / M.A. Boyanov, N.L. Temelkova, P.P Popivanov // *Endocr. Pract.* – 2004. – V. 10, № 5. – P. 409-416.
139. Carter J.L. Somatotyping – development and applications / J.L. Carter, B.H. Heath. – Cambridge University Press, 1990. – 504 p.
140. Chaudhary V. Imaging of the thyroid: Recent advances / V. Chaudhary, S. Bano // *J Indian Endocrinol Metab.* – 2012. – № 16. – P. 371-376.
141. Genetic and environmental causes of individual differences in thyroid size: a study of healthy Danish twins (I) / P.S. Hansen, T.H. Brix, F.N. Bennedbach [et al.] // *J. Clin. Endocrin. Metab.* – 2004. – V. 89, № 5. – P. 2071-2077.
142. Correlation between age, body size and thyroid volume in an endemic area / S. Semiz, U. Senol, S. Gumuslu [et al.] // *J. Endocrinol. Invest.* – 2001. – V. 24, № 8. – P. 559-563.
143. Demers L.M. NACB: Laboratory Support for the Diagnosis and Monitoring of Thyroid Disease / L.M.Demers, C.A. Spencer. – 2002. – 143 p.
144. Determinants of thyroid volume as measured by ultrasonography in healthy adult randomly selected / J.M. Gomez, F.J. Maravall, N. Gomez [et al.] // *Clin. Endocrinol.* – 2010. – V. 53, № 5. – P. 629-634.
145. Determinants of thyroid volume as measured by ultrasonography in healthy adults in non iodine deficient area / A. Berghout, W.M. Wiersinga, N.J. Smith, J.L.Touber // *Clin. Endocrinol. (Oxf).* – 1987. – V. 26. – P. 273-280.
146. Coquia S.F. The role of sonography in thyroid cancer / S.F. Coquia, L.C. Chu, U.M. Hamper // *Radiol. Clin. North Am.* – 2014. – № 52 (6). – P. 1283-1294.
147. Correlation between age, body size and thyroid volume in an endemic area / S. Semiz, U. Senol, S. Gumuslu [et al.] // *J. Endocrinol. Invest.* – 2001. – V. 24, № 8. – P. 559-563.

148. Evaluation of using ultrasound criteria: a survey in a middle schoolchildren population of a mountain area in Central Italy / C. Mario, M. Martinelli, G. Monacelli [et al.] // *J. Endocrinol. Invest.* – 2006. – V. 29, № 10. – P. 869-875.

149. Farenc I. The influence of gender and body characteristics on upright stance / I. Farenc, P. Rougier, L. Berger // *Ann. Hum. Biol.* – 2003. – V. 30, № 3. – P. 279-294.

150. Frequent screening with serial neck ultrasound is more likely to identify false-positive abnormalities than clinically significant disease in the surveillance of intermediate risk papillary thyroid cancer patients without suspicious findings on follow-up ultrasound evaluation / S. Peiling Yang, A.M. Bach, R.M. Tuttle, S.A. Fish // *J Clin Endocrinol Metab.* – 2015. – № 100 (4). – P. 1561-1567.

151. Genetic and environmental causes of individual differences in thyroid size: a study of healthy Danish twins (II) / P.S. Hansen, T.H. Brix, F.N. Billedbaek [et al.] // *J Clin Endocrinol Metab.* – 2004. – № 89 (5). – P. 2098-3000.

152. German C.A. Thyroid imaging techniques / C.A. German // *Pathophysiology of thyroid disease.* – 2003. – № 3. – P. 711-724.

153. Ghervan C. Thyroid and parathyroid ultrasound / C. Ghervan // *Med Ultrason.* – 2011. – № 13. – P. 80-84.

154. Gutekunst R. Requirements for goiter surveys and the determination of thyroid size / R. Gutekunst, H. MartinnTeichert // *In: Iodine Deficiency in Europe. A Continuing Concern.* – New York. – 1993. – P. 109-118.

155. Hegedus L. Thyroid size determined by ultrasound / L. Hegedus // *Danish Med. Bull.* – 1990. – V. 36. – P. 249-253.

156. Hypoechoic "triangle": a new sonographic sign or marker of advanced autoimmune thyroiditis / F.M. Solivetti, E. Papini, I. Misischi [et al.] // *Thyroid.* – 2011. – № 21. – P. 285-289.

157. Increased thyroid volume and frequency thyroid disorders signs in schoolchildren from nitrate polluted area / M. Tajtakova, Z. Semanova, Z. Tomkova [et al.] // *Chemosphere*. – 2006. – V. 62, № 4. – P. 559-564.
158. Iodine intake in Germany. Result of iodine monitoring in the German Health Interview and Examination Survey for Children and Adolescent (KIGGS) / M. Thamm, U. Ellert, W. Thierfelder [et al.] // *Bundesgesundheitsblatt Gesundheitsforschung Gesundheitsschult.* – 2007. – V. 50, № 5-6. – P. 744-749.
159. Ivarsson S.A. Thyroid gland volume as measured by ultrasonography in healthy children and adolescents in a noniodine deficient area / S.A. Ivarsson, Persson P.H., U. Ericsson // *Acta Paed. Scand.* – 1989. – V. 78. – P. 633-634.
160. Location and morphometry of the thyroid isthmus in adult Korean cadavers / H.S. Won, S.H. Han, C.S. Oh [et al.] // *Anat Sci Int.* – 2013. – № 88(4). – P. 212-216.
161. Loevner L.A. Imaging of the thyroid gland / L.A. Loevner // *Semin. Ultrasound. CT MR.* – 2004. – № 6. – P. 539-562.
162. Lucas K.J. Use of thyroid ultrasound volume in calculating radioactive iodine dose in hyperthyroidism // *Thyroid*. – 2000. – V. 10, № 2. – P. 151-155.
163. Mann B. Thyroid morphology and function / B. Mann, P. Schmale, W. Stremmel // *Exp. Clin. Endocrinol. Diabetes.* – 2003. – № 3. – P. 271-277.
164. Matiegka J. The testing of physical efficiency / J. Matiegka // *Amer. J. Phys. Antropol.* – 1921. – V. 2, № 3. – P. 25-38.
165. Mirk P. Diagnostic imaging of the thyroid: methodology and normal patterns / P. Mirk // *Rays*. – 1999. – V. 24(2). – P. 215-28.
166. Pullen R. Size and structure of the thyroid in old age / R. Pullen, G. Hintze // *J. Am. Geriatr. Soc.* – 2003. – № 12. – P. 1539 p.
167. Peeters E.Y. Use of a curve S-array transducer to reduce interobserver variation in sonographic measurement of thyroid volume in healthy adults / E.Y.

Peeters, W. M. Shabana, P.A. Verbeek [et al.] // J.Clin. Ultrasound. – 2008. – Vol. 31, № 4. – P. 189-193.

168. Preoperative ultrasound-guided tattooing localization of recurrences after thyroidectomy: safety and effectiveness / T.W. Kang, J.H. Shin, B.K. Han [et al.] // Ann Surg Oncol. – 2009. – № 16. – 1655-1659.

169. Radiologic and pathologic findings of nonpalpable thyroid carcinomas detected by ultrasonography in a medical screening center / J.Y. Kim, C.H. Lee, S.Y. Kim [et al.] // J Ultrasound Med. – 2008. – № 27. – P. 215.

170. Rasmussen S.N. Determination of thyroid volume by ultrasonic scanning / S.N. Rasmussen, L. Hjorth // J. Clin. Ultrasound. – 1974. – V. 2. – P. 143-147.

171. Real-time ultrasound elastography in the differential diagnosis of benign and malignant thyroid nodules / Y. Hong, X. Liu, Z. Li [et al.] // J Ultrasound Med. – 2009. – № 28. – P. 861-867.

172. Recurrences of thyroid well differentiated cancer: ultrasonography-guided surgical treatment / R. Lucchini, E. Puxeddu, F.N. Calzolari [et al.] // Minerva Chir. – 2008. – № 63. – P. 257.

173. Revised American Thyroid Association management guidelines for patients with thyroid nodules and differentiated thyroid cancer / D.S. Cooper, G.M. Doherty, B.R. Haugen [et al.] // Thyroid. – 2009. – № 19. – P. 1167-1214.

174. Role of ultrasound elastography in prediction of malignancy in thyroid nodules / M. Mansor, H. Okasha, S. Esmat [et al.] // Endocr Res.. – 2012. – № 37. – P. 66-67.

175. Ruchała M. Thyroid ultrasound-a piece of cake? / M. Ruchała, E. Szczepanek // Endokrynol Pol.. – 2010. – № 61. – P. 330-344.

176. Seabra Jose C.R. A Biometric Identification System based on Thyroid Tissue Echo-morphology / Jose C. R. Seabra, L. N. Ana Fred // Proceedings of Biosignals. – 2009. – № 15 (1). – P.186-193.

177. Shephard Roy J. Body composition in biological anthropology / Roy J. Shephard. – Cambridge, 1991. – 340 p.
178. Sheth S. Role of sonography after total thyroidectomy for thyroid cancer / S. Sheth, U.M. Hamper // *Ultrasound*. – 2008. – № 24. – P. 147-154.
179. Sonographic differentiation of asymptomatic diffuse thyroid disease from normal thyroid: a prospective study / Kim D.W., Eun C.K., In H.S. [et al.] // *AJNR Am J Neuroradiol.* – 2010. – № 31 (10). – P. 1956-1960.
180. Sung J.Y. Thyroid ultrasonography: the evolving role of the radiologist / J.Y. Sung // *Ultrasonography*. – 2015. – № 27. – P. 174-175.
181. The thyroid ultrasound (US) and US-assisted procedures: from the shadows into an array of applications / Enrico Papini, Laszlo Hegedus // *European Journal of Endocrinology*. – 2014. – № 170. – P. 133-146.
182. The relation between preoperative ultrasonographic thyroid volume analysis and thyroidectomy complications / M. Karabeyoglu, B. Unal, A. Dirican [et al.] // *Endocr Regul.* – 2009. – № 43(2). – P. 83-87.
183. The relationship between thyroid volume and malignant thyroid disease / A.O. Duran, C. Anil, A. Gursoy [et al.] // *Med Oncol.* – 2014. – № 31 (1). – P. 814.
184. The use of three-dimensional ultrasound for thyroid volumetry / S. Schlogi, E. Werner, M. Lassmann [et al.] // *Thyroid*. – 2001. – V. 11, № 6. P. – 569-574.
185. The usefulness of sonographic features in selection of thyroid nodules for biopsy in relation to the nodule's size / B. Popowicz, M. Klencki, A. Lewinski, D. Slowinska-Klencka // *Eur J Endocrinol.* – 2009. – № 161. – P. 103-111.
186. The 2015 European Thyroid Association guidelines on diagnosis and treatment of endogenous subclinical hyperthyroidism / D.S Cooper, B. Biondi, Bartalena L, Hegedüs L., Laurberg P., Kahaly G.J // *European Thyroid Journal*. – 2015. - № 3. – P. 149-163.

187. Thyroid nodule classification using ultrasound elastography via linear discriminant analysis / S. Luo, E.H. Kim, M. Dighe, Y. Kim // *Ultrasonics*. – 2011. – № 51. – P. 425-431.

188. Thyroid Segmentation and Volume Estimation in Ultrasound Images / Y. Chuan, Yue-Fong Lei Chang, T. Chin-Hsiao, S. Shyang Rong // *IEEE Trans. on biomedical engineering*. – 2010. – V. 57, № 6. – P. 137-144.

189. Thyroid ultrasonography as a tool for detecting thyroid autoimmune diseases and predicting thyroid dysfunction in apparently healthy subjects / T. Rago, L. Chiovato, L. Grasso [et al.] // *J. Endocrinol Invest*. – 2001. – V. 24. – P. 763-814.

190. Thyroid ultrasound features and risk of carcinoma: a systematic review and meta-analysis of observational studies / L.R. Remonti, C.K. Kramer, C.B. Leitão [et al.] // *Thyroid*. – 2015. – № 25. – P. 538-550.

191. Thyroid volume and urinary iodine in European schoolchildren: standardization of values for assessment of iodine deficiency / F. Delange, G. Benker, Ph. Caron [et al.] // *Eur. J. Endocrinol*. – 1997. – V. 136. – P. 180-187.

192. Thyroid volume and echostructure in schoolchildren living in an iodine-replete area: relation to age, pubertal stage, and body mass index / I. Kaloumenou, M. Alevizaki, C. Ladopoulos [et al.] // *Thyroid* . – 2007. – V. 17, № 9. – P. 875-881.

193. The diagnostic role of ultrasound and elastosonography in nodular goiter / P. Vitti, T. Rago // *Clinical endocrinology and metabolism*. – 2014. - V. 28, № 4. – P. 519-529.

194. Ueda D. Normal volume of the thyroid gland in children / D. Ueda // *J. Clin.Ultrasound*. – 1990. – V. 18. – P. 455-462.

195. Ultrasonographic measurement of the thyroid volume / G. Ivanac, B. Rozman, F. Skreb [et al.] // *Coll. Antropol*. – 2004. – V. 28, № 1. – P. 287-291.

196. Iodine deficiency and thyroid disorders / M.B. Zimmermann, K. Boelaert // *Endocrinology*. – 2015. – V. 3. № 4. – P. 286-295.

197. Using ultrasonography to determine thyroid size and prevalence of goiter in lithium-treated patients with affective disorders / M. Bauer, H. Blumentritt, R. Finke [et al.] // *J Affect Disord.* – 2007. – № 104. – P. 45.
198. Volumetric analysis of thyroid lobes by realtime ultrasound / J. Brunn, U. Block, G. Ruf [et al.] // *Deutsch. Med. Waschr.* – 1981. – V. 106. – P. 1338-1340.
199. Vokurka J. Surgery of the thyroid gland / J. Vokurka, S. Jarlbkova, J. Ruzicka // *Acta. Medica. Hradec. Kralove.* – 2006. – № 4. – P. 71-74.
200. Weight and volume of whole thyroid gland in Bangladeshi people: a postmortem study / A.H.B. Fakhrul, S. Zakia, K. Mansur // *Bangladesh J Anat.* – 2010. – № 8. – P. 72-75.
201. Wesche M.F. Lean body mass as a determinant of thyroid size / M.F. Wesche, W.M. Wiersing, N.J. Smits // *Clin. Endocrinol. (Oxf.)*. – 1998. – V. 48, № 6. – P. 701-706.
202. Winger J.M. Age-associated changes in the endocrine system / J.M. Winger, T. Hornick // *NUTS. Clin. North. Am.* – 2005. – № 4. – P. 827-844.
203. Yamakawa K. Application of ultrasonography for the disease of the thyroid / K. Yamakawa, S. Naito // *Proceedings of the first international conference on diagnostic ultrasound, Universty of Pittsburgh.* – NewYork: Plenum Press, 1966. – 44 p.
204. Ying M. Asymmetry of thyroid lobe volume in normal Chinese subjects: association with handedness and position of esophagus / M. Ying, D.M. Yung // *Anat Rec (Hoboken)*. – 2009. – № 292 (2). – P. 169-174.
205. Zhongguo yuce xuebao / Hu Feng-Nan, Guan Wel-ping, Jin Ying [et al.] // *J.China. Med. Univ.* – 2003. – V. 32, № 4. – P. 324-326.
206. Zimmerman M.B. Iodine deficiency and thyroid disorders / M.B. Zimmerman, K. Boelaert // *Lancet Diabetes Endocrinology.* – 2015. – V. 3. - № 4. – P. 286-295.

## Додаток А

Сонографічні параметри щитоподібної залози у здорових міських чоловіків та жінок Поділля загальних та різних вікових груп.

Таблиця А.1

**Лінійні розміри щитоподібної залози у здорових міських чоловіків та жінок Поділля різного віку.**

Розміри	Групи	Чоловіки		Жінки		p
		M±σ	Confid. -95% +95% 25-75 percntnl	M±σ	Confid. -95% +95% 25-75 percntnl	
1	2	3	4	5	6	7
Ширина правої частки ЩЗ (мм)	Загальна	17,38± 2,36	16,95 – 17,80	16,37± 2,13	15,96 – 16,78	<b>&lt;0,001</b>
	22 (21) – 25 років	16,97± 2,51	15,01 – 18,60	16,23± 2,12	14,70 – 17,50	>0,05
	25-36 ро- ків	17,95± 2,00	16,50 – 19,20	16,52± 2,16	14,80 – 17,70	<b>&lt;0,001</b>
	p <sub>1-2</sub>	>0,05		>0,05		
	p <sub>1-3</sub>	>0,05		>0,05		
	p <sub>2-3</sub>	<b>&lt;0,05</b>		>0,05		
Ширина лівої частки ЩЗ (мм)	Загальна	16,60± 2,49	16,15 – 17,05	16,00± 2,17	15,59 – 16,42	<b>=0,057</b>
	22 (21) – 25 років	16,10± 2,54	14,10 – 17,70	15,65± 2,08	14,10 – 17,40	>0,05
	25-36 ро- ків	17,31± 2,25	15,40 – 18,60	16,37± 2,22	15,00 – 17,80	<b>&lt;0,05</b>
	p <sub>1-2</sub>	>0,05		>0,05		
	p <sub>1-3</sub>	>0,05		>0,05		
	p <sub>2-3</sub>	<b>&lt;0,05</b>		<b>&lt;0,05</b>		
Довжи- на пра-	Загальна	50,27± 4,74	49,41 – 51,13	47,20± 2,13	46,51 – 47,89	<b>&lt;0,001</b>



вої частки ЦЗ (мм)	22 (21) – 25 років	49,98± 4,77	47,10 – 51,90	47,25± 2,78	45,00 – 48,70	<b>&lt;0,001</b>
	25-36 років	50,68± 4,70	48,40 – 53,00	47,15± 4,39	45,10 – 48,90	<b>&lt;0,001</b>

Продовження табл. А.1

1	2	3	4	5	6	7
	p <sub>1-2</sub>	>0,05		>0,05		
	p <sub>1-3</sub>	>0,05		>0,05		
	p <sub>2-3</sub>	>0,05		>0,05		
Довжина лівої частки ЦЗ (мм)	Загальна	48,38± 4,84	47,50 – 49,26	46,13± 3,81	45,40 – 46,86	<b>&lt;0,001</b>
	22 (21) – 25 років	48,02± 4,85	45,10 – 50,10	46,23± 3,25	44,00 – 48,60	<b>&lt;0,01</b>
	25-36 років	48,89± 4,84	46,00 – 51,00	46,03± 4,35	44,80 – 49,00	<b>&lt;0,01</b>
	p <sub>1-2</sub>	>0,05		>0,05		
	p <sub>1-3</sub>	>0,05		>0,05		
	p <sub>2-3</sub>	>0,05		>0,05		
Товщина правої частки ЦЗ (мм)	Загальна	17,50± 2,24	17,09 – 17,91	16,49± 2,03	16,10 – 16,87	<b>&lt;0,001</b>
	22 (21) – 25 років	17,16± 2,19	15,70 – 18,90	16,06± 1,79	14,50 – 17,70	<b>&lt;0,01</b>
	25-36 років	17,98± 2,25	16,60 – 19,00	16,92± 2,18	15,40 – 18,00	<b>&lt;0,01</b>
	p <sub>1-2</sub>	>0,05		>0,05		
	p <sub>1-3</sub>	>0,05		>0,05		
	p <sub>2-3</sub>	<b>=0,055</b>		<b>&lt;0,05</b>		
Товщина лівої частки ЦЗ (мм)	Загальна	16,32± 2,40	15,88 – 16,75	15,46± 2,03	15,07 – 15,84	<b>&lt;0,01</b>
	22 (21) – 25 років	15,91± 2,18	14,70 – 17,40	15,04± 1,86	13,60 – 16,20	<b>&lt;0,05</b>
	25-36 років	16,88± 2,59	15,00 – 18,90	15,89± 2,12	14,40 – 17,40	<b>=0,067</b>
	p <sub>1-2</sub>	>0,05		>0,05		
	p <sub>1-3</sub>	>0,05		>0,05		
	p <sub>2-3</sub>	<b>=0,061</b>		<b>&lt;0,05</b>		
Товщина переший-	Загальна	3,621± 0,813	3,472 – 3,769	3,381± 3,37	3,236 – 3,527	<b>&lt;0,05</b>
	22 (21) –	3,512±	3,00 – 3,90	3,332±	3,00 – 3,80	>0,05

ка ЩЗ (мм)	25 років	0,770		0,707		
	25-36 років	3,777± 0,855	3,25 – 4,20	3,435± 0,781	3,00 – 4,00	<b>&lt;0,05</b>

Продовження табл. А.1

1	2	3	4	5	6	7
	p <sub>1-2</sub>	>0,05		>0,05		
	p <sub>1-3</sub>	>0,05		>0,05		
	p <sub>2-3</sub>	<b>=0,069</b>		>0,05		

**Примітки:** тут і в подальшому

1. ЩЗ – щитоподібна залоза;
2.  $M \pm \sigma$  – арифметична середня  $\pm$  стандартне квадратичне відхилення;
3. Confid. -95,0 % +95,0 % – межі довірчих інтервалів вибірки (для загальних груп);
4. 25-75 percentl – процентильний розмах вибірки;
5. p – достовірність відмінностей між загальними, або відповідними віковими групами чоловіків і жінок;
6. p<sub>1-2</sub> – достовірність відмінностей між чоловіками або жінками загальної групи та 22 (21) – 25 років;
7. p<sub>1-3</sub> – достовірність відмінностей між чоловіками або жінками загальної групи та 25 – 36 років;
8. p<sub>2-3</sub> – достовірність відмінностей між чоловіками або жінками 22 (21) – 25 та 25 – 36 років.

Таблиця А.2

**Об'ємні і площинні показники щитоподібної залози у здорових міських чоловіків та жінок Поділля різного віку.**

Розміри	Групи	Чоловіки		Жінки		p
		$M \pm \sigma$	Confid. -95 + 95/ 25-75 percentl	$M \pm \sigma$	Confid. -95 + 95/ 25-75 percentl	
Об'єм правої частки щитопо- дібної	Загальна	8,098± 2,373	7,664 – 8,533	6,724± 1,769	6,739 – 7,068	<b>&lt;0,001</b>
	22 (21) – 25 років	7,751± 2,317	6,15 – 8,83	6,492± 1,489	5,20 – 7,34	<b>&lt;0,01</b>
	25-36	8,598±	6,775 – 9,665	6,964±	5,63 – 8,10	<b>&lt;0,001</b>

залози (см <sup>3</sup> )	років	2,388		2,007		
	p <sub>1-2</sub>	>0,05		>0,05		
	p <sub>1-3</sub>	>0,05		>0,05		
	p <sub>2-3</sub>	= <b>0,068</b>		>0,05		

Продовження табл. А.2

Об'єм лівої ча- стки щитопо- дібної залози (см <sup>3</sup> )	Загальна	6,991± 2,412	6,549 – 7,433	6,057± 1,611	5,743 – 6,370	< <b>0,001</b>
	22 (21) – 25 років	6,513± 2,239	4,96 – 7,66	5,808± 1,477	4,760 – 6,690	= <b>0,058</b>
	25-36 років	7,678± 2,507	5,745 – 9,49	6,316± 1,716	4,86 – 7,07	< <b>0,01</b>
	p <sub>1-2</sub>	>0,05		>0,05		
	p <sub>1-3</sub>	>0,05		>0,05		
	p <sub>2-3</sub>	< <b>0,05</b>		= <b>0,068</b>		
	Загаль- ний об'єм щитопо- дібної залози (см <sup>3</sup> )	Загальна	15,17± 4,63	14,31 – 16,02	12,83± 3,21	12,20 – 13,45
22 (21) – 25 років		14,38± 4,44	11,59 – 16,70	12,31± 2,84	10,22 – 14,01	< <b>0,01</b>
25-36 років		16,28± 4,71	12,94 – 4,71	13,36± 3,51	10,78 – 15,24	< <b>0,01</b>
p <sub>1-2</sub>		>0,05		>0,05		
p <sub>1-3</sub>		>0,05		>0,05		
p <sub>2-3</sub>		< <b>0,05</b>		>0,05		
Площа правої ча- стки щитопо- дібної залози (см <sup>2</sup> )		Загальна	675,0± 124,0	650,9 – 699,1	586,5± 89,5	565,6 – 607,3
	22 (21) – 25 років	659,5± 118,7	569,0 – 734,0	576,3 ±90,0	501,0 – 649,0	< <b>0,001</b>
	25-36 років	703,2± 130,0	590,0 – 797,0	603,9 ±87,6	553,0 – 665,0	< <b>0,01</b>
	p <sub>1-2</sub>	>0,05		>0,05		
	p <sub>1-3</sub>	>0,05		>0,05		
	p <sub>2-3</sub>	>0,05		>0,05		
	Площа лівої ча- стки щитопо- дібної залози	Загальна	588,5± 134,4	562,1 – 614,9	543,3 ±92,6	521,7 – 564,9
22 (21) – 25 років		577,3± 135,2	507,0 – 648,0	534,7 ±97,2	469 – 629	= <b>0,060</b>
25-36 років		609,2± 132,3	511,0 – 715,0	558,0 ±83,90	514,0 – 601,0	>0,05

(см <sup>2</sup> )	p <sub>1-2</sub>	>0,05		>0,05		
	p <sub>1-3</sub>	>0,05		>0,05		
	p <sub>2-3</sub>	>0,05		>0,05		

## Продовження табл. А.2

Загальна площа щитопо- дібної залози (см <sup>2</sup> )	Загальна	1261± 243	1213 – 1309	1130 ±171	1090 – 1170	<b>&lt;0,001</b>
	22 (21) – 25 років	1237± 242	1080 – 1732	1111 ±177	964 – 1238	<b>&lt;0,01</b>
	25-36 років	1305± 243	1131 – 1503	1162 ±156	1059 – 1256	<b>&lt;0,05</b>
	p <sub>1-2</sub>	>0,05		>0,05		
	p <sub>1-3</sub>	>0,05		>0,05		
	p <sub>2-3</sub>	>0,05		>0,05		
Щіль- ність правої частки щитопо- дібної залози (дБ)	Загальна	17,92± 3,03	17,37 – 18,47	16,67 ±3,26	16,03 – 17,31	<b>&lt;0,01</b>
	22 (21) – 25 років	18,03± 2,83	15,60 – 19,90	16,53 ±3,32	14,60 – 18,80	<b>&lt;0,05</b>
	25-36 років	17,76± 3,26	15,35 – 20,20	16,82 ±3,22	15,00 – 19,20	>0,05
	p <sub>1-2</sub>	>0,05		>0,05		
	p <sub>1-3</sub>	>0,05		>0,05		
	p <sub>2-3</sub>	>0,05		>0,05		
Щіль- ність лі- вої част- ки щитопо- дібної зало- зи (дБ)	Загальна	18,19± 3,03	17,64 – 18,74	16,81 ±3,37	16,15 – 17,47	<b>&lt;0,01</b>
	22 (21) – 25 років	18,29± 2,83	16,20 – 20,20	16,69 ±3,63	14,60 – 18,80	<b>&lt;0,05</b>
	25-36 років	18,04± 3,32	15,50 – 20,30	16,94 ±3,10	15,30 – 19,10	>0,05
	p <sub>1-2</sub>	>0,05		>0,05		
	p <sub>1-3</sub>	>0,05		>0,05		
	p <sub>2-3</sub>	>0,05		>0,05		

## Додаток Б

Сонографічні параметри щитоподібної залози у здорових міських чоловіків та жінок Поділля різних соматотипів.

Таблиця Б.1

**Процентильний розмах (25-75 percentile) лінійних розмірів щитоподібної залози у здорових міських чоловіків Поділля різних соматотипів.**

Розміри	Групи	Мезоморфи	Екто-мезо-	Ендо-мезо-
1	2	3	4	5
Ширина правої частки ЩЗ (мм)	Загальна з урахув. соматотипу	16,0 – 19,0	15,0 – 18,4	14,9 – 18,9
	22 – 25 років з урах. соматотипу	16,0 – 18,8	14,9 – 18,2	14,9 – 18,5
	26-35 років з урах. соматотипу	16,3 – 19,0	16,5 – 20,2	–
Ширина лівої частки ЩЗ (мм)	Загальна з урахув. соматотипу	15,6 – 18,9	15,0 – 18,0	13,8 – 18,6
	22 – 25 років з урах. соматотипу	15,1 – 18,0	14,1 – 17,6	13,8 – 18,2
	26-35 років з урах. соматотипу	16,0 – 19,2	15,2 – 18,5	–
Довжина правої частки ЩЗ (мм)	Загальна з урахув. соматотипу	46,7 – 52,5	48,0 – 53,5	48,4 – 51,6
	22 – 25 років з урах. соматотипу	47,0 – 52,0	47,3 – 51,6	48,3 – 51,3
	26-35 років з урах. соматотипу	46,2 – 53,0	49,5 – 57,0	–
Довжина лівої частки ЩЗ (мм)	Загальна з урахув. соматотипу	45,4 – 50,5	46,4 – 51,0	46,6 – 50,1
	22 – 25 років з урах. соматотипу	45,0 – 50,0	46,9 – 50,6	45,8 – 50,5
	26-35 років з урах. соматотипу	46,0 – 51,0	44,3 – 55,5	–
Товщина правої частки ЩЗ (мм)	Загальна з урахув. соматотипу	16,1 – 19,4	15,7 – 19,0	15,9 – 19,0
	22 – 25 років з урах. соматотипу	16,0 – 19,0	15,7 – 18,9	15,9 – 18,8
	26-35 років з урах. соматотипу	16,5 – 20,1	17,5 – 19,4	–

Продовження табл. Б.1

1	2	3	4	5
Товщина лівої част- ки ЩЗ (мм)	Загальна з урахув. соматотипу	15,0 – 18,4	14,7 – 18,0	15,0 – 17,7
	22 – 25 років з урах. соматотипу	15,0 – 17,6	15,3 – 17,9	14,9 – 17,5
	26-35 років з урах. соматотипу	15,8 – 20,3	14,0 – 18,5	–
Товщина перешийка ЩЗ (мм)	Загальна з урахув. соматотипу	3,0 – 4,2	3,0 – 4,0	3,0 – 3,8
	22 – 25 років з урах. соматотипу	3,2 – 4,2	3,0 – 4,3	2,9 – 3,6
	26-35 років з урах. соматотипу	3,0 – 4,3	3,2 – 3,9	–

Таблиця Б.2

**Відмінності лінійних розмірів щитоподібної залози у здорових міських  
чоловіків Поділля різних соматотипів ( $M \pm \sigma$ ).**

Розміри	Групи	Мезо-	Екто- мезо-	Ендо- мезо-	p <sub>3-4</sub>	p <sub>3-5</sub>	p <sub>4-5</sub>
1	2	3	4	5	6	7	8
Ширина правої част- тки ЩЗ (мм)	Загальна без урах. соматотипу	17,38±2,36					
	Загальна з урах. соматотипу	17,73± 2,33	16,97± 2,33	17,02± 2,56	>0,05	>0,05	>0,05
	22 – 25 років з урах. соматотипу	17,43± 2,47	16,49± 2,30	16,70± 2,61	>0,05	>0,05	>0,05
	26 – 35 років з урах. соматотипу	18,01± 2,20	17,85± 2,25	–	>0,05	–	
	p <sub>0-1</sub>	>0,05	>0,05	>0,05			
	p <sub>0-2</sub>	>0,05	>0,05	>0,05			
	p <sub>0-3</sub>	>0,05	>0,05	–			
	p <sub>1-2</sub>	>0,05	>0,05	>0,05			
	p <sub>1-3</sub>	>0,05	>0,05	–			
	p <sub>2-3</sub>	>0,05	>0,05	–			
Ширина лівої част- тки ЩЗ (мм)	Загальна без урах. соматотипу	16,60±2,49					
	Загальна з урах. соматотипу	17,12± 2,49	16,28± 2,40	16,38± 2,65	>0,05	>0,05	>0,05
	22 – 25 років з урах. соматотипу	16,48± 2,47	15,92± 2,48	16,06± 2,69	>0,05	>0,05	>0,05
	26 – 35 років з урах. соматотипу	17,72± 2,40	16,90± 2,29	–	>0,05	–	

Продовження табл. Б.2

1	2	3	4	5	6	7	8
Ширина лівої част- ки ЩЗ (мм)	p <sub>0-1</sub>	>0,05	>0,05	>0,05			
	p <sub>0-2</sub>	>0,05	>0,05	>0,05			
	p <sub>0-3</sub>	<b>&lt;0,05</b>	>0,05	–			
	p <sub>1-2</sub>	>0,05	>0,05	>0,05			
	p <sub>1-3</sub>	>0,05	>0,05	–			
	p <sub>2-3</sub>	>0,05	>0,05	–			
Довжина правої ча- стки ЩЗ (мм)	Загальна без урах. соматотипу	50,27±4,74					
	Загальна з урах. соматотипу	50,03± 4,49	51,59± 5,60	50,77± 4,49	>0,05	>0,05	>0,05
	22 – 25 років з урах. соматотипу	49,31± 3,89	50,59± 6,04	50,93± 4,85	>0,05	>0,05	>0,05
	26 – 35 років з урах. соматотипу	50,71± 4,96	53,46± 4,40	–	>0,05	–	
	p <sub>0-1</sub>	>0,05	>0,05	>0,05			
	p <sub>0-2</sub>	>0,05	>0,05	>0,05			
	p <sub>0-3</sub>	>0,05	<b>&lt;0,05</b>	–			
	p <sub>1-2</sub>	>0,05	>0,05	>0,05			
	p <sub>1-3</sub>	>0,05	>0,05	–			
	p <sub>2-3</sub>	>0,05	<b>=0,066</b>	–			
Довжина лівої част- ки ЩЗ (мм)	Загальна без урах. соматотипу	48,38±4,84					
	Загальна з урах. соматотипу	48,43± 4,33	49,31± 5,93	48,35± 5,41	>0,05	>0,05	>0,05
	22 – 25 років з урах. соматотипу	47,53± 3,79	49,55± 4,83	48,35± 5,92	>0,05	>0,05	>0,05
	26 – 35 років з урах. соматотипу	49,27± 4,68	48,90± 7,87	–	>0,05	–	
	p <sub>0-1</sub>	>0,05	>0,05	>0,05			
	p <sub>0-2</sub>	>0,05	>0,05	>0,05			
	p <sub>0-3</sub>	>0,05	>0,05	–			
	p <sub>1-2</sub>	>0,05	>0,05	>0,05			
	p <sub>1-3</sub>	>0,05	>0,05	–			
	p <sub>2-3</sub>	>0,05	>0,05	–			
Товщина правої ча- стки ЩЗ (мм)	Загальна без урах. соматотипу	17,50±2,24					
	Загальна з урах. соматотипу	17,98± 2,38	17,41± 2,18	17,29± 1,78	>0,05	>0,05	>0,05
	22 – 25 років з урах. соматотипу	17,59± 2,15	16,98± 2,27	17,09± 1,86	>0,05	>0,05	>0,05
	26 – 35 років з урах. соматотипу	18,34± 2,57	18,21± 1,87	–	>0,05	–	

Продовження табл. Б.2

1	2	3	4	5	6	7	8
Товщина правої частки ЩЗ (мм)	$p_{0-1}$	>0,05	>0,05	>0,05			
	$p_{0-2}$	>0,05	>0,05	>0,05			
	$p_{0-3}$	>0,05	>0,05	–			
	$p_{1-2}$	>0,05	>0,05	>0,05			
	$p_{1-3}$	>0,05	>0,05	–			
	$p_{2-3}$	>0,05	>0,05	–			
Товщина лівої частки ЩЗ (мм)	Загальна без урах. соматотипу	16,32±2,40					
	Загальна з урах. соматотипу	16,93±2, 50	16,08±2, 17	16,16±2, 05	>0,05	>0,05	>0,05
	22 – 25 років з урах. соматотипу	16,24±2, 18	16,24±1, 73	15,96±2, 14	>0,05	>0,05	>0,05
	26 – 35 років з урах. соматотипу	17,58±2, 65	15,80±2, 91	–	>0,05	–	
	$p_{0-1}$	>0,05	>0,05	>0,05			
	$p_{0-2}$	>0,05	>0,05	>0,05			
	$p_{0-3}$	<b>&lt;0,05</b>	>0,05	–			
	$p_{1-2}$	>0,05	>0,05	>0,05			
	$p_{1-3}$	>0,05	>0,05	–			
	$p_{2-3}$	>0,05	>0,05	–			
Товщина перешийка ЩЗ (мм)	Загальна без урах. соматотипу	3,621±0,813					
	Загальна з урах. соматотипу	3,749±0, 800	3,500±0, 685	3,437±0, 730	>0,05	>0,05	>0,05
	22 – 25 років з урах. соматотипу	3,680±0, 619	3,514±0, 779	3,338±0, 671	>0,05	<b>=0,056</b>	>0,05
	26 – 35 років з урах. соматотипу	3,815±0, 950	3,475±0, 526	–	>0,05	–	
	$p_{0-1}$	>0,05	>0,05	>0,05			
	$p_{0-2}$	>0,05	>0,05	>0,05			
	$p_{0-3}$	>0,05	>0,05	–			
	$p_{1-2}$	>0,05	>0,05	>0,05			
	$p_{1-3}$	>0,05	>0,05	–			
	$p_{2-3}$	>0,05	>0,05	–			

**Примітки:** тут і в подальшому

1. мезо- – мезоморфи;
2. екто- – ектоморфи;
3. ек-мез- – екто-мезоморфи;
4. ен-мез- – ендо-мезоморфи;



5. пром- – середній проміжний соматотип;
6.  $M \pm \sigma$  – арифметична середня  $\pm$  стандартне квадратичне відхилення;
7. 25-75 percntnl – персентильний розмах вибірки;
8.  $p_{0-1}$  – достовірність відмінностей між чоловіками або жінками загальної групи без урахування соматотипу і загальної групи з урахуванням соматотипу;
9.  $p_{0-2}$  – достовірність відмінностей між чоловіками або жінками загальної групи без урахування соматотипу і 22(21) – 25-річними досліджуваними певного соматотипу;
10.  $p_{0-3}$  – достовірність відмінностей між чоловіками або жінками загальної групи без урахування соматотипу і 26 – 35-річними досліджуваними певного соматотипу;
11.  $p_{1-2}$  – достовірність відмінностей між чоловіками або жінками загальної групи з урахуванням соматотипу і 22(21) – 25-річними досліджуваними певного соматотипу;
12.  $p_{1-3}$  – достовірність відмінностей між чоловіками або жінками загальної групи з урахуванням соматотипу і 26 – 35-річними досліджуваними певного соматотипу;
13.  $p_{2-3}$  – достовірність відмінностей між 22(21) – 25-річними та 26 – 35-річними чоловіками або жінками певного соматотипу;
14.  $p_{3-4}$  – достовірність відмінностей між чоловіками або жінками мезо- і екто-мезоморфами аналогічних вікових груп;
15.  $p_{3-5}$  – достовірність відмінностей між чоловіками або жінками мезо- і ендо-мезоморфами аналогічних вікових груп;
16.  $p_{4-5}$  – достовірність відмінностей між чоловіками або жінками екто- і ендо-мезоморфами аналогічних вікових груп;
17.  $p_{3-6}$  – достовірність відмінностей між жінками мезоморфного і середнього проміжного соматотипу аналогічних вікових груп;

18.  $p_{4-6}$  – достовірність відмінностей між жінками екто-мезоморфного і середнього проміжного соматотипу аналогічних вікових груп;

19.  $p_{4-6}$  – достовірність відмінностей між жінками ендо-мезоморфного і середнього проміжного соматотипу аналогічних вікових груп.

Таблиця Б.3

**Процентильний розмах (25-75 percentl) лінійних розмірів щитоподібної залози у здорових міських жінок Поділля різних соматотипів.**

Розміри	Групи	Мезомор.	Ектомор.	Ендо-мезо-	Проміжн.
1	2	3	4		5
Ширина правої частки ЩЗ (мм)	Загальна з урахув. соматотипу	14,8 – 17,9	15,0 – 18,2	13,9 – 17,2	14,8 – 18,1
	21 – 25 років з урах. соматотипу	14,6 – 17,5	15,4 – 18,2	13,0 – 16,6	16,3 – 18,1
	26-35 років з урах. соматотипу	14,8 – 18,3	–	14,9 – 17,9	–
Ширина лівої ча- стки ЩЗ (мм)	Загальна з урахув. соматотипу	14,5 – 18,6	14,4 – 16,8	14,1 – 16,6	15,4 – 17,9
	21 – 25 років з урах. соматотипу	14,2 – 18,6	14,4 – 16,7	12,6 – 15,0	15,4 – 17,5
	26-35 років з урах. соматотипу	14,8 – 18,6	–	14,9 – 17,3	–
Довжина правої частки ЩЗ (мм)	Загальна з урахув. соматотипу	45,0 – 48,5	45,1 – 47,6	45,0 – 49,2	45,7 – 54,0
	21 – 25 років з урах. соматотипу	45,0 – 47,0	45,3 – 47,6	44,6 – 49,2	45,7 – 47,2
	26-35 років з урах. соматотипу	45,1 – 49,5	–	45,6 – 48,9	–
Довжина лівої ча- стки ЩЗ (мм)	Загальна з урахув. соматотипу	44,8 – 49,0	43,0 – 47,6	43,4 – 48,5	44,0 – 51,7
	21 – 25 років з урах. соматотипу	44,6 – 46,6	44,0 – 47,6	41,3 – 48,5	44,0 – 51,7
	26-35 років з урах. соматотипу	45,0 – 49,2	–	44,7 – 48,5	–
Товщина правої частки ЩЗ (мм)	Загальна з урахув. соматотипу	15,6 – 18,4	14,2 – 16,9	14,5 – 17,3	14,4 – 17,7
	21 – 25 років з урах. соматотипу	15,1 – 18,0	14,2 – 17,1	14,4 – 16,3	14,2 – 17,7
	26-35 років з урах. соматотипу	16,7 – 19,0	–	15,1 – 17,6	–

Продовження табл. Б.3

1	2	3	4	5	6
Товщина лівої ча- стки ЩЗ (мм)	Загальна з урахув. соматотипу	14,7 – 17,5	13,3 – 15,9	14,0 – 16,4	14,0 – 18,0
	21 – 25 років з урах. соматотипу	14,7 – 17,0	13,3 – 15,0	12,4 – 15,1	13,7 – 15,4
	26-35 років з урах. соматотипу	14,3 – 17,8	–	14,5 – 16,9	–
Товщина пере- шийка ЩЗ (мм)	Загальна з урахув. соматотипу	3,0 – 4,0	3,0 – 3,5	2,9 – 3,9	2,8 – 3,9
	21 – 25 років з урах. соматотипу	3,0 – 4,0	3,0 – 3,5	2,6 – 3,8	2,8 – 3,9
	26-35 років з урах. соматотипу	3,0 – 4,0	–	3,1 – 4,0	–

Таблиця Б.4

**Відмінності лінійних розмірів щитоподібної залози у здорових міських жінок Поділля різних соматотипів ( $M \pm \sigma$ ).**

Роз- міри	Групи	Мезо- морфи	Екто- морфи	Ендо- мезо-	Про- міжн.	p <sub>3-4</sub>	p <sub>3-5</sub>	p <sub>3-6</sub>	p <sub>4-5</sub>	p <sub>4-6</sub>	p <sub>5-6</sub>	
1	2	3	4	5	6	7	8	9	10	11	12	
Ши- рина правої частки ЩЗ (мм)	Загальна без урах. сомат.	16,37±2,13										
	Загальна з урах. сомат.	16,46± 2,32	16,41± 1,70	15,64± 2,37	16,83± 2,07	>0,05	>0,05	>0,05	>0,05	>0,05	>0,05	
	21 – 25 р. з урах. сомат.	16,09± 1,98	16,47± 1,76	14,60± 2,00	17,13± 2,30	>0,05	<b>=0,068</b>	>0,05	<b>&lt;0,05</b>	>0,05	<b>&lt;0,05</b>	
	26 – 35 р. з урах. сомат.	16,72± 2,54	–	16,59± 2,35	–	–	>0,05	–	–	–	–	
	p <sub>0-1</sub>	>0,05	>0,05	>0,05	>0,05							
	p <sub>0-2</sub>	>0,05	>0,05	<b>&lt;0,05</b>	>0,05							
	p <sub>0-3</sub>	>0,05	–	>0,05	–							
	p <sub>1-2</sub>	>0,05	>0,05	>0,05	>0,05							
	p <sub>1-3</sub>	>0,05	–	>0,05	–							
	p <sub>2-3</sub>	>0,05	–	<b>=0,053</b>	–							
Ши- рина лівої частки ЩЗ (мм)	Загальна без урах. сомат.	16,00±2,17										
	Загальна з урах. сомат.	16,49± 2,41	15,61± 2,01	15,15± 1,81	16,71± 2,17	>0,05	<b>=0,059</b>	>0,05	>0,05	>0,05	<b>&lt;0,05</b>	
	21 – 25 р. з урах. сомат.	16,19± 2,16	15,82± 1,67	14,20± 1,61	16,32± 2,39	>0,05	<b>&lt;0,05</b>	>0,05	<b>&lt;0,05</b>	>0,05	<b>&lt;0,05</b>	
	26 – 35 р. з урах. сомат.	16,70± 2,59	–	16,02± 1,58	–	–	>0,05	–	–	–	–	

Продовження табл. Б.4

1	2	3	4	5	6	7	8	9	10	11	12
Ширина лівої частки ЩЗ (мм)	p <sub>0-1</sub>	>0,05	>0,05	>0,05	>0,05						
	p <sub>0-2</sub>	>0,05	>0,05	<0,01	>0,05						
	p <sub>0-3</sub>	>0,05	–	>0,05	–						
	p <sub>1-2</sub>	>0,05	>0,05	>0,05	>0,05						
	p <sub>1-3</sub>	>0,05	–	>0,05	–						
	p <sub>2-3</sub>	>0,05	–	<0,05	–						
Довжина правої частки ЩЗ (мм)	Загальна без урах. сомат.	47,20±3,64									
	Загальна з урах. сомат.	46,67± 4,39	46,57± 2,11	47,00± 3,11	48,90± 4,21	>0,05	>0,05	>0,05	>0,05	>0,05	>0,05
	21 – 25 р. з урах. сомат.	46,65± 2,80	46,65± 1,58	46,84± 2,95	47,72± 3,81	>0,05	>0,05	>0,05	>0,05	>0,05	>0,05
	26 – 35 р. з урах. сомат.	46,69± 5,27	–	47,16± 3,37	–	–	>0,05	–	–	–	–
	p <sub>0-1</sub>	>0,05	>0,05	>0,05	>0,05						
	p <sub>0-2</sub>	>0,05	>0,05	>0,05	>0,05						
	p <sub>0-3</sub>	>0,05	–	>0,05	–						
	p <sub>1-2</sub>	>0,05	>0,05	>0,05	>0,05						
	p <sub>1-3</sub>	>0,05	–	>0,05	–						
	p <sub>2-3</sub>	>0,05	–	>0,05	–						
Довжина- лівої частки ЩЗ (мм)	Загальна без урах. сомат.	46,13±3,81									
	Загальна з урах. сомат.	46,06± 4,43	45,14± 3,20	45,54± 3,20	47,22± 4,02	>0,05	>0,05	>0,05	>0,05	>0,05	>0,05
	21 – 25 р. з урах. сомат.	46,15± 2,18	45,75± 2,52	44,66± 3,78	46,83± 4,46	>0,05	>0,05	>0,05	>0,05	>0,05	>0,05
	26 – 35 р. з урах. сомат.	46,00± 5,52	–	46,35± 2,45	–	–	>0,05	–	–	–	–
	p <sub>0-1</sub>	>0,05	>0,05	>0,05	>0,05						
	p <sub>0-2</sub>	>0,05	>0,05	>0,05	>0,05						
	p <sub>0-3</sub>	>0,05	–	>0,05	–						
	p <sub>1-2</sub>	>0,05	>0,05	>0,05	>0,05						
	p <sub>1-3</sub>	>0,05	–	>0,05	–						
	p <sub>2-3</sub>	>0,05	–	>0,05	–						
Товщина правої частки ЩЗ (мм)	Загальна без урах. сомат.	16,49±2,03									
	Загальна з урах. сомат.	17,38± 2,21	15,69± 2,04	15,94± 1,60	16,39± 1,81	<0,01	<0,05	>0,05	>0,05	>0,05	>0,05
	21 – 25 р. з урах. сомат.	16,52± 1,60	15,75± 2,20	15,46± 1,61	16,03± 2,20	>0,05	>0,05	>0,05	>0,05	>0,05	>0,05
	26 – 35 р. з урах. сомат.	17,96± 2,41	–	16,38± 1,51	–	–	=0,069	–	–	–	–

Продовження табл. Б.4

1	2	3	4	5	6	7	8	9	10	11	12
Товщина правої частки ЩЗ (мм)	p <sub>0-1</sub>	<b>&lt;0,05</b>	>0,05	>0,05	>0,05						
	p <sub>0-2</sub>	>0,05	>0,05	>0,05	>0,05						
	p <sub>0-3</sub>	<b>&lt;0,01</b>	–	>0,05	–						
	p <sub>1-2</sub>	>0,05	>0,05	>0,05	>0,05						
	p <sub>1-3</sub>	>0,05	–	>0,05	–						
	p <sub>2-3</sub>	>0,05	–	>0,05	–						
Товщина лівої частки ЩЗ (мм)	Загальна без урах. сомат.	15,46±2,03									
	Загальна з урах. сомат.	16,17±2,21	14,56±1,92	15,00±2,02	15,77±1,91	<b>&lt;0,05</b>	<b>&lt;0,05</b>	>0,05	>0,05	<b>=0,068</b>	>0,05
	21 – 25 р. з урах. сомат.	15,85±1,71	14,25±1,90	14,15±1,69	15,26±2,12	<b>&lt;0,05</b>	<b>&lt;0,05</b>	>0,05	>0,05	>0,05	>0,05
	26 – 35 р. з урах. сомат.	16,39±2,50	–	15,78±2,05	–	–	>0,05	–	–	–	–
	p <sub>0-1</sub>	>0,05	>0,05	>0,05	>0,05						
	p <sub>0-2</sub>	>0,05	<b>&lt;0,05</b>	<b>=0,058</b>	>0,05						
	p <sub>0-3</sub>	<b>=0,067</b>	–	>0,05	–						
	p <sub>1-2</sub>	>0,05	>0,05	>0,05	>0,05						
	p <sub>1-3</sub>	>0,05	–	>0,05	–						
	p <sub>2-3</sub>	>0,05	–	<b>=0,061</b>	–						
Товщина перешийка ЩЗ (мм)	Загальна без урах. сомат.	3,381±0,741									
	Загальна з урах. сомат.	3,600±0,844	3,200±0,510	3,375±0,705	3,280±0,719	>0,05	>0,05	>0,05	>0,05	>0,05	>0,05
	21 – 25 р. з урах. сомат.	3,536±0,855	3,333±0,440	3,391±0,746	3,156±0,784	>0,05	>0,05	>0,05	>0,05	>0,05	>0,05
	26 – 35 р. з урах. сомат.	3,641±0,854	–	3,600±0,616	–	–	>0,05	–	–	–	–
	p <sub>0-1</sub>	>0,05	>0,05	>0,05	>0,05						
	p <sub>0-2</sub>	>0,05	>0,05	>0,05	>0,05						
	p <sub>0-3</sub>	>0,05	–	>0,05	–						
	p <sub>1-2</sub>	>0,05	>0,05	>0,05	>0,05						
	p <sub>1-3</sub>	>0,05	–	>0,05	–						
	p <sub>2-3</sub>	>0,05	–	>0,05	–						

Таблиця Б.5

**Гендерні відмінності лінійних розмірів щитоподібної залози у здорових міських чоловіків і жінок Поділля різних соматотипів(M±σ).**

Розміри	Групи	Мезоморфи		р	Ендо-мезомерфи		р
		чоловіки	жінки		чоловіки	жінки	
1	2	3	3	5	6	7	8

Продовження табл. Б.5

1	2	3	3	5	6	7	8
Ширина правої част- тки щито- подібної залози (мм)	Загальна з урах. сом.	17,73± 2,33	16,46± 2,32	<0,05	17,02± 2,56	15,64± 2,37	>0,05
	22 – 25 років	17,43± 2,47	16,09± 1,98	>0,05	16,70± 2,61	14,60± 2,00	<0,05
	26-35 років	18,01± 2,20	16,72± 2,54	=0,063	–	–	
Ширина лівої част- тки щито- подібної залози (мм)	Загальна з урах. сом.	17,12± 2,49	16,49± 2,41	>0,05	16,38± 2,65	15,15± 1,81	>0,05
	22 – 25 років	16,48± 2,47	16,19± 2,16	>0,05	16,06± 2,69	14,20± 1,61	>0,05
	26-35 років	17,72± 2,40	16,70± 2,59	>0,05	–		
Довжина правої част- тки щито- подібної залози (мм)	Загальна з урах. сом.	50,03± 4,49	46,67± 4,39	<0,01	50,77± 4,49	47,00± 3,11	<0,01
	22 – 25 років	49,31± 3,89	46,65± 2,80	<0,01	50,93± 4,85	46,84± 2,95	<0,05
	26-35 років	50,71± 4,96	46,69± 5,27	<0,05	–	–	
Довжина лівої част- тки щито- подібної залози (мм)	Загальна з урах. сом.	48,43± 4,33	46,06± 4,43	=0,068	48,35± 5,41	45,54± 3,20	<0,05
	22 – 25 років	47,53± 3,79	46,15± 2,18	>0,05	48,35± 5,92	44,66± 3,78	<0,05
	26-35 років	49,27± 4,68	46,00± 5,52	>0,05	–	–	
Товщина правої част- тки щито- подібної залози (мм)	Загальна з урах. сом.	17,98± 2,38	17,38± 2,21	>0,05	17,29± 1,78	15,94± 1,60	<0,05
	22 – 25 років	17,59± 2,15	16,52± 1,60	>0,05	17,09± 1,86	15,46± 1,61	<0,05
	26-35 років	18,34± 2,57	17,96± 2,41	>0,05	–	–	
Товщина лівої част- тки щито- подібної залози (мм)	Загальна з урах. сом.	16,93± 2,50	16,17± 2,21	>0,05	16,16± 2,05	15,00± 2,02	=0,069
	22 – 25 років	16,24± 2,18	15,85± 1,71	>0,05	15,96± 2,14	14,15± 1,69	<0,05
	26-35 років	17,58± 2,65	16,39± 2,50	>0,05	–	–	
Товщина перешийка (мм)	Загальна з урах. сом.	3,749± 0,800	3,600± 0,844	>0,05	3,437± 0,730	3,375± 0,705	>0,05
	22 – 25 років	3,680± 0,619	3,536 ±0,855	>0,05	3,338± 0,671	3,391± 0,746	>0,05
	26-35 років	3,815± 0,950	3,641± 0,854	>0,05	–	–	

**Примітки:** тут і в подальшому в подібних таблицях р – достовірність відмінностей між чоловіками і жінками аналогічних по соматотипу груп;

Таблиця Б.6

**Процентильний розмах (25-75 percentl) об'ємних і площинних розмірів щитоподібної залози у здорових міських чоловіків Поділля різних соматотипів.**

Розміри	Групи	Мезоморфи	Екто-мезо-	Ендо-мезо-
1	2	3	4	5
Об'єм правої частки щитоподібної залози (см <sup>3</sup> )	Загальна з урахув. соматотипу	6,74 – 10,3	6,0 – 9,5	6,2 – 9,3
	22 – 25 років з урах. соматотипу	6,6 – 9,2	5,8 – 8,8	5,9 – 8,9
	26-35 років з урах. соматотипу	6,8 – 11,5	6,4 – 11,3	–
Об'єм лівої частки щитоподібної залози (см <sup>3</sup> )	Загальна з урахув. соматотипу	5,8 – 9,2	5,3 – 8,9	5,3 – 7,97
	22 – 25 років з урах. соматотипу	5,3 – 8,2	5,7 – 7,6	4,9 – 7,6
	26-35 років з урах. соматотипу	6,0 – 11,1	4,99 – 9,7	–
Загальний об'єм щитоподібної залози (см <sup>3</sup> )	Загальна з урахув. соматотипу	12,1 – 19,8	11,7 – 17,3	10,8 – 16,95
	22 – 25 років з урах. соматотипу	11,6 – 18,3	11,7 – 16,3	10,7 – 16,7
	26-35 років з урах. соматотипу	13,2 – 22,4	11,4 – 21,2	–
Площа правої частки щитоподібної залози (см <sup>2</sup> )	Загальна з урахув. соматотипу	588,0 – 794,0	563,0 – 772,0	590,0 – 745,0
	22 – 25 років з урах. соматотипу	579,0 – 746,0	532,0 – 700,0	580,0 – 748,0
	26-35 років з урах. соматотипу	588,0 – 864,0	659,0 – 805,0	–
Площа лівої частки щитоподібної залози (см <sup>2</sup> )	Загальна з урахув. соматотипу	507,0 – 658,0	516,0 – 680,0	518,0 – 670,0
	22 – 25 років з урах. соматотипу	520,0 – 648,0	545,0 – 608,0	509,5 – 678,5
	26-35 років з урах. соматотипу	506,0 – 735,0	493,5 – 715,0	–
Загальна площа щитоподібної залози (см <sup>2</sup> )	Загальна з урахув. соматотипу	1080 – 1435	1104 – 1411	1090 – 1342
	22 – 25 років з урах. соматотипу	1080 – 1389	1082 – 1328	1082 – 1393
	26-35 років з урах. соматотипу	1091 – 1581	1149 – 1526	–

Продовження табл. Б.6

1	2	3	4	5
Щільність правої частки щитоподібної залози (дБ)	Загальна з урахув. соматотипу	15,20 – 19,30	15,10 – 20,10	15,20 – 20,40
	22 – 25 років з урах. соматотипу	15,0 – 18,40	15,0 – 19,10	16,0 – 20,70
	26-35 років з урах. соматотипу	15,50 – 19,60	15,80 – 20,30	–
Щільність лівої частки щитоподібної залози (дБ)	Загальна з урахув. соматотипу	15,90 – 19,70	15,30 – 21,0	15,80 – 20,50
	22 – 25 років з урах. соматотипу	16,10 – 19,70	15,30 – 20,70	16,10 – 20,55
	26-35 років з урах. соматотипу	15,90 – 19,20	16,30 – 21,0	–

Таблиця Б.7

**Відмінності об'ємних і площинних розмірів щитоподібної залози у здорових міських чоловіків Поділля різних соматотипів ( $M \pm \sigma$ ).**

Розміри	Групи	Мезо-	Екто-мезо-	Ендо-мезо-	p <sub>3-4</sub>	p <sub>3-5</sub>	p <sub>4-5</sub>
1	2	3	4	5	6	7	8
Об'єм правої частки щитоподібної залози (см <sup>3</sup> )	Загальна без урах. сомат.	8,098±2,373					
	Загальна з урах. сомат.	8,451±2,536	8,010±2,493	8,007±2,433	>0,05	>0,05	>0,05
	22 – 25 років з урах. сомат.	8,000±2,355	7,539±2,242	7,826±2,612	>0,05	>0,05	>0,05
	26 – 35 років з урах. сомат.	8,867±2,669	8,895±2,849	–	>0,05	–	–
	p <sub>0-1</sub>	>0,05	>0,05	>0,05			
	p <sub>0-2</sub>	>0,05	>0,05	>0,05			
	p <sub>0-3</sub>	>0,05	>0,05	–			
	p <sub>1-2</sub>	>0,05	>0,05	>0,05			
	p <sub>1-3</sub>	>0,05	>0,05	–			
	p <sub>2-3</sub>	>0,05	>0,05	–			
Об'єм лівої частки щитоподібної залози (см <sup>3</sup> )	Загальна без урах. сомат.	6,991±2,412					
	Загальна з урах. сомат.	7,568±2,605	6,670±2,462	6,903±2,294	>0,05	>0,05	>0,05
	22 – 25 років з урах. сомат.	6,805±2,156	6,416±2,339	6,718±2,450	>0,05	>0,05	>0,05
	26 – 35 років з урах. сомат.	8,273±2,818	7,145±2,776	–	>0,05	–	–



Продовження табл. Б.7

1	2	3	4	5	6	7	8
Об'єм лівої частки щитоподібної залози (см <sup>3</sup> )	p <sub>0-1</sub>	>0,05	>0,05	>0,05			
	p <sub>0-2</sub>	>0,05	>0,05	>0,05			
	p <sub>0-3</sub>	<b>=0,055</b>	>0,05	–			
	p <sub>1-2</sub>	>0,05	>0,05	>0,05			
	p <sub>1-3</sub>	>0,05	>0,05	–			
	p <sub>2-3</sub>	<b>=0,069</b>	>0,05	–			
Загальний об'єм щитоподібної залози (см <sup>3</sup> )	Загальна без урах. сомат.	15,17±4,63					
	Загальна з урах. сомат.	16,01±5,07	14,68±4,77	14,93±4,60	>0,05	>0,05	>0,05
	22 – 25 років з урах. сомат.	14,73±4,50	13,95±4,50	14,57±4,93	>0,05	>0,05	>0,05
	26 – 35 років з урах. сомат.	17,14±5,36	16,04±5,28	–	>0,05	–	–
	p <sub>0-1</sub>	>0,05	>0,05	>0,05			
	p <sub>0-2</sub>	>0,05	>0,05	>0,05			
	p <sub>0-3</sub>	>0,05	>0,05	–			
	p <sub>1-2</sub>	>0,05	>0,05	>0,05			
	p <sub>1-3</sub>	>0,05	>0,05	–			
	p <sub>2-3</sub>	>0,05	>0,05	–			
Площа правої частки щитоподібної залози (см <sup>2</sup> )	Загальна без урах. сомат.	675,0±124,0					
	Загальна з урах. сомат.	687,1±132,0	672,9±135,9	679,5±116,6	>0,05	>0,05	>0,05
	22 – 25 років з урах. сомат.	664,6±104,7	639,5±193,3	682,6±121,4	>0,05	>0,05	>0,05
	26 – 35 років з урах. сомат.	715,8±158,9	735,5±111,2	–	>0,05	–	–
	p <sub>0-1</sub>	>0,05	>0,05	>0,05			
	p <sub>0-2</sub>	>0,05	>0,05	>0,05			
	p <sub>0-3</sub>	>0,05	>0,05	–			
	p <sub>1-2</sub>	>0,05	>0,05	>0,05			
	p <sub>1-3</sub>	>0,05	>0,05	–			
	p <sub>2-3</sub>	>0,05	<b>&lt;0,05</b>	–			
Площа лівої частки щитоподібної залози (см <sup>2</sup> )	Загальна без урах. сомат.	588,5±134,4					
	Загальна з урах. сомат.	607,8±129,7	578,9±158,6	590,3±130,7	>0,05	>0,05	>0,05
	22 – 25 років з урах. сомат.	596,4±118,8	575,9±160,1	590,2±138,9	>0,05	>0,05	>0,05
	26 – 35 років з урах. сомат.	622,6±145,0	584,6±166,4	–	>0,05	–	–

Продовження табл. Б.7

1	2	3	4	5	6	7	8
Площа лівої частки щитоподібної залози (см <sup>2</sup> )	p <sub>0-1</sub>	>0,05	>0,05	>0,05			
	p <sub>0-2</sub>	>0,05	>0,05	>0,05			
	p <sub>0-3</sub>	>0,05	>0,05	–			
	p <sub>1-2</sub>	>0,05	>0,05	>0,05			
	p <sub>1-3</sub>	>0,05	>0,05	–			
	p <sub>2-3</sub>	>0,05	>0,05	–			
Загальна площа щитоподібної залози (см <sup>2</sup> )	Загальна без урах. сомат.	1261±243					
	Загальна з урах. сомат.	1289±248	1252±276	1270±239	>0,05	>0,05	>0,05
	22 – 25 років з урах. сомат.	1261±211	1215±288	1273±252	>0,05	>0,05	>0,05
	26 – 35 років з урах. сомат.	1324±293	1320±255	–	>0,05	–	–
	p <sub>0-1</sub>	>0,05	>0,05	>0,05			
	p <sub>0-2</sub>	>0,05	>0,05	>0,05			
	p <sub>0-3</sub>	>0,05	>0,05	–			
	p <sub>1-2</sub>	>0,05	>0,05	>0,05			
	p <sub>1-3</sub>	>0,05	>0,05	–			
	p <sub>2-3</sub>	>0,05	>0,05	–			
Щільність правої частки щитоподібної залози (дБ)	Загальна без урах. сомат.	17,92±3,03					
	Загальна з урах. сомат.	17,40±3,00	17,83±2,89	17,89±2,92	>0,05	>0,05	>0,05
	22 – 25 років з урах. сомат.	17,40±2,92	17,62±3,15	18,46±2,81	>0,05	>0,05	>0,05
	26 – 35 років з урах. сомат.	17,40±3,14	18,23±2,47	–	>0,05	–	–
	p <sub>0-1</sub>	>0,05	>0,05	>0,05			
	p <sub>0-2</sub>	>0,05	>0,05	>0,05			
	p <sub>0-3</sub>	>0,05	>0,05	–			
	p <sub>1-2</sub>	>0,05	>0,05	>0,05			
	p <sub>1-3</sub>	>0,05	>0,05	–			
	p <sub>2-3</sub>	>0,05	>0,05	–			
Щільність лівої частки щитоподібної залози (дБ)	Загальна без урах. сомат.	18,19±3,03					
	Загальна з урах. сомат.	17,61±2,75	18,39±2,90	18,17±3,20	>0,05	>0,05	>0,05
	22 – 25 років з урах. сомат.	17,66±2,76	18,33±3,05	18,83±3,06	>0,05	>0,05	>0,05
	26 – 35 років з урах. сомат.	17,57±2,79	18,51±2,78	–	>0,05	–	–

Продовження табл. Б.7

1	2	3	4	5	6	7	8
Щільність лівої част- ки щито- подібної залози (дБ)	p <sub>0-1</sub>	>0,05	>0,05	>0,05			
	p <sub>0-2</sub>	>0,05	>0,05	>0,05			
	p <sub>0-3</sub>	>0,05	>0,05	–			
	p <sub>1-2</sub>	>0,05	>0,05	>0,05			
	p <sub>1-3</sub>	>0,05	>0,05	–			
	p <sub>2-3</sub>	>0,05	>0,05	–			

Таблиця Б.8

**Процентильний розмах (25-75 percentl) об'ємних і площинних розмірів  
щитоподібної залози у здорових міських жінок Поділля  
різних соматотипів.**

Розміри	Групи	Мезомор.	Ектомор.	Ендо-мезо-	Проміжн.
1	2	3	4		5
Об'єм правої частки щито- подібної зало- зи (см <sup>3</sup> )	Загальна з урахув. соматотипу	5,6 – 7,7	5,1 – 7,3	5,2 – 7,0	5,9 – 9,1
	21 – 25 років з урах. соматотипу	5,5 – 7,3	5,1 – 7,3	4,95 – 6,8	5,95 – 7,3
	26-35 років з урах. соматотипу	5,7 – 8,95	–	5,6 – 7,9	–
Об'єм лівої частки щито- подібної зало- зи (см <sup>3</sup> )	Загальна з урахув. соматотипу	5,2 – 7,6	4,6 – 6,4	4,4 – 6,6	5,2 – 7,9
	21 – 25 років з урах. соматотипу	5,3 – 6,95	4,6 – 6,6	3,97 – 5,9	4,7 – 7,5
	26-35 років з урах. соматотипу	4,6 – 8,2	–	5,4 – 6,9	–
Загальний об'єм щито- подібної зало- зи (см <sup>3</sup> )	Загальна з урахув. соматотипу	11,0 – 15,9	9,7 – 14,0	9,7 – 13,5	11,2 – 15,9
	21 – 25 років з урах. соматотипу	11,1 – 13,3	9,7 – 14,0	9,4 – 12,6	10,7 – 14,9
	26-35 років з урах. соматотипу	10,9 – 17,3	–	11,0 – 14,6	–
Площа правої частки щито- подібної зало- зи (см <sup>2</sup> )	Загальна з урахув. соматотипу	514,0 – 665,5	496,0 – 635,0	531,0 – 649,0	503,0 – 658,0
	21 – 25 років з урах. соматотипу	487,0 – 594,0	496,0 – 635,0	509,0 – 649,0	482,0 – 678,0
	26-35 років з урах. соматотипу	537,0 – 702,0	–	559,0 – 635,5	–
Площа лівої частки щито- подібної зало- зи (см <sup>2</sup> )	Загальна з урахув. соматотипу	474,0 – 639,0	454,0 – 553,0	425,0 – 589,0	478,0 – 629,0
	21 – 25 років з урах. соматотипу	468,0 – 632,0	454,0 – 553,0	404,0 – 573,0	478,0 – 640,0
	26-35 років з урах. соматотипу	522,0 – 679,0	–	501,0 – 590,0	–

Продовження табл. Б.8

1	2	3	4		5
Загальна площа щито- подібної залози (см <sup>2</sup> )	Загальна з урахув. соматотипу	964 – 1247	943 – 1206	964 – 1218	985 – 1238
	21 – 25 років з урах. соматотипу	952 – 1207	943 – 1206	885 – 1222	973 – 1318
	26-35 років з урах. соматотипу	1059– 1396	–	1072 – 1212	–
Щільність правої частки щитоподібної залози (дБ)	Загальна з урахув. соматотипу	14,60 – 19,30	15,70 – 19,20	14,70 – 18,0	13,60 – 16,80
	21 – 25 років з урах. соматотипу	12,80 – 18,40	15,95 – 19,50	14,90 – 18,30	14,0 – 16,50
	26-35 років з урах. соматотипу	15,60 – 19,40	–	14,70 – 17,70	–
Щільність лівої частки щитоподібної залози (дБ)	Загальна з урахув. соматотипу	14,00 – 19,70	15,50 – 19,20	14,10 – 18,60	14,20 – 17,00
	21 – 25 років з урах. соматотипу	13,0 – 17,30	16,55 – 19,85	14,10 – 19,60	14,90 – 16,80
	26-35 років з урах. соматотипу	15,50 – 19,90	–	14,55 – 17,80	–

Таблиця Б.9

**Відмінності об'ємних і площинних розмірів щитоподібної залози у здорових міських жінок Поділля різних соматотипів (M±σ).**

Роз- міри	Групи	Мезо- морфи	Екто- морфи	Ендо- мезо-	Про- міжн.	р <sub>3-4</sub>	р <sub>3-5</sub>	р <sub>3-6</sub>	р <sub>4-5</sub>	р <sub>4-6</sub>	р <sub>5-6</sub>	
1	2	3	4	5	6	7	8	9	10	11	12	
Об'єм правої частки щито- подіб- ної залози (см <sup>3</sup> )	Загальна без урах. сомат.	6,724±1,769										
	Загальна з урах. сомат.	7,015± 2,239	6,350± 1,440	6,227± 1,479	7,093± 1,524	>0,05	>0,05	>0,05	>0,05	>0,05	= <b>0,068</b>	
	21 – 25 р. з урах. сомат.	6,398± 1,419	6,396± 1,488	5,584± 1,217	6,913± 1,608	>0,05	>0,05	>0,05	>0,05	>0,05	>0,05	
	26 – 35 р. з урах. сомат.	7,448± 2,617	–	6,763± 1,507	–	–	>0,05	–	–	–	–	
	р <sub>0-1</sub>	>0,05	>0,05	>0,05	>0,05							
	р <sub>0-2</sub>	>0,05	>0,05	= <b>0,054</b>	>0,05							
	р <sub>0-3</sub>	>0,05	–	>0,05	–							
	р <sub>1-2</sub>	>0,05	>0,05	>0,05	>0,05							
	р <sub>1-3</sub>	>0,05	–	>0,05	–							
	р <sub>2-3</sub>	>0,05	–	>0,05	–							

Продовження табл. Б.9

1	2	3	4	5	6	7	8	9	10	11	12
Об'єм лівої частки щито- подіб- ної залози (см <sup>3</sup> )	Загальна без урах. сомат.	6,057±1,611									
	Загальна з урах. сомат.	6,463± 1,852	5,437± 1,320	5,625± 2,417	6,565± 1,707	<b>=0,068</b>	>0,05	>0,05	>0,05	<b>&lt;0,05</b>	>0,05
	21 – 25 р. з урах. сомат.	6,229± 1,418	5,460± 1,312	4,941± 1,250	6,148± 1,848	>0,05	<b>=0,069</b>	>0,05	>0,05	>0,05	>0,05
	26 – 35 р. з урах. сомат.	6,627± 2,125	–	6,194± 1,332	–	–	>0,05	–	–	–	–
	p <sub>0-1</sub>	>0,05	>0,05	>0,05	>0,05						
	p <sub>0-2</sub>	>0,05	>0,05	<b>&lt;0,05</b>	>0,05						
	p <sub>0-3</sub>	>0,05	–	>0,05	–						
	p <sub>1-2</sub>	>0,05	>0,05	>0,05	>0,05						
	p <sub>1-3</sub>	>0,05	–	>0,05	–						
p <sub>2-3</sub>	>0,05	–	<b>&lt;0,05</b>	–							
Зага- льний об'єм щито- подіб- ної залози (см <sup>3</sup> )	Загальна без урах. сомат.	12,83±3,21									
	Загальна з урах. сомат.	13,61± 3,80	11,79± 2,69	11,85± 2,79	13,66± 3,07	>0,05	>0,05	>0,05	>0,05	<b>=0,067</b>	>0,05
	21 – 25 р. з урах. сомат.	12,65± 2,61	11,86± 2,72	10,52± 2,37	13,06± 3,39	>0,05	>0,05	>0,05	>0,05	>0,05	>0,05
	26 – 35 р. з урах. сомат.	14,29± 4,39	–	12,96± 2,71	–	–	>0,05	–	–	–	–
	p <sub>0-1</sub>	>0,05	>0,05	>0,05	>0,05						
	p <sub>0-2</sub>	>0,05	>0,05	<b>&lt;0,05</b>	>0,05						
	p <sub>0-3</sub>	>0,05	–	>0,05	–						
	p <sub>1-2</sub>	>0,05	>0,05	>0,05	>0,05						
	p <sub>1-3</sub>	>0,05	–	>0,05	–						
p <sub>2-3</sub>	>0,05	–	<b>&lt;0,05</b>	–							
Площа правої частки щито- подіб- ної залози (см <sup>2</sup> )	Загальна без урах. сомат.	586,5±89,5									
	Загальна з урах. сомат.	581,2± 85,9	554,9± 70,3	575,6± 78,8	584,5± 98,5	>0,05	>0,05	>0,05	>0,05	>0,05	>0,05
	21 – 25 р. з урах. сомат.	553,3± 81,7	550,5± 68,2	564,9± 85,4	588,0± 121,0	>0,05	>0,05	>0,05	>0,05	>0,05	>0,05
	26 – 35 р. з урах. сомат.	628,9± 75,5	–	588,9± 73,0	–	–	>0,05	–	–	–	–
	p <sub>0-1</sub>	>0,05	>0,05	>0,05	>0,05						
	p <sub>0-2</sub>	>0,05	>0,05	>0,05	>0,05						
	p <sub>0-3</sub>	>0,05	–	>0,05	–						
	p <sub>1-2</sub>	>0,05	>0,05	>0,05	>0,05						
	p <sub>1-3</sub>	>0,05	–	>0,05	–						
p <sub>2-3</sub>	<b>=0,069</b>	–	>0,05	–							

Продовження табл. Б.9

1	2	3	4	5	6	7	8	9	10	11	12	
Площа лівої частки цитоподіб- ної залози (см <sup>2</sup> )	Загальна без урах. сомат.	543,3±92,6										
	Загальна з урах. сомат.	556,7± 104,6	502,8± 67,9	511,5± 88,6	557,0± 87,7	>0,05	>0,05	>0,05	>0,05	>0,05	>0,05	
	21 – 25 р. з урах. сомат.	536,5± 89,9	504,9± 71,3	493,2± 105,6	561,0± 102,5	>0,05	>0,05	>0,05	>0,05	>0,05	>0,05	
	26 – 35 р. з урах. сомат.	591,4± 125,6	–	534,4± 60,4	–	–	>0,05	–	–	–	–	
	p <sub>0-1</sub>	>0,05	>0,05	>0,05	>0,05							
	p <sub>0-2</sub>	>0,05	>0,05	>0,05	>0,05							
	p <sub>0-3</sub>	>0,05	–	>0,05	–							
	p <sub>1-2</sub>	>0,05	>0,05	>0,05	>0,05							
	p <sub>1-3</sub>	>0,05	–	>0,05	–							
p <sub>2-3</sub>	>0,05	–	>0,05	–								
Зага- льна площа цитоподіб- ної залози (см <sup>2</sup> )	Загальна без урах. сомат.	1130±171										
	Загальна з урах. сомат.	1138± 179	1058± 67,9	1087± 158	1142± 175	>0,05	>0,05	>0,05	>0,05	>0,05	>0,05	
	21 – 25 р. з урах. сомат.	1090± 156	1055± 134	1058± 185	1149± 215	>0,05	>0,05	>0,05	>0,05	>0,05	>0,05	
	26 – 35 р. з урах. сомат.	1220± 196	–	1123± 118	–	–	>0,05	–	–	–	–	
	p <sub>0-1</sub>	>0,05	>0,05	>0,05	>0,05							
	p <sub>0-2</sub>	>0,05	>0,05	>0,05	>0,05							
	p <sub>0-3</sub>	>0,05	–	>0,05	–							
	p <sub>1-2</sub>	>0,05	>0,05	>0,05	>0,05							
	p <sub>1-3</sub>	>0,05	–	>0,05	–							
p <sub>2-3</sub>	>0,05	–	>0,05	–								
Щіль- ність правої частки цитоподіб- ної залози (дБ)	Загальна без урах. сомат.	16,67±3,26										
	Загальна з урах. сомат.	16,78± 3,45	17,50± 2,78	16,10± 2,31	15,25± 4,19	>0,05	>0,05	>0,05	>0,05	<b>=0,060</b>	>0,05	
	21 – 25 р. з урах. сомат.	15,73± 3,75	17,89± 2,30	16,48± 2,48	14,69± 3,97	>0,05	>0,05	>0,05	>0,05	<b>&lt;0,05</b>	>0,05	
	26 – 35 р. з урах. сомат.	17,65± 3,01	–	15,76± 2,19	–	–	<b>=0,054</b>	–	–	–	–	
	p <sub>0-1</sub>	>0,05	>0,05	>0,05	>0,05							
	p <sub>0-2</sub>	>0,05	>0,05	>0,05	>0,05							
	p <sub>0-3</sub>	>0,05	–	>0,05	–							
	p <sub>1-2</sub>	>0,05	>0,05	>0,05	>0,05							
	p <sub>1-3</sub>	>0,05	–	>0,05	–							
p <sub>2-3</sub>	>0,05	–	>0,05	–								

Продовження табл. Б.9

1	2	3	4	5	6	7	8	9	10	11	12	
Щільність лівої частки щитоподібної залози (дБ)	Загальна без урах. сомат.	16,81±3,37										
	Загальна з урах. сомат.	16,71±3,34	17,54±2,81	16,46±2,88	15,31±4,07	>0,05	>0,05	>0,05	>0,05	>0,05	>0,05	
	21 – 25 р. з урах. сомат.	15,41±3,74	17,93±2,70	16,91±3,09	14,92±4,01	<b>=0,057</b>	>0,05	>0,05	>0,05	<b>=0,059</b>	>0,05	
	26 – 35 р. з урах. сомат.	17,79±2,61	–	16,05±2,75	–	–	>0,05	–	–	–	–	
	p <sub>0-1</sub>	>0,05	>0,05	>0,05	>0,05							
	p <sub>0-2</sub>	>0,05	>0,05	>0,05	>0,05							
	p <sub>0-3</sub>	>0,05	–	>0,05	–							
	p <sub>1-2</sub>	>0,05	>0,05	>0,05	>0,05							
	p <sub>1-3</sub>	>0,05	–	>0,05	–							
p <sub>2-3</sub>	<b>&lt;0,05</b>	–	>0,05	–								

Таблиця Б.10

**Гендерні відмінності об'ємних і площинних показників щитоподібної залози у здорових міських чоловіків і жінок Поділля різних соматотипів (M±σ).**

Розміри	Групи	Мезоморфи		p	Ендо-мезоморфи		p
		чоловіки	жінки		чоловіки	жінки	
1	2	3	4	5	6	7	8
Об'єм правої частки щитоподібної залози (см <sup>3</sup> )	Загальна з урах. сом.	8,451±2,536	7,015±2,239	<b>&lt;0,01</b>	8,007±2,433	6,227±1,479	<b>&lt;0,05</b>
	22 – 25 років	8,000±2,355	6,398±1,419	<b>&lt;0,05</b>	7,826±2,612	5,584±1,217	<b>&lt;0,05</b>
	26-35 років	8,867±2,669	7,448±2,617	>0,05	–	6,763±1,507	
Об'єм лівої частки щитоподібної залози (см <sup>3</sup> )	Загальна з урах. сом.	7,568±2,605	6,463±1,852	<b>=0,054</b>	6,903±2,294	5,625±2,417	<b>&lt;0,05</b>
	22 – 25 років	6,805±2,156	6,229±1,418	>0,05	6,718±2,450	4,941±1,250	<b>&lt;0,05</b>
	26-35 років	8,273±2,818	6,627±2,125	<b>&lt;0,05</b>	–	6,194±1,332	
Загальний об'єм щитоподібної залози (см <sup>3</sup> )	Загальна з урах. сом.	16,01±5,07	13,61±3,80	<b>&lt;0,05</b>	14,93±4,60	11,85±2,79	<b>&lt;0,05</b>
	22 – 25 років	14,73±4,50	12,65±2,61	>0,05	14,57±4,93	10,52±2,37	<b>&lt;0,05</b>
	26-35 років	17,14±5,36	14,29±4,39	<b>=0,069</b>	–	12,96±2,71	

Продовження табл. Б.10

1	2	3	4	5	6	7	8
Площа правої частки щитоподібної залози (см <sup>2</sup> )	Загальна з урах. сом.	687,1± 132,0	581,2± 85,9	<0,01	679,5± 116,6	575,6± 78,8	<0,01
	22 – 25 років	664,6± 104,7	553,3± 81,7	<0,01	682,6± 121,4	564,9± 85,4	<0,05
	26-35 років	715,8± 158,9	628,9± 75,5	>0,05	–	588,9± 73,0	
Площа лівої частки щитоподібної залози (см <sup>2</sup> )	Загальна з урах. сом.	607,8± 129,7	556,7± 104,6	>0,05	590,3± 130,7	511,5± 88,6	<0,05
	22 – 25 років	596,4± 118,8	536,5± 89,9	>0,05	590,2± 138,9	493,2± 105,6	=0,065
	26-35 років	622,6± 145,0	591,4± 125,6	>0,05	–	534,4± 60,4	
Загальна площа щитоподібної залози (см <sup>2</sup> )	Загальна з урах. сом.	1289± 248	1138± 179	<0,05	1270± 239	1087± 158	<0,05
	22 – 25 років	1261± 211	1090± 156	<0,05	1273± 252	1058± 185	<0,05
	26-35 років	1324± 293	1220± 196	>0,05	–	1123± 118	
Щільність правої частки щитоподібної залози (дБ)	Загальна з урах. сом.	17,40± 3,00	16,78± 3,45	>0,05	17,89± 2,92	16,10± 2,31	=0,067
	22 – 25 років	17,40± 2,92	15,73± 3,75	>0,05	18,46± 2,81	16,48± 2,48	>0,05
	26-35 років	17,40± 3,14	17,65± 3,01	>0,05	–	15,76± 2,19	
Щільність лівої частки щитоподібної залози (дБ)	Загальна з урах. сом.	17,61± 2,75	16,71± 3,34	>0,05	18,17± 3,20	16,46± 2,88	>0,05
	22 – 25 років	17,66± 2,76	15,41± 3,74	<0,05	18,83± 3,06	16,91± 3,09	>0,05
	26-35 років	17,57± 2,79	17,79± 2,61	>0,05	–	16,05± 2,75	



## Додаток В

Кореляції сонографічних параметрів щитоподібної залози з антропометричними та соматотипологічними показниками тіла у здорових міських міських чоловіків і жінок.

В таблицях даного розділу:

1. R\_SH – ширина правої частки щитоподібної залози;
2. R\_DL – довжина правої частки щитоподібної залози;
3. R\_WS – товщина правої частки щитоподібної залози;
4. R\_DSZ – щільність правої частки щитоподібної залози;
5. L\_SH – ширина лівої частки щитоподібної залози;
6. L\_DL – довжина лівої частки щитоподібної залози;
7. L\_WS – товщина лівої частки щитоподібної залози;
8. L\_DSZ – щільність лівої частки щитоподібної залози;
9. I – товщина перешийка щитоподібної залози;
10. V\_R – об'єм правої частки щитоподібної залози (см<sup>3</sup>);
11. V\_L – об'єм лівої частки щитоподібної залози (см<sup>3</sup>);
12. V\_RL – загальний об'єм щитоподібної залози (см<sup>3</sup>);
13. S\_R – площа правої частки щитоподібної залози (см<sup>2</sup>);
14. S\_L – площа лівої частки щитоподібної залози (см<sup>2</sup>);
15. S\_RL – загальна площа щитоподібної залози (см<sup>2</sup>);
16. OB\_GL – обхват голови (см);
17. B\_DL\_GL – найбільша довжина голови (см);
18. N\_SH\_GL – найменша ширина голови (см);
19. SH\_N\_CH – ширина нижньої щелепи (см);
20. SAG\_DUG – сагітальна дуга голови (см);
21. B\_SH\_GL – найбільша ширина голови (см);
22. SH\_LICA – ширина обличчя (см);

23. W – маса тіла (кг);
24. H – довжина тіла (см);
25. S – площа поверхні тіла (м<sup>2</sup>);
26. ATND – висота надгруднинної точки (см);
27. ATL – висота лобкової точки (см);
28. ATPL – висота плечової точки (см);
29. ATP – висота пальцевої точки (см);
30. ATV – висота вертлюгової точки (см);
31. EPPL – ширина дистального епіфіза плеча (см);
32. EPPR – ширина дистального епіфіза передпліччя (см);
33. EPB – ширина дистального епіфіза стегна (см);
34. EPG – ширина дистального епіфіза гомілки (см);
35. OBPL1 – обхват плеча в напруженому стані (см);
36. OBPL2 – обхват плеча в спокійному стані (см);
37. OBPR1 – обхват передпліччя у верхній третині (см);
38. OBPR2 – обхват передпліччя у нижній третині (см);
39. OBV – обхват стегна (см);
40. OBG1 – обхват гомілки у верхній третині (см);
41. OBG2 – обхват гомілки у нижній третині (см);
42. OBSH – обхват шиї (см);
44. OBT – обхват талії (см);
44. OBVB – обхват стегон (см);
45. OBK – обхват кисті (см);
46. OBS – обхват стопи (см);
47. OBGK1 – обхват грудної клітки на вдиху (см);
48. OBGK2 – обхват грудної клітки на видиху (см);
49. OBGK3 – обхват грудної клітки в спокійному стані (см);
50. PSG – поперечний середньогруднинний розмір (см);
51. PNG – поперечний нижньогруднинний розмір (см);

52. SGK – передньо-задній розмір грудної клітки (см);
53. ACR – ширина плечей (см);
54. SPIN – міжостьовий розмір таза (см);
55. CR2S – міжгребневий розмір таза (см);
56. TROCH – міжвертлюговий розмір таза (см);
57. CONJ – зовнішня кон'югата таза (тільки для осіб жіночої статі) (см);
58. GZPL – товщина шкірно-жирової складки на задній поверхні плеча;
59. GPPL – товщина шкірно-жирової складки на передній поверхні плеча;
60. GPR – товщина шкірно-жирової складки на передпліччі;
61. GL – товщина шкірно-жирової складки під лопаткою;
62. GGR – товщина шкірно-жирової складки на грудях;
63. GG – товщина шкірно-жирової складки на животі;
64. GB – товщина шкірно-жирової складки на боці;
65. GBD – товщина шкірно-жирової складки на стегні;
66. GGL – товщина шкірно-жирової складки на гомілці;
67. FX – ендоморфний компонент соматотипу за Хіт-Картером;
68. MX – мезоморфний компонент соматотипу за Хіт-Картером;
69. LX – екторморфний компонент соматотипу за Хіт-Картером;
70. MM – м'язовий компонент маси тіла за Матейко;
71. OM – кістковий компонент маси тіла за Матейко;
72. DM – жировий компонент маси тіла за Матейко;
73. MA – м'язовий компонент маси тіла, визначений за формулою AIX;
74. SOMAT – тип соматотипу;
75. жирним виділені статистично значущі зв'язки, а підкреслені – недостовірні середньої сили зв'язки.

Таблиця В.1

**Кореляції сонографічних параметрів щитоподібної залози з антропометричними та соматотипологічними показниками тіла у здорових міських чоловіків загалом.**

Антропол. показники	Сонографічні параметри														
	R_SH	R_DL	R_WS	R_DSZ	L_SH	L_DL	L_WS	L_DSZ	I	V_R	V_L	V_RL	S_R	S_L	S_RL
1	2	3	4	5	6	7	8	9	10	11	12	13	14	15	16
OB_GL	<b>0,26</b>	0,15	0,11	-0,15	<b>0,21</b>	0,14	0,05	-0,12	0,16	<b>0,22</b>	0,16	<b>0,19</b>	0,11	0,03	0,07
B_DL_GL	0,06	0,18	0,06	-0,05	0,06	<b>0,25</b>	<b>0,21</b>	0,01	0,00	0,14	<b>0,19</b>	0,16	0,06	0,18	0,13
N_SH_GL	-0,04	0,07	-0,07	-0,03	0,01	0,03	-0,06	-0,02	-0,02	-0,05	-0,01	-0,03	-0,02	-0,04	-0,03
SH_N_CH	0,10	-0,04	0,00	<b>-0,36</b>	0,14	0,03	0,15	<b>-0,36</b>	<b>0,27</b>	0,05	0,13	0,11	0,02	0,11	0,07
SAG_DUG	-0,06	-0,13	-0,14	-0,01	-0,09	-0,06	-0,04	-0,01	-0,01	-0,11	-0,08	-0,11	-0,13	-0,02	-0,08
B_SH_GL	0,05	0,07	0,00	-0,14	0,12	0,08	0,01	-0,14	0,16	0,03	0,08	0,08	0,01	0,01	0,01
SH_LICA	0,06	-0,09	0,00	<b>-0,27</b>	0,07	-0,01	0,10	<b>-0,23</b>	<b>0,22</b>	-0,01	0,06	0,05	-0,08	-0,02	-0,05
W	<b>0,25</b>	0,05	0,13	-0,17	<b>0,27</b>	0,09	0,12	-0,09	<b>0,19</b>	0,17	<b>0,20</b>	0,18	0,18	0,14	0,16
H	0,18	0,03	0,03	-0,07	<b>0,20</b>	0,12	0,08	-0,01	0,18	0,08	0,13	0,12	0,16	0,17	0,17
ATND	<b>0,20</b>	0,06	0,07	-0,01	<b>0,22</b>	0,13	0,13	0,06	0,15	0,12	0,17	0,16	0,18	0,19	<b>0,19</b>
ATL	0,05	0,12	0,03	0,07	0,11	0,14	0,07	0,17	0,04	0,06	0,10	0,10	0,09	0,08	0,09
ATPL	0,17	0,02	0,04	-0,03	<b>0,20</b>	0,11	0,09	0,03	0,14	0,08	0,13	0,11	0,11	0,11	0,12
ATP	0,11	0,01	0,06	0,12	0,13	0,16	0,15	0,16	0,17	0,07	0,15	0,10	0,16	0,18	0,18
ATV	-0,05	0,02	-0,01	0,01	0,03	0,05	0,00	0,11	-0,04	-0,04	0,00	-0,01	0,03	0,06	0,05
EPPL	-0,09	0,03	-0,11	0,01	-0,02	0,05	-0,09	0,06	-0,10	-0,06	-0,03	-0,05	-0,09	0,01	-0,04
EPPR	-0,01	-0,02	0,14	-0,07	0,00	0,04	0,14	-0,03	0,17	0,06	0,07	0,08	0,10	0,10	0,11
EPB	0,07	-0,10	-0,05	-0,13	0,09	-0,02	0,06	-0,05	0,05	-0,02	0,07	0,00	-0,11	-0,03	-0,07
EPG	0,09	0,06	0,12	0,02	<b>0,20</b>	0,11	0,07	0,02	0,16	0,12	0,14	0,15	0,13	0,14	0,14

Продовження табл. В.1

1	2	3	4	5	6	7	8	9	10	11	12	13	14	15	16
OBPL1	0,14	0,02	0,04	-0,08	0,15	0,04	0,03	-0,07	0,08	0,10	0,10	0,09	0,04	0,06	0,06
OBPL2	<b>0,22</b>	0,03	0,14	-0,12	<b>0,21</b>	0,07	0,12	-0,12	0,18	0,16	0,16	0,16	0,12	0,12	0,13
OBPR1	0,16	0,01	0,13	-0,05	0,12	0,01	0,08	0,00	<b>0,22</b>	0,13	0,10	0,11	0,10	0,07	0,09
OBPR2	<b>0,19</b>	0,01	<b>0,22</b>	-0,03	0,15	0,03	0,17	0,02	0,17	0,18	0,15	<b>0,20</b>	0,10	0,08	0,09
OBB	<b>0,23</b>	0,02	0,10	-0,17	<b>0,23</b>	0,06	0,05	-0,14	0,16	0,15	0,15	0,14	0,11	0,08	0,10
OBG1	<b>0,22</b>	0,03	0,16	<b>-0,23</b>	<b>0,25</b>	0,07	0,17	<b>-0,21</b>	<b>0,20</b>	0,17	<b>0,20</b>	0,17	<b>0,20</b>	0,15	0,18
OBG2	<b>0,31</b>	0,03	<b>0,20</b>	-0,13	<b>0,30</b>	0,08	<b>0,19</b>	-0,12	<b>0,24</b>	<b>0,23</b>	<b>0,23</b>	<b>0,23</b>	0,15	0,09	0,13
OBSH	0,17	0,03	0,12	-0,12	0,17	0,05	0,15	-0,08	0,11	0,12	0,16	0,17	0,10	0,06	0,08
OBT	<b>0,24</b>	0,08	<b>0,19</b>	<b>-0,27</b>	<b>0,25</b>	0,11	0,12	<b>-0,19</b>	0,17	<b>0,20</b>	<b>0,20</b>	<b>0,20</b>	0,17	0,12	0,15
OBBS	0,14	-0,03	0,03	-0,16	0,15	0,04	0,06	-0,15	0,15	0,06	0,08	0,07	0,05	0,05	0,05
OBK	<b>0,27</b>	0,08	<b>0,23</b>	<b>-0,21</b>	<b>0,27</b>	0,13	<b>0,19</b>	-0,08	<b>0,29</b>	<b>0,26</b>	<b>0,27</b>	<b>0,29</b>	0,19	0,16	0,18
OBS	0,18	<b>0,21</b>	0,16	-0,09	<b>0,22</b>	<b>0,19</b>	0,17	-0,03	<b>0,20</b>	<b>0,23</b>	<b>0,23</b>	<b>0,22</b>	<b>0,26</b>	<b>0,25</b>	<b>0,27</b>
OBGK1	0,14	0,09	0,10	-0,13	0,15	0,08	0,06	-0,03	0,09	0,12	0,13	0,12	0,15	0,10	0,13
OBGK2	0,10	0,05	0,07	-0,13	0,11	0,07	0,05	-0,03	0,10	0,09	0,09	0,10	0,12	0,10	0,11
OBGK3	0,17	0,04	0,07	-0,17	<b>0,21</b>	0,08	0,11	-0,06	0,11	0,11	0,18	0,15	0,11	0,12	0,13
PSG	0,06	0,04	-0,03	<b>-0,20</b>	0,04	0,03	-0,04	-0,11	0,07	0,01	0,02	0,02	0,06	0,00	0,03
PNG	0,11	0,18	0,15	<b>-0,26</b>	0,16	0,16	0,05	-0,17	0,03	0,14	0,14	0,16	<b>0,23</b>	0,17	<b>0,21</b>
SGK	0,17	0,17	<b>0,30</b>	-0,04	<b>0,21</b>	0,17	<b>0,24</b>	0,00	0,14	<b>0,24</b>	<b>0,28</b>	<b>0,25</b>	<b>0,35</b>	<b>0,29</b>	<b>0,34</b>
ACR	-0,11	-0,08	-0,09	-0,10	-0,05	-0,05	-0,05	-0,06	0,05	-0,13	-0,06	-0,10	-0,04	-0,02	-0,04
SPIN	0,06	0,01	0,06	-0,14	0,09	0,06	0,03	-0,08	0,10	0,05	0,07	0,09	0,00	0,04	0,02
CR2S	-0,05	0,15	0,06	-0,09	0,05	0,14	0,00	-0,10	-0,10	0,04	0,05	0,06	0,09	0,09	0,09
TROCH	<b>0,21</b>	0,03	0,17	<b>-0,26</b>	<b>0,25</b>	0,10	0,16	<b>-0,21</b>	<b>0,26</b>	0,17	0,18	<b>0,21</b>	<b>0,22</b>	0,19	<b>0,22</b>
GZPL	-0,02	0,17	-0,06	<b>0,22</b>	-0,08	0,10	-0,17	<b>0,25</b>	-0,16	0,03	-0,05	-0,01	0,01	-0,04	-0,02

Продовження табл. В.1

1	2	3	4	5	6	7	8	9	10	11	12	13	14	15	16
GPPL	-0,14	-0,11	<b>-0,24</b>	<b>0,22</b>	<b>-0,22</b>	-0,10	<b>-0,25</b>	<b>0,25</b>	<b>-0,22</b>	<b>-0,19</b>	<b>-0,23</b>	<b>-0,22</b>	<b>-0,20</b>	-0,14	-0,18
GPR	-0,10	-0,11	<b>-0,23</b>	<b>0,26</b>	-0,18	-0,05	<b>-0,20</b>	<b>0,29</b>	-0,16	-0,16	-0,18	-0,18	<b>-0,21</b>	-0,11	-0,17
GL	0,10	0,02	-0,03	-0,10	0,07	0,03	-0,13	-0,03	0,01	0,05	-0,01	0,03	0,01	-0,02	0,00
GGR	-0,10	-0,14	<b>-0,26</b>	0,13	<b>-0,21</b>	-0,13	<b>-0,23</b>	0,18	-0,12	<b>-0,19</b>	<b>-0,24</b>	<b>-0,22</b>	<b>-0,20</b>	-0,14	-0,18
GG	-0,05	-0,04	-0,07	-0,05	-0,01	-0,01	-0,11	-0,02	-0,07	-0,07	-0,05	-0,06	-0,07	-0,05	-0,06
GB	-0,12	0,10	-0,12	0,14	-0,13	0,01	<b>-0,19</b>	0,15	-0,15	-0,07	-0,10	-0,09	0,00	-0,08	-0,05
GBD	-0,06	-0,06	-0,13	-0,09	-0,07	-0,01	-0,09	-0,10	0,06	-0,09	-0,08	-0,09	-0,13	-0,10	-0,12
GGL	-0,06	-0,09	-0,12	-0,02	-0,10	-0,09	-0,17	-0,05	-0,02	-0,13	-0,16	-0,16	-0,15	-0,18	-0,17
FX	-0,01	0,11	-0,08	0,09	-0,05	0,05	-0,18	0,14	-0,10	0,01	-0,06	-0,02	0,01	-0,05	-0,03
MX	0,01	-0,01	0,03	-0,12	0,03	-0,02	0,03	-0,10	-0,05	0,03	0,04	0,01	-0,04	-0,03	-0,03
LX	-0,11	-0,05	-0,12	0,10	-0,12	-0,02	-0,06	0,07	-0,06	-0,12	-0,11	-0,11	-0,07	-0,02	-0,05
SOMAT	-0,11	0,06	0,01	0,03	-0,14	0,00	-0,04	0,06	-0,10	-0,03	-0,09	-0,03	0,05	-0,06	-0,01
MM	<b>0,31</b>	0,04	<b>0,21</b>	<b>-0,19</b>	<b>0,29</b>	0,07	<b>0,19</b>	-0,15	<b>0,24</b>	<b>0,23</b>	<b>0,23</b>	<b>0,22</b>	<b>0,23</b>	0,17	<b>0,21</b>
OM	0,07	0,07	0,04	-0,05	0,13	0,13	0,08	0,02	0,05	0,08	0,12	0,10	0,08	0,12	0,10
DM	0,03	-0,03	-0,09	-0,03	0,00	0,00	-0,13	0,01	-0,01	-0,03	-0,06	-0,05	-0,06	-0,06	-0,07
MA	<b>0,20</b>	-0,04	0,09	-0,18	<b>0,23</b>	0,02	0,12	-0,18	0,18	0,11	0,15	0,12	0,09	0,12	0,11

Таблиця В.2

**Кореляції сонографічних параметрів щитоподібної залози з антропометричними та соматотипологічними показниками тіла у здорових міських жінок загалом**

Антропол. показники	Сонографічні параметри														
	R_SH	R_DL	R_WS	R_DSZ	L_SH	L_DL	L_WS	L_DSZ	I	V_R	V_L	V_RL	S_R	S_L	S_RL
1	2	3	4	5	6	7	8	9	10	11	12	13	14	15	16
OB_GL	0,17	0,17	0,04	-0,10	0,12	0,16	0,00	-0,07	-0,05	0,14	0,10	0,13	0,19	0,10	0,15

Продовження табл. В.2

1	2	3	4	5	6	7	8	9	10	11	12	13	14	15	16
B_DL_GL	0,10	0,18	0,02	-0,03	0,17	<b>0,28</b>	0,08	-0,03	0,09	0,11	<b>0,21</b>	0,16	0,21	<b>0,25</b>	<b>0,25</b>
N_SH_GL	0,11	0,14	0,15	-0,06	0,12	0,12	0,09	-0,04	0,01	0,16	0,14	0,15	0,13	0,10	0,12
SH_N_CH	0,13	0,06	<b>0,21</b>	-0,12	0,16	-0,03	0,20	-0,13	0,12	0,18	0,17	0,20	0,02	0,06	0,04
SAG_DUG	0,20	0,16	0,02	-0,03	0,11	0,12	0,08	-0,04	-0,03	0,15	0,13	0,14	0,19	0,19	0,20
B_SH_GL	0,06	0,03	0,07	-0,09	0,07	-0,04	0,11	-0,06	0,05	0,08	0,06	0,07	-0,11	-0,05	-0,09
SH_LICA	0,19	0,02	<b>0,21</b>	-0,06	0,08	-0,07	0,14	-0,05	0,13	0,20	0,10	0,17	0,10	0,07	0,09
W	0,12	0,14	<b>0,28</b>	0,03	0,13	0,19	<b>0,28</b>	0,09	<b>0,27</b>	<b>0,22</b>	<b>0,27</b>	<b>0,28</b>	<b>0,31</b>	<b>0,29</b>	<b>0,32</b>
H	0,09	<b>0,28</b>	-0,01	0,15	0,04	0,19	-0,10	0,17	-0,04	0,10	0,03	0,05	0,10	0,00	0,05
ATND	0,08	<b>0,30</b>	0,00	0,14	0,02	0,19	-0,10	0,18	-0,02	0,11	0,02	0,05	0,12	0,01	0,07
ATL	0,07	<b>0,26</b>	-0,01	0,17	0,03	0,14	-0,09	<b>0,21</b>	0,06	0,10	0,00	0,04	0,06	-0,04	0,01
ATPL	0,10	<b>0,28</b>	0,02	0,11	0,07	0,17	-0,08	0,16	-0,01	0,11	0,05	0,06	0,11	0,00	0,06
ATP	0,03	0,20	-0,02	0,10	0,02	0,10	-0,01	0,14	-0,05	0,02	0,02	0,00	-0,01	0,05	0,02
ATV	0,14	<b>0,34</b>	0,01	0,19	0,11	<b>0,20</b>	-0,06	<b>0,22</b>	0,15	0,17	0,10	0,14	0,08	-0,01	0,04
EPPL	0,09	0,17	0,07	0,07	0,07	<b>0,21</b>	0,08	0,14	0,19	0,11	0,14	0,15	0,18	0,14	0,17
EPPR	0,02	0,11	0,11	0,03	-0,02	0,10	0,06	0,08	0,11	0,09	0,06	0,10	0,20	0,14	0,18
EPB	-0,05	0,00	0,09	0,00	-0,01	-0,01	0,09	0,02	<b>0,28</b>	0,00	0,04	0,05	-0,01	0,01	0,00
EPG	-0,05	0,15	-0,05	0,05	-0,07	0,17	-0,01	0,06	-0,04	-0,03	0,01	-0,02	0,12	0,08	0,10
OBPL1	0,06	0,05	<b>0,29</b>	0,05	0,13	0,14	<b>0,30</b>	0,04	<b>0,23</b>	0,18	<b>0,26</b>	<b>0,25</b>	0,17	0,21	0,21
OBPL2	0,09	0,07	<b>0,30</b>	-0,02	0,16	0,15	<b>0,33</b>	-0,03	<b>0,26</b>	<b>0,21</b>	<b>0,29</b>	<b>0,28</b>	0,15	0,18	0,18
OBPR1	0,09	0,05	<b>0,31</b>	0,02	0,17	0,14	<b>0,36</b>	0,02	0,20	<b>0,21</b>	<b>0,31</b>	<b>0,29</b>	0,14	0,23	0,20
OBPR2	0,17	-0,01	0,13	0,00	0,16	0,13	0,15	-0,01	0,10	0,14	0,20	0,19	0,10	0,21	0,16
OBB	0,05	0,05	<b>0,30</b>	0,03	0,13	0,18	<b>0,35</b>	0,05	<b>0,32</b>	0,18	<b>0,28</b>	<b>0,26</b>	0,22	<b>0,28</b>	<b>0,27</b>
OBG1	0,05	0,05	<b>0,24</b>	0,10	0,08	0,11	<b>0,20</b>	0,09	0,16	0,15	0,16	0,19	0,19	0,20	0,21

Продовження табл. В.2

1	2	3	4	5	6	7	8	9	10	11	12	13	14	15	16
OBG2	0,09	0,19	<b>0,26</b>	-0,08	0,13	0,16	0,13	-0,07	0,16	<b>0,24</b>	0,17	<b>0,23</b>	0,13	0,07	0,11
OBSH	0,19	0,12	<b>0,27</b>	-0,06	0,17	0,12	<b>0,27</b>	0,02	<b>0,24</b>	<b>0,26</b>	<b>0,26</b>	<b>0,30</b>	<b>0,27</b>	0,23	<b>0,26</b>
OBT	0,14	0,00	<b>0,24</b>	-0,07	0,18	0,12	0,17	-0,02	<b>0,24</b>	0,18	<b>0,22</b>	<b>0,25</b>	<b>0,35</b>	<b>0,36</b>	<b>0,38</b>
OBBS	0,06	0,08	<b>0,24</b>	0,01	0,11	0,13	<b>0,27</b>	0,05	<b>0,25</b>	0,16	<b>0,24</b>	<b>0,24</b>	0,21	<b>0,27</b>	<b>0,26</b>
OBK	0,14	0,05	<b>0,28</b>	-0,10	0,17	0,19	<b>0,38</b>	-0,09	0,10	<b>0,20</b>	<b>0,33</b>	<b>0,29</b>	0,21	<b>0,33</b>	<b>0,29</b>
OBS	0,05	0,13	0,00	0,04	0,10	0,18	0,10	0,00	0,08	0,06	0,16	0,13	0,00	0,10	0,05
OBGK1	0,14	0,11	0,14	0,08	0,13	0,19	<b>0,22</b>	0,10	<b>0,23</b>	0,17	<b>0,24</b>	<b>0,22</b>	<b>0,24</b>	0,15	0,21
OBGK2	0,14	0,14	0,10	0,18	0,11	<b>0,21</b>	0,18	<b>0,22</b>	<b>0,22</b>	0,16	<b>0,22</b>	<b>0,21</b>	<b>0,29</b>	0,21	<b>0,27</b>
OBGK3	0,19	0,14	0,15	0,11	0,16	<b>0,22</b>	<b>0,23</b>	0,15	<b>0,23</b>	<b>0,21</b>	<b>0,27</b>	<b>0,26</b>	<b>0,30</b>	0,23	<b>0,28</b>
PSG	0,18	<b>0,28</b>	0,10	-0,03	0,11	<b>0,28</b>	<b>0,22</b>	0,03	0,00	<b>0,22</b>	<b>0,25</b>	<b>0,23</b>	<b>0,27</b>	0,17	<b>0,24</b>
PNG	<b>0,22</b>	0,15	0,06	0,08	0,15	<b>0,22</b>	0,13	0,15	0,03	0,17	<b>0,21</b>	<b>0,22</b>	<b>0,25</b>	<b>0,28</b>	<b>0,28</b>
SGK	0,10	0,04	0,02	0,04	0,09	0,20	0,12	0,14	0,13	0,09	0,16	0,14	0,21	<b>0,25</b>	<b>0,25</b>
ACR	-0,04	0,12	0,09	0,13	0,00	0,10	0,15	0,17	0,09	0,08	0,12	0,11	0,13	0,00	0,07
SPIN	0,15	<b>0,21</b>	0,09	-0,02	0,12	<b>0,27</b>	0,06	0,02	0,08	0,19	0,19	<b>0,21</b>	<b>0,32</b>	<b>0,27</b>	<b>0,31</b>
CR2S	0,13	0,08	0,01	0,14	0,06	0,16	0,13	0,20	0,13	0,09	0,16	0,15	<b>0,27</b>	0,21	<b>0,26</b>
TROCH	0,16	0,11	0,10	-0,02	0,09	0,18	0,18	0,05	-0,03	0,13	0,19	0,17	0,23	0,21	<b>0,24</b>
CONJ	0,13	0,10	<b>0,23</b>	0,11	0,17	0,17	<b>0,21</b>	0,09	0,15	0,20	<b>0,26</b>	<b>0,28</b>	<b>0,33</b>	<b>0,31</b>	<b>0,34</b>
GZPL	-0,01	0,10	-0,05	0,20	-0,11	0,11	-0,08	<b>0,26</b>	0,03	-0,01	-0,05	-0,03	<b>0,25</b>	0,16	0,22
GPPL	-0,01	0,11	0,00	0,07	-0,13	0,12	-0,02	0,15	0,08	0,03	-0,02	0,01	0,20	0,11	0,17
GPR	-0,03	0,06	-0,10	0,09	<b>-0,21</b>	0,01	-0,18	0,17	0,04	-0,04	-0,16	-0,08	0,21	0,10	0,16
GL	0,18	0,16	0,03	0,09	0,09	<b>0,22</b>	0,10	0,13	0,15	0,15	0,18	0,18	<b>0,24</b>	<b>0,30</b>	<b>0,29</b>
GGR	0,03	-0,02	-0,07	-0,10	-0,14	-0,03	-0,15	-0,07	-0,06	-0,05	-0,14	-0,09	0,11	0,01	0,06
GG	0,17	0,13	<b>0,26</b>	-0,02	0,18	0,19	<b>0,34</b>	0,00	<b>0,39</b>	<b>0,24</b>	<b>0,31</b>	<b>0,29</b>	0,18	0,17	0,19



Продовження табл. В.2

1	2	3	4	5	6	7	8	9	10	11	12	13	14	15	16
GB	<b>0,22</b>	0,18	0,17	0,08	0,12	<b>0,22</b>	<b>0,25</b>	0,12	<b>0,25</b>	<b>0,23</b>	<b>0,26</b>	<b>0,26</b>	0,23	0,21	<b>0,23</b>
GBD	0,12	0,04	0,14	0,05	0,18	<b>0,23</b>	0,19	0,05	<b>0,24</b>	0,13	<b>0,25</b>	<b>0,22</b>	0,08	0,11	0,10
GGL	0,10	0,03	0,18	0,07	0,16	<b>0,21</b>	0,17	0,08	0,20	0,13	<b>0,21</b>	0,20	0,21	0,22	0,23
FX	0,16	0,15	0,07	0,13	0,04	<b>0,22</b>	0,14	0,17	0,17	0,14	0,16	0,17	<b>0,26</b>	<b>0,25</b>	<b>0,27</b>
MX	-0,02	-0,09	<b>0,21</b>	-0,03	0,05	0,01	<b>0,26</b>	-0,03	<b>0,25</b>	0,07	0,16	0,15	0,09	0,15	0,13
LX	-0,03	0,00	<b>-0,32</b>	0,07	-0,12	-0,12	<b>-0,39</b>	0,05	<b>-0,28</b>	-0,17	<b>-0,28</b>	<b>-0,26</b>	-0,19	<b>-0,25</b>	<b>-0,24</b>
SOMAT	-0,02	0,15	-0,18	-0,02	-0,02	0,00	-0,11	0,01	-0,06	-0,07	-0,05	-0,08	-0,03	-0,09	-0,07
MM	0,07	0,12	<b>0,32</b>	0,06	0,15	0,17	<b>0,33</b>	0,06	<b>0,24</b>	<b>0,22</b>	<b>0,28</b>	<b>0,27</b>	0,20	<b>0,23</b>	0,23
OM	-0,05	0,13	0,00	0,08	-0,07	0,13	-0,01	0,10	0,14	0,00	0,00	0,00	0,00	-0,03	-0,02
DM	0,14	0,15	0,16	0,11	0,09	<b>0,23</b>	0,18	0,16	<b>0,26</b>	0,18	<b>0,21</b>	<b>0,22</b>	<b>0,29</b>	<b>0,26</b>	<b>0,29</b>
MA	0,09	0,07	<b>0,30</b>	0,03	0,17	0,15	<b>0,31</b>	0,00	<b>0,22</b>	<b>0,21</b>	<b>0,28</b>	<b>0,27</b>	0,14	0,17	0,17

Таблиця В.3

**Кореляції сонографічних параметрів щитоподібної залози з антропометричними та соматотипологічними показниками тіла у здорових міських чоловіків від 22 до 25 років**

Антропол. показники	Сонографічні параметри														
	R_SH	R_DL	R_WS	R_DSZ	L_SH	L_DL	L_WS	L_DSZ	I	V_R	V_L	V_RL	S_R	S_L	S_RL
1	2	3	4	5	6	7	8	9	10	11	12	13	14	15	16
OB_GL	0,18	0,17	0,05	-0,09	0,06	0,04	-0,13	-0,14	0,12	0,12	0,01	0,03	0,13	-0,01	0,05
B_DL_GL	0,02	<b>0,25</b>	0,04	-0,17	0,05	0,19	0,03	-0,10	0,09	0,07	0,13	0,09	0,08	0,09	0,08
N_SH_GL	-0,13	-0,09	-0,20	-0,14	-0,10	-0,15	<b>-0,27</b>	-0,09	0,12	-0,17	-0,17	-0,18	-0,12	-0,23	-0,20
SH_N_CH	0,02	-0,13	-0,09	<b>-0,40</b>	0,03	-0,17	-0,08	<b>-0,41</b>	<b>0,24</b>	-0,04	0,00	0,02	-0,06	-0,10	-0,10
SAG_DUG	0,00	-0,07	-0,10	0,16	-0,04	-0,11	-0,16	0,13	-0,09	-0,14	-0,11	-0,16	-0,13	-0,07	-0,11

Продовження табл. В.3

1	2	3	4	5	6	7	8	9	10	11	12	13	14	15	16
B_SH_GL	0,09	0,03	0,01	-0,15	0,13	0,03	0,01	-0,21	<b>0,36</b>	0,08	0,08	0,13	0,06	0,02	0,03
SH_LICA	0,02	-0,04	-0,05	-0,14	0,05	-0,08	-0,06	-0,15	<b>0,31</b>	0,01	-0,02	0,04	-0,06	-0,12	-0,12
W	0,09	0,02	0,03	-0,10	0,03	-0,03	-0,06	0,00	0,15	0,03	0,02	-0,01	0,05	0,03	0,04
H	<b>0,25</b>	0,02	0,05	0,03	0,17	0,05	-0,03	0,07	0,14	0,15	0,11	0,16	0,13	0,07	0,10
ATND	<b>0,26</b>	0,00	0,02	0,11	0,20	0,04	-0,03	0,22	0,07	0,11	0,11	0,16	0,07	0,06	0,08
ATL	0,00	0,07	-0,05	0,18	0,04	0,04	-0,13	<b>0,29</b>	-0,04	-0,02	-0,05	0,02	-0,01	-0,09	-0,04
ATPL	0,22	-0,03	-0,04	0,12	0,19	0,00	-0,05	0,18	0,04	0,07	0,09	0,10	0,01	0,03	0,03
ATP	0,15	-0,09	0,00	0,17	0,16	0,07	0,08	0,20	0,15	0,02	0,09	0,05	0,04	0,09	0,07
ATV	0,01	0,15	0,05	0,04	0,05	0,05	-0,14	0,18	-0,09	0,05	0,00	0,06	0,07	-0,04	0,02
EPPL	-0,04	0,00	-0,10	0,03	-0,03	0,07	-0,16	0,19	0,04	-0,10	-0,08	-0,12	-0,13	-0,01	-0,07
EPPR	0,05	-0,09	0,14	0,01	-0,01	0,03	0,06	0,05	<b>0,30</b>	0,02	0,02	0,05	0,07	0,08	0,09
EPB	0,05	-0,16	-0,03	-0,22	0,02	-0,08	-0,05	-0,13	0,16	-0,07	-0,04	-0,12	-0,16	-0,05	-0,10
EPG	0,22	0,16	<b>0,25</b>	-0,09	<b>0,31</b>	0,15	0,15	-0,13	<b>0,31</b>	0,23	<b>0,25</b>	<b>0,26</b>	<b>0,25</b>	0,18	0,23
OBPL1	0,06	-0,06	-0,05	-0,07	0,00	-0,15	-0,13	0,00	0,10	-0,06	-0,06	-0,11	-0,09	-0,06	-0,09
OBPL2	0,14	-0,06	0,03	-0,06	0,03	-0,07	-0,02	-0,04	0,20	0,02	0,02	-0,02	-0,01	0,05	0,02
OBPR1	0,11	-0,06	0,02	-0,13	0,00	-0,11	-0,05	-0,06	<b>0,28</b>	0,00	-0,02	-0,06	-0,02	-0,03	-0,03
OBPR2	0,14	-0,10	0,13	-0,06	0,06	-0,13	-0,04	0,05	<b>0,40</b>	0,04	-0,03	0,03	0,03	-0,04	0,00
OBB	0,23	0,08	0,12	-0,19	0,14	0,05	0,07	-0,17	0,19	0,16	0,16	0,11	0,14	0,11	0,14
OBG1	0,21	0,14	0,23	-0,16	0,13	0,04	0,13	-0,13	<b>0,27</b>	0,22	0,16	0,12	<b>0,24</b>	0,13	0,20
OBG2	<b>0,26</b>	0,06	0,20	-0,05	0,16	-0,03	0,07	-0,08	<b>0,31</b>	0,21	0,11	0,13	0,23	0,09	0,17
OBSH	0,06	-0,04	-0,01	-0,16	-0,01	-0,06	-0,12	-0,06	0,12	-0,03	-0,03	0,00	-0,03	-0,07	-0,06
OBT	0,16	0,07	0,05	<b>-0,25</b>	0,08	0,08	-0,03	-0,13	0,14	0,09	0,08	0,07	0,09	0,06	0,07
OBBB	0,05	0,05	0,09	-0,02	0,02	0,05	0,02	-0,02	0,16	0,06	0,04	0,01	0,11	0,07	0,10

Продовження табл. В.3

1	2	3	4	5	6	7	8	9	10	11	12	13	14	15	16
OBK	0,15	-0,10	0,15	<b>-0,24</b>	0,09	-0,15	-0,08	-0,03	<b>0,26</b>	0,08	0,02	0,08	0,00	-0,10	-0,06
OBS	<b>0,25</b>	0,16	0,18	-0,17	0,21	0,11	0,01	-0,11	0,19	<b>0,26</b>	0,20	0,23	0,23	0,15	0,21
OBGK1	0,00	0,04	0,01	-0,12	-0,05	-0,03	-0,13	0,01	0,11	-0,02	-0,04	-0,07	0,02	-0,01	0,00
OBGK2	-0,04	0,02	-0,05	-0,10	-0,10	-0,05	-0,19	0,04	0,08	-0,08	-0,10	-0,11	-0,02	-0,05	-0,04
OBGK3	0,03	0,00	-0,01	-0,16	0,02	-0,09	-0,10	-0,01	0,12	-0,05	-0,01	-0,05	-0,01	-0,03	-0,03
PSG	-0,02	-0,01	-0,13	-0,20	-0,10	-0,13	-0,18	-0,10	0,18	-0,09	-0,13	-0,11	-0,01	-0,12	-0,08
PNG	0,15	<b>0,31</b>	0,16	<b>-0,43</b>	0,13	0,20	0,06	<b>-0,32</b>	0,21	0,20	0,18	0,24	<b>0,28</b>	0,15	0,23
SGK	0,06	0,06	-0,03	0,09	-0,02	0,13	-0,08	0,14	-0,04	0,01	-0,01	-0,05	0,03	0,09	0,05
ACR	-0,16	-0,10	-0,14	-0,03	-0,13	-0,14	-0,18	0,03	-0,02	-0,20	-0,15	-0,21	-0,20	-0,10	-0,17
SPIN	-0,07	0,07	-0,04	-0,03	-0,03	0,04	-0,10	0,08	0,02	-0,03	0,00	0,06	0,02	0,02	0,02
CR2S	-0,02	0,21	0,12	-0,14	0,04	0,17	-0,02	-0,02	0,06	0,09	0,09	0,12	0,15	0,09	0,13
TROCH	0,21	0,20	0,25	-0,14	0,21	0,14	0,07	-0,04	<b>0,32</b>	<b>0,25</b>	0,20	<b>0,27</b>	<b>0,31</b>	0,17	0,26
GZPL	-0,22	-0,07	-0,22	<b>0,26</b>	<b>-0,32</b>	0,00	<b>-0,28</b>	<b>0,31</b>	-0,17	-0,23	<b>-0,26</b>	-0,23	-0,16	-0,11	-0,14
GPPL	<b>-0,24</b>	-0,14	<b>-0,27</b>	<b>0,42</b>	<b>-0,33</b>	-0,12	<b>-0,34</b>	<b>0,44</b>	<b>-0,31</b>	<b>-0,29</b>	<b>-0,34</b>	<b>-0,32</b>	-0,22	-0,19	-0,22
GPR	<b>-0,25</b>	-0,16	<b>-0,24</b>	<b>0,47</b>	<b>-0,31</b>	-0,11	<b>-0,27</b>	<b>0,50</b>	<b>-0,32</b>	<b>-0,29</b>	<b>-0,31</b>	<b>-0,30</b>	-0,22	-0,16	-0,20
GL	-0,04	0,05	-0,01	-0,03	-0,08	0,01	-0,15	-0,01	-0,07	-0,04	-0,12	-0,05	0,00	-0,07	-0,03
GGR	-0,11	-0,16	<b>-0,24</b>	<b>0,35</b>	-0,23	-0,14	-0,19	<b>0,35</b>	-0,17	-0,22	-0,23	-0,23	-0,18	-0,11	-0,15
GG	-0,11	-0,02	-0,04	-0,08	-0,16	-0,02	-0,16	-0,04	-0,13	-0,11	-0,13	-0,14	-0,13	-0,11	-0,12
GB	-0,17	0,00	-0,14	0,11	<b>-0,24</b>	-0,01	-0,20	0,17	-0,24	-0,16	-0,21	-0,18	-0,10	-0,14	-0,12
GBD	-0,11	-0,06	-0,17	-0,09	-0,12	0,03	-0,23	-0,10	-0,07	-0,15	-0,17	-0,19	-0,18	-0,16	-0,18
GGL	-0,05	-0,04	-0,09	-0,02	-0,11	0,01	-0,17	-0,03	-0,04	-0,12	-0,16	-0,20	-0,14	-0,14	-0,14
FX	-0,14	0,02	-0,12	0,12	-0,21	0,00	-0,22	0,15	-0,18	-0,13	-0,20	-0,15	-0,08	-0,12	-0,10
MX	-0,05	-0,01	0,01	-0,12	-0,07	-0,08	-0,02	-0,05	0,09	-0,06	-0,05	-0,14	-0,03	-0,03	-0,04

Продовження табл. В.3

1	2	3	4	5	6	7	8	9	10	11	12	13	14	15	16
LX	0,06	0,01	0,03	0,07	0,10	0,07	0,07	0,00	-0,06	0,07	0,05	0,12	0,04	0,01	0,03
SOMAT	-0,12	0,05	0,04	0,06	-0,07	0,03	0,07	0,03	-0,20	0,00	0,01	0,10	0,08	-0,01	0,05
MM	<b>0,27</b>	0,07	0,17	-0,16	0,16	-0,03	0,13	-0,12	<b>0,28</b>	0,20	0,18	0,13	0,15	0,12	0,15
OM	0,11	0,01	0,08	-0,12	0,12	0,08	-0,02	-0,01	0,22	0,05	0,07	0,05	0,06	0,07	0,08
DM	-0,07	-0,05	-0,11	0,05	-0,16	-0,02	-0,23	0,09	-0,10	-0,12	-0,18	-0,16	-0,11	-0,11	-0,11
MA	0,21	0,01	0,09	-0,16	0,19	-0,10	-0,01	-0,11	0,18	0,09	0,09	0,05	0,03	0,03	0,02

Таблиця В.4

**Кореляції сонографічних параметрів щитоподібної залози з антропометричними та соматотипологічними показниками тіла у здорових міських жінок від 21 до 25 років**

Антропол. показники	Сонографічні параметри														
	R_SH	R_DL	R_WS	R_DSZ	L_SH	L_DL	L_WS	L_DSZ	I	V_R	V_L	V_RL	S_R	S_L	S_RL
1	2	3	4	5	6	7	8	9	10	11	12	13	14	15	16
OB_GL	0,08	0,09	-0,02	-0,08	0,06	0,16	-0,05	0,00	-0,02	0,11	0,06	0,11	0,08	0,03	0,03
B_DL_GL	0,24	0,22	0,03	-0,04	0,21	<b>0,32</b>	0,19	-0,02	0,21	0,27	<b>0,37</b>	<b>0,35</b>	0,20	0,27	0,23
N_SH_GL	0,04	-0,02	0,09	-0,06	0,07	0,10	0,05	-0,08	0,09	0,09	0,15	0,14	0,01	0,04	0,00
SH_N_CH	0,22	-0,25	0,23	-0,17	0,21	-0,06	0,25	-0,16	0,05	0,20	0,21	0,22	-0,08	0,06	-0,03
SAG_DUG	0,06	<b>0,28</b>	-0,11	0,01	-0,01	0,24	0,02	0,04	0,07	0,06	0,09	0,09	0,19	0,27	0,25
B_SH_GL	0,03	-0,08	-0,03	-0,27	0,00	0,00	0,00	-0,20	-0,15	0,02	0,00	0,01	-0,04	-0,01	-0,06
SH_LICA	0,25	-0,09	<b>0,27</b>	-0,02	0,17	-0,04	0,14	-0,03	0,14	0,25	0,16	0,22	0,05	0,06	0,02
W	0,01	0,20	0,18	0,09	0,10	<b>0,31</b>	0,25	0,11	0,23	0,20	<b>0,34</b>	<b>0,29</b>	0,25	0,28	0,24
H	0,07	<b>0,28</b>	-0,09	<b>0,34</b>	0,12	<b>0,32</b>	-0,10	<b>0,38</b>	0,14	0,09	0,11	0,10	0,19	0,17	0,17
ATND	0,01	<b>0,29</b>	-0,10	<b>0,33</b>	0,04	<b>0,30</b>	-0,13	<b>0,38</b>	0,16	0,04	0,05	0,04	0,17	0,15	0,15

Продовження табл. В.4

1	2	3	4	5	6	7	8	9	10	11	12	13	14	15	16
ATL	0,15	0,25	0,00	0,17	0,11	0,24	0,01	0,26	0,26	0,14	0,11	0,14	0,25	0,14	0,19
ATPL	0,06	0,24	-0,04	0,31	0,13	0,23	-0,09	<b>0,37</b>	0,19	0,09	0,10	0,10	0,16	0,11	0,12
ATP	-0,01	0,14	-0,15	0,23	0,07	0,17	-0,07	<b>0,30</b>	0,06	-0,02	0,07	0,02	0,01	0,11	0,05
ATV	0,04	0,26	-0,11	0,11	0,08	0,16	-0,12	0,21	<b>0,27</b>	0,08	0,08	0,10	0,14	0,06	0,10
EPPL	0,01	0,16	-0,10	0,08	-0,01	0,09	0,00	0,14	0,25	0,01	0,07	0,05	0,07	0,03	0,01
EPPR	-0,04	0,07	0,01	0,14	-0,03	0,01	0,01	0,19	0,10	-0,03	0,01	0,00	0,09	0,04	0,03
EPB	-0,14	-0,04	0,02	-0,04	-0,05	-0,02	0,05	-0,03	<b>0,34</b>	-0,05	0,07	0,02	0,00	-0,01	-0,03
EPG	-0,21	0,16	-0,04	0,12	-0,10	0,10	-0,01	0,13	0,12	-0,16	-0,03	-0,10	0,07	0,13	0,07
OBPL1	-0,11	0,02	0,12	-0,07	-0,06	0,06	0,24	-0,06	0,08	0,07	0,19	0,13	0,07	0,11	0,05
OBPL2	-0,12	0,03	0,16	-0,12	-0,03	0,10	0,25	-0,12	0,10	0,08	0,22	0,15	0,08	0,15	0,08
OBPR1	-0,05	0,02	0,25	-0,09	0,12	0,18	<b>0,33</b>	-0,10	0,11	0,15	<b>0,36</b>	0,27	0,08	0,18	0,10
OBPR2	0,14	0,13	0,14	-0,04	0,26	0,14	0,13	-0,05	0,07	0,20	<b>0,31</b>	0,27	0,04	0,22	0,11
OBBS	-0,07	0,07	0,26	-0,10	0,08	0,25	<b>0,37</b>	-0,13	0,18	0,12	<b>0,34</b>	0,24	0,19	<b>0,30</b>	0,23
OBG1	0,06	0,07	0,23	0,02	0,19	0,20	<b>0,29</b>	-0,05	0,17	0,14	<b>0,33</b>	0,25	0,17	0,26	0,20
OBG2	0,01	0,08	0,11	-0,04	0,12	0,03	0,06	-0,05	0,00	0,07	0,13	0,09	0,02	0,07	0,02
OBBSH	0,04	0,13	0,09	-0,05	0,10	0,18	0,12	0,01	0,23	0,14	0,24	0,19	0,13	0,15	0,11
OBBS	0,13	0,14	0,24	-0,01	0,17	<b>0,30</b>	<b>0,31</b>	0,05	0,19	<b>0,29</b>	<b>0,41</b>	<b>0,37</b>	0,23	<b>0,32</b>	0,26
OBBSB	0,08	0,14	0,25	0,00	0,12	<b>0,27</b>	<b>0,40</b>	0,02	0,17	0,22	<b>0,39</b>	<b>0,32</b>	0,24	<b>0,31</b>	0,27
OBBSK	0,09	0,04	0,25	-0,05	0,17	0,13	<b>0,29</b>	-0,05	0,10	0,20	<b>0,30</b>	<b>0,27</b>	0,14	0,21	0,18
OBBS	0,05	0,16	-0,16	0,05	0,09	0,11	0,02	-0,01	0,10	-0,03	0,13	0,07	0,02	0,07	0,04
OBBSK1	-0,04	0,20	0,02	0,07	0,05	0,25	0,11	0,08	0,18	0,06	0,25	0,16	0,16	0,19	0,15
OBBSK2	-0,10	0,17	-0,08	0,18	-0,04	0,19	0,02	0,25	0,14	-0,03	0,13	0,06	0,09	0,05	0,04
OBBSK3	-0,05	0,19	0,02	0,05	0,04	0,21	0,11	0,11	0,17	0,06	0,23	0,16	0,13	0,15	0,12

Продовження табл. В.4

1	2	3	4	5	6	7	8	9	10	11	12	13	14	15	16
PSG	0,08	0,18	-0,06	0,08	0,04	0,22	0,09	0,15	0,08	0,10	0,19	0,16	0,22	0,13	0,14
PNG	0,17	0,09	-0,10	0,12	0,19	0,21	0,13	0,19	0,09	0,12	0,24	0,19	0,07	0,18	0,11
SGK	-0,01	0,21	0,01	0,07	-0,02	<b>0,32</b>	0,17	0,18	<b>0,28</b>	0,09	0,21	0,16	0,20	0,27	0,26
ACR	-0,08	0,09	0,10	0,18	0,03	0,04	0,04	0,20	0,17	0,04	0,07	0,06	0,21	0,02	0,09
SPIN	0,22	0,21	0,00	0,11	0,19	<b>0,32</b>	0,19	0,16	0,10	0,21	<b>0,32</b>	0,26	0,27	<b>0,31</b>	<b>0,29</b>
CR2S	0,13	0,25	-0,08	0,04	0,05	0,24	0,13	0,11	0,11	0,10	0,22	0,16	<b>0,29</b>	0,24	0,26
TROCH	0,15	0,09	0,06	0,07	0,14	0,24	0,21	0,14	0,03	0,13	<b>0,28</b>	0,20	0,18	0,22	0,18
CONJ	0,02	0,20	0,12	0,05	0,08	0,23	0,14	0,09	0,06	0,14	0,22	0,19	0,24	0,19	0,19
GZPL	-0,09	0,25	0,04	<b>0,33</b>	-0,18	0,15	0,11	<b>0,44</b>	0,14	0,04	-0,01	0,02	0,28	0,13	0,19
GPPL	-0,11	0,20	0,04	0,18	-0,26	0,16	0,18	<b>0,30</b>	0,15	0,06	0,04	0,06	0,27	0,14	0,19
GPR	-0,03	<b>0,34</b>	0,07	0,26	-0,23	0,24	0,06	<b>0,35</b>	0,19	0,13	0,00	0,07	<b>0,37</b>	0,12	0,23
GL	0,03	0,23	-0,08	0,00	-0,09	0,22	0,18	0,09	0,12	0,12	0,18	0,16	0,23	0,27	0,23
GGR	-0,12	0,04	-0,01	0,08	<b>-0,31</b>	-0,08	-0,06	0,11	0,15	-0,03	-0,14	-0,09	0,10	-0,15	-0,07
GG	-0,11	0,06	0,03	-0,10	-0,09	-0,02	0,11	-0,06	<b>0,31</b>	0,00	0,05	0,02	0,01	0,03	0,02
GB	-0,05	0,21	0,00	0,09	-0,11	0,13	0,11	0,17	0,22	0,10	0,10	0,10	0,21	0,17	0,19
GBD	0,02	0,11	0,06	-0,02	0,20	0,14	0,16	0,00	<b>0,29</b>	0,10	<b>0,31</b>	0,21	0,03	0,18	0,12
GGL	0,02	0,07	0,18	0,03	0,13	0,14	0,22	0,04	0,28	0,14	0,26	0,20	0,11	0,15	0,13
FX	-0,03	0,26	-0,02	0,14	-0,13	0,20	0,14	0,23	0,17	0,12	0,12	0,13	0,26	0,22	0,23
MX	-0,15	-0,11	0,14	-0,23	-0,06	-0,09	0,24	-0,26	0,12	-0,04	0,13	0,05	-0,04	0,01	-0,04
LX	0,14	0,03	-0,22	0,20	0,04	-0,04	<b>-0,32</b>	0,21	-0,07	-0,04	-0,23	-0,14	-0,08	-0,12	-0,08
SOMAT	-0,04	0,12	-0,17	0,02	-0,07	-0,06	-0,20	0,10	-0,04	-0,02	-0,12	-0,07	0,09	-0,07	0,02
MM	-0,02	0,05	0,24	-0,06	0,14	0,24	<b>0,31</b>	-0,09	0,11	0,15	<b>0,35</b>	0,26	0,15	0,27	0,19
OM	-0,25	0,08	-0,11	0,15	-0,16	0,08	-0,11	0,18	<b>0,29</b>	-0,18	-0,07	-0,12	-0,02	-0,06	-0,08

Продовження табл. В.4

1	2	3	4	5	6	7	8	9	10	11	12	13	14	15	16
DM	0,01	0,20	0,05	0,14	-0,01	0,22	0,19	0,21	0,25	0,16	0,23	0,20	0,19	0,21	0,19
MA	-0,06	-0,03	0,12	-0,11	0,04	0,11	0,22	-0,11	0,08	0,10	0,25	0,17	0,03	0,12	0,04

Таблиця В.5

**Кореляції сонографічних параметрів щитоподібної залози з антропометричними та соматотипологічними показниками тіла у здорових міських чоловіків від 26 до 35 років**

Антропол. показники	Сонографічні параметри														
	R_SH	R_DL	R_WS	R_DSZ	L_SH	L_DL	L_WS	L_DSZ	I	V_R	V_L	V_RL	S_R	S_L	S_RL
1	2	3	4	5	6	7	8	9	10	11	12	13	14	15	16
OB_GL	<b>0,47</b>	0,14	0,25	-0,25	<b>0,47</b>	<b>0,28</b>	0,26	-0,22	0,26	<b>0,41</b>	<b>0,45</b>	<b>0,45</b>	0,15	0,08	0,08
B_DL_GL	0,28	0,10	0,13	-0,12	0,21	0,28	0,20	-0,13	0,11	0,27	<b>0,31</b>	<b>0,30</b>	0,04	0,19	0,08
N_SH_GL	0,12	0,15	0,12	0,13	0,21	0,18	0,13	0,12	-0,22	0,12	0,20	0,18	0,06	0,09	0,11
SH_N_CH	0,21	-0,09	0,12	<b>-0,33</b>	<b>0,33</b>	0,02	<b>0,35</b>	<b>-0,34</b>	<b>0,34</b>	0,14	0,28	0,24	0,12	0,26	0,16
SAG_DUG	0,25	-0,09	0,01	<b>-0,34</b>	0,14	0,09	0,23	<b>-0,32</b>	<b>0,33</b>	0,12	0,17	0,16	-0,05	0,10	-0,01
B_SH_GL	-0,04	-0,05	-0,16	-0,19	0,07	-0,04	-0,22	-0,16	-0,16	-0,03	-0,07	-0,06	-0,29	<b>-0,34</b>	<b>-0,38</b>
SH_LICA	0,06	-0,18	0,12	<b>-0,29</b>	0,20	0,00	<b>0,33</b>	-0,22	0,06	-0,04	0,22	0,11	-0,07	0,10	0,01
W	<b>0,51</b>	0,13	0,26	-0,26	<b>0,59</b>	0,24	0,15	-0,22	<b>0,32</b>	<b>0,37</b>	<b>0,41</b>	<b>0,39</b>	<b>0,35</b>	0,23	<u>0,30</u>
H	0,16	0,09	0,02	-0,21	0,17	0,20	0,07	-0,18	0,21	0,11	0,18	0,15	0,25	<u>0,30</u>	0,28
ATND	0,22	0,13	0,07	-0,15	0,23	0,21	0,11	-0,15	0,22	0,18	0,23	0,21	0,28	<u>0,32</u>	<u>0,31</u>
ATL	0,22	0,18	0,06	-0,11	0,22	<b>0,29</b>	0,13	-0,06	0,14	0,21	0,28	0,26	0,23	0,27	0,23
ATPL	0,19	0,11	0,12	-0,18	0,22	0,20	0,12	-0,16	0,25	0,19	0,24	0,22	0,28	0,28	0,29
ATP	0,25	0,27	0,14	-0,02	0,27	<b>0,32</b>	0,10	0,02	0,18	0,28	0,27	0,28	<b>0,44</b>	<b>0,46</b>	<b>0,50</b>
ATV	0,02	0,00	-0,04	-0,13	0,04	0,17	0,05	-0,10	0,15	0,02	0,12	0,09	0,04	0,17	0,08

Продовження табл. В.5

1	2	3	4	5	6	7	8	9	10	11	12	13	14	15	16
EPPL	-0,05	<b>0,29</b>	0,04	0,00	0,07	0,24	0,05	-0,02	-0,02	0,12	0,09	0,09	0,14	0,17	0,16
EPPR	0,07	<b>0,28</b>	0,14	-0,21	0,19	0,22	0,19	-0,19	0,18	0,27	0,21	0,27	0,29	0,18	0,22
EPB	0,24	0,13	-0,01	0,00	<b>0,32</b>	0,20	0,10	0,06	0,05	0,19	0,28	0,23	0,12	0,10	0,08
EPG	0,06	0,09	0,00	-0,01	0,20	0,15	-0,03	-0,04	0,11	0,12	0,10	0,14	-0,01	0,01	-0,03
OBPL1	<b>0,34</b>	0,15	0,20	-0,17	<b>0,45</b>	0,21	0,12	-0,19	0,14	0,28	<b>0,31</b>	<b>0,29</b>	0,24	0,15	0,18
OBPL2	<b>0,37</b>	0,19	0,27	-0,21	<b>0,48</b>	0,22	0,17	-0,22	0,22	<b>0,32</b>	<b>0,35</b>	<b>0,33</b>	<u>0,32</u>	0,14	0,22
OBPR1	<b>0,37</b>	0,14	0,20	-0,16	<b>0,39</b>	0,16	0,15	-0,13	0,28	<b>0,29</b>	0,27	0,27	0,28	0,15	0,22
OBPR2	0,23	<b>0,33</b>	0,23	-0,20	<b>0,34</b>	<b>0,32</b>	<b>0,32</b>	-0,17	0,05	<b>0,39</b>	<b>0,42</b>	<b>0,43</b>	0,22	0,20	0,21
OBB	<b>0,40</b>	0,10	0,15	-0,14	<b>0,50</b>	0,15	0,04	-0,14	<b>0,29</b>	<b>0,29</b>	<b>0,29</b>	<b>0,29</b>	0,17	0,01	0,08
OBG1	<b>0,34</b>	0,06	0,15	<b>-0,29</b>	<b>0,50</b>	0,17	0,26	-0,27	0,25	0,26	<b>0,39</b>	<b>0,34</b>	0,21	0,20	0,19
OBG2	<b>0,43</b>	0,11	0,24	-0,23	<b>0,61</b>	0,22	0,26	-0,21	0,18	<b>0,37</b>	<b>0,45</b>	<b>0,44</b>	0,21	0,23	0,22
OBSH	<b>0,38</b>	0,27	<b>0,29</b>	-0,12	<b>0,48</b>	<b>0,29</b>	<b>0,31</b>	-0,11	0,19	<b>0,39</b>	<b>0,43</b>	<b>0,40</b>	<u>0,32</u>	0,16	0,24
OBT	<b>0,46</b>	0,08	<b>0,35</b>	<b>-0,30</b>	<b>0,58</b>	0,18	0,19	-0,25	<b>0,30</b>	<b>0,38</b>	<b>0,44</b>	<b>0,42</b>	<u>0,30</u>	0,19	0,26
OBBS	<b>0,34</b>	-0,07	0,08	<b>-0,39</b>	<b>0,43</b>	0,10	0,12	<b>-0,36</b>	<b>0,32</b>	0,18	0,26	0,23	0,11	0,08	0,07
OBK	<b>0,48</b>	<b>0,29</b>	<b>0,31</b>	<b>-0,30</b>	<b>0,53</b>	<b>0,33</b>	<b>0,46</b>	-0,26	<b>0,53</b>	<b>0,50</b>	<b>0,52</b>	<b>0,52</b>	<b>0,52</b>	<b>0,51</b>	<b>0,52</b>
OBS	0,14	0,20	0,13	-0,01	0,21	0,20	0,26	0,03	0,26	0,23	<b>0,31</b>	<b>0,30</b>	0,21	0,29	0,28
OBGK1	<b>0,53</b>	0,13	<b>0,29</b>	-0,18	<b>0,55</b>	0,22	0,17	-0,14	0,18	<b>0,38</b>	<b>0,42</b>	<b>0,41</b>	<u>0,31</u>	0,20	0,25
OBGK2	<b>0,54</b>	0,06	<b>0,28</b>	-0,22	<b>0,56</b>	0,21	0,21	-0,16	0,27	<b>0,37</b>	<b>0,44</b>	<b>0,42</b>	<b>0,33</b>	0,26	<u>0,32</u>
OBGK3	<b>0,52</b>	0,10	0,24	-0,20	<b>0,57</b>	0,23	0,19	-0,16	0,21	<b>0,37</b>	<b>0,44</b>	<b>0,41</b>	0,28	0,20	0,24
PSG	0,27	0,04	0,15	-0,26	<b>0,31</b>	0,09	0,00	-0,17	0,00	0,21	0,18	0,18	0,02	-0,05	0,01
PNG	0,12	0,03	0,06	-0,22	0,20	0,10	-0,03	-0,14	-0,09	0,13	0,14	0,13	0,03	-0,07	0,02
SGK	<b>0,28</b>	0,19	<b>0,47</b>	-0,18	<b>0,38</b>	0,21	<b>0,41</b>	-0,13	0,28	<b>0,33</b>	<b>0,42</b>	<b>0,40</b>	<b>0,60</b>	<b>0,54</b>	<b>0,60</b>
ACR	0,18	0,04	0,15	<b>-0,31</b>	0,12	0,13	0,12	-0,27	0,24	0,17	0,17	0,17	0,24	0,10	0,14



Продовження табл. В.5

1	2	3	4	5	6	7	8	9	10	11	12	13	14	15	16
SPIN	0,24	-0,02	0,08	-0,26	<b>0,33</b>	0,01	-0,05	-0,21	0,09	0,14	0,12	0,14	-0,10	-0,16	-0,17
CR2S	0,08	0,15	0,04	-0,21	0,23	0,18	-0,01	-0,22	-0,05	0,15	0,14	0,16	0,03	0,01	0,02
TROCH	<b>0,31</b>	-0,04	0,12	<b>-0,39</b>	<b>0,41</b>	0,05	0,13	<b>-0,39</b>	0,28	0,20	0,23	0,24	0,18	0,15	0,17
GZPL	<b>0,30</b>	<b>0,29</b>	0,13	<b>0,29</b>	0,20	0,21	-0,18	<b>0,32</b>	-0,19	0,28	0,10	0,18	0,10	-0,04	0,09
GPPL	<b>0,36</b>	-0,08	0,00	-0,10	0,21	0,10	-0,06	-0,01	0,00	0,11	0,10	0,09	-0,10	-0,01	-0,05
GPR	<b>0,47</b>	0,01	0,00	-0,02	<b>0,33</b>	0,18	0,00	0,03	0,21	0,23	0,24	0,25	0,00	0,09	0,02
GL	<b>0,44</b>	-0,08	0,11	-0,19	<b>0,37</b>	0,12	-0,03	-0,06	<b>0,32</b>	0,18	0,18	0,19	0,10	0,07	0,08
GGR	<b>0,29</b>	-0,14	-0,12	-0,12	0,18	-0,07	-0,18	-0,04	0,08	0,02	-0,03	-0,01	-0,11	-0,15	-0,11
GG	0,23	0,00	0,13	-0,13	0,28	0,17	-0,01	-0,06	0,25	0,16	0,18	0,19	0,22	0,23	0,23
GB	0,17	0,27	0,12	0,16	0,20	0,26	-0,13	0,19	0,06	0,19	0,10	0,15	0,26	0,09	0,20
GBD	<b>0,33</b>	-0,09	0,10	-0,27	<b>0,36</b>	0,08	0,21	-0,22	<b>0,46</b>	0,21	<b>0,29</b>	0,28	0,21	0,26	0,21
GGL	0,19	-0,02	0,02	-0,12	0,21	0,05	-0,14	-0,12	0,14	0,06	0,06	0,05	0,08	-0,12	-0,03
FX	<b>0,39</b>	0,18	0,16	0,05	<b>0,34</b>	0,24	-0,14	0,13	0,11	<b>0,29</b>	0,17	0,23	0,18	0,03	0,13
MX	0,19	0,10	0,13	-0,08	<b>0,34</b>	0,10	0,12	-0,11	0,02	0,21	0,21	0,19	0,03	-0,05	-0,05
LX	<b>-0,45</b>	-0,05	-0,26	0,08	<b>-0,50</b>	-0,13	-0,14	0,05	-0,17	<b>-0,31</b>	<b>-0,33</b>	<b>-0,32</b>	-0,14	-0,01	-0,07
SOMAT	0,00	0,12	-0,01	0,03	-0,23	0,02	-0,18	0,05	0,00	0,07	-0,12	-0,02	0,07	-0,02	0,08
MM	<b>0,37</b>	0,15	0,16	-0,24	<b>0,48</b>	0,20	0,12	-0,23	0,26	0,28	<b>0,30</b>	<b>0,30</b>	0,27	0,15	0,20
OM	0,07	<b>0,29</b>	0,03	-0,06	0,20	<b>0,29</b>	0,09	-0,06	0,06	0,20	0,22	0,22	0,15	0,16	0,14
DM	<b>0,47</b>	0,05	0,15	-0,21	<b>0,47</b>	0,22	0,00	-0,12	<b>0,32</b>	<b>0,30</b>	<b>0,30</b>	<b>0,31</b>	0,26	0,18	0,22
MA	0,22	0,03	0,11	-0,26	<b>0,35</b>	0,10	0,19	<b>-0,30</b>	0,25	0,15	0,25	0,21	0,22	0,22	0,19

Таблиця В.6

**Кореляції сонографічних параметрів щитоподібної залози з антропометричними та соматотипологічними показниками тіла у здорових міських жінок від 26 до 35 років**

Антропол. показники	Сонографічні параметри														
	R_SH	R_DL	R_WS	R_DSZ	L_SH	L_DL	L_WS	L_DSZ	I	V_R	V_L	V_RL	S_R	S_L	S_RL
1	2	3	4	5	6	7	8	9	10	11	12	13	14	15	16
OB_GL	0,18	0,20	0,06	-0,19	0,13	0,16	-0,08	-0,15	-0,04	0,18	0,09	0,15	0,21	0,08	0,13
B_DL_GL	0,00	0,05	0,11	-0,02	0,12	0,15	0,12	-0,08	-0,04	-0,01	0,03	0,01	0,11	-0,10	0,04
N_SH_GL	0,04	-0,11	0,18	-0,04	-0,07	-0,19	0,06	0,01	-0,16	0,06	-0,08	-0,01	<u>0,37</u>	0,13	<u>0,31</u>
SH_N_CH	0,04	0,12	0,24	-0,14	0,02	-0,01	0,20	-0,14	0,05	0,10	0,07	0,11	0,16	0,00	0,09
SAG_DUG	0,13	0,22	-0,12	-0,05	0,14	0,04	-0,09	-0,02	-0,08	0,15	0,13	0,13	0,10	-0,10	0,05
B_SH_GL	0,02	-0,02	0,21	-0,04	0,04	-0,15	0,17	-0,06	0,07	0,05	-0,01	0,02	<u>-0,32</u>	-0,21	<u>-0,30</u>
SH_LICA	0,09	0,14	0,22	-0,10	0,02	0,14	<b>0,28</b>	-0,05	0,11	0,14	0,14	0,15	0,22	0,02	0,14
W	<b>0,31</b>	0,12	<b>0,46</b>	-0,05	0,17	0,17	<b>0,28</b>	-0,01	0,16	<b>0,30</b>	0,21	<b>0,31</b>	<b>0,46</b>	0,26	<b>0,38</b>
H	0,07	0,24	0,12	0,01	0,06	-0,02	0,01	-0,04	-0,18	0,16	0,03	0,06	0,01	<u>-0,35</u>	-0,12
ATND	0,12	0,18	0,21	-0,02	0,04	-0,06	0,10	-0,05	-0,18	0,20	0,05	0,09	0,11	-0,29	-0,02
ATL	0,06	0,22	0,12	0,20	0,14	0,03	0,07	0,18	-0,08	0,16	0,04	0,07	-0,14	<u>-0,36</u>	-0,20
ATPL	0,10	0,19	0,18	-0,04	0,07	-0,06	0,09	-0,07	-0,15	0,19	0,08	0,10	0,10	-0,19	0,01
ATP	0,07	0,06	0,17	-0,19	0,05	-0,16	0,14	-0,20	-0,04	0,19	0,09	0,12	-0,18	<u>-0,33</u>	-0,26
ATV	0,06	<b>0,40</b>	0,10	0,15	0,17	0,20	0,05	0,14	-0,01	0,21	0,19	0,19	0,04	-0,20	-0,04
EPPL	0,03	0,10	0,23	0,13	0,04	0,11	0,01	0,18	0,05	0,11	0,11	0,14	<u>0,34</u>	<u>0,33</u>	<b>0,42</b>
EPPR	0,17	<b>0,28</b>	<b>0,30</b>	0,10	0,15	0,23	0,19	0,17	0,17	0,22	0,23	<b>0,28</b>	<b>0,49</b>	<b>0,48</b>	<b>0,56</b>
EPB	0,15	0,14	0,23	-0,02	0,05	0,20	0,24	0,04	0,17	0,10	0,11	0,14	0,06	0,21	0,13
EPG	-0,03	0,18	0,06	0,01	-0,02	0,14	-0,02	-0,01	-0,14	0,07	0,05	0,05	0,26	-0,04	0,20

Продовження табл. В.6

1	2	3	4	5	6	7	8	9	10	11	12	13	14	15	16
OBPL1	0,17	0,02	<b>0,34</b>	-0,02	0,08	0,21	0,22	-0,06	0,23	0,15	0,18	0,20	0,19	0,24	0,17
OBPL2	0,23	0,06	<b>0,35</b>	-0,11	0,11	0,21	0,24	-0,16	<b>0,30</b>	0,22	0,21	0,26	0,16	0,11	0,10
OBPR1	<b>0,32</b>	0,12	<b>0,44</b>	0,01	0,24	0,20	<b>0,37</b>	0,02	<b>0,29</b>	<b>0,31</b>	<b>0,30</b>	<b>0,35</b>	0,24	<u>0,33</u>	0,25
OBPR2	0,15	0,06	0,25	0,03	0,07	0,21	0,20	0,01	0,14	0,09	0,17	0,15	0,14	0,23	0,15
OBB	<b>0,28</b>	0,09	<b>0,39</b>	0,17	0,18	0,15	0,26	0,18	<b>0,37</b>	0,27	0,20	<b>0,28</b>	<u>0,31</u>	0,16	0,24
OBG1	0,15	0,00	<b>0,34</b>	0,01	0,00	0,07	0,07	0,01	0,08	0,15	0,00	0,10	0,23	0,07	0,16
OBG2	0,24	0,26	<b>0,38</b>	-0,21	0,16	0,24	0,14	-0,18	0,20	<b>0,28</b>	0,17	0,24	0,23	0,05	0,19
OBSH	<b>0,33</b>	0,20	<b>0,39</b>	-0,10	0,15	0,23	0,27	0,00	0,28	<b>0,34</b>	0,23	<b>0,33</b>	<b>0,42</b>	<u>0,31</u>	<b>0,38</b>
OBT	0,19	0,03	0,18	-0,21	0,12	0,16	0,03	-0,14	0,16	0,13	0,08	0,15	<b>0,43</b>	<u>0,37</u>	<u>0,38</u>
OBBS	0,21	0,13	<b>0,27</b>	0,01	0,05	0,12	0,14	0,06	0,18	0,21	0,11	0,22	0,26	0,22	0,24
OBK	0,21	0,17	<b>0,45</b>	-0,10	0,19	<b>0,29</b>	<b>0,29</b>	-0,11	0,17	0,24	0,25	<b>0,29</b>	<b>0,40</b>	<b>0,61</b>	<b>0,48</b>
OBS	-0,02	0,06	0,21	-0,05	0,03	0,12	0,09	-0,04	-0,13	-0,01	0,06	0,06	-0,17	0,06	-0,04
OBGK1	0,15	0,14	0,17	0,08	0,10	0,15	0,16	0,07	0,22	0,26	0,24	<b>0,29</b>	0,26	0,11	0,18
OBGK2	0,25	<b>0,28</b>	0,19	0,24	0,22	<b>0,35</b>	0,20	0,26	<b>0,29</b>	<b>0,33</b>	<b>0,34</b>	<b>0,38</b>	<b>0,59</b>	<b>0,52</b>	<b>0,57</b>
OBGK3	0,22	0,23	0,18	0,16	0,17	<b>0,27</b>	0,17	0,17	0,25	<b>0,31</b>	<b>0,30</b>	<b>0,34</b>	<b>0,51</b>	<u>0,34</u>	<b>0,44</b>
PSG	0,19	0,17	<b>0,29</b>	-0,21	0,04	0,22	<b>0,28</b>	-0,21	-0,08	0,22	0,21	0,21	0,22	0,03	0,15
PNG	0,06	0,10	0,21	0,13	0,03	0,15	0,16	0,15	0,02	0,11	0,11	0,16	<u>0,32</u>	0,21	<u>0,35</u>
SGK	0,09	-0,01	0,06	0,00	0,07	0,01	0,00	0,00	0,00	0,06	0,05	0,06	0,16	0,18	0,18
ACR	0,23	0,10	0,22	0,06	0,09	0,10	<b>0,35</b>	0,07	-0,03	0,16	0,22	0,19	-0,20	-0,20	-0,20
SPIN	-0,03	0,05	0,22	-0,10	-0,05	0,03	-0,05	-0,02	-0,08	0,14	0,06	0,14	<b>0,56</b>	0,29	<b>0,51</b>
CR2S	0,04	0,04	0,04	<b>0,30</b>	0,06	0,10	0,06	<b>0,32</b>	0,10	0,12	0,21	0,21	<u>0,31</u>	0,17	0,29
TROCH	0,13	-0,02	0,26	-0,05	-0,08	-0,05	0,14	-0,07	-0,19	0,09	-0,04	0,04	0,24	0,05	0,21
CONJ	0,14	0,10	<b>0,34</b>	0,03	0,12	0,20	0,19	0,03	0,12	0,17	0,18	0,23	<u>0,32</u>	<u>0,37</u>	<u>0,36</u>

Продовження табл. В.6

1	2	3	4	5	6	7	8	9	10	11	12	13	14	15	16
GZPL	0,02	-0,07	-0,15	0,00	-0,06	0,06	<b>-0,29</b>	0,01	-0,22	-0,08	-0,10	-0,06	0,11	0,27	0,19
GPPL	0,08	-0,01	0,07	-0,13	-0,03	0,03	-0,15	-0,12	-0,22	0,06	0,02	0,08	0,06	0,19	0,15
GPR	0,11	-0,04	-0,10	-0,11	0,01	-0,04	-0,23	-0,10	-0,27	-0,08	-0,13	-0,07	0,06	0,23	0,17
GL	0,20	0,12	0,00	0,03	0,10	0,24	-0,04	0,04	0,09	0,09	0,12	0,15	0,22	0,26	0,24
GGR	0,18	-0,04	-0,05	<b>-0,32</b>	0,05	0,01	-0,17	-0,27	-0,27	-0,02	-0,08	-0,02	0,22	<u>0,33</u>	<u>0,30</u>
GG	0,21	<b>0,29</b>	0,19	0,12	0,24	<b>0,40</b>	0,26	0,10	<b>0,43</b>	<b>0,32</b>	<b>0,43</b>	<b>0,40</b>	<b>0,43</b>	<b>0,46</b>	<b>0,41</b>
GB	0,18	0,19	0,06	0,09	0,17	<b>0,30</b>	0,16	0,08	0,20	0,22	<b>0,31</b>	<b>0,28</b>	0,22	<u>0,37</u>	0,23
GBD	-0,06	0,08	0,00	0,11	-0,09	0,20	-0,01	0,05	0,18	0,06	0,13	0,10	0,04	-0,07	-0,02
GGL	-0,01	0,02	0,07	0,09	-0,03	0,15	-0,11	0,08	0,09	0,08	0,07	0,08	<u>0,30</u>	0,16	0,22
FX	0,11	0,07	-0,07	0,12	0,04	0,24	-0,02	0,12	0,05	0,06	0,13	0,13	0,23	<b>0,40</b>	0,28
MX	0,12	-0,06	0,27	0,05	0,02	0,16	0,15	0,07	0,23	0,06	0,10	0,12	0,16	<u>0,30</u>	0,21
LX	-0,23	0,01	<b>-0,36</b>	0,03	-0,11	-0,23	<b>-0,29</b>	-0,03	<b>-0,36</b>	-0,17	-0,19	-0,25	-0,26	<u>-0,38</u>	<u>-0,30</u>
SOMAT	-0,13	0,03	-0,17	-0,11	-0,03	-0,14	0,00	-0,14	0,02	-0,04	0,00	-0,01	<u>-0,32</u>	<u>-0,33</u>	<u>-0,32</u>
MM	<b>0,31</b>	0,14	<b>0,45</b>	0,04	0,17	0,10	<b>0,28</b>	0,02	0,23	<b>0,32</b>	0,17	<b>0,28</b>	<u>0,33</u>	0,10	0,22
OM	0,14	0,23	0,23	0,01	0,08	0,16	0,07	0,04	-0,02	0,14	0,09	0,14	<b>0,40</b>	0,18	<u>0,38</u>
DM	0,09	0,10	0,06	0,09	0,00	0,24	-0,02	0,08	0,13	0,12	0,14	0,16	<u>0,38</u>	<u>0,32</u>	<u>0,35</u>
MA	0,17	0,09	<b>0,38</b>	0,00	0,12	0,19	0,26	-0,05	0,23	0,20	0,21	0,23	0,18	0,12	0,12

## Додаток Г

Результати прямого покрокового регресійного та дисперсійного аналізів моделювання сонографічних параметрів щитоподібної залози в здорових чоловіків та жінок в залежності від особливостей будови й розмірів тіла.

В таблицях даного розділу:

1.  $R$  – коефіцієнт множинної кореляції;
2.  $R^2$  – коефіцієнт детермінації;
3. Adjusted  $R^2$  – скорегований коефіцієнт детермінації;
4.  $F$  – критерій Фішера;
5. Std. Error of estimate – стандартна помилка оцінки;
6. BETA – стандартизований регресійний коефіцієнт;
7. St. Err. of BETA – стандартна помилка стандартизованого регресійного коефіцієнта;
8.  $B$  – регресійний  $B$ -коефіцієнт;
9. St. Err. of  $B$  – стандартна помилка  $B$ -коефіцієнта;
10.  $t$  – критерій Стьюдента;
11.  $p$ -level – рівень достовірності;
12. Sums of Squares – сума квадратів;
13.  $df$  – кількість показників;
14. Mean Squares – середній квадрат;
15. Regress. – регресія;
16. Residual – залишки;
17. Total – разом;
18. Intersp – вільний член;
19. OB\_GL – обхват голови (см);
20. B\_DL\_GL – найбільша довжина голови (см);
21. N\_SH\_GL – найменша ширина голови (см);
22. SH\_N\_CH – ширина нижньої щелепи (см);

23. SAG\_DUG – сагітальна дуга голови (см);
24. B\_SH\_GL – найбільша ширина голови (см);
25. SH\_LICA – ширина лиця (см);
26. W – маса тіла (кг);
27. H – довжина тіла (см);
28. S – площа поверхні тіла (м<sup>2</sup>);
29. ATND – висота надгруднинної точки (см);
30. ATL – висота лобкової точки (см);
31. ATPL – висота плечової точки (см);
32. ATP – висота пальцевої точки (см);
33. ATV – висота вертлюгової точки (см);
34. EPPL – ширина дистального епіфіза плеча (см);
35. EPPR – ширина дистального епіфіза передпліччя (см);
36. EPB – ширина дистального епіфіза стегна (см);
37. EPG – ширина дистального епіфіза гомілки (см);
38. OBPL1 – обхват плеча в напруженому стані (см);
39. OBPL2 – обхват плеча в спокійному стані (см);
40. OBPR1 – обхват передпліччя у верхній третині (см);
41. OBPR2 – обхват передпліччя у нижній третині (см);
42. OBВ – обхват стегна (см);
43. OBG1 – обхват гомілки у верхній третині (см);
44. OBG2 – обхват гомілки у нижній третині (см);
45. OBSH – обхват шиї (см);
46. OBT – обхват талії (см);
47. OBВВ – обхват стегон (см);
48. OBK – обхват кисті (см);
49. OBS – обхват стопи (см);
50. OBGK1 – обхват грудної клітки на вдиху (см);
51. OBGK2 – обхват грудної клітки на видиху (см);

52. OBGK3 – обхват грудної клітки в спокійному стані (см);
53. PSG – поперечний середньогруднинний розмір (см);
54. PNG – поперечний нижньогруднинний розмір (см);
55. SGK – передньо-задній розмір грудної клітки (см);
56. ACR – ширина плечей (см);
57. SPIN – міжостъовий розмір таза (см);
58. CR2S – міжгребневий розмір таза (см);
59. TROCH – міжвертлюговий розмір таза (см);
60. CONJ – зовнішня кон'югата таза (тільки для осіб жіночої статі) (см);
61. GZPL – товщина шкірно-жирової складки на задній поверхні плеча (мм);
62. GPPL – товщина шкірно-жирової складки на передній поверхні плеча (мм);
63. GPR – товщина шкірно-жирової складки на передпліччі (мм);
64. GL – товщина шкірно-жирової складки під лопаткою (мм);
65. GGR – товщина шкірно-жирової складки на грудях (мм);
66. GG – товщина шкірно-жирової складки на животі (мм);
67. GB – товщина шкірно-жирової складки на боці (мм);
68. GBD – товщина шкірно-жирової складки на стегні (мм);
69. GGL – товщина шкірно-жирової складки на гомілці (мм);
70. FX – ендоморфний компонент соматотипу за Хіт-Картером (бал.);
71. MX – мезоморфний компонент соматотипу за Хіт-Картером (бал.);
72. LX – екторморфний компонент соматотипу за Хіт-Картером (бал.);
73. MM – м'язовий компонент маси тіла за Матейко (кг);
74. OM – кістковий компонент маси тіла за Матейко (кг);
75. DM – жировий компонент маси тіла за Матейко (кг);
76. MA – м'язовий компонент маси тіла, визначений за формулою AIX (кг);

77. SOMAT – тип соматотипу (1 – ендоморфи, 2 – мезоморфи, 3 – ектоморфи, 4 – екто-мезоморфи, 5 – ендо-мезоморфи, 5 – середній проміжний соматотип).

Таблиця Г.1

**Результати прямого покрокового регресійного (Regression Summary) та дисперсійного аналізів (Analysis of VaR2ance) щільності правої частки щитоподібної залози у чоловіків 22-25 років в залежності від антропометричних й соматотипологічних показників**

<b>Regression Summary for Dependent VaR2able: R_DSZ (gnennia.sta)</b>						
R= ,800 RI= ,640 Adjusted RI= ,593						
F(8,61)=13,54 p<,0000 Std.Error of estimate: 1,838						
	BETA	St. Err. of BETA	B	St. Err. of B	t(61)	p-level
Intercept			9,477	7,181	1,320	0,1919
GPR	0,776	0,124	1,324	0,211	6,278	0,0000
SH_N_CH	-0,140	0,087	-0,292	0,182	-1,602	0,1142
OBG2	0,339	0,101	0,615	0,183	3,365	0,0013
ATL	0,804	0,158	0,531	0,104	5,096	0,0000
ATV	-0,661	0,154	-0,383	0,089	-4,288	0,0001
PNG	-0,229	0,098	-0,290	0,124	-2,334	0,0229
B_DL_GL	-0,252	0,087	-0,488	0,169	-2,887	0,0054
DM	-0,465	0,132	-0,365	0,103	-3,539	0,0008
<b>Analysis of VaR2ance; DV: R_DSZ (gnennia.sta)</b>						
	Sums of Squares	df	Mean Squares	F	p-level	
Regress.	365,8	8	45,73	13,54	0,0000	
Residual	206,0	61	3,376			
Total	571,8					

Таблиця Г.2

**Результати прямого покрокового регресійного (Regression Summary) та дисперсійного аналізів (Analysis of VaR2ance) щільності лівої частки щитоподібної залози у чоловіків 22-25 років в залежності від антропометричних й соматотипологічних показників**

<b>Regression Summary for Dependent VaR2able: L_DSZ (gnennia.sta)</b>	
R= ,746 RI= ,557 Adjusted RI= ,507	



Продовження табл. Г.2

F(7,62)=11,14 p<,0000 Std.Error of estimate: 1,987						
	BETA	St. Err. of BETA	B	St. Err. of B	t(62)	p-level
Intercpt			4,612	6,255	0,737	0,4637
GPR	0,632	0,105	1,060	0,176	6,015	0,0000
ATL	0,336	0,104	0,218	0,067	3,245	0,0019
SH_N_CH	-0,310	0,094	-0,636	0,194	-3,284	0,0017
GGL	-0,513	0,111	-0,541	0,117	-4,610	0,0000
OBG2	0,541	0,146	0,964	0,260	3,714	0,0004
OBS	-0,259	0,116	-0,479	0,215	-2,225	0,0297
OBG1	-0,285	0,139	-0,286	0,140	-2,048	0,0448
Analysis of VaR2ance; DV: L_DSZ (gnennia.sta)						
	Sums of Squares	df	Mean Squares	F	p-level	
Regress.	307,7	7	43,96	11,13	0,0000	
Residual	244,8	62	3,948			
Total	552,4					

Таблиця Г.3

**Результати прямого покрокового регресійного (Regression Summary) та дисперсійного аналізів (Analysis of VaR2ance) ширини правої частки щитоподібної залози у чоловіків 26-35 років в залежності від антропометричних й соматотипологічних показників**

Regression Summary for Dependent VaR2able: R_SH (gnennia.sta)						
R= ,791 RI= ,625 Adjusted RI= ,572						
F(6,42)=11,66 p<,0000 Std.Error of estimate: 1,310						
	BETA	St. Err. of BETA	B	St. Err. of B	t(42)	p-level
Intercpt			-2,663	7,354	-0,362	0,7191
W	0,789	0,222	0,148	0,042	3,554	0,0010
OB_GL	0,382	0,111	0,425	0,124	3,435	0,0013
PNG	-0,388	0,122	-0,409	0,129	-3,178	0,0028
OB BB	-0,611	0,196	-0,177	0,057	-3,124	0,0032
GL	0,324	0,126	0,165	0,064	2,564	0,0140
OBK	0,257	0,119	0,461	0,213	2,160	0,0365
Analysis of VaR2ance; DV: R_SH (gnennia.sta)						
	Sums of Squares	df	Mean Squares	F	p-level	
Regress.	120,3	6	20,04	11,68	0,0000	
Residual	72,07	42	1,716			
Total	192,3					

Таблиця Г.4

**Результати прямого покрокового регресійного (Regression Summary) та дисперсійного аналізів (Analysis of VaR2ance) довжини правої частки щитоподібної залози у чоловіків 26-35 років в залежності від антропометричних й соматотипологічних показників**

<b>Regression Summary for Dependent VaR2able: R_DL (gnennia.sta)</b>						
R= ,785 RI= ,616 Adjusted RI= ,550						
F(7,41)=9,38 p<,0000 Std.Error of estimate: 3,154						
	BETA	St. Err. of BETA	B	St. Err. of B	t(41)	p-level
Intercept			17,28	10,17	1,699	0,0969
GZPL	0,778	0,118	1,051	0,159	6,610	0,0000
OBK	0,566	0,125	2,388	0,529	4,516	0,0001
OBPR2	0,377	0,134	1,535	0,545	2,817	0,0074
OBPR1	-0,318	0,143	-0,714	0,322	-2,215	0,0324
SPIN	-0,246	0,123	-0,535	0,268	-1,994	0,0528
SGK	0,326	0,109	0,562	0,188	2,993	0,0047
OBGK2	-0,459	0,158	-0,342	0,118	-2,906	0,0059
<b>Analysis of VaR2ance; DV: R_DL (gnennia.sta)</b>						
	Sums of Squares	df	Mean Squares	F	p-level	
Regress.	652,8	7	93,26	9,378	0,0000	
Residual	407,7	41	9,945			
Total	1061					

Таблиця Г.5

**Результати прямого покрокового регресійного (Regression Summary) та дисперсійного аналізів (Analysis of VaR2ance) ширини лівої частки щитоподібної залози у чоловіків 26-35 років в залежності від антропометричних й соматотипологічних показників**

<b>Regression Summary for Dependent VaR2able: L_SH (gnennia.sta)</b>						
R= ,795 RI= ,632 Adjusted RI= ,569						
F(7,41)=10,04 p<,0000 Std.Error of estimate: 1,477						
	BETA	St. Err. of BETA	B	St. Err. of B	t(41)	p-level
Intercept			-7,120	8,259	-0,862	0,3937

Продовження табл. Г.5

W	0,404	0,154	0,085	0,032	2,627	0,0121
PNG	-0,534	0,129	-0,631	0,152	-4,147	0,0002
EPG	0,235	0,105	1,134	0,508	2,233	0,0311
LX	-0,318	0,124	-0,599	0,234	-2,561	0,0142
EPB	0,283	0,121	1,178	0,502	2,346	0,0239
SGK	0,224	0,105	0,185	0,086	2,139	0,0385
OB_GL	0,185	0,114	0,231	0,142	1,631	0,1105
<b>Analysis of VaR2ance; DV: L_SH (gnennia.sta)</b>						
	Sums of Squares	df	Mean Squares	F	p-level	
Regress.	153,4	7	21,91	10,04	0,0000	
Residual	89,44	41	2,181			
Total	242,8					

Таблиця Г.6

**Результати прямого покрокового регресійного (Regression Summary) та дисперсійного аналізів (Analysis of VaR2ance) щільності лівої частки щитоподібної залози у чоловіків 26-35 років в залежності від антропометричних й соматотипологічних показників**

<b>Regression Summary for Dependent VaR2able: L_WS (gnennia.sta)</b>						
R= ,768 RI= ,590 Adjusted RI= ,520						
F(7,41)=8,43 p<,0000 Std.Error of estimate: 1,798						
	BETA	St. Err. of BETA	B	St. Err. of B	t(41)	p-level
Intercept			-6,251	7,615	-0,821	0,4165
OBK	0,293	0,123	0,682	0,287	2,378	0,0221
SGK	0,339	0,107	0,323	0,102	3,179	0,0028
B_DL_GL	0,229	0,104	0,317	0,144	2,198	0,0337
PNG	-0,343	0,113	-0,467	0,155	-3,020	0,0043
SH_LICA	0,337	0,118	0,867	0,304	2,851	0,0068
B_SH_GL	-0,266	0,110	-0,884	0,365	-2,422	0,0199
OBPR2	0,264	0,115	0,594	0,259	2,294	0,0270
<b>Analysis of VaR2ance; DV: L_WS (gnennia.sta)</b>						
	Sums of Squares	df	Mean Squares	F	p-level	
Regress.	190,6	7	27,23	8,426	0,0000	
Residual	132,5	41	3,232			
Total	323,1					

Таблиця Г.7

**Результати прямого покрокового регресійного (Regression Summary) та дисперсійного аналізів (Analysis of VaR2ance) товщини перешийка щитоподібної залози у чоловіків 26-35 років в залежності від антропометричних й соматотипологічних показників**

<b>Regression Summary for Dependent VaR2able: I (gnennia.sta)</b>						
R= ,770 RI= ,592 Adjusted RI= ,521						
F(7,40)=8,30 p<,0000 Std.Error of estimate: ,592						
	BETA	St. Err. of BETA	B	St. Err. of B	t(40)	p-level
Intercept			-4,031	2,234	-1,805	0,0787
OBK	0,505	0,130	0,386	0,099	3,885	0,0004
PNG	-0,475	0,136	-0,212	0,061	-3,484	0,0012
GBD	0,224	0,120	0,049	0,026	1,867	0,0693
CR2S	-0,362	0,125	-0,122	0,042	-2,896	0,0061
MA	-0,474	0,176	-0,062	0,023	-2,696	0,0102
TROCH	0,607	0,204	0,228	0,077	2,974	0,0050
OBPR1	0,251	0,126	0,102	0,051	1,994	0,0530
<b>Analysis of VaR2ance; DV: I (gnennia.sta)</b>						
	Sums of Squares	df	Mean Squares	F	p-level	
Regress.	20,34	7	2,905	8,297	0,0000	
Residual	14,01	40	0,350			
Total	34,34					

Таблиця Г.8

**Результати прямого покрокового регресійного (Regression Summary) та дисперсійного аналізів (Analysis of VaR2ance) об'єму правої частки щитоподібної залози у чоловіків 26-35 років в залежності від антропометричних й соматотипологічних показників**

<b>Regression Summary for Dependent VaR2able: V_MB_R (gnennia.sta)</b>						
R= ,838 RI= ,701 Adjusted RI= ,649						
F(7,40)=13,43 p<,0000 Std.Error of estimate: 1,414						
	BETA	St. Err. of BETA	B	St. Err. of B	t(40)	p-level
Intercept			-29,66	6,954	-4,266	0,0001

Продовження табл. Г.8

OBK	0,528	0,103	1,121	0,218	5,146	0,0000
GZPL	0,621	0,101	0,425	0,069	6,125	0,0000
PNG	-0,580	0,107	-0,727	0,135	-5,401	0,0000
SGK	0,359	0,093	0,312	0,081	3,866	0,0004
OB_GL	0,252	0,099	0,331	0,131	2,530	0,0154
GGL	-0,161	0,094	-0,148	0,086	-1,715	0,0941
EPG	0,132	0,091	0,668	0,465	1,438	0,1582
<b>Analysis of VaR2ance; DV: V_MB_R (gnennia.sta)</b>						
	Sums of Squares	df	Mean Squares	F	p-level	
Regress.	188,0	7	26,86	13,43	0,0000	
Residual	80,02	40	2,001			
Total	268,1					

Таблиця Г.9

**Результати прямого покрокового регресійного (Regression Summary) та дисперсійного аналізів (Analysis of VaR2ance) об'єму лівої частки щито-подібної залози у чоловіків 26-35 років в залежності від антропометричних й соматотипологічних показників**

<b>Regression Summary for Dependent VaR2able: V_MB_L (gnennia.sta)</b>						
R= ,840 RI= ,706 Adjusted RI= ,646						
F(8,39)=11,71 p<,0000 Std.Error of estimate: 1,492						
	BETA	St. Err. of BETA	B	St. Err. of B	t(39)	p-level
Intercept			-33,80	5,799	-5,828	0,0000
OBK	0,769	0,112	1,712	0,250	6,855	0,0000
SGK	0,365	0,093	0,333	0,084	3,937	0,0003
B_DL_GL	0,228	0,095	0,303	0,127	2,391	0,0217
TROCH	-0,466	0,148	-0,513	0,164	-3,139	0,0032
PNG	-0,493	0,122	-0,649	0,161	-4,031	0,0002
GZPL	0,568	0,119	0,409	0,085	4,791	0,0000
SH_LICA	0,420	0,125	1,038	0,309	3,360	0,0018
ATV	0,293	0,108	0,097	0,036	2,703	0,0101
<b>Analysis of VaR2ance; DV: V_MB_L (gnennia.sta)</b>						
	Sums of Squares	df	Mean Squares	F	p-level	
Regress.	208,5	8	26,07	11,71	0,0000	
Residual	86,84	39	2,227			
Total	295,4					

Таблиця Г.10

**Результати прямого покрокового регресійного (Regression Summary) та дисперсійного аналізів (Analysis of VaR2ance) загального об'єму щитоподібної залози у чоловіків 26-35 років в залежності від антропометричних й соматотипологічних показників**

<b>Regression Summary for Dependent VaR2able: V_MB_RL (gnennia.sta)</b>						
R= ,843 RI= ,710 Adjusted RI= ,659						
F(7,40)=13,98 p<,0000 Std.Error of estimate: 2,752						
	BETA	St. Err. of BETA	B	St. Err. of B	t(40)	p-level
Intercept			-70,26	13,88	-5,061	0,0000
OBK	0,506	0,107	2,120	0,449	4,720	0,0000
GZPL	0,534	0,101	0,722	0,136	5,292	0,0000
PNG	-0,480	0,108	-1,190	0,267	-4,452	0,0001
SGK	0,335	0,089	0,575	0,153	3,750	0,0006
OB_GL	0,313	0,100	0,813	0,259	3,140	0,0032
GGR	-0,243	0,104	-0,944	0,402	-2,348	0,0239
OBPR2	0,146	0,096	0,596	0,394	1,513	0,1381
<b>Analysis of VaR2ance; DV: V_MB_RL (gnennia.sta)</b>						
	Sums of Squares	df	Mean Squares	F	p-level	
Regress.	741,4	7	105,9	13,98	0,0000	
Residual	303,0	40	7,575			
Total	1044					

Таблиця Г.11

**Результати прямого покрокового регресійного (Regression Summary) та дисперсійного аналізів (Analysis of VaR2ance) площі правої частки щитоподібної залози у чоловіків 26-35 років в залежності від антропометричних й соматотипологічних показників**

<b>Regression Summary for Dependent VaR2able: V_MK_R (gnennia.sta)</b>						
R= ,912 RI= ,832 Adjusted RI= ,791						
F(7,29)=20,47 p<,0000 Std.Error of estimate: 59,40						
	BETA	St. Err. of BETA	B	St. Err. of B	t(29)	p-level
Intercept			-588,1	217,6	-2,702	0,0114

Продовження табл. Г.11

SGK	0,601	0,086	26,38	3,786	6,968	0,0000
PNG	-0,454	0,105	-31,85	7,328	-4,347	0,0002
OBK	0,635	0,108	73,10	12,46	5,868	0,0000
GZPL	0,647	0,103	23,22	3,686	6,299	0,0000
OBGK3	-0,360	0,137	-7,033	2,678	-2,627	0,0136
GPR	-0,235	0,094	-25,93	10,35	-2,506	0,0181
ATL	0,300	0,087	5,982	1,726	3,465	0,0017
<b>Analysis of VaR2ance; DV: V_MK_R (gnennia.sta)</b>						
	Sums of Squares	df	Mean Squares	F	p-level	
Regress.	505747	7	72250	20,47	0,0000	
Residual	102336	29	3529			
Total	608083					

Таблиця Г.12

**Результати прямого покрокового регресійного (Regression Summary) та дисперсійного аналізів (Analysis of VaR2ance) площі лівої частки щито-подібної залози у чоловіків 26-35 років в залежності від антропометричних й соматотипологічних показників**

<b>Regression Summary for Dependent VaR2able: V_MK_L (gnennia.sta)</b>						
R= ,861 RI= ,741 Adjusted RI= ,676						
F(7,28)=11,44 p<,0000 Std.Error of estimate: 75,30						
	BETA	St. Err. of BETA	B	St. Err. of B	t(28)	p-level
Intercept			-83,09	350,0	-0,237	0,8141
SGK	0,385	0,113	17,17	5,038	3,409	0,0020
ATP	0,765	0,182	23,73	5,648	4,201	0,0002
PNG	-0,373	0,117	-26,36	8,233	-3,201	0,0034
OBK	0,519	0,115	61,34	13,64	4,499	0,0001
ATPL	-0,968	0,263	-19,00	5,170	-3,675	0,0010
ATL	0,557	0,217	11,36	4,435	2,563	0,0161
GGR	-0,225	0,121	-26,50	14,21	-1,865	0,0727
<b>Analysis of VaR2ance; DV: V_MK_L (gnennia.sta)</b>						
	Sums of Squares	df	Mean Squares	F	p-level	
Regress.	454172	7	64882	11,44	0,0000	
Residual	158762	28	5670			
Total	612934					

Таблиця Г.13

**Результати прямого покрокового регресійного (Regression Summary) та дисперсійного аналізів (Analysis of VaR2ance) загальної площі щитоподібної залози у чоловіків 26-35 років в залежності від антропометричних й соматотипологічних показників**

<b>Regression Summary for Dependent VaR2able: V_MK_RL (gnennia.sta)</b>						
R= ,897 RI= ,804 Adjusted RI= ,756						
F(7,28)=16,45 p<,0000 Std.Error of estimate: 120,2						
	BETA	St. Err. of BETA	B	St. Err. of B	t(28)	p-level
Intercept			-666,3	570,4	-1,168	0,2526
SGK	0,534	0,095	43,74	7,759	5,637	0,0000
ATP	0,655	0,147	37,28	8,380	4,449	0,0001
PNG	-0,482	0,099	-62,48	12,78	-4,889	0,0000
OBK	0,560	0,109	121,5	23,56	5,155	0,0000
ATPL	-0,708	0,208	-25,52	7,485	-3,410	0,0020
ATL	0,437	0,184	16,39	6,905	2,374	0,0247
GBD	-0,212	0,098	-13,95	6,448	-2,164	0,0392
<b>Analysis of VaR2ance; DV: V_MK_RL (gnennia.sta)</b>						
	Sums of Squares	df	Mean Squares	F	p-level	
Regress.	1663433	7	237633	16,45	0,0000	
Residual	404484	28	14446			
Total	2067918					

Таблиця Г.14

**Результати прямого покрокового регресійного (Regression Summary) та дисперсійного аналізів (Analysis of VaR2ance) довжини лівої частки щитоподібної залози у жінок 21-25 років в залежності від антропометричних й соматотипологічних показників**

<b>Regression Summary for Dependent VaR2able: L_DL (gnennia.sta)</b>						
R= ,734 RI= ,539 Adjusted RI= ,470						
F(7,47)=7,85 p<,0000 Std.Error of estimate: 2,366						
	BETA	St. Err. of BETA	B	St. Err. of B	t(47)	p-level
Intercept			-10,74	10,12	-1,061	0,2942



Продовження табл. Г.14

PNG	0,513	0,117	0,844	0,192	4,394	0,0001
SGK	0,532	0,119	1,367	0,307	4,459	0,0001
H	1,290	0,348	0,706	0,191	3,703	0,0006
ATPL	-0,979	0,340	-0,591	0,205	-2,880	0,0060
EPG_R	-0,302	0,126	-2,084	0,869	-2,398	0,0205
OBB	0,464	0,134	0,312	0,090	3,461	0,0012
OBGK2	-0,526	0,169	-0,285	0,092	-3,108	0,0032
<b>Analysis of VaR2ance; DV: L_DL (gnennia.sta)</b>						
	Sums of Squares	df	Mean Squares	F	p-level	
Regress.	307,4	7	43,92	7,846	0,0000	
Residual	263,1	47	5,597			
Total	570,5					

Таблиця Г.15

**Результати прямого покрокового регресійного (Regression Summary) та дисперсійного аналізів (Analysis of VaR2ance) товщини лівої частки щитоподібної залози у жінок 21-25 років в залежності від антропометричних й соматотипологічних показників**

<b>Regression Summary for Dependent VaR2able: L_WS (gnennia.sta)</b>						
R= ,707 RI= ,501 Adjusted RI= ,438						
F(6,48)=8,01 p<,0000 Std.Error of estimate: 1,396						
	BETA	St. Err. of BETA	B	St. Err. of B	t(48)	p-level
Intercpt			-5,986	4,277	-1,400	0,1681
OBK	0,363	0,114	0,532	0,168	3,174	0,0026
OM	-0,508	0,139	-0,738	0,201	-3,668	0,0006
OBBB	0,734	0,155	0,181	0,038	4,752	0,0000
OBGK2	-0,604	0,169	-0,187	0,052	-3,572	0,0008
SGK	0,385	0,124	0,567	0,182	3,110	0,0031
PNG	0,287	0,118	0,271	0,112	2,425	0,0191
<b>Analysis of VaR2ance; DV: L_WS (gnennia.sta)</b>						
	Sums of Squares	df	Mean Squares	F	p-level	
Regress.	93,67	6	15,61	8,015	0,0000	
Residual	93,50	48	1,948			
Total	187,2					

Таблиця Г.16

**Результати прямого покрокового регресійного (Regression Summary) та дисперсійного аналізів (Analysis of VaR2ance) об'єму лівої частки щитоподібної залози у жінок 21-25 років в залежності від антропометричних й соматотипологічних показників**

<b>Regression Summary for Dependent VaR2able: V_MB_L (gnennia.sta)</b>						
R= ,781 RI= ,610 Adjusted RI= ,539						
F(8,44)=8,61 p<,0000 Std.Error of estimate: 1,003						
	BETA	St. Err. of BETA	B	St. Err. of B	t(44)	p-level
Intercpt			-12,21	3,642	-3,353	0,0017
B_DL_GL	0,401	0,114	0,616	0,175	3,510	0,0010
OM	-0,510	0,125	-0,578	0,142	-4,064	0,0002
OBB	0,383	0,133	0,115	0,040	2,892	0,0059
OBK	0,326	0,112	0,380	0,130	2,916	0,0056
PNG	0,416	0,114	0,307	0,084	3,638	0,0007
B_SH_GL	-0,313	0,112	-0,511	0,182	-2,804	0,0075
OBGK2	-0,752	0,222	-0,185	0,055	-3,388	0,0015
OBGK1	0,571	0,214	0,162	0,061	2,668	0,0106
<b>Analysis of VaR2ance; DV: V_MB_L (gnennia.sta)</b>						
	Sums of Squares	df	Mean Squares	F	p-level	
Regress.	69,24	8	8,655	8,611	0,0000	
Residual	44,22	44	1,005			
Total	113,5					

Таблиця Г.17

**Результати прямого покрокового регресійного (Regression Summary) та дисперсійного аналізів (Analysis of VaR2ance) загального об'єму щитоподібної залози у жінок 21-25 років в залежності від антропометричних й соматотипологічних показників**

<b>Regression Summary for Dependent VaR2able: V_MB_RL (gnennia.sta)</b>						
R= ,762 RI= ,581 Adjusted RI= ,516						
F(7,45)=8,91 p<,0000 Std.Error of estimate: 1,974						
	BETA	St. Err. of BETA	B	St. Err. of B	t(45)	p-level
Intercpt			-12,76	6,880	-1,855	0,0702

Продовження табл. Г.17

B_DL_GL	0,391	0,118	1,154	0,349	3,307	0,0019
OM	-0,499	0,127	-1,086	0,276	-3,938	0,0003
OBT	0,583	0,145	0,321	0,080	4,013	0,0002
OBK	0,295	0,112	0,660	0,250	2,638	0,0114
B_SH_GL	-0,334	0,114	-1,047	0,358	-2,923	0,0054
PNG	0,362	0,116	0,512	0,164	3,123	0,0031
OBGK2	-0,431	0,148	-0,204	0,070	-2,906	0,0057
<b>Analysis of VaR2ance; DV: V_MB_RL (gnennia.sta)</b>						
	Sums of Squares	df	Mean Squares	F	p-level	
Regress.	243,0	7	34,71	8,905	0,0000	
Residual	175,4	45	3,898			
Total	418,4					

Таблиця Г.18

**Результати прямого покрокового регресійного (Regression Summary) та дисперсійного аналізів (Analysis of VaR2ance) площі лівої частки щитоподібної залози у жінок 21-25 років в залежності від антропометричних й соматотипологічних показників**

<b>Regression Summary for Dependent VaR2able: V_MK_L (gnennia.sta)</b>						
R= ,719 RI= ,517 Adjusted RI= ,443						
F(6,39)=6,97 p<,0000 Std.Error of estimate: 72,54						
	BETA	St. Err. of BETA	B	St. Err. of B	t(39)	p-level
Intercept			-981,2	300,9	-3,261	0,0023
EPB	0,529	0,135	46,03	11,76	3,916	0,0004
OBB	0,516	0,136	25,15	6,651	3,782	0,0005
B_DL_GL	-1,010	0,252	-17,17	4,288	-4,004	0,0003
SH_N_CH	0,772	0,198	14,75	3,784	3,898	0,0004
W	-0,534	0,188	-34,54	12,14	-2,846	0,0070
OBGK2	0,518	0,224	10,36	4,485	2,309	0,0263
<b>Analysis of VaR2ance; DV: V_MK_L (gnennia.sta)</b>						
	Sums of Squares	df	Mean Squares	F	p-level	
Regress.	219921	6	36653	6,966	0,0000	
Residual	205218	39	5262			
Total	425139					

Таблиця Г.19

**Результати прямого покрокового регресійного (Regression Summary) та дисперсійного аналізів (Analysis of VaR2ance) довжини правої частки щитоподібної залози у жінок 26-35 років в залежності від антропометричних й соматотипологічних показників**

<b>Regression Summary for Dependent VaR2able: R_DL (gnennia.sta)</b>						
R= ,761 RI= ,579 Adjusted RI= ,513						
F(7,44)=8,66 p<,0000 Std.Error of estimate: 3,092						
	BETA	St. Err. of BETA	B	St. Err. of B	t(44)	p-level
Intercept			15,47	10,87	1,422	0,1620
ATV	0,901	0,255	0,613	0,174	3,527	0,0010
SGK	-0,594	0,132	-1,472	0,328	-4,492	0,0001
OBG2	0,593	0,133	1,576	0,354	4,458	0,0001
OBGK2	0,493	0,145	0,281	0,083	3,403	0,0014
MX	-0,364	0,170	-1,092	0,509	-2,144	0,0376
ATL	-0,502	0,223	-0,376	0,167	-2,250	0,0295
EPPL	-0,281	0,148	-3,290	1,733	-1,899	0,0642
<b>Analysis of VaR2ance; DV: R_DL (gnennia.sta)</b>						
	Sums of Squares	df	Mean Squares	F	p-level	
Regress.	579,5	7	82,79	8,662	0,0000	
Residual	420,5	44	9,558			
Total	1000					

Таблиця Г.20

**Результати прямого покрокового регресійного (Regression Summary) та дисперсійного аналізів (Analysis of VaR2ance) щільності лівої частки щитоподібної залози у жінок 26-35 років в залежності від антропометричних й соматотипологічних показників**

<b>Regression Summary for Dependent VaR2able: L_DSZ (gnennia.sta)</b>						
R= ,757 RI= ,573 Adjusted RI= ,498						
F(7,40)=7,65 p<,0000 Std.Error of estimate: 2,212						
	BETA	St. Err. of BETA	B	St. Err. of B	t(40)	p-level
Intercept			15,61	8,359	1,868	0,0691

Продовження табл. Г.20

CR2S	0,705	0,134	0,768	0,146	5,245	0,0000
OBT	-0,584	0,144	-0,222	0,055	-4,052	0,0002
OBG1	0,584	0,145	0,653	0,162	4,029	0,0002
ATP	-0,525	0,134	-0,405	0,103	-3,924	0,0003
GBD	-0,506	0,151	-0,355	0,106	-3,351	0,0018
ATL	0,432	0,141	0,221	0,072	3,057	0,0040
SAG_DUG	-0,249	0,116	-0,493	0,229	-2,155	0,0372
<b>Analysis of VaR2ance; DV: L_DSZ (gnennia.sta)</b>						
	Sums of Squares	df	Mean Squares	F	p-level	
Regress.	262,1	7	37,45	7,654	0,0000	
Residual	195,7	40	4,893			
Total	457,8					

Таблиця Г.21

**Результати прямого покрокового регресійного (Regression Summary) та дисперсійного аналізів (Analysis of VaR2ance) товщини перешийка щитоподібної залози у жінок 26-35 років в залежності від антропометричних й соматотипологічних показників**

<b>Regression Summary for Dependent VaR2able: I (gnennia.sta)</b>						
R= ,766 RI= ,601 Adjusted RI= ,532						
F(7,40)=8,62 p<,0000 Std.Error of estimate: ,538						
	BETA	St. Err. of BETA	B	St. Err. of B	t(40)	p-level
Intercept			1,792	1,819	0,985	0,3304
TROCH	-0,379	0,129	-0,160	0,055	-2,927	0,0056
OBG1	-0,452	0,160	-0,123	0,043	-2,825	0,0073
OBB	0,900	0,149	0,170	0,028	6,035	0,0000
OBG2	0,341	0,130	0,167	0,064	2,628	0,0121
SGK	-0,320	0,136	-0,145	0,061	-2,355	0,0235
EPG	-0,346	0,118	-0,748	0,256	-2,925	0,0056
EPPR	0,413	0,125	1,149	0,349	3,296	0,0021
<b>Analysis of VaR2ance; DV: I (gnennia.sta)</b>						
	Sums of Squares	df	Mean Squares	F	p-level	
Regress.	17,48	7	2,497	8,623	0,0000	
Residual	11,58	40	0,290			
Total	29,06					

Таблиця Г.22

**Результати прямого покрокового регресійного (Regression Summary) та дисперсійного аналізів (Analysis of VaR2ance) площі правої частки щитоподібної залози у жінок 26-35 років в залежності від антропометричних й соматотипологічних показників**

<b>Regression Summary for Dependent VaR2able: V_MK_R (gnennia.sta)</b>						
R= ,851 RI= ,724 Adjusted RI= ,637						
F(6,19)=8,31 p<,0002 Std.Error of estimate: 53,45						
	BETA	St. Err. of BETA	B	St. Err. of B	t(19)	p-level
Intercept			-628,0	353,6	-1,776	0,0918
EPPR	0,468	0,138	155,2	45,66	3,400	0,0030
EPG	0,353	0,136	102,2	39,43	2,593	0,0178
SOMAT	-0,448	0,129	-20,06	5,781	-3,471	0,0026
OBPR2	-0,425	0,172	-46,92	18,98	-2,471	0,0231
PSG	0,345	0,133	17,62	6,775	2,601	0,0175
GG	0,474	0,160	9,548	3,220	2,965	0,0080
<b>Analysis of VaR2ance; DV: V_MK_R (gnennia.sta)</b>						
	Sums of Squares	df	Mean Squares	F	p-level	
Regress.	142360	6	23727	8,305	0,0002	
Residual	54278	19	2857			
Total	196638					

Таблиця Г.23

**Результати прямого покрокового регресійного (Regression Summary) та дисперсійного аналізів (Analysis of VaR2ance) площі лівої частки щитоподібної залози у жінок 26-35 років в залежності від антропометричних й соматотипологічних показників**

<b>Regression Summary for Dependent VaR2able: V_MK_L (gnennia.sta)</b>						
R= ,910 RI= ,827 Adjusted RI= ,760						
F(7,18)=12,33 p<,00001 Std.Error of estimate: 41,31						
	BETA	St. Err. of BETA	B	St. Err. of B	t(18)	p-level
Intercept			252,3	423,9	0,595	0,5592
OBK	0,713	0,107	68,51	10,31	6,643	0,0000

Продовження табл. Г.23

GGR	0,497	0,170	30,48	10,41	2,929	0,0090
GZPL	-0,940	0,220	-32,16	7,536	-4,268	0,0005
ACR	-0,291	0,105	-21,40	7,696	-2,781	0,0123
ATP	-0,302	0,113	-7,476	2,809	-2,661	0,0159
GPR	0,635	0,244	38,95	14,96	2,603	0,0180
N_SH_GL	0,282	0,110	24,47	9,597	2,550	0,0201
<b>Analysis of VaR2ance; DV: V_MK_L (gnennia.sta)</b>						
	Sums of Squares	df	Mean Squares	F	p-level	
Regress.	147296	7	21042	12,33	0,0000	
Residual	30720	18	1707			
Total	178016					

Таблиця Г.24

**Результати прямого покрокового регресійного (Regression Summary) та дисперсійного аналізів (Analysis of VaR2ance) загальної площі щитоподібної залози у жінок 26-35 років в залежності від антропометричних й соматотипологічних показників**

<b>Regression Summary for Dependent VaR2able: V_MK_RL (gnennia.sta)</b>						
R= ,953 RI= ,907 Adjusted RI= ,864						
F(8,17)=20,83 p<,0000 Std.Error of estimate: 58,18						
	BETA	St. Err. of BETA	B	St. Err. of B	t(17)	p-level
Intercept			-2109	479,3	-4,401	0,0004
OBK	0,832	0,102	149,4	18,28	8,174	0,0000
PNG	0,621	0,097	50,89	7,971	6,384	0,0000
GG	0,554	0,101	19,85	3,628	5,472	0,0000
OBPR2	-0,735	0,124	-144,4	24,33	-5,936	0,0000
OBG2	0,230	0,089	28,66	11,05	2,594	0,0189
SAG_DUG	0,443	0,080	55,86	10,03	5,568	0,0000
TROCH	-0,366	0,098	-37,25	9,961	-3,740	0,0016
GPPL	0,207	0,084	22,33	9,002	2,481	0,0239
<b>Analysis of VaR2ance; DV: V_MK_RL (gnennia.sta)</b>						
	Sums of Squares	df	Mean Squares	F	p-level	
Regress.	564067	8	70508	20,83	0,0000	
Residual	57544	17	3385			
Total	621611					